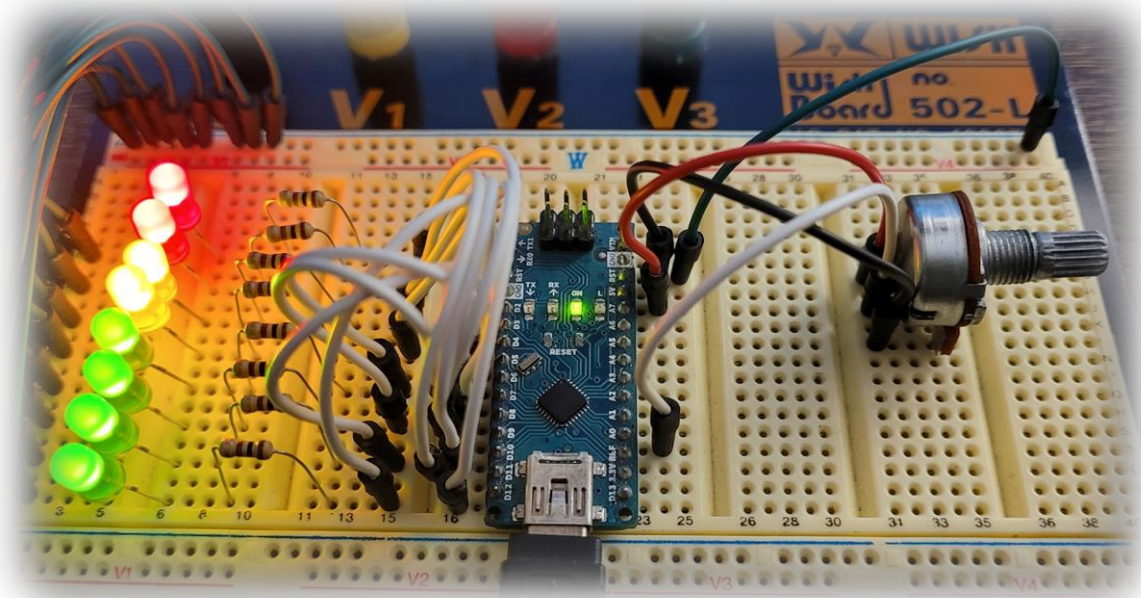
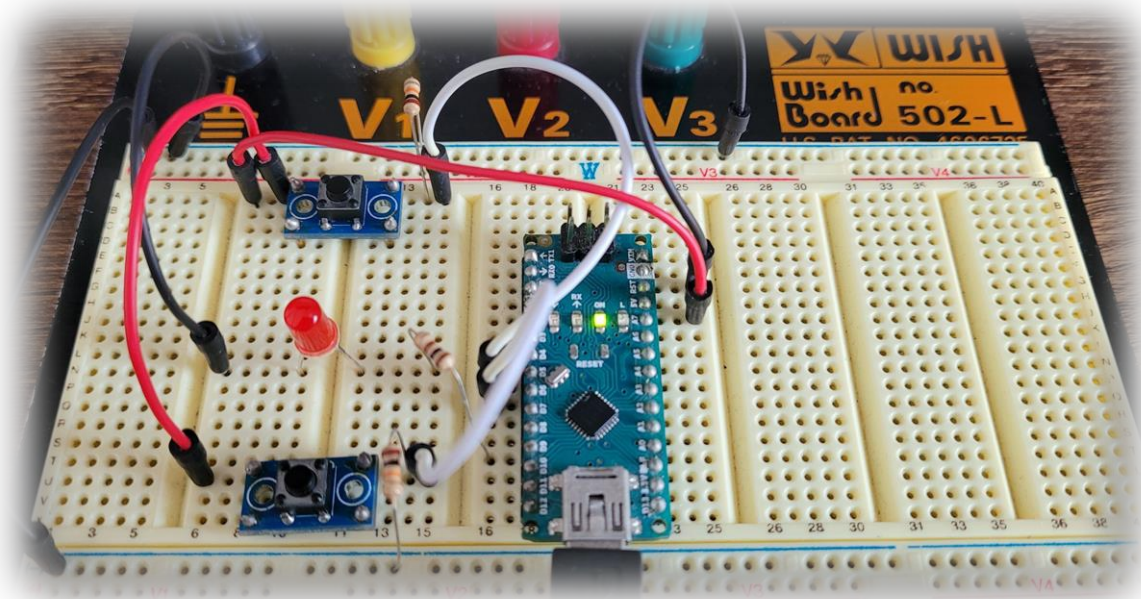


APLICAȚII CU SISTEME MICROPROGRAMABILE ÎN INGINERIE ELECTRICĂ

Ghid de aplicații

**Lucian Nicolae PINTILIE, Ioana-Cornelia GROS, Adrian Mihai
IUORAȘ, Vasile Mihai SUCIU, Teodor Crișan PANĂ**



**UTPRESS
Cluj-Napoca, 2024
ISBN 978-606-737-722-4**

**Lucian Nicolae PINTILIE, Ioana-Cornelia GROS, Adrian Mihai IUORAȘ,
Vasile Mihai SUCIU, Teodor Crișan PANĂ**

**APLICAȚII CU SISTEME MICROPROGRAMABILE ÎN
INGINERIE ELECTRICĂ**

Ghid de aplicații



U.T.PRESS
Cluj - Napoca, 2024
ISBN 978-606-737-722-4



Editura U.T.PRESS
Str. Observatorului nr. 34
400775 Cluj-Napoca
Tel.: 0264-401.999
e-mail: utpress@biblio.utcluj.ro
<http://biblioteca.utcluj.ro/editura>

Recenzia: Conf.dr.ing. Simina Emerich
Conf.dr.ing. Mircea Bojan

Pregătire format electronic on-line: Gabriela Groza

Copyright © 2024 Editura U.T.PRESS
Reproducerea integrală sau parțială a textului sau ilustrațiilor din această carte este posibilă numai cu acordul prealabil scris al editurii U.T.PRESS.

ISBN 978-606-737-722-4

PREFAȚĂ

Integrarea sistemelor microprogramabile în instalații complexe și aplicații specifice de comandă și control are o istorie solidă în domeniul ingineriei electrice, încă de la apariția primelor microcontrolere și microprocesoare programate în limbaj de asamblare. Ceea ce s-a schimbat în ultimii ani este reprezentat de resursele tehnologice în continuă expansiune, pe diverse niveluri de complexitate, de accesibilitatea acestora atât amatorilor cât și celor care își dezvoltă o carieră în domeniu și de dezvoltarea unor perspective noi în folosirea acestor resurse, legate de contextul apariției Internet of Things (IoT), Cloud - Computing și Industry 4.0.

Într-o accepțiune mai largă, conceptul de sisteme microprogramabile (cu varianta de largă accepțiune din limba engleză – „embedded systems”) cuprinde toate soluțiile arhitecturale de sisteme cu elemente de procesare numerică ce pot fi integrate fizic în sisteme care le pot folosi ca și „creiere” pentru executarea unor sarcini impuse prin algoritmi de către utilizatori.

Materialul de față se adresează în primul rând studenților din cadrul Facultății de Inginerie Electrică, Universitatea Tehnică din Cluj-Napoca, cât și celor de la Extensia Bistrița, ca suport pentru aplicațiile realizate în cadrul disciplinei Sisteme cu microprocesoare. Implementările conțin o abordare teoretică condensată, structurată pe șase teme de studiu, care urmează un fir logic al înțelegerii pas cu pas a conceptelor și componentelor de bază, urmate de implementări hardware și software detaliate pe o varianta populară de microcontroler – Arduino Nano. Totodată, autorii invită orice cititor interesat de înțelegerea ghidată și implementarea pas cu pas a unor proiecte folosind această platformă de dezvoltare să folosească acest material, asigurându-i că vor câștiga o aprofundare corectă și solidă a materialului prezentat, atât prin abordarea sistematică propusă, cât și prin proiectele demonstrative propuse.

În cadrul prezentului ghid de aplicații tematica este structurată sub forma a șase capitole principale sau teme de studiu:

1. Noțiuni introductive;
2. Manipularea intrărilor și ieșirilor digitale;
3. Manipularea intrărilor analogice;
4. Aplicații generale de interfațare;
5. Protocele de comunicație;
6. Mediul Matlab – Simulink;

În cadrul primei teme de studiu, au fost prezentate principalele aspecte legate de logica binară, baze de numerație, metode de reprezentare și manipulare a datelor numerice precum și diverse noțiuni introductive legate de arhitectura microcontrolerului ATmega 328P și diverse mijloace fizice (eng. hardware) de programare. Tot în cadrul primei teme au fost propuse trei aplicații demonstrative pe baza instrucțiunilor în limbaj de asamblare specifice arhitecturii interne a microcontrolerului ATmega 328P:

1. Manipularea directă a regiștrilor „DDRD” și „PORTD” - aplicație specifică studierii circuitelor logice combinaționale (statice);
2. Manipularea indirectă a regiștrilor „DDRD” și „PORTD” pe baza operatorilor binari - aplicație specifică studierii circuitelor logice secvențiale (dinamice);

3. Manipularea indirectă a regiștrilor „DDRD” și „PORTD” pe baza structurilor secvențiale iterative (eng. „for ()”) - aplicație specifică instrucțiunilor iterative (numărător binar);

A doua temă de studiu a avut ca scop prezentarea generală a principalelor metode și limbaje de programare specifice microcontrolerului ATmega 328P. Tot în cadrul acestui capitol a fost subliniată și noțiunea de platformă de dezvoltare (platforma Arduino NANO). Începând cu această temă, a fost stabilit de asemenea ca și limbaj de programare implicit limbajul C / C++ având în plus setul de instrucțiuni „Wiring” specific domeniului sistemelor microprogramabile (eng. embedded systems). În cadrul acestei teme a fost descrisă și procedura de manipulare a intrărilor și ieșirilor digitale pe baza funcțiilor „digitalRead ()”, „digitalWrite ()” și „analogWrite()”. În acest sens, au fost propuse șase aplicații spre implementare:

1. Semnalizare intermitentă continuă cu două diode electroluminiscente (eng. LED);
2. Semnalizare intermitentă variabilă cu două diode electroluminiscente;
3. Semnalizare intermitentă continuă cu opt diode electroluminiscente;
4. Preluarea stării digitale de la un întreruptor;
5. Redirecționarea semnalului digital de la o intrare digitală înspre o ieșire digitală;
6. Auto-menținerea stării digitale la acționarea unui buton cu apăsare și revenire;

A treia temă de studiu a cuprins noțiunile introductive specifice procesării semnalelor analogice pe baza sistemelor microprogramabile. A fost prezentată noțiunea de convertor analog – digital (sau analog – numeric – eng. ADC – Analog to Digital Converter) și principiul de funcționare. A fost descris de asemenea modul de funcționare al etajului comparator din cadrul arhitecturii microcontrolerului ATmega 328P. A fost prezentată de asemenea procedura de calibrare a unui senzor analogic. Totodată în cadrul acestei teme de studiu au fost prezentate principalele funcții specifice procedurii de manipulare a convertorului analog – digital precum „analogRead ()”. Au fost propuse de asemenea șase teme de studiu:

1. Determinarea rezoluției convertorului analog – digital (cu afișare în monitorul serial);
2. Determinarea preciziei convertorului analog – digital și a valorii de tensiune măsurată;
3. Determinarea temperaturii cu ajutorul traductorului LM-35;
4. Implementarea unui comparator numeric cu prag digital reglabil (funcția „if”);
5. Implementarea unei coloane luminoase indicatoare de nivel (funcția „map”);
6. Generarea unui semnal dreptunghiular modulat în lățime (funcția „map”);

A patra temă de studiu a rezumat toate noțiunile introductive studiate în capitolele anterioare într-o serie de șase aplicații generale de interfațare. A fost prezentat conceptul de interfațare. Au fost prezentate și principalele tipuri de aplicații cu microcontrolere:

- aplicații independente;
- aplicații dependente de elementele de interfațare;
- aplicații hibride;

Au fost prezentate de asemenea o serie de metode și proceduri de optimizare:

- introducerea unui timp de întârziere;
- introducerea unor constrângeri;
- introducerea unui algoritm de mediere în timp a semnalului;
- algoritmul de ștergere automată a caracterelor remanent de pe ecran;

Primele trei aplicații au avut ca și scop validarea procedurilor de optimizare. În final, pe baza noțiunilor generale însușite în capitolele anterioare și a algoritmilor de optimizare

s-a procedat la implementarea a două aplicații concrete precum „termometru digital” și „riglă digitală”. Prin urmare, au fost propuse spre implementare următoarele aplicații:

1. Controlul digital al factorului de umplere pentru un semnal modulat în lățime;
2. Preluarea temperaturii de la un traductor și filtrarea zgomotelor;
3. Măsurarea distanței cu ajutorul traductorului ultrasonic HC – SR04;
4. Utilizarea unui afișaj de tip LCD;
5. Implementarea unui termometru digital;
6. Implementarea unei rigle digitale;

A cincea temă a avut ca scop prezentarea principalelor protocoale de comunicație între sistemele microprogramabile. A fost evidențiat conceptul de protocol „paralel” sau „serial”. Au fost prezentate conceptele de protocoale seriale asincrone și sincrone. A fost prezentat conceptul de protocol „punct la punct” și „master – slave”. A fost prezentat de asemenea modulul Bluetooth – Serial HC-05 și traductorul digital de umiditate și temperatură DHT-11. A fost prezentat de asemenea conceptul de aplicație multipunct și variabile comune sau partajate (eng. shared variables). În acest sens, au fost propuse șase aplicații spre implementare:

1. Recepționarea datelor prin interfața serial de la microcontroler;
2. Transmiterea datelor prin intermediul interfeței serial la microcontroler;
3. Recepționarea datelor prin intermediul modulului Bluetooth HC-05;
4. Transmiterea datelor prin intermediul modulului Bluetooth HC-05;
5. Preluarea datelor de la traductorul de umiditate și temperatură DHT-11;
6. Implementarea unei aplicații de monitorizare multipunct a parametrilor ambiantali;

A șasea temă a avut ca și scop prezentarea modului de lucru a microcontrolerului în mediul grafic de simulare testare și programare MathWorks Matlab – Simulink. Pe baza pachetului de instrumente Arduino IO a fost realizată legătura între platforma de dezvoltare Arduino și mediul Matlab – Simulink. A fost prezentat conceptul de „Rapid Control Prototyping” și „Computer Aided Engineering”. Toate aceste proceduri pot fi realizate în scopul testării și validării automate a unui echipament aflat în faza de producție. Mediul grafic de simulare și testare Matlab – Simulink prezintă o largă varietate de instrumente și facilități în ceea ce privește procesarea numerică a datelor recepționate de la traductoare. În acest sens, au fost propuse trei aplicații în vederea implementării:

1. Semnalizare alternativă intermitentă cu două diode electroluminiscente (eng. LED);
2. Achiziționarea unui semnal digital;
3. Măsurarea temperaturii și declanșarea unei ieșiri digitale la depășirea pragului impus;

În cele din urmă, autorii doresc să aducă mulțumiri și deosebit aprecieri tuturor colegilor din colectivul de Electronică de Putere și Acționări Electrice care au ajutat la întocmirea prezentului ghid de aplicații.

Cuprins

Tema de studiu nr. 1 – Noțiuni introductive.....	6
I. SCOPUL TEMEI	6
II. INTRODUCERE.....	6
III. INTEGRAREA MICROCONTROLLERULUI ATMEGA 328P ÎNTR-O APLICAȚIE	7
IV. METODE DE PROGRAMARE A MICROCONTROLLERULUI	11
V. EXEMPLE DE IMPLEMENTARE	16
VI. CONCLUZII.....	23
VII. BIBLIOGRAFIE.....	23
Tema de studiu nr. 2 - Manipularea intrărilor și ieșirilor digitale	25
I. SCOPUL TEMEI	25
II. INTRODUCERE.....	25
IV. IMPLEMENTAREA APLICAȚIILOR.....	34
V. CONCLUZII	49
VI. BIBLIOGRAFIE	49
Tema de studiu nr. 3 – Manipularea intrărilor analogice	50
I. SCOPUL TEMEI	50
II. INTRODUCERE.....	50
III. ASPECTE TEORETICE	51
IV. IMPLEMENTAREA APLICAȚIILOR.....	57
V. CONCLUZII	72
VI. BIBLIOGRAFIE	73
Tema de studiu nr. 4 – Aplicații generale de interfațare.....	74
I. SCOPUL TEMEI	74
II. INTRODUCERE.....	74
III. ASPECTE TEORETICE	76
IV. IMPLEMENTAREA APLICAȚIILOR.....	80
V. CONCLUZII	99
VI. BIBLIOGRAFIE	100
Tema de studiu nr. 5 - Protocoale de comunicație	101
I. SCOPUL TEMEI	101
II. INTRODUCERE [1], [2], [3]	101
III. ASPECTE TEORETICE [1], [2], [3], [4]	104

IV. IMPLEMENTAREA APLICAȚIILOR [4], [5], [6], [7].....	108
V. CONCLUZII	130
VI. BIBLIOGRAFIE	130
Tema de studiu nr. 6 – Mediul Matlab – Simulink	131
I. SCOPUL TEMEI	131
II. INTRODUCERE [1], [2], [3]	131
III. ASPECTE TEORETICE [1], [2].....	133
IV. IMPLEMENTAREA APLICAȚIILOR.....	136
V. CONCLUZII	147
VI. BIBLIOGRAFIE	147

Tema de studiu nr. 1 – Noțiuni introductive

I. SCOPUL TEMEI

- familiarizarea cu noțiunile de bază introductive în domeniul programării și al operațiilor logice binare;
- familiarizarea cu noțiunile legate de tehnologiile de integrare a dispozitivelor de calcul specializate;
- însușirea noțiunilor de sistem de calcul și a conceptelor fundamentale legate de sistemele încorporate (eng. Embedded Systems);
- studiul și analiza funcțională a arhitecturii microcontrolerului ATmega 328P, împreună cu metodele și procedurile de programare specifice [1].

II. INTRODUCERE

În cadrul aplicațiilor specifice domeniilor ingineresti, cu precădere cel al ingineriei electrice și electronice, este necesară de cele mai multe ori proiectarea unor sisteme de comandă și control care au rolul de a deservi anumite procese tehnologice. Prin acest fapt a fost facilitată de utilizarea, pe scară largă a sistemelor microprogramabile de tip **microcontroler** [2]. Microcontrolerul există în echipamente precum:

- aparatura electrocasnică și dispozitive sau bunuri de larg consum (ex. imprimanta);
- sistemele de monitorizare și automatizare (ex. termostatul);
- aparatura specializată în domeniul de măsurare (ex. termometrul medicinal);
- aparatura industrială (ex. mașina pentru înfiletat);

În plus față de microcontroler se regăsesc și alte tipuri de sisteme microprogramabile precum:

- sistemele monobloc cu microprocesoare dedicate **SoC** (eng. System On a Chip);
- procesoarele digitale de semnal **DSP** (eng. Digital Signal Processor);
- ariile de porți programabile **FPGA** (eng. Field Programmable Gate Array);

În literatura de specialitate toate aceste dispozitive microprogramabile pot fi regăsite sub denumirea de „microsisteme integrate sau încorporate” (eng. embedded systems). Integrarea sau încorporarea dispozitivului de procesare central într-o aplicație conduce la obținerea unui echipament sau produs finit. În general, integrarea dispozitivului central de calcul se realizează pe baza unui cablaj imprimat care la rândul său interconectează o serie de **periferice** precum:

- componente electronice pentru semnalizarea unor situații (ex. indicatori de tip LED sau difuzor);
- componente pentru preluarea comenzilor externe (ex. butoane sau senzori);
- dispozitive pentru comunicare cu alte echipamente (ex. adaptoare Bluetooth – Serial);

În cadrul proceselor de fabricare a echipamentelor electronice se pot distinge două tehnologii de integrare a dispozitivului central de procesare:

- tehnologia (eng.) „On board” (integrarea pe un cablaj imprimat);
- tehnologia (eng.) „System On a Chip” (integrarea monobloc într-o singură capsulă);

Microcontrolerul reprezintă o soluție de integrare de tip **SoC** a tuturor perifericelor necesare funcționării (ex. memorie RAM, ROM, Flash, procesor etc.).

În practică există mai multe modele și variante constructive, de la diverși producători, ale microcontrolerelor precum:

- MicroChip PIC 10F200, [3];
- Infineon XMC1400, [4];
- STMicroelectronics STM32 F205, [5];
- **Atmel, AVR, MicroChip ATmega 328P;**

Platformele de dezvoltare construite în jurul unui dispozitiv central de procesare reprezintă o soluție de integrare **On Board** a tuturor perifericelor opționale dar **nu neapărat necesare sau vitale** funcționării sistemului de calcul.

În practică, există mai multe modele și variante constructive ale platformelor de dezvoltare, de la diverși producători, precum:

- MicroChip Explorer 16/32 Development Board [6];
- Infineon AURIX TC275 ARDSBTOB01 [7];
- STMicroelectronics NUCLEO - L010RB [8];
- **Arduino NANO, MEGA, UNO, DUE, Leonardo etc [9].**

III. INTEGRAREA MICROCONTROLLERULUI ATMEGA 328P ÎNTR-O APLICAȚIE

În vederea evidențierii conceptelor teoretice fundamentale specifice funcționării sistemelor microprogramabile (cu concentrare pe microcontrolere), va fi analizată arhitectura microcontrolerului ATmega 328P.

Conform catalogului dispozitivului electronic ATmega 328P, acesta poate fi regăsit în trei variante constructive, anume, TQFP, MLF, PDIP-28 (Fig. 1.1).

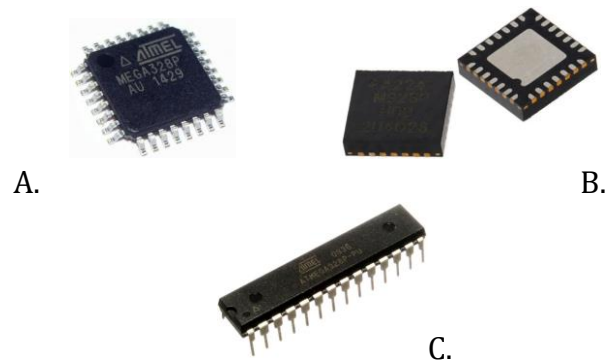


Fig. 1.1 – Microcontrolerul ATmega 328P (A. TQFP, B. MLF, C. PDIP-28)

Arhitectura internă a microcontrolerului ATmega 328P (Fig. 1.2), prezintă o serie de etaje constructive precum:

- unitate centrală de procesare cu frecvența maximă de lucru la 16 [MHz];
- memorie EEPROM având capacitatea de 1 [KB] și 100000 de cicluri de inscripționare;
- memorie SRAM având capacitatea de 2 [KB];
- memorie FLASH având capacitatea de 32 [KB] și 10000 de cicluri de inscripționare
- numărător sau temporizator având rezoluția pe 8 și 16 biți;
- interfețe de comunicare UART / USART, I²C, TWI, SPI, debugWIRE;
- registre de intrare și ieșire de uz general (eng. General Purpose Input or Output – GPIO);
- convertoare analog – digitale (eng. Analog to Digital Converter – ADC);

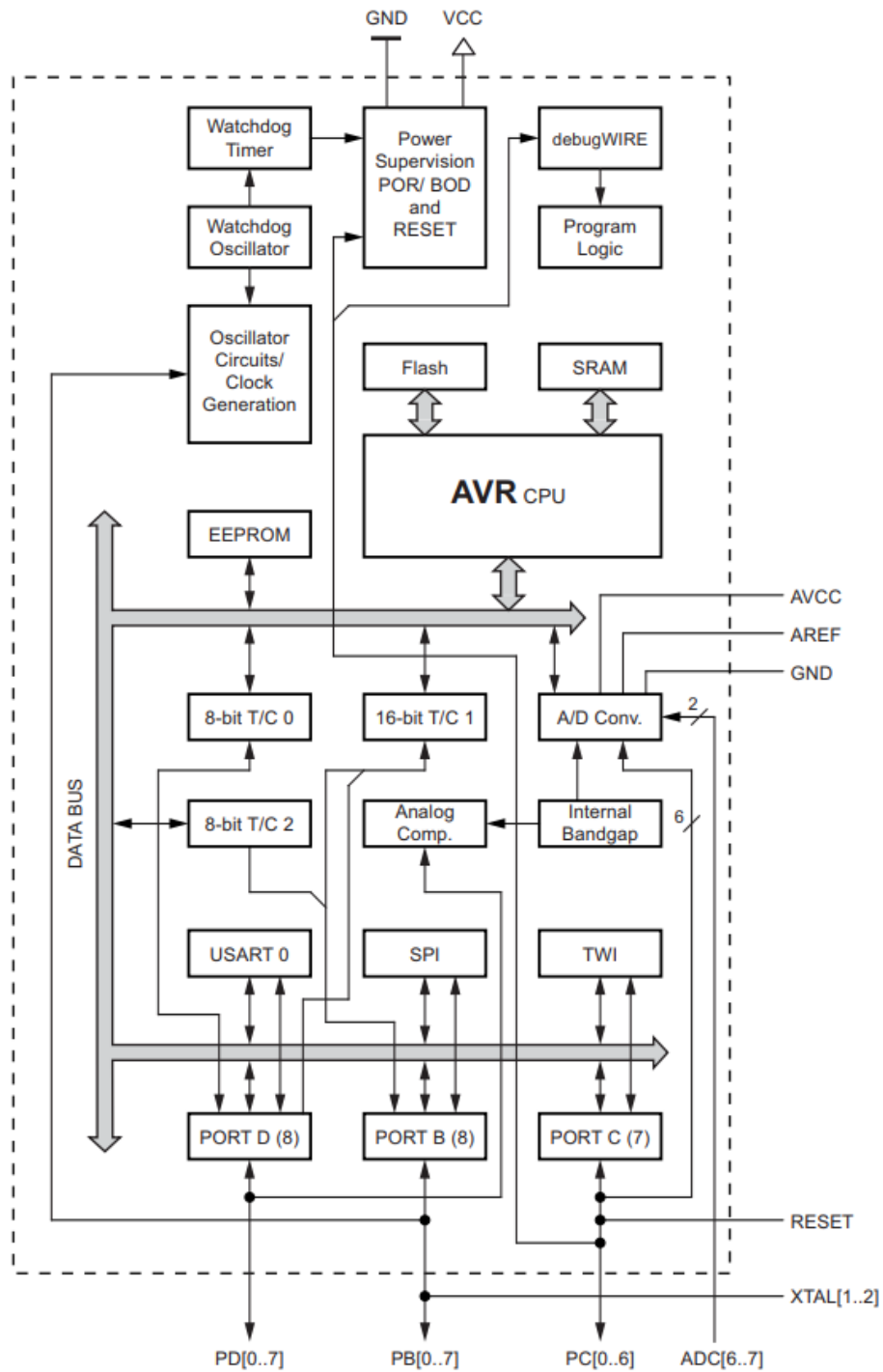


Fig. 1.2 – Arhitectura internă a microcontrolerului ATmega 328p (schema bloc)

Tot în cadrul datelor de catalog, se regăsește diagrama de distribuție a terminalelor (eng. pinout diagram) reprezentând funcțiile posibile ale acestora (Fig. 1.3) [10].

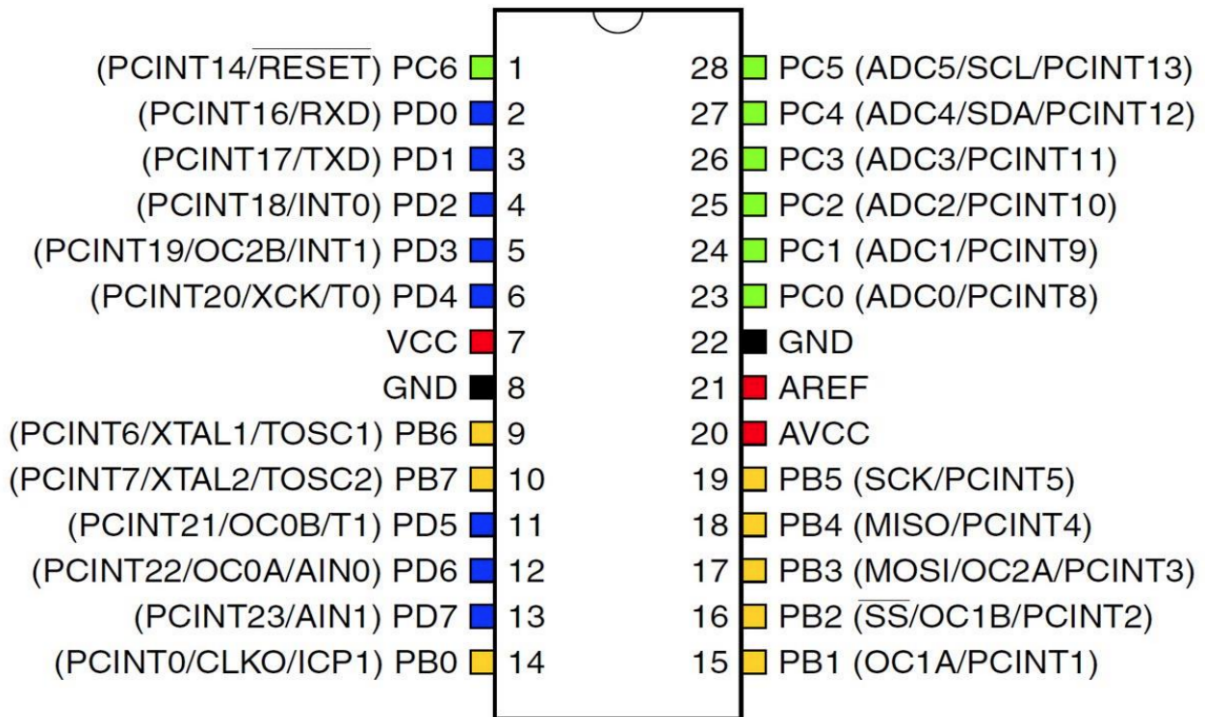


Fig. 1.3 – Diagrama de distribuție a terminalelor și funcțiile alocate acestora la nivel de microcontroler

Pentru a integra microcontrolerul ATmega 328P într-o anumită aplicație, este necesară introducerea a cel puțin trei etaje de circuit fundamentale (Fig. 1.4) [11]:

- etajul de alimentare pe bază de stabilizator liniar de tensiune (marcaj verde);
- etajul oscilatorului cu cuarț (marcaj portocaliu);
- etajul pentru tratarea rutinei de reinițializare (eng. RESET), (marcaj albastru);

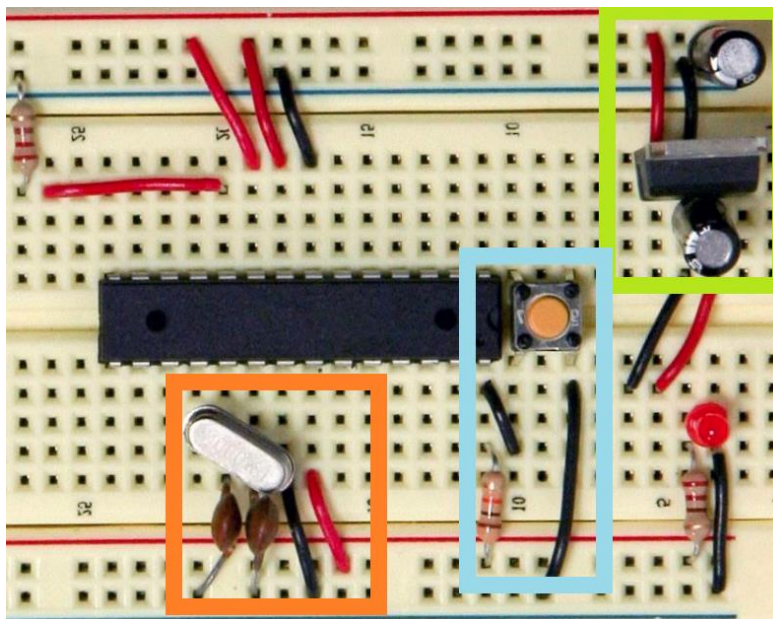


Fig. 1.4 – Integrarea microcontrolerului ATmega 328P într-o aplicație

În vederea transferării inițiale a informației numerice în memoria microcontrolerului și în vederea programării acestuia, dispozitivul programator (ex. SparkFun USB Tiny AVR Prog) se va atașa la terminalele „VCC”, „AREF”, „AVCC”, „GND”, „SCK”, „MOSI”, „MISO” și „RESET” ale microcontrolerului (Fig. 1.5) [12]. Procedura utilizată în această situație, reprezintă un protocol de comunicare direct (între calculatorul gazdă și microcontroler) prin interfață USB – SPI (eng. Serial to Peripheral Interface).

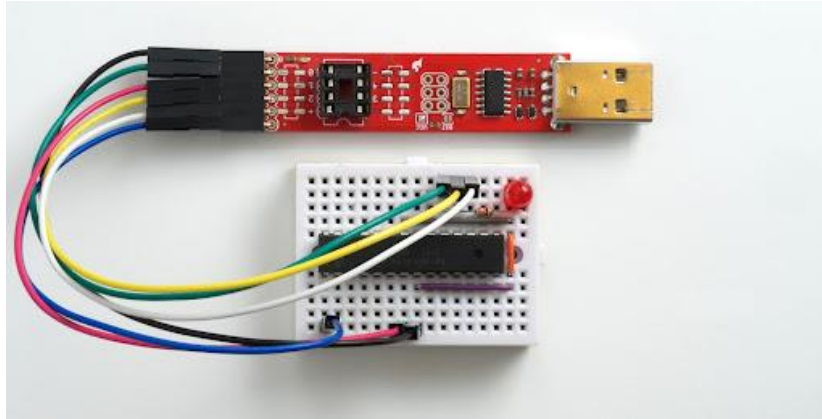


Fig. 1.5 – Atașarea dispozitivului programator USB – SPI la ATmega 328P

Există, de asemenea, posibilitatea de a programa microcontrolerul ATmega 328P și prin intermediul unui dispozitiv adaptor de tip USB – TTL – Serial (ex. FTDI FT232RL) (Fig. 1.6) [13]. Această procedură de programare și comunicare cu calculatorul gazdă, spre deosebire de metoda expusă anterior, necesită transferarea inițială în memoria FLASH a microcontrolerului a secvenței de cod pentru inițializarea a comunicației Serial dintre microcontroler și calculatorul gazdă. În literatura de specialitate această secvență de cod care inițializează comunicația Serial în vederea programării, poartă denumirea de „Bootloader”. Aceasta trebuie inscripționată inițial cu ajutorul unui dispozitiv programator de tip USB – SPI.

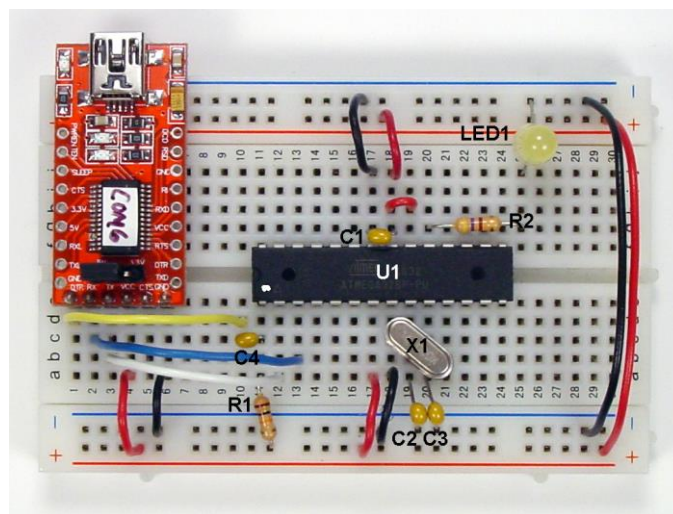


Fig. 1.6 – Atașarea dispozitivului programator USB – Serial la ATmega 328P

IV. METODE DE PROGRAMARE A MICROCONTROLLERULUI

Există patru metode de programare a unui sistem de calcul, anume:

- programarea în cod mașină;
- programare în limbaj de asamblare;
- programare în sintaxă;
- generare automată de cod pe baza mediilor grafice de programare;

Trecerea de la un nivel superior al limbajului de programare precum mediul grafic, la un nivel inferior cum este codul mașină sau limbajul de asamblare, în literatura de specialitate poartă denumirea de „proces de compilare” (eng. compilation). Practic, procesul de compilare reprezintă „translatarea” codului program de la un nivel inteligibil al factorului uman înspre un nivel compatibil cu sistemul de calcul dat (Fig. 1.7), [14].

Correspondența dintre elementele de program regăsite în limbajele de programare se realizează prin intermediul funcțiilor și a bibliotecilor de funcții (eng. function libraries). Există biblioteci de funcții care asigură trecerea de la mediul grafic la sintaxă, de la sintaxă la limbaj de asamblare, de la limbajul de asamblare la codul specific arhitecturii sistemului de calcul, anume instrucțiuni în cod binar sau hexazecimal.



Fig. 1.7 – Metode și limbaje de programare specifice lucrului cu microcontrolere
Ilustrarea procesului de compilare

Există de asemenea, posibilitatea de a manipula în mod direct conținutul registrelor de memorie prin așa zisa **metodă hibridă de programare în sintaxă și limbaj de asamblare**, denumită în literatura de specialitate Mixed assembly – syntax (eng). Memoria microcontrolerului ATmega 328P este organizată tabelar în registre a câte opt unități fundamentale, anume opt biți, sau un octet (byte).

Registrul reprezintă o zonă dedicată din memorie pentru a îndeplini o anumită funcție în cadrul microcontrolerului. Un exemplu de astfel de registru, poate fi „SREG” (Fig. 8), registrul de stare.

SREG – AVR Status Register

The AVR status register – SREG – is defined as:

Bit	7	6	5	4	3	2	1	0	
0x3F (0x5F)	I	T	H	S	V	N	Z	C	SREG
Read/Write	R/W	R/W	R/W	R/W	R/W	R/W	R/W	R/W	
Initial Value	0	0	0	0	0	0	0	0	

Fig. 1.8 – Structura registrului de stare „SREG” al microcontrolerului ATmega 328P

Rolul registrului de stare SREG este de a consemna situațiile prevăzute sau neprevăzute care au loc în timpul efectuării unor operații aritmetice sau logice. În cadrul registrului de stare, există opt poziții binare, care descriu funcționarea unității centrale de procesare (CPU) în operațiile aritmetice sau logice pe care le execută și semnalizează apariția unor evenimente speciale. Fiecare poziție din șirul de biți componenți ai registrului SREG are o anumită semnificație.

Există de asemenea, la nivelul memoriei microcontrolerului ATmega 328P, o zonă specială, rezervată terminalelor specifice intrărilor și ieșirilor digitale. Prin intermediul intrărilor și ieșirilor de uz general (GPIO) microcontrolerul poate furniza sau accepta din exterior un nivel de tensiune cuprins între zero și valoarea nivelului tensiunii de alimentare. Terminalele care au funcția de intrare și ieșire digitală, sunt grupate câte opt la nivelul carcasi microcontrolerului. Grupările a câte opt terminale se numesc „PORTx” (unde „x” reprezintă litera alocată în ordine crescătoare a grupărilor). Pentru exemplificare, se va alege gruparea de terminale „PORTD” (corespunzătoare portului D al microcontroler-ului ATmega 328P).

Registrul care controlează modul de lucru al unei grupări de tip PORTx, este denumit „DDRD” (eng. Data Direction Register of PORT D) (Fig. 1.9).

Dacă valoarea tuturor pozițiilor de memorie din registrul „DDRB” va fi zero, atunci toate terminalele de pe carcasa microcontrolerului care aparțin grupului „PORTD” vor avea rolul de intrări digitale, și vor prelua o diferență de potențial. În cazul în care diferența de potențial este diferită de zero, la unul dintre terminale, în zona de memorie, în registrul „PORTD” se va modifica valoarea de la zero (0) la valoarea unu (1).

În cazul contrar, când valoarea tuturor pozițiilor din registrul DDRD va fi unu logic, atunci, terminalele de la nivelul carcasi grupate în PORTD vor avea funcția de ieșire digitală, iar conform conținutului din memorie aflat în registrul de stare PORTD, potențialul la terminalele date, se va modifica conform secvenței memorate.

13.4.9 DDRD – The Port D Data Direction Register

Bit	7	6	5	4	3	2	1	0	
0x0A (0x2A)	DDD7	DDD6	DDD5	DDD4	DDD3	DDD2	DDD1	DDD0	DDRD
Read/Write	R/W	R/W	R/W	R/W	R/W	R/W	R/W	R/W	
Initial Value	0	0	0	0	0	0	0	0	

Fig. 1.9 - Structura registrului de stabilire a modului de lucru „DDRD”

Registrul „PORTD” gestionează diferența de potențial la nivelul terminalelor grupate în „PORTD” de la periferia carcasi microcontrolerului (Fig. 1.10).

13.4.8 PORTD – The Port D Data Register

Bit	7	6	5	4	3	2	1	0	
0x0B (0x2B)	PORTD7	PORTD6	PORTD5	PORTD4	PORTD3	PORTD2	PORTD1	PORTD0	PORTD
Read/Write	R/W	R/W	R/W	R/W	R/W	R/W	R/W	R/W	
Initial Value	0	0	0	0	0	0	0	0	

Fig. 1.10 - Structura registrului „PORTD” pentru stabilirea diferenței de potențial la nivelul terminalelor grupate în registrul „PORTD”

Manipularea în mod direct a informației binare aflată în conținutul registrelor din memoria microcontrolerului ATmega 328P presupune, cunoașterea temeinică a metodelor și procedurilor de programare în limbaj de asamblare și gestionarea eficientă a valorilor numerice prin transformarea lor dintr-o bază de numerație în alta.

Pentru a gestiona valorile numerice dintr-un șir binar în mod corect, se vor respecta trei reguli de bază:

1. Într-un șir de valori scrise în sistem de numerație binar indicele de ordonare în șir începe de la ZERO tot timpul!

Drept consecință a primei reguli, rezultă a doua regulă pentru gestionarea șirurilor de valori binare, anume:

2. Valoarea maximă a indicelui de ordonare într-un șir binar are expresia $(2^{n-1})!$

În cadrul expresiei (2^{n-1}) , „2” reprezintă baza de numerație iar „n” reprezintă numărul de termeni sau de biți din cadrul șirului binar utilizat în vederea reprezentării unei valori numerice. Rezultă faptul că, pentru determinarea valorii în sistemul de numerație zecimal a unui șir binar, se va utiliza metoda de exprimare sub forma unui polinom ponderat cu baza „2”.

Spre exemplu: Se dă șirul binar 1001, să se determine valoarea numerică zecimală exprimată prin intermediul șirului binar dat.

$$X_{(2)4} = b_{4-1} \cdot 2^{4-1} + b_{4-2} \cdot 2^{4-2} + b_{4-3} \cdot 2^{4-3} + b_{4-4} \cdot 2^{4-4}$$

$$X_{(2)4} = b_3 \cdot 2^3 + b_2 \cdot 2^2 + b_1 \cdot 2^1 + b_0 \cdot 2^0$$

$$X_{(2)4} = b_3 \cdot 2^3 + b_2 \cdot 2^2 + b_1 \cdot 2^1 + b_0 \cdot 2^0$$

$$X_{(2)4} = 1 \cdot 2^3 + 0 \cdot 2^2 + 0 \cdot 2^1 + 1 \cdot 2^0$$

$$X_{(2)4} = 8 + 0 + 0 + 1 = 9$$

Unde „ b_{n-i} ” reprezintă elementul din șir (bitul) cu indicele de ordine „n-i”.

Totodată pe baza primelor două reguli, va fi posibilă întocmirea tabelului de adevăr, de corespondență între valorile binare, zecimale și hexazecimale. Spre exemplu, în vederea exprimării în binar, pe patru biți a unei valori zecimale, și în hexazecimal, tabelul (Tabel 1.1) de adevăr se va întocmi astfel:

N	Hex.	b3	b2	b1	b0
0	0	0	0	0	0
1	1	0	0	0	1
2	2	0	0	1	0
3	3	0	0	1	1
4	4	0	1	0	0
5	5	0	1	0	1
6	6	0	1	1	0
7	7	0	1	1	1
8	8	1	0	0	0
9	9	1	0	0	1
10	A	1	0	1	0
11	B	1	0	1	1
12	C	1	1	0	0
13	D	1	1	0	1
14	E	1	1	1	0
15	F	1	1	1	1

Tabel 1.1 – Tabelul de adevăr pentru exprimarea valorilor de la 0 la 15 pe patru biți

Ca și consecință a celei de-a doua regulă, rezultă a treia regulă de transformare numerică din orice bază de numerație în zecimal, anume:

3. Există o formulă general valabilă pentru transformare în sistem zecimal din orice bază de numerație având o reprezentare pe un număr „n” de biți:

$$X_{(z)n} = \sum_{\substack{i=1 \\ i \leq n}}^n b_{n-i} \cdot z^{n-i}$$

Unde, „z” reprezintă baza de numerație, „n” numărul de biți iar „i” reprezintă indicele de ordine al elementului apartenent șirului de valori binare.

Spre exemplu: Fie valoarea numerică „0xFE” exprimată în hexazecimal. Să se determine, valoarea numerică în sistem zecimal corespunzătoare numărului dat inițial.

$$X_{(16)_2} = b_{2-1} \cdot 16^{2-1} + b_{2-2} \cdot 16^{2-2}$$

$$X_{(16)_2} = b_1 \cdot 16^1 + b_0 \cdot 16^0$$

$$X_{(16)_2} = 15 \cdot 16^1 + 14 \cdot 16^0 = 240 + 14 = 254$$

Efectuarea operațiilor în binar presupune semnalarea unei serii de „evenimente” care pot avea loc în memoria sistemului de calcul precum:

- rezultat zero (presupune activarea bitului „Z” din registrul SREG);
- rezultat negativ (presupune activarea bitului „N” din registrul SREG);
- transport pe jumătate de octet (presupune activarea bitului „H” din registrul SREG);

- transport pe întreg octetul (presupune activarea bitului „C” din registrul SREG);
Spre exemplu, la însumarea valorii binare „0001” cu „0001”, are loc fenomenul de transport binar, de la poziția bitului zero la poziția bitului unu.

Fenomenul de transport binar are loc din cauza depășirii domeniului de reprezentare al bazei de numerație în poziția din șir considerată!

BINAR:

```
0001 +
0001
-----
0010
```

Un alt exemplu ar fi însumarea în format zecimal a numărului „99999999” cu „1” (în cazul calculatorului cu număr finit de digiți).

ZECIMAL:

```
99999999 +
          1
-----
```

E00000000 – unde caracterul „E” reprezintă eroare cauzată de depășirea domeniului de reprezentare pe un ecran cu număr finit de digiți

Un alt exemplu ar fi însumarea valorilor „0x0F” și „0x01” în format hexazecimal:

HEXAZECIMAL:

```
0x0F +
0x01
-----
0x10 → BINAR: 0001 0000
```

În limbaj de asamblare, pentru a manipula conținutul registrelor de memorie corespunzătoare intrărilor și ieșirilor digitale, se vor utiliza următoarele instrucțiuni:

- sensul curentului prin terminale digitale grupate în PORTD:

DDRD = B00000000; (terminalele îndeplinesc funcția de intrări digitale);

DDRD = B11111111; (terminalele îndeplinesc funcția de ieșiri digitale);

- starea logică sau diferența de potențial a terminalelor grupate în PORTD:

PORTD = B00000000; (terminalele au starea logic „0” și nu furnizează tensiune);

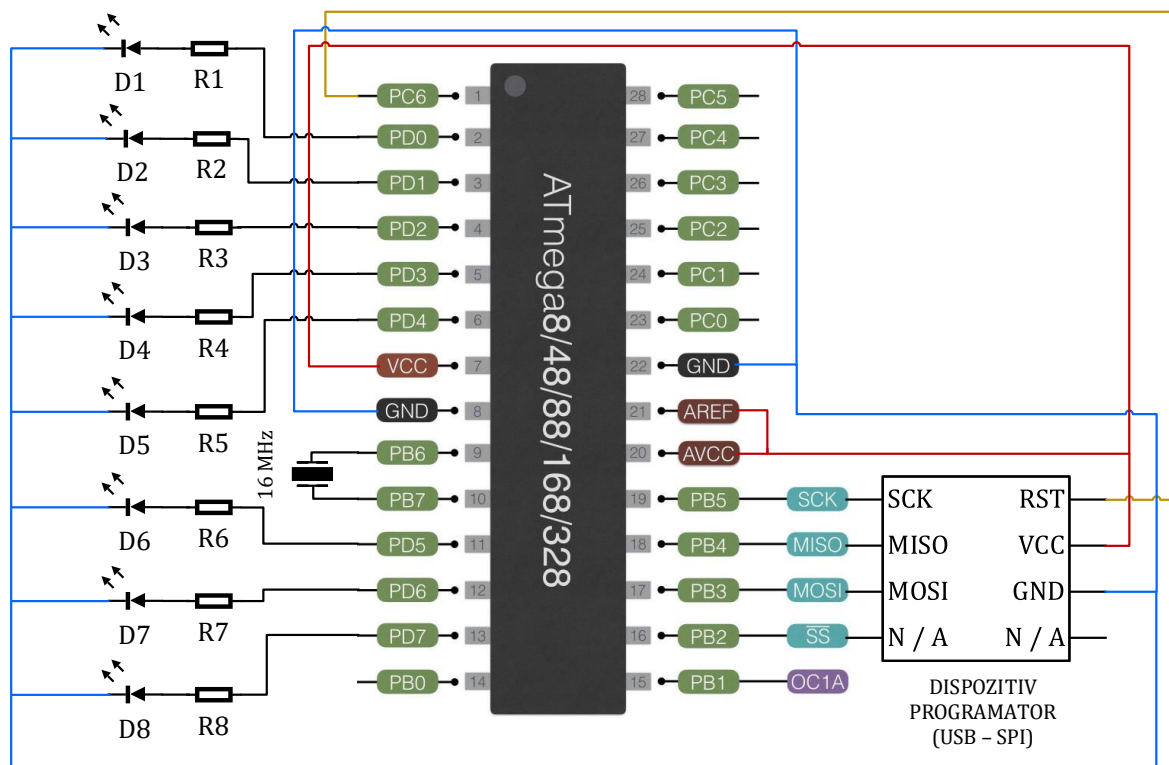
PORTD = B11111111; (terminalele au starea logic „1” și furnizează tensiunea de alimentare);

V. EXEMPLE DE IMPLEMENTARE

Pentru a evidenția modul de programare în limbaj hibrid de asamblare și sintaxă a microcontrolerului ATmega 328P, se va realiza o aplicație cu un șir de 8 LED-uri pe care se vor afișa trenuri binare sau valori hexazecimale. Pentru exersarea noțiunilor teoretice prezentate se vor fi utiliza următoarele componente:

- placă pentru testare rapidă a circuitelor electronice (Wisher WBU-502L);
- microcontroler ATmega 328P;
- diode electroluminiscente (LED-uri);
- rezistențe cu valoarea de 100 Ω ;
- fire pentru conexiune rapidă compatibile cu placa de testare;
- dispozitiv programator SparkFun Tiny AVR Programmer – PGM 11801;
- oscilator pe bază de cristal de cuarț (având frecvența de 16 MHz);
- calculator gazdă având mediul Arduino IDE instalat;
- cablu adaptor sau prelungitor de la tip USB A la tip USB A;

Se va realiza montajul (Fig. 1.12), [16], conform schemei din figura 1.11, [15].



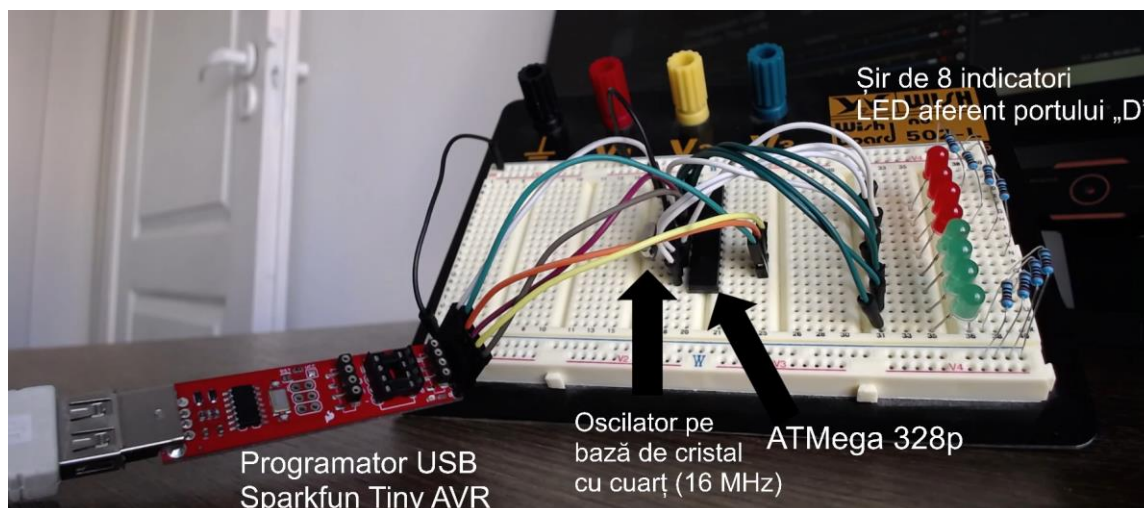


Fig. 1.12 – Montaj experimental

Pentru a transfera informația numerică în memoria microcontrolerului ATmega 328P, se va utiliza dispozitivul SparkFun Tiny AVR Programmer – PGM 11801. Dispozitivul programator reprezintă un adaptor USB la SPI (eng. Serial Peripheral Interface). Pentru a instala pachetul de instrucțiuni aferent dispozitivului programator specific sistemului de operare Microsoft Windows, se va accesa pagina de la adresa următoare: <https://www.sparkfun.com/products/11801>.

De asemenea, este necesar și setul de instrucțiuni pentru compilator în vederea programării microcontrolerului ATmega 328P în mediul Arduino IDE, anume „ATmega Breadboard”. Acest pachet de instrucțiuni poate fi regăsit la următoarea adresa: <https://github.com/technoblogy/atmegabreadboard>. Arhiva se va decompresa în locația „C:\Users\\Documents\Arduino\hardware”. Inițial directorul cu denumirea „hardware” nu există în locația indicată. Acesta se va crea în mod manual de către utilizatorul calculatorului. De asemenea, locația indicată nu există numai după prima rulare a mediului Arduino IDE. Versiunea mediului Arduino IDE utilizată pentru acest laborator este 1.8.19.

După pregătirea tuturor componentelor necesare în vederea programării microcontrolerului ATmega 328P, se vor parcurge următoarele etape:

A. Se va crea un proiect nou în cadrul mediului Arduino IDE 1.8.19, din meniul „File”, cu opțiunea „New” (Fig. 1.13).

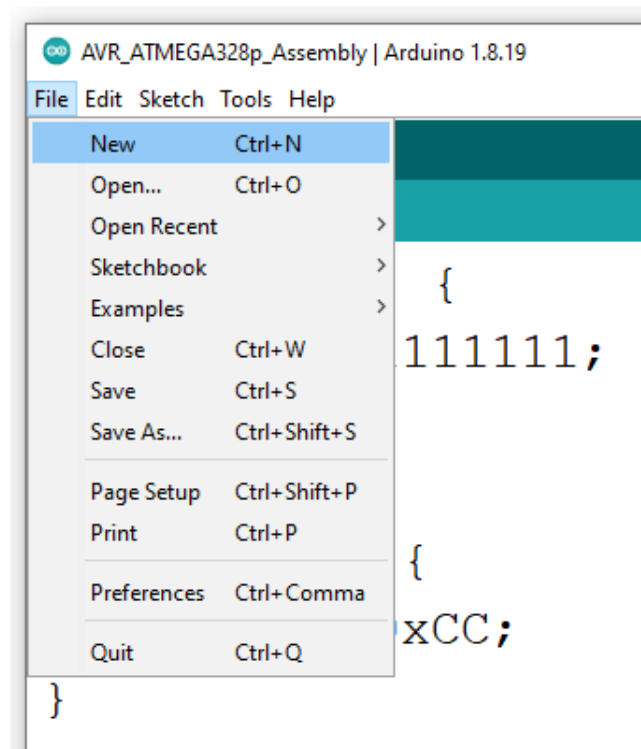


Fig. 1.13 – Crearea unui proiect nou în mediul Arduino IDE

B. Se va salva proiectul nou început într-o locație accesibilă, prin intermediul meniului „File” și a opțiunii „Save As...” (Fig. 1.14).

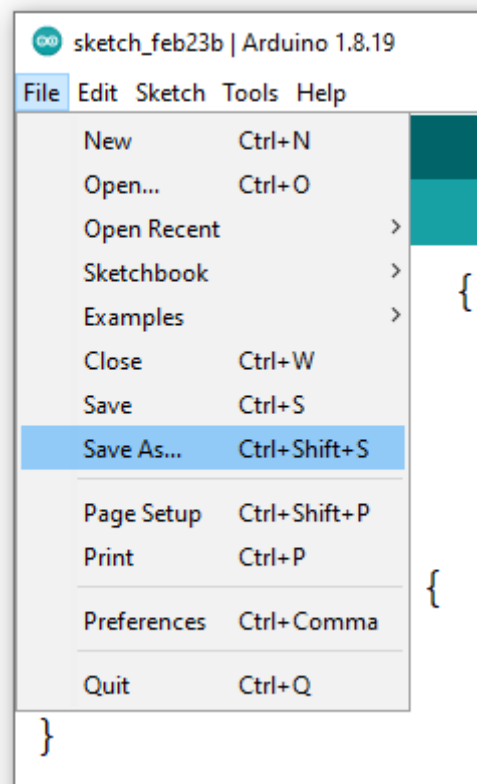


Fig. 1.14 – Salvarea proiectului nou creat

C. Se va alege tipul de microcontroler care urmează a fi programat cu ajutorul mediul Arduino IDE, din meniul „Tools”, opțiunea „Boards”, „ATmegaBreadboard (in sketchbook)”, „ATmega328” (Fig. 1.15).

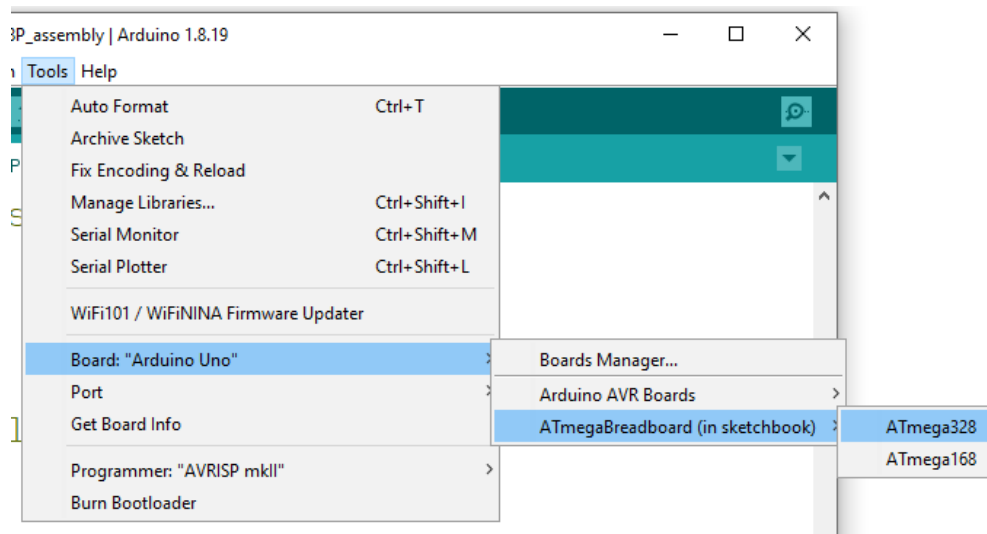


Fig. 1.15 – Alegerea tipului de microcontroler care urmează să fie programat

D. Se va alege varianta constructivă a microcontrolerului, tot din meniul „Tools”, opțiunea „Chip”, „ATmega328P” (Fig. 1.16).

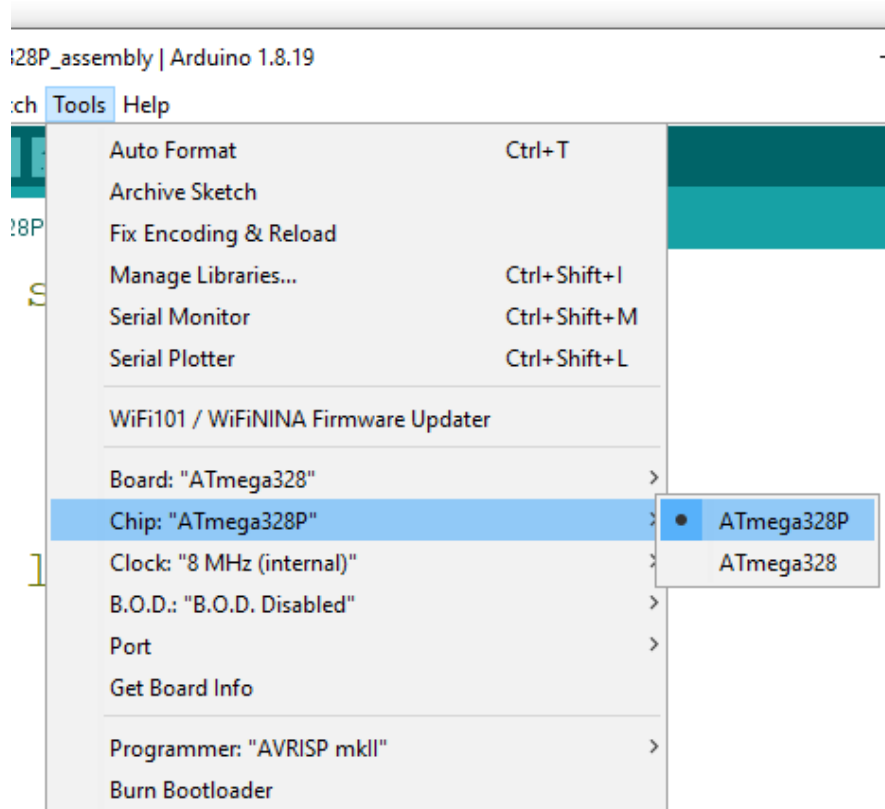


Fig. 1.16 – Alegerea variantei constructive a microcontrolerului care urmează să fie programat

E. Se va alege frecvența oscilatorului pe bază de cuarț atașat la terminalele „XTAL1” și „XTAL2” ale microcontrolerului ATmega 328P, tot din meniul „Tools” opțiunea „Clock”, „16 MHz (external)” (Fig. 1.17).

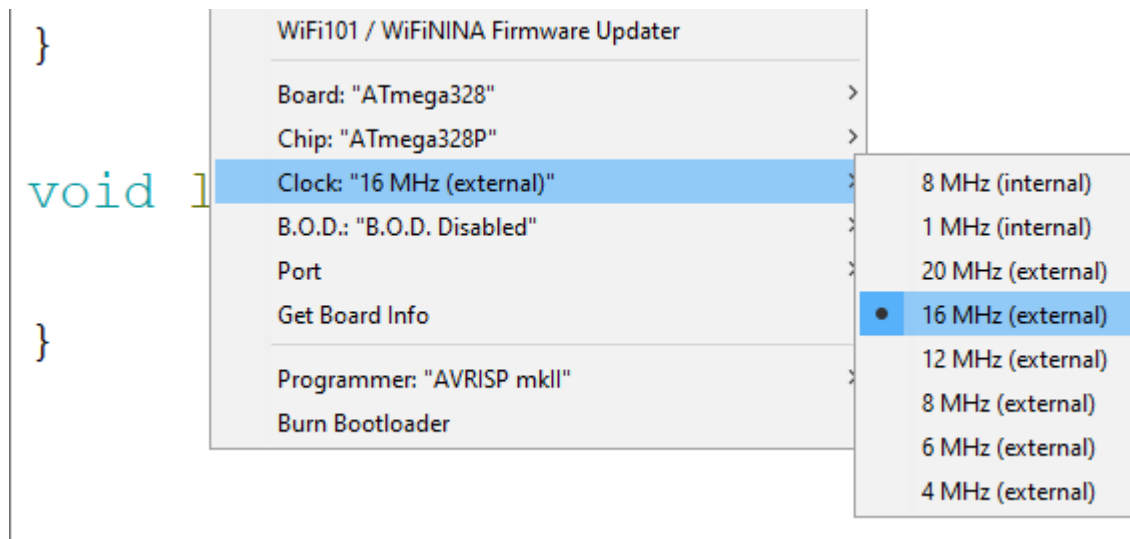


Fig. 1.17 – Alegerea frecvenței oscilatorului pe bază de cuarț atașat la microcontroler

F. Se va alege de asemenea, nivelul critic al tensiunii de alimentare, tot din meniul „Tools”, opțiunea „B.O.D.”, „B.O.D. Disabled” (eng. Brown Out Detection = determinarea nivelului minim sau critic al tensiunii de alimentare) (Fig. 1.18).



Fig. 1.18 – Alegerea nivelului minim al tensiunii de alimentare

G. Se va alege dispozitivul programator tot din meniul „Tools”, opțiunea „Programmer”, „USBtinyISP” (eng. In – System Programmer – ISP) (Fig. 1.19).

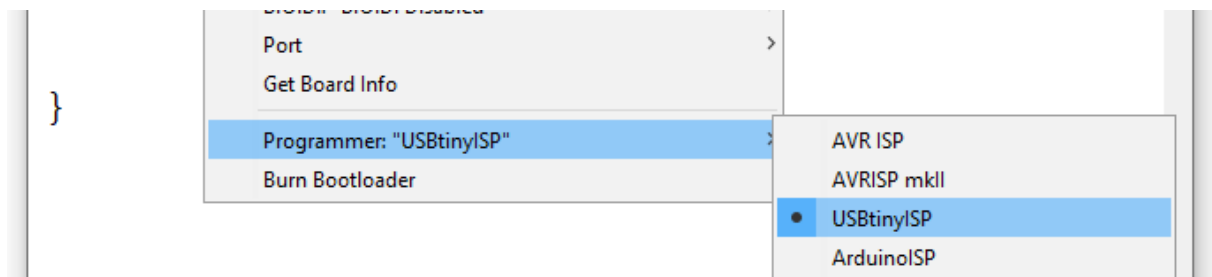


Fig. 1.19 – Alegerea dispozitivului programator

H. Pentru a încheia etapa de parametrizare inițială se va alege opțiunea „Burn Bootloader” (încărcare secvență de cod pentru inițializare), din meniul „Tools” (Fig. 1.20).

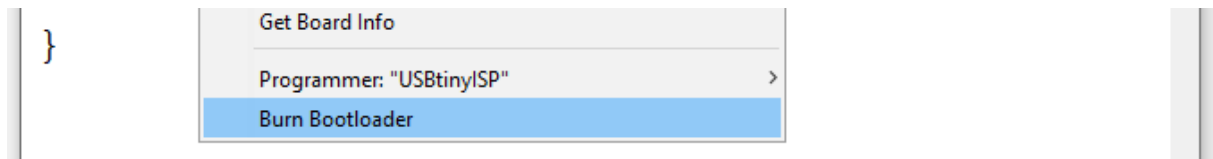


Fig. 1.20 – Încărcarea secvenței de cod pentru inițializarea codului program din memorie

În urma parcurgerii tuturor etapelor de configurare a microcontrolerului și a dispozitivului programator, se va trece la etapa de elaborare a codului program. Pentru a studia modul de manipulare directă a registrelor de memorie alocate intrărilor și ieșirilor digitale de uz general grupate în „PORTD”, se propune implementare a trei aplicații:

- aplicația specifică studierii circuitelor logice combinaționale (statice);
- aplicația specifică studierii circuitelor logice secvențiale (dinamice);
- aplicația specifică instrucțiunilor iterative (numărător binar);

OBSERVAȚII:

- structura „void setup()” reprezintă o secvență de inițializare care se va executa o singură dată la alimentarea cu tensiune sau la apăsarea butonului „RESET”;
- structura „void loop()” reprezintă o secvență repetitivă la infinit și este echivalentă cu expresia în sintaxă C standard „while(1)” sau „while(true)”;

APLICAȚIA 1:

Se va implementa următorul cod program:

```
void setup() {  
  DDRD = B11111111;  
}  
void loop() {  
  PORTD = B00001111;  
}
```

În urma implementării codului program cu ajutorul editorului de text, din meniul „Sketch” se va alege opțiunea „Upload Using Programmer” (încărcarea programului în memoria microcontrolerului cu ajutorul dispozitivului programator) (Fig. 1.21).

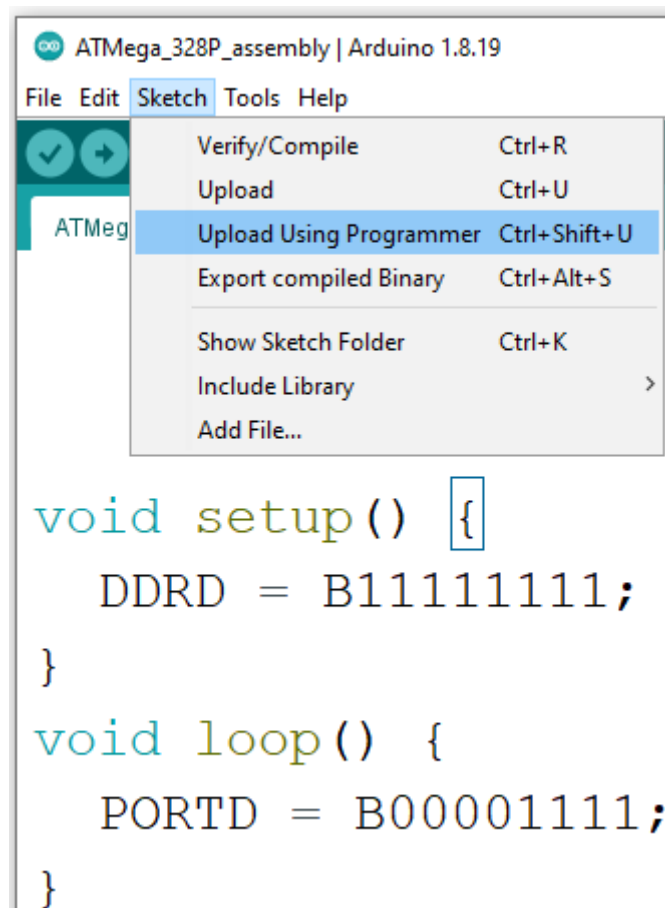


Fig. 1.21 – Încărcarea codului program în memoria microcontrolerului cu ajutorul dispozitivului programator

În urma încărcării codului program în memoria microcontrolerului se va observa evoluția stării logice a grupării de terminale „PORTD” prin intermediul șirului de diode LED indicatoare atașate la microcontroler. Starea logică a grupării PORTD nu se va modifica în timp până la introducerea unei noi combinații.

Se vor introduce diverse valori numerice atât în format binar (B*****), cât și hexazecimal (0x**) în registrul „PORTD”.

APLICAȚIA 2:

Se va implementa următorul cod program:

```

void setup() {
    DDRD = B11111111;
}
void loop() {
    PORTD = B10101010;
    delay(100);
    PORTD = ~B10101010;
    delay(100);
}

```

Spre deosebire de aplicația anterioară, în acest caz, avem declarat și parametrul „timp de întârziere sau așteptare” într-o anumită stare (eng. delay). Timpul exprimat cu ajutorul funcției „delay()” este de ordinul milisecundelor. Totodată, în cazul unui circuit logic secvențial se va constata faptul că, există cel puțin două stări logice distincte care se manifestă la un anumit interval de timp. A doua stare logică a registrului „PORTD” a fost impusă prin aplicarea operatorului de inversare sau negare logică „~”.

APLICAȚIA 3:

Se va implementa următorul cod program:

```
void setup() {  
    DDRD = B11111111;  
}  
void loop() {  
    for(byte i = 0; i <= 0xFF; i++) {  
        PORTD = i;  
        delay(1000);  
    }  
}
```

În cadrul ultimei aplicații a fost implementat un cod program numărător, care parcurge de la 0 la 255 toate valorile hexazecimale care pot fi afișate pe 8 biți (reprezentați prin cele 8 LED-uri), urmând ca la ieșirile digitale grupate în registrul „PORTD” să fie transferate toate combinațiile în binar ale valorilor rezultante, la un interval de o secundă.

VI. CONCLUZII

Manipularea în mod direct a registrelor de memorie în cadrul unui microcontroler reprezintă o soluție viabilă atât din punct de vedere al optimizării modului de execuție al unei aplicații cât și din punct de vedere al spațiului ocupat de aceasta în memoria sistemului de calcul dedicat implementării. Această metodă permite de asemenea, deblocarea unor funcții speciale la nivel de microcontroler (ex. modificarea frecvenței semnalului modulat în lățime – eng. PWM).

VII. BIBLIOGRAFIE

1. Atmel Corporation © 2015, Rev.: 7810D – AVR – 01 / 15 – „ATmega328P datasheet - 8-bit AVR Microcontroller with 32K Bytes In-System Programmable Flash”;
2. Ioana Cornelia Gros, Lucian - Nicolae Pintilie, Teodor Crișan Pană – „SISTEME EMBEDDED ÎN INGINERIE ELECTRICĂ - GHID DE APLICAȚII”, Editura UTPRESS, Cluj-Napoca, 2020, ISBN 978-606-737-431-5.
3. MicroChip Technology Inc. © 2004 – 2014 – „PIC 10F200 / 202 / 204 / 206 datasheet”;

4. Infineon Technologies AG, 81726 Munich, Germany © 2017 – „XMC1400 AA-Step, Microcontroller Series for Industrial Applications, the XMC1000 Family with ARM® Cortex® - M0 32-bit processor core” – Datasheet;
5. STMicroelectronics © 2020, DS6329 Rev. 18 – „STM32F205xx, STM32F207xx – datasheet”, „ARM®-based 32-bit MCU, 150 DMIPs, up to 1 MB Flash / 128 + 4KB RAM, USB OTG HS / FS, Ethernet, 17 TIMs, 3 ADCs, 15 comm, interfaces and camera;
6. MicroChip Technology Inc. © 2004 – 2014 – „Explorer 16/32 Development Board (datasheet) - A Perfect Platform for Discovering the Full Capabilities of PIC® MCUs and dsPIC® DSCs”;
7. Infineon Technologies AG, 81726 Munich, Germany © 2017 – „AURIX™ TC275 lite Kit - Evaluation Board datasheet”;
8. STMicroelectronics © 2020 – „STM32 Nucleo-64 boards (MB1136) – user manual”;
9. Arduino® – „Arduino UNO R3 - Product Reference Manual”;
10. Protostack.com – „ATMEGA328P-PU Atmel 8 Bit 32K AVR Microcontroller”;
11. Arduino® forum – „Reducing power supply noise”;
12. Technoblogy.com – „Using an ATmega328 without a crystal”;
13. Jet Support Service – „Arduino Parts DIY Arduino Guide Microcontroller Tutorials”;
14. epe.utcluj.ro – Prezentare laborator nr. II la disciplina Sisteme cu Microprocesoare – „Utilizarea platformei de dezvoltare Arduino”;
15. github.com – „MiniCore - DIP-28 package ATmega8 / 48 / 88 / 168 / 328 pinout”
16. epe.utcluj.ro – Material video demonstrativ la disciplina Sisteme cu Microprocesoare - „Programarea microcontrolerului ATmega 328p în limbaj hibrid sintaxă - asamblare”;

Tema de studiu nr. 2 - Manipularea intrărilor și ieșirilor digitale

I. SCOPUL TEMEI

- prezentarea platformei de dezvoltare Arduino Nano [1];
- prezentarea mediului de dezvoltare Arduino IDE [2];
- prezentarea noțiunilor specifice limbajului de programare „Wiring” [3];
- implementare aplicațiilor specifice procesării semnalelor de natură digitală [4] [5];

II. INTRODUCERE

Platforma de dezvoltare Arduino Nano [1] reprezintă o formă de integrare cu ajutorul tehnologiei ON-Board a microcontrolerului ATmega 328 [6] la nivelul unei construcții de tip mono-placă (eng. single - board) (Fig. 2.1).

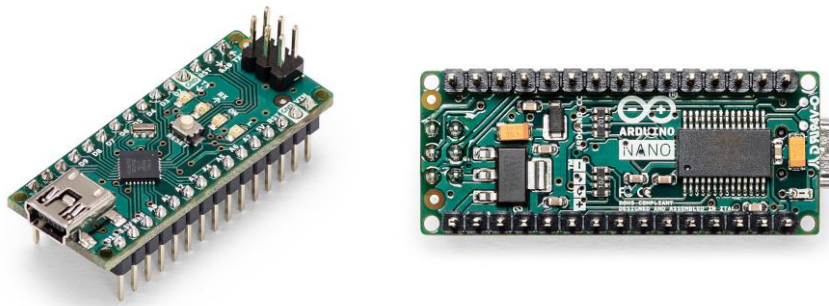


Fig. 2.1 – Platforma de dezvoltare Arduino Nano [1]

Dimensiunea redusă și forma proeminentă a terminalelor de acces conferă platformei de dezvoltare Arduino Nano posibilitatea instalării acesteia la nivelul unei plăcuțe pentru testare fără lipituri (eng. solderless breadboard) (Fig. 2.2).

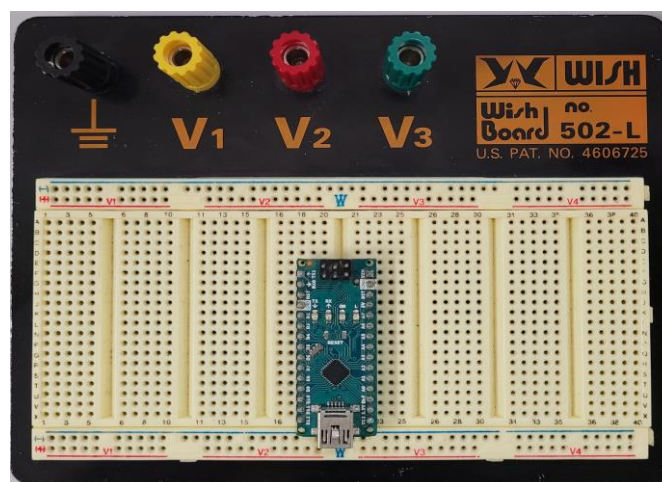


Fig. 2.2 – Instalarea platformei Arduino NANO la nivelul unei plăcuțe pentru testare

Harta de distribuție a funcțiilor specifice terminalelor la nivelul platformei Arduino Nano este inscripționată la nivelul cablajului imprimat. Suplimentar față de funcțiile standard inscripționate pe cablaj, manualul de instrucțiuni prezintă un set alternativ de funcții pentru terminalele platformei de dezvoltare (Fig. 2.3).

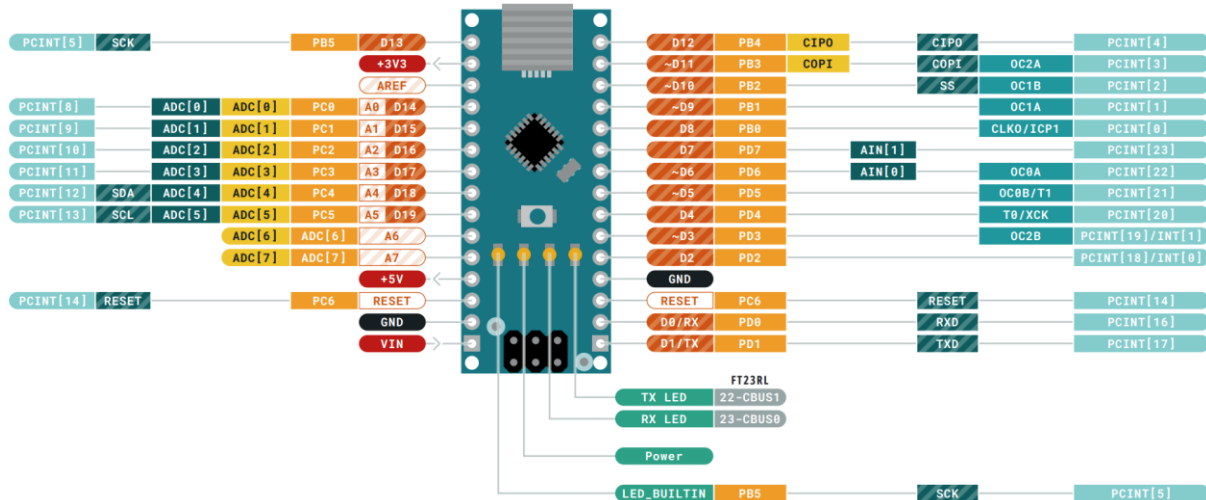


Fig. 2.3 – Harta funcțiilor specifice terminalelor platformei Arduino Nano [1]

Terminalele expuse la periferia platformei pot gestiona atât semnale digitale cât și analogice. Notarea terminalelor pe cablajul imprimat al platformei se va realiza în funcție de tipul semnalelor pe care acestea le gestionează. Spre exemplu, pentru terminalele care deserveșc funcția de preluare a semnalului analogic, indicativul acestora va fi „A_n” (terminal analogic, iar „n” reprezintă numărul de ordine al terminalului). Terminalele care deserveșc funcția de preluare și furnizare a semnalelor digitale sunt notate „D_n”.

Alimentarea cu tensiune a platformei de dezvoltare Arduino Nano se realizează prin intermediul conectorului mini-USB sau prin intermediul terminalului „V_{in}”.

Programarea microcontrolerului ATmega 328 din componența platformei de dezvoltare Arduino Nano se realizează prin intermediul dispozitivului programator USB – Serial FTDI FT232RL [1].

Există și alte variante constructive ale platformei de dezvoltare Arduino, precum UNO, Mega, Leonardo, Duemilanove etc. Există și platforme asemănătoare și compatibile cu mediul Arduino IDE, precum SainSmart UNO, Seeduino și 4Duino.

Mediul de dezvoltare Arduino IDE [2] (eng. Integrated Development Environment), reprezintă pachetul de programe și instrumente necesare în vederea parcurgerii procesului de programare a microcontrolerului ATmega 328 din componența platformelor de dezvoltare Arduino. În cadrul mediului Arduino IDE sunt incluse în mod implicit o serie de biblioteci și fișiere sursă care deserveșc funcțiile de bază ale microcontrolerelor din familia AVR. Tot în cadrul mediului de dezvoltare Arduino IDE există și un compilator, care, pe baza fișierelor de definiție, transpune instrucțiunile de program scrise în limbaj C standard sau C++ în instrucțiuni de procesor în format executabil de tip „hex”. În cadrul prezentei lucrări, se va utiliza mediul Arduino IDE versiunea 1.8.19 pentru sistemul de operare Microsoft Windows (Fig. 2.4).

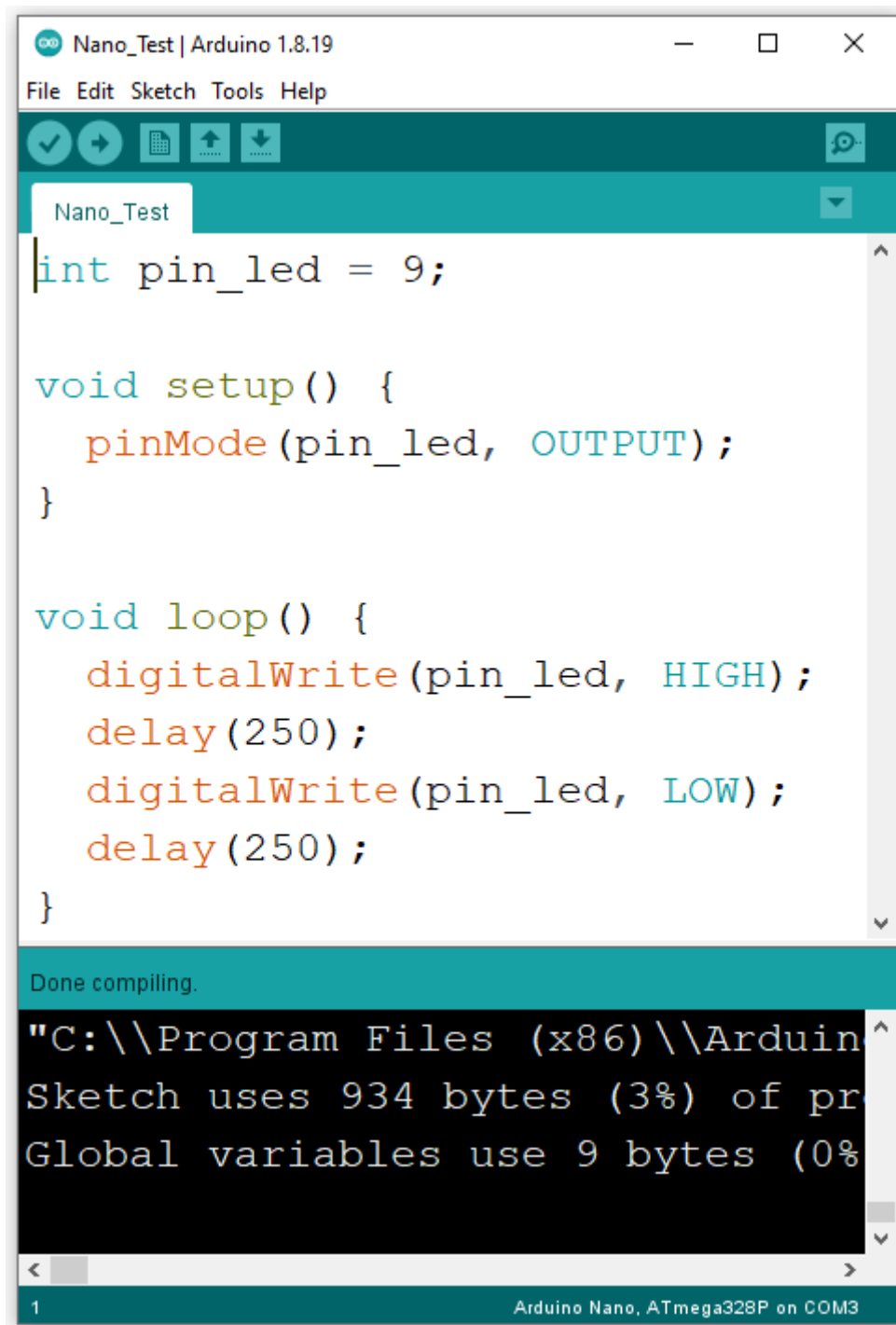


Fig. 2.4 – Mediul de dezvoltare Arduino IDE versiunea 1.8.19

- În cadrul mediului Arduino IDE versiunea 1.8.19 se disting cinci secțiuni:
- secțiunea meniurilor principale, a paletii de instrumente și comenzi rapide;
 - editorul de text pentru redactarea codului program;
 - bara de stare pentru afișarea etapei actuale;
 - consola pentru descriere a operației actuale;
 - bara de afișare a rândului actual și a platformei actuale împreună cu setările aferente;

Secțiunea meniurilor principal, a paletei de instrumente și comenzi rapide, permite efectuarea diverselor operații de parametrizare a procesului de programare și a platformei de dezvoltare (ex. alegerea altei platforme sau inițierea procesului de compilare și încărcare a codului program în memoria microcontrolerului) (Fig. 2.5).



Fig. 2.5 – Secțiunea meniurilor principale, a paletei de instrumente și comenzi rapide

Editorul de text permite redactarea codului program după regulile de formatare ale limbajului Wiring sau C++ (Fig. 2.6).

```
Nano_Test
int pin_led = 9;

void setup() {
  pinMode(pin_led, OUTPUT);
}

void loop() {
  digitalWrite(pin_led, HIGH);
  delay(250);
  digitalWrite(pin_led, LOW);
  delay(250);
}
```

Fig. 2.6 – Editorul de text

Bara de stare afișează etapa actuală a procesul de programare și indicatorul de progres atunci când etapa considerată prezintă un grad ridicat de complexitate (Fig. 2.7).



Fig. 2.7 – Bara de stare

Consola afișează descrierea în mod detaliat a operațiilor efectuate în vederea parcurgerii procesului de programare al microcontrolerului (Fig. 2.8). Gradul de detaliere a descrierii operațiilor efectuate poate fi stabilit prin alegerea opțiunilor „Show verbose output during compilation and upload” din meniul „File” → „Preferences”.

```
"C:\Program Files (x86)\Arduin
Sketch uses 934 bytes (3%) of pr
Global variables use 9 bytes (0%
```

Fig. 2.8 – Consola pentru descrierea operației actuale

Bara pentru afișare a rândului actual și a platformei actuale împreună cu setările aferente permite utilizatorului să efectueze operații de verificare și diagnosticare a potențialelor probleme care au loc în cadrul procesului de programare (Fig. 2.9). Tot în cadrul acestei secțiuni, există posibilitatea de a identifica portul pentru comunicația „Serial” (ex. COM3) sau tipul dispozitivului programator utilizat.

```
1 Arduino Nano, ATmega328P on COM3
```

Fig. 2.9 – Bara pentru afișare a rândului actual și a platformei actuale

În cadrul mediului Arduino IDE proiectele poartă denumirea „sketch” (schiță de lucru). Extensia fișierului de proiect generat în Arduino IDE poate să fie „ino” sau „pde”. Fișierele care conțin codul mașină rezultat pot avea fie extensia „.hex” (fișier cu conținut numerice reprezentat în cod hexazecimal) sau fișier „.bin” (fișier cu conținut numeric reprezentat în cod binar) (Fig. 2.10).

```
##### | 100% 0.38s
ers\Niculae\AppData\Local\Temp\arduino_build_591207/Nano_Test.ino.hex:
C:\Users\Niculae\AppData\Local\Temp\arduino_build_591207/Nano_Test.ino.hex:
Local\Temp\arduino_build_591207/Nano_Test.ino.hex contains 934 bytes
```

Fig. 2.10 – Fișierul care conține codul mașină rezultat în format numeric hexazecimal

Fișierul rezultat „.hex” în format numeric hexazecimal va fi transferat în memoria microcontrolerului prin interfața USB – Serial FTDI cu ajutorul programului utilitar „avrdude”. Acesta rulează în fundal în consola de comandă invocată la rularea mediului Arduino IDE. Având în vedere atât comportamentul aplicației „avrdude”, care rulează în fundal ca și un serviciu similar serviciilor din componența sistemului de operare UNIX / Linux, cât și modul de declarare al căilor de acces la fișiere (ex. „\avr\etc\avrdude.conf”), se poate afirma faptul că aplicația „avrdude” și alte componente ale mediului Arduino IDE rulează în mod virtualizat pe platforma sistemului de operare Microsoft Windows. Instrumentele necesare pentru a permite rularea aplicațiilor din sistemul de operare UNIX / Linux pe platforma sistemului de operare Windows, poartă denumirea CygWin.

III. ASPECTE TEORETICE

Limbajul de programare implementat în cadrul mediului Arduino IDE este similar limbajului „C” standard sau „C++” prezentând unele variațiuni, precum:

- structurile de program precum „setup()” și „loop()”;
- declarațiile hardware precum „pinMode()” și „digitalWrite”;

Setul de declarații hardware atașat limbajului de programarea „C / C++” poartă denumirea „Wiring” sau în unele documentații de specialitate „Wiring C”. Limbajul sau setul de instrucțiuni „Wiring” reprezintă un mod de a intermedia procesul de programare între persoana care elaborează codul program și mașina de lucru finală pe care urmează să fie implementat codul program. Acest concept poartă denumirea API (eng. Application Programming Interface). Practic, fără pachetul de instrucțiuni Wiring, ar fi necesară programarea microcontrolerului în limbaj hibrid de tip „mixed assembly – syntax”, în cadrul căruia registrele de memorie sunt manipulate în mod direct (a se vedea documentația din cadrul primului laborator, capitolul specific procedurii de implementare al aplicațiilor) [3].

Prin urmare, instrucțiunile „pinMode()” și „digitalWrite()”, specifice setului API Wiring au ca și operație corespondentă în limbajul de asamblare manipularea în mod direct a registrelor „DDRD” (eng. Data Direction Register of port D) și „PORTD” (registrarul specific grupului de terminale PORTD amplasate în periferia carcasei microcontrolerului). Spre exemplu, următoarea relație de echivalență poate fi exprimată astfel [6]:

```
pinMode(4, OUTPUT); ----> DDRD = B00001000;  
digitalWrite(4, HIGH); ----> PORTD = B00001000;
```

Pentru elaborarea codului program, în cadrul mediului Arduino IDE, pot fi utilizate atât expresii și declarații hardware cât și elemente de sintaxă a limbajului „C / C++”, dar și denumiri de registre dedicate precum „PORTD” și „DDRD”.

Spre exemplu, pentru semnalizare intermitentă cu o diodă electroluminiscentă, se va elabora codul program în formatul următor:

```
int pin_led = 4;  
  
void setup() {  
    pinMode(pin_led, OUTPUT);  
}  
void loop() {  
    digitalWrite(pin_led, HIGH);  
    delay(250);  
    digitalWrite(pin_led, LOW);  
    delay(250);  
}
```

În cadrul codului program prezentat mai sus, se disting cinci funcții și structuri de funcții specifice limbajului Wiring:

- void setup ();
- void loop ();
- pinMode ();

- digitalWrite ();
- delay ();

Secțiunea de cod conținută în cadrul corpului de funcție „void setup ()”, reprezintă secvența de inițializare, care se va executa o singură dată în următoarele condiții:

- la alimentarea cu tensiune a microcontrolerului;
- la apăsarea butonului RESET de pe cablajul imprimat al platformei de dezvoltare;
- la deschiderea comunicației Serial;

Secțiunea de cod conținută în cadrul corpului de funcție „void loop ()” reprezintă secvența principală de cod, care se va executa în mod repetat la frecvența exprimată prin intermediul funcției de întârziere „delay ()”. Instrucțiunea „void loop ()” este echivalentă cu expresia „C / C++” „while(1)” sau „while(TRUE)”. Execuția unei astfel de secvențe se repetă la infinit, iar dacă există elemente de calcul iterativ, rezultatul acestora se va actualiza odată cu fiecare etapă de execuție.

Instrucțiunea „pinMode ()” stabilește modul de lucru al unui terminal electric (eng. pin) din componența microcontrolerului (ex. intrare INPUT sau ieșire OUTPUT). Instrucțiunea respectivă este valabilă doar în situația în care terminalul electric este capabil să gestioneze semnale digitale. Numărul de ordine al terminalului se stabilește prin intermediul primului argument al funcției, iar modul de lucru se stabilește prin intermediul celui de-al doilea argument:

```
pinMode(<numărul_de_ordine_al_terminalului>, <modul_de_lucru>);
```

Instrucțiunea „digitalWrite ()” stabilește starea logică a unui terminalului electric din componența microcontrolerului, adică prezența sau absența tensiunii la nivelul terminalului electric. Instrucțiunea respectivă este valabilă doar în situația în care terminalul electric este capabil să gestioneze semnale digitale. Numărul de ordine al terminalului se stabilește prin intermediul primului argument al funcției, iar starea logică se stabilește prin intermediul celui de-al doilea argument:

```
digitalWrite(<numărul_de_ordine_al_terminalului>, <starea_logică>);
```

Instrucțiunea „digitalRead ()” are un singur argument, numărul de ordine al terminalului și poate returna starea digitală preluată în mod instantaneu de la terminal. Rezultatul instrucțiunii va fi stocat într-o variabilă tot timpul.

```
int <variabilă> = digitalRead(<numărul_de_ordine_al_terminalului>);
```

Instrucțiunea „delay ()” introduce un timp de întârziere la executarea unei secvențe din cadrul codului program. Parametrul funcției, timpul de întârziere, este redat în milisecunde. Instrucțiunea are un singur parametru:

```
delay(<timp_de_întârziere_ms>);
```

Practic, prin intermediul instrucțiunilor „pinMode”, „digitalWrite” și „delay” este posibilă manipularea în mod direct a circuitelor logice care stau la baza implementării arhitecturii interne pentru intrările și ieșirile digitale ale microcontrolerului (Fig. 2.11).

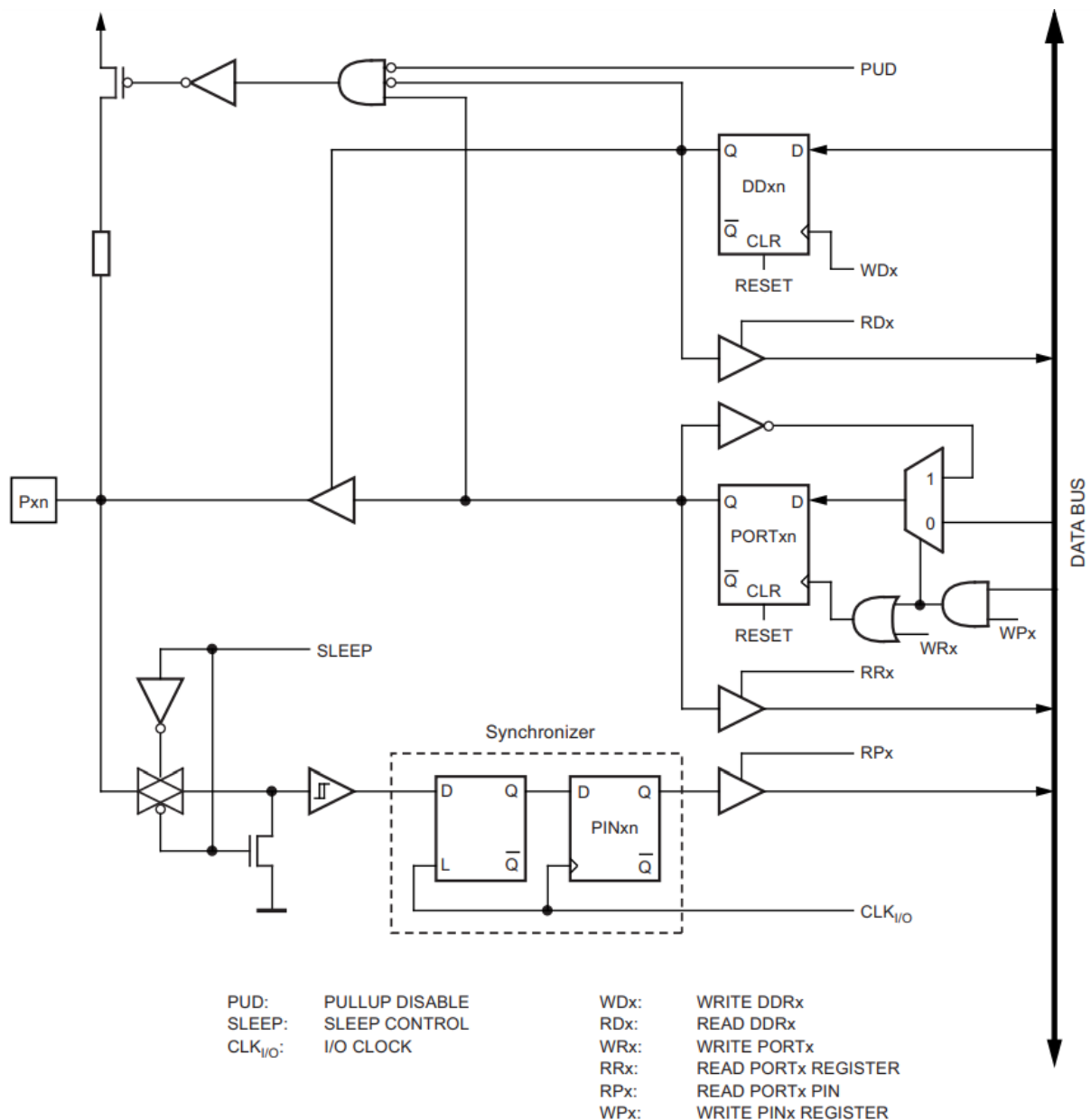


Fig. 2.11 – Arhitectura internă a microcontrolerului ATmega 328 – circuitele logice care stau la baza grupurilor de intrări și ieșiri digitale [6]

Pe lângă instrucțiunile amintite anterior, tot în domeniul procesării semnalelor logice sau digitale, mai există și instrucțiunea „analogWrite ()”. Chiar dacă denumirea ar sugera faptul că prin intermediul funcției s-ar genera un semnal de natură analogică, efectul acesteia este contrar denumirii, deoarece prin intermediul funcției date, se va genera un semnal de natură digitală sub forma unui tren de impulsuri cu amplitudine constantă, frecvență constantă dar lățime sau durată a impulsurilor variabilă (factor de umplere variabil sau durată de conducție variabilă „d_c”). Efectul produs de un astfel de semnal digital este similar cu efectul produs la alimentarea unui consumator cu un nivel variabil de tensiune (Fig. 2.12). În literatura de specialitate modulația în lățime a impulsului poartă denumirea (eng. Pulse Width Modulation – PWM).

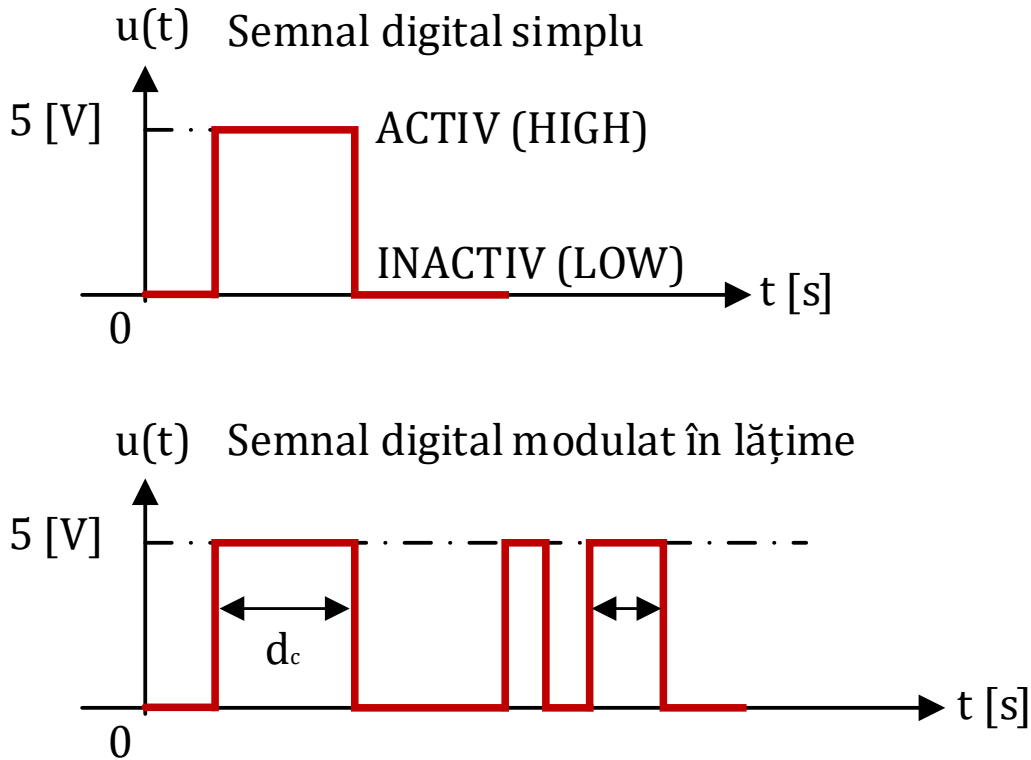


Fig. 2.12 – Semnale de natură digitală

Pentru diagnoză și depanare, se va utiliza de asemenea comunicația USB – Serial stabilită între platforma de dezvoltare și calculatorul gazdă. Conexiunea Serial va fi gestionată prin intermediul următoarelor instrucțiuni:

- Serial.begin(<viteză_de_transfer_bps>) – pentru inițializarea comunicației Serial;
- Serial.println(<"text_mesaj">) – pentru afișarea mesajelor text în consola Serial;

În cadrul mediului Arduino IDE, consola Serial are denumirea (eng.) „Serial Monitor” și poate fi regăsită în meniul „Tools”. Pe lângă consola Serial, mai există și instrumentul pentru afișarea sub formă de grafic a valorilor vehiculate pe magistrala Serial, anume (eng.) „Serial Plotter” (afișaj grafic în funcție de timp).

În vederea implementării unor instrucțiuni condiționale și iterative specifice sintaxei „C / C++” se vor utiliza următoarele instrucțiuni:

- if (<condiție>) {};
- else (<condiție>) {};
- for (<condiție>; <instrucțiune_efectuată_la_fiecare_iterație>) {};

IV. IMPLEMENTAREA APLICAȚIILOR

Pentru a studia facilitățile microcontrolerului ATmega 328 în contextul procesării semnalelor de natură digitală, se vor utiliza următoarele componente:

- placă pentru testare rapidă a circuitelor electronice (Wisher WBU-502L);
- platformă de dezvoltare Arduino NANO cu microcontroler ATmega 328;
- diode electro-luminiscente;
- rezistențe cu valoarea de 100 [Ω];
- fire pentru conexiune rapidă compatibile cu placa de testare;
- calculator gazdă având mediul Arduino IDE instalat;
- cablu adaptor USB A la mini USB;

În continuare, se propun spre implementare șase aplicații:

- Semnalizare intermitentă continuă cu două diode electroluminiscente (eng. LED);
- Semnalizare intermitentă variabilă cu două diode electroluminiscente;
- Semnalizare intermitentă continuă cu opt diode electroluminiscente;
- Preluarea stării digitale de la un întreruptor;
- Redirecționarea semnalului digital de la o intrare digitală înspre o ieșire digitală;
- Auto-menținerea stării digitale la acționarea unui buton cu apăsare și revenire;

APLICAȚIA 1

Se va implementa circuitul conform următoarei scheme (Fig. 2.13):

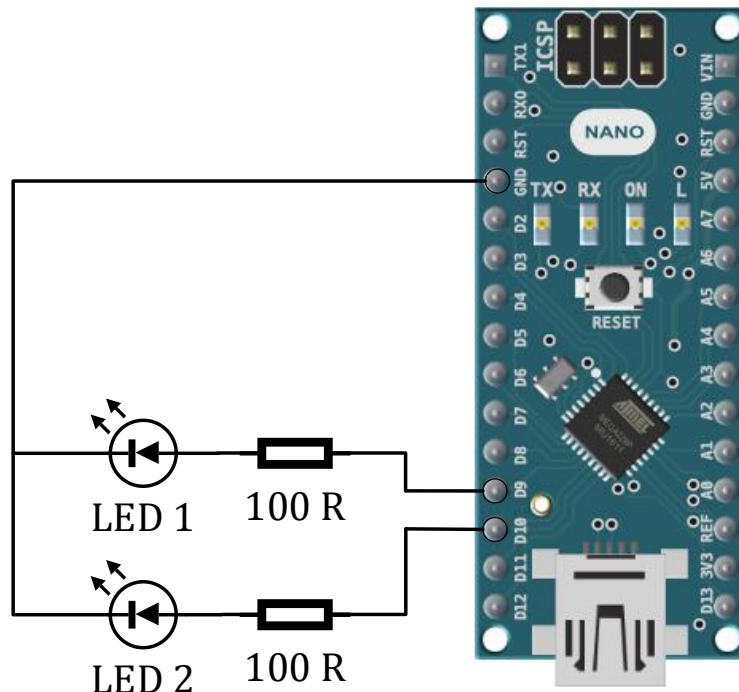


Fig. 2.13 – Schema electronică pentru implementarea circuitului specific aplicației 1 [7]

Se va implementa următorul cod program:

```
const int led_1 = 9;
const int led_2 = 10;

void setup() {
  pinMode(led_1, OUTPUT);
  pinMode(led_2, OUTPUT);
}

void loop() {
  digitalWrite(led_1, HIGH);
  digitalWrite(led_2, LOW);
  delay(1000);
  digitalWrite(led_1, LOW);
  digitalWrite(led_2, HIGH);
  delay(1000);
}
```

În urma implementării circuitului și a codului program, se va transfera codul program în memoria microcontrolerului ATmega 328 din cadrul platformei de dezvoltare Arduino NANO. Pentru a transfera codul program se vor parcurge următoarele etape:

A. Din meniul „Tools” se va alege sub-categoria „Board” --> „Arduino AVR Boards” --> „Arduino Nano” (Fig. 2.14).

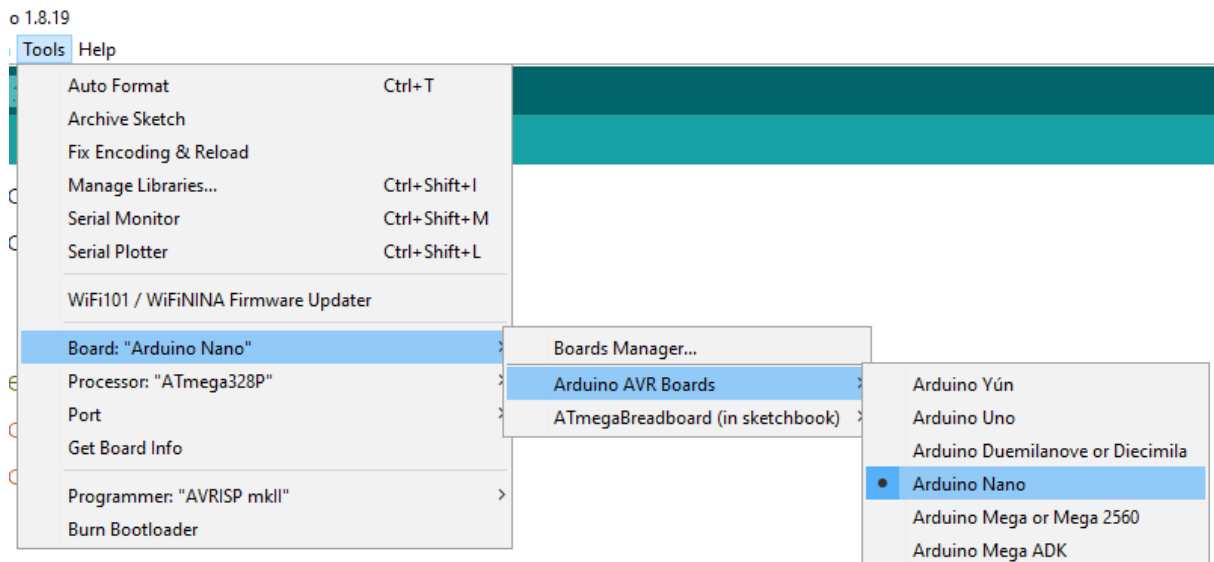


Fig. 2.14 – Alegerea platformei de dezvoltare care urmează să fie programată

B. Din meniul „Tools” se va alege sub-categoria „Processor” --> „ATMega 328P” (Fig. 2.15).

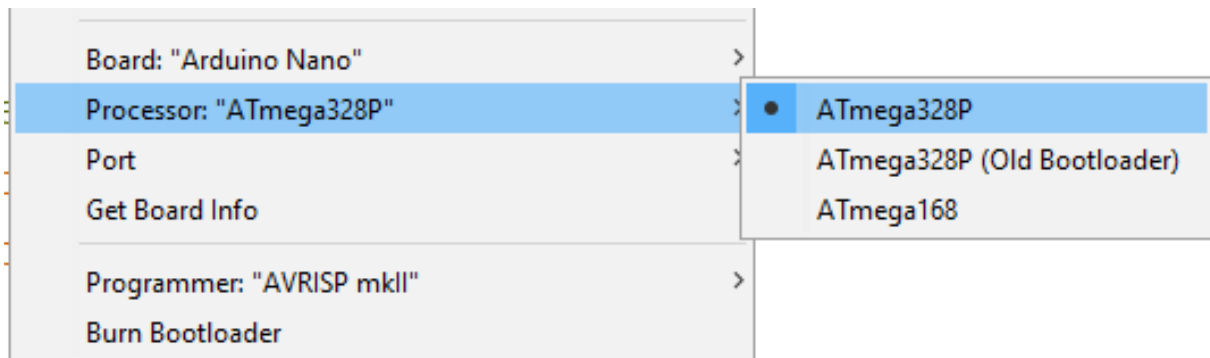


Fig. 2.15 – Alegerea variantei constructive a procesorului platformei de dezvoltare

C. Din meniul „Tools” se va alege sub-categoria „Port” --> „COMx” (Fig. 2.16).

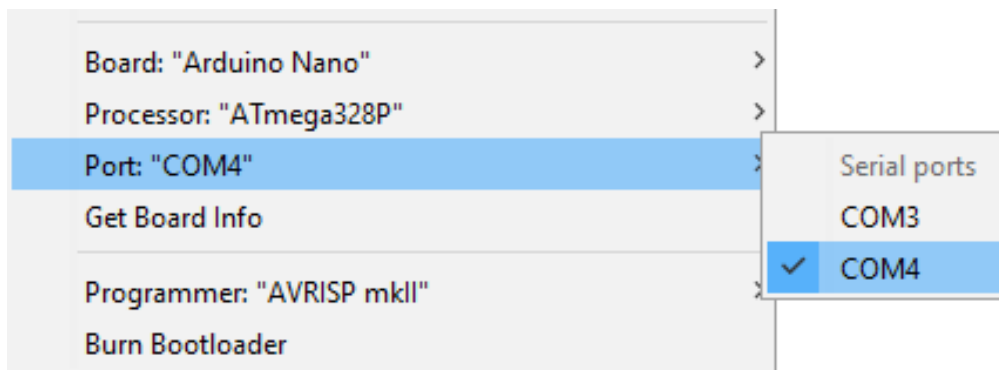


Fig. 2.16 – Alegerea portului pentru comunicația Serial

D. Din meniul „Sketch” se va alege opțiunea „Upload” (Fig. 2.17).

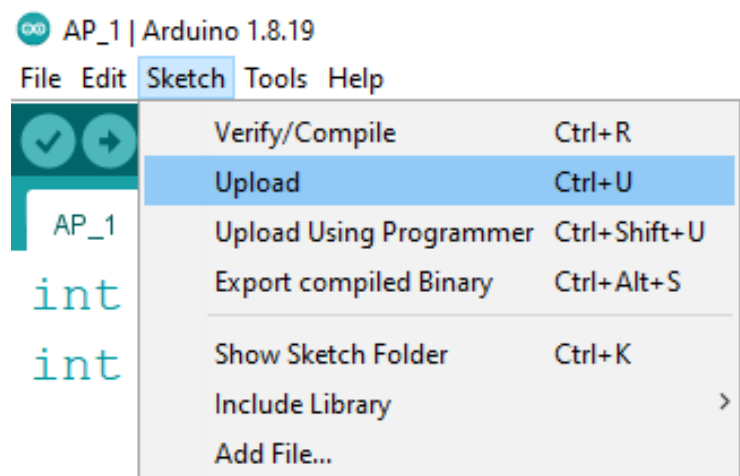


Fig. 2.17 – Încărcarea codului program în memoria microcontrolerului

În urma încărcării aplicației se va verifica funcționalitatea montajului (Fig. 2.18).

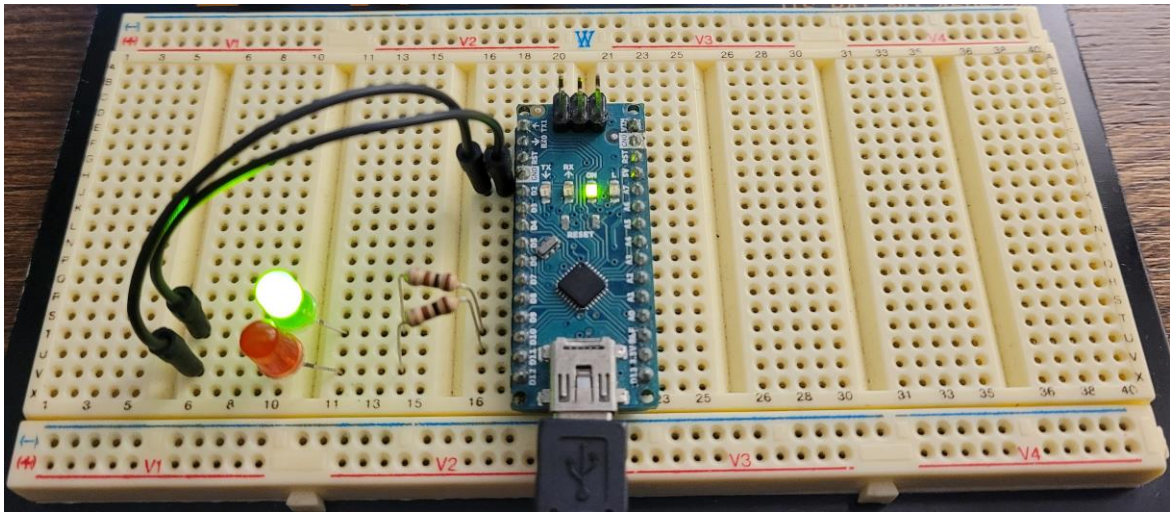


Fig. 2.18 – Montaj experimental pentru aplicația 1 și 2

Implementarea aplicației nr. 1 presupune:

- declararea a două variabile de tip număr întreg „led_1” și „led_2” având ca valori numerele „9” și „10”, adică numărul de ordine al terminalelor „D9” și „D10” de pe platforma Arduino;
- configurarea terminalelor în modul de lucru „ieșire digitală” (eng. OUTPUT) în secțiunea „void setup()” cu ajutorul instrucțiunii „pinMode()”;
- comutarea alternativă a stării logice a ieșirilor digitale (eng. HIGH / LOW) la o durată de o secundă (1000 [ms]) în cazul celor două terminale „D9” și „D10” prin intermediul funcției „digitalWrite()”;
- efectul rezultat este semnalizarea intermitentă continuă (în undă plină) a celor două diode electro-luminiscente (LED) atașate la ieșirile digitale „D9” și „D10” (Fig. 2.18).

APLICAȚIA 2

Pe baza aceluiași circuit de la aplicația nr. 1 (Fig. 2.13 și 2.18), se va implementa semnalizarea intermitentă cu variația intensității luminoase a celor două diode electro-luminiscente atașate la terminalele „D9” și „D10”.

Se va implementa următorul cod program:

```
const int led_1 = 9;
const int led_2 = 10;
int dc_1 = 0;
int dc_2 = 0;
int i = 5;
void setup() {
  pinMode(led_1, OUTPUT);
  pinMode(led_2, OUTPUT);
}
void loop() {
  dc_1 = dc_1 + i;
  if (dc_1 <= 0 || dc_1 >= 255) {
    i = - i;
  }
  dc_2 = 255 - dc_1;
  analogWrite(led_1, dc_1);
  analogWrite(led_2, dc_2);
  delay(30);
}
```

OBSERVAȚIE: Instrucțiunea „analogWrite ()” necesită două argumente: numărul de ordine al terminalului și factorul de umplere sau durata de conducție. Factorul de umplere este exprimat în format numeric zecimal printr-o valoare cuprinsă în intervalul [0 – 255]. Intervalul de valori corespunde unei mărimi exprimate pe 8 biți în format numeric binar.

Implementarea aplicației nr. 2 presupune:

- declararea a două variabile de tip număr întreg „led_1” și „led_2” având ca și valori „9” și „10”, numărul de ordine al terminalelor „D9” și „D10” de pe platforma Arduino;
- declararea a două variabile de tip număr întreg pentru inițializarea valorii numerice a duratei de conducție sau a factorului de umplere atât pentru prima diodă cât și pentru a doua „dc_1” și „dc_2”;
- declararea pasului de incrementare sau decrementare „i”;
- configurarea terminalelor în modul de lucru „ieșire digitală” (eng. OUTPUT) în secțiunea „void setup()” cu ajutorul instrucțiunii „pinMode()”;
- incrementarea valorii duratei de conducție „dc_1” specifică primei diode cu pasul „i”;
- implementarea unei condiții pentru decrementarea pasului „i”
- determinarea valorii duratei de conducție „dc_2” pentru a doua diodă;
- generarea a două trenuri de impulsuri cu lățime variabilă și frecvență constantă prin intermediul instrucțiunii „analogWrite()”;

- efectul rezultat este semnalizarea intermitentă variabilă (în undă modulată) a celor două diode electro-luminiscente (LED) atașate la ieșirile digitale „D9” și „D10” (Fig. 2.18).

APLICAȚIA 3

Se va implementa circuitul conform următoarei scheme (Fig. 2.19):

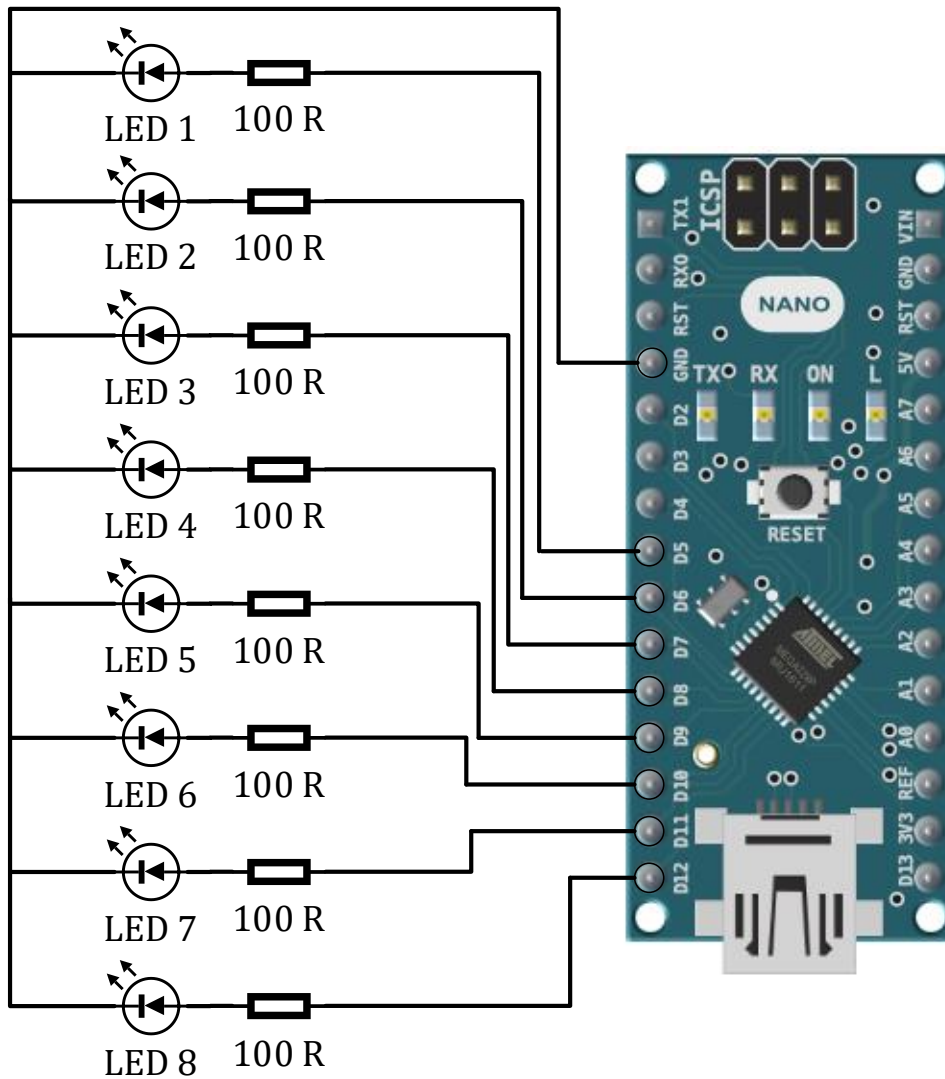


Fig. 2.19 – Schema electronică pentru implementarea circuitului specific aplicației 3 [7]

Se va implementa următorul cod program:

```
int pin_led[] = {5, 6, 7, 8, 9, 10, 11, 12};
int intarziere = 50;

void setup() {
  for(int i = 0; i <= 7; i++) {
    pinMode(pin_led[i], OUTPUT);
  }
}

void loop() {
  int j = 0;
  for(j = 0; j <= 7; j++){
    digitalWrite(pin_led[j], HIGH);
    delay(intarziere);
    digitalWrite(pin_led[j], LOW);
    delay(intarziere);
  }
  for(j = 7; j >= 0; j--){
    digitalWrite(pin_led[j], HIGH);
    delay(intarziere);
    digitalWrite(pin_led[j], LOW);
    delay(intarziere);
  }
}
```

Montajul experimental se va realiza conform (Fig. 2.20):

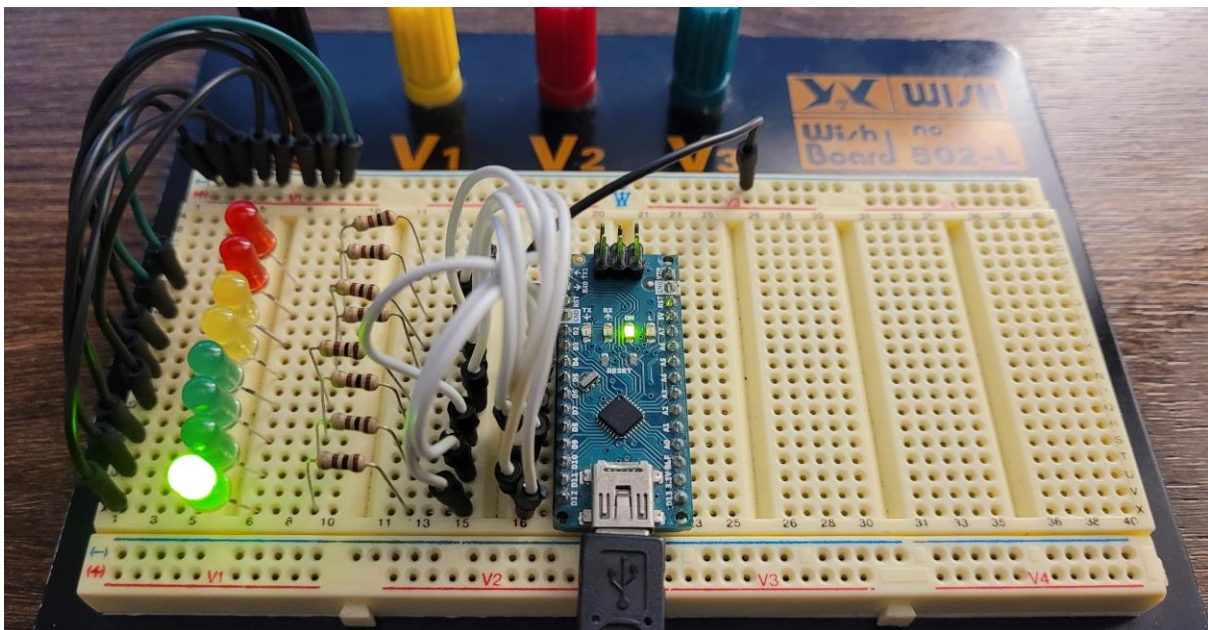


Fig. 2.20 – Montaj experimental pentru aplicația 3

Implementarea aplicației nr. 3 presupune:

- declararea unui șir finit de opt valori cu numerele de ordine ale terminalelor;
- declararea unei constante globale prin intermediul căreia se poate regla frecvența de parcurgere a șirului finit;
- stabilirea modului de lucru „ieșire digitală” pentru fiecare terminal în parte;
- resetarea contorului „j” la fiecare ciclu nou;
- parcurgerea în sens crescător a șirului prin semnalizare intermitentă;
- parcurgerea în sens descrescător a șirului prin semnalizare intermitentă;

APLICAȚIA 4

Se va implementa circuitul conform următoarei scheme (Fig. 2.21):

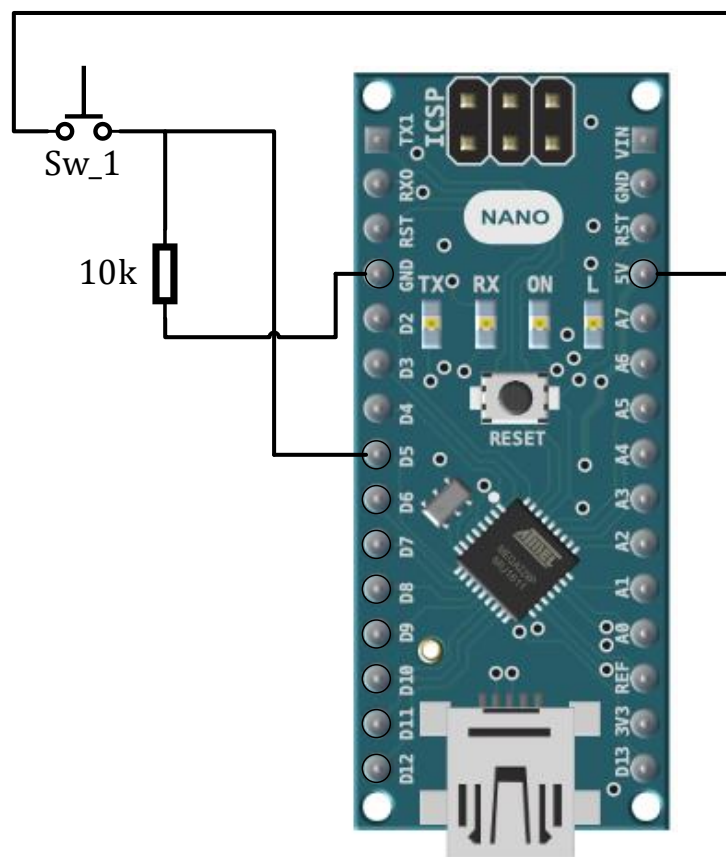


Fig. 2.21 – Schema electronică pentru implementarea circuitului specific aplicației 4 [7]

Se va implementa următorul cod program:

```
const int sw_pin = 5;

void setup() {
  pinMode(sw_pin, INPUT);
  Serial.begin(9600);
}

void loop() {
  int sw_state = digitalRead(sw_pin);
  Serial.println("Stare contact: ");
  Serial.println(sw_state);
  delay(100);
}
```

Pentru a verifica funcționalitatea aplicației nr. 4, se va deschide consola Serial din meniul „Tools” opțiunea „Serial Monitor” (Fig. 2.22).

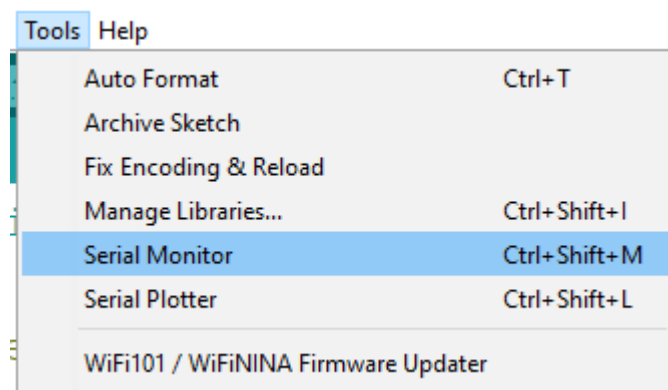


Fig. 2.22 – Meniul „Tools” opțiunea „Serial Monitor”

La apăsarea butonului din cadrul montajului, în consola Serial se va actualiza valoarea variabilei (din „0” în „1”) care stochează starea logică a terminalului la care este atașat butonul (Fig. 2.23).

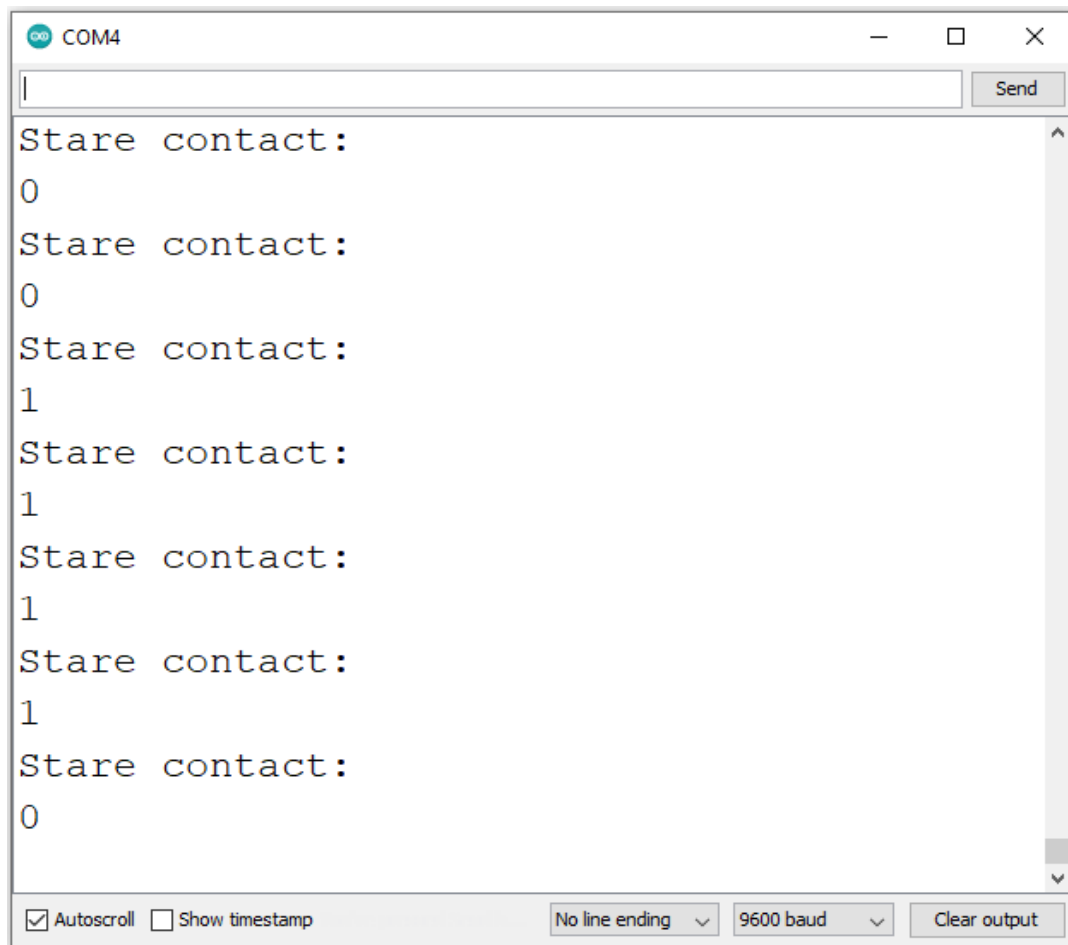


Fig. 2.23 – Consola Serial afișând mesajul implementat în cadrul aplicației 4

Pentru aceeași aplicație, din meniul „Tools” se va deschide și afișajul grafic „Serial Plotter” pentru a vizualiza evoluția stării digitale a terminalului „D5” (Fig. 2.24).

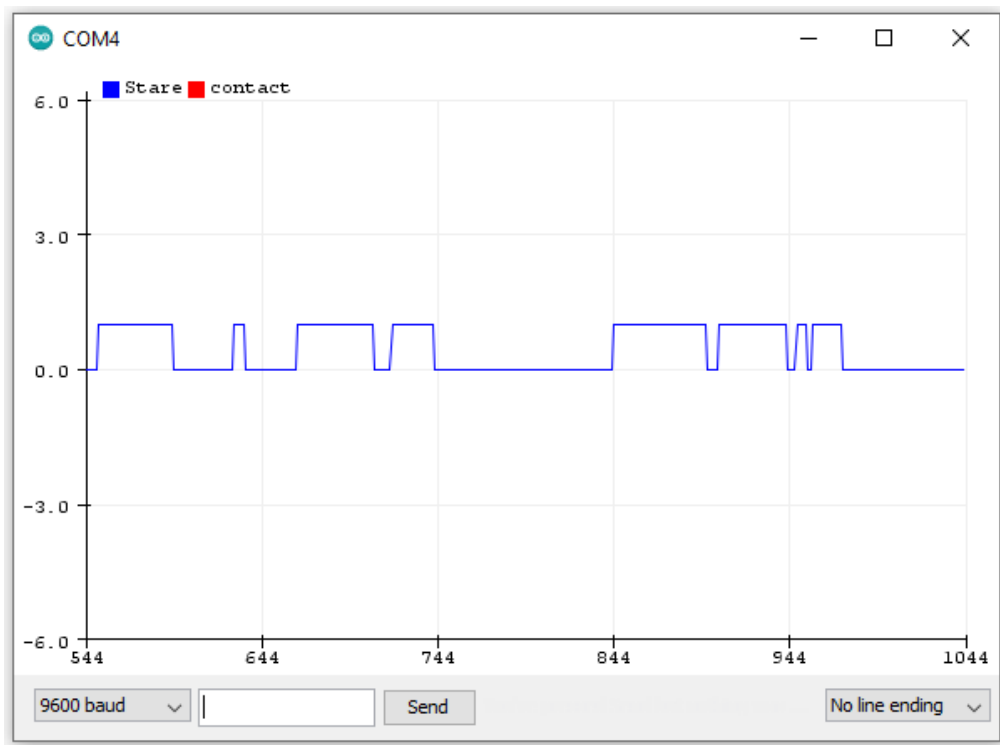


Fig. 2.24 – Fereastra de afișare grafică a valorilor vehiculate pe magistrala Serial

Montajul experimental se va realiza conform (Fig. 2.25):

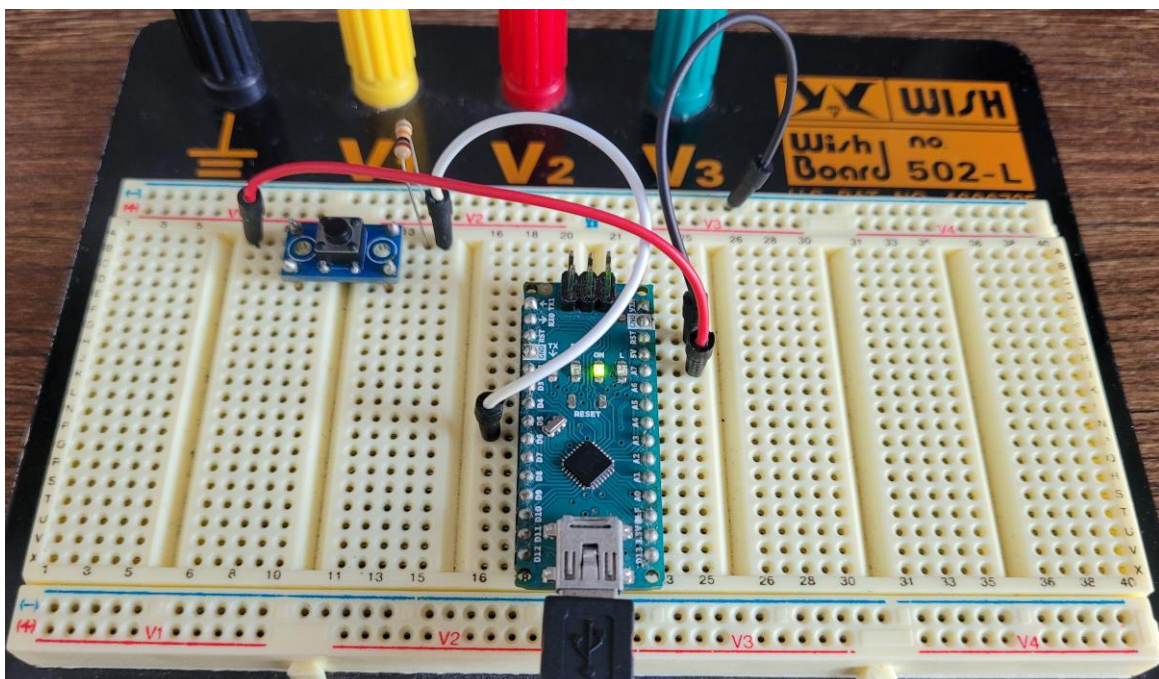


Fig. 2.25 – Montaj experimental pentru aplicația 4

Implementarea aplicației nr. 4 presupune:

- declararea unei constante globale, pentru stabilirea numărului de ordine al terminalului;
- stabilirea modului de lucru „intrare digitală” pentru terminalul ales;
- inițializarea comunicației Serial la viteza de transfer de 9600 [b/s];
- preluarea stării logice a terminalului ales prin intermediul instrucțiunii „digitalRead ()”
- afișarea în consolă a mesajului text static „Stare contact: ” la un interval de 100 [ms];
- afișarea stării logice a terminalului ales odată la 100 [ms];

APLICAȚIA 5

Se va implementa circuitul conform următoarei scheme (Fig. 2.26):

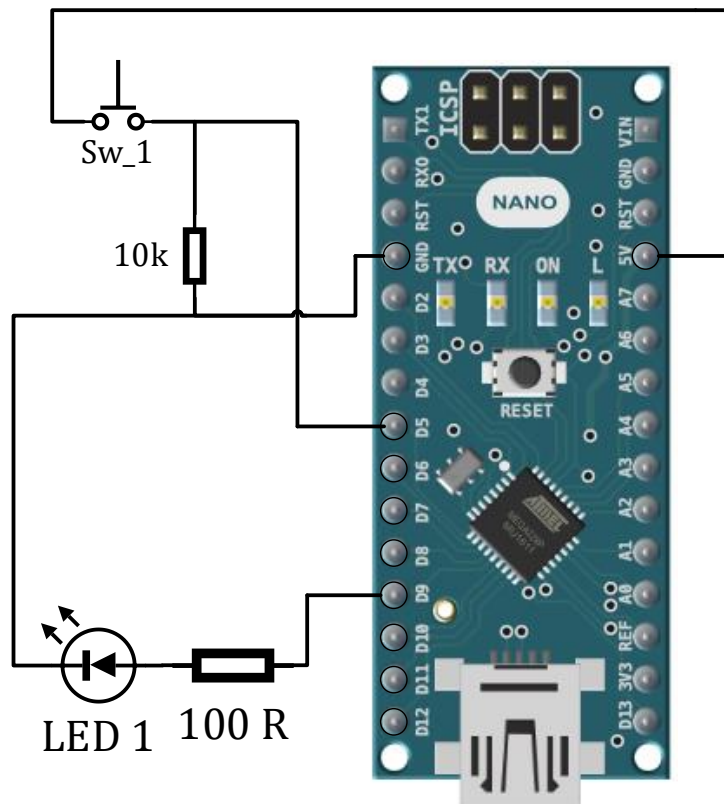


Fig. 2.26 – Schema electronică pentru implementarea circuitului specific aplicației 5 [7]

Se va implementa următorul cod program:

```
const int pin_sw = 5;
const int pin_led = 9;
int sw_state = 0;

void setup() {
  pinMode(pin_sw, INPUT);
  pinMode(pin_led, OUTPUT);
}

void loop() {
  sw_state = digitalRead(pin_sw);
  digitalWrite(pin_led, sw_state);
}
```

Montajul experimental se va realiza conform (Fig. 2.27):

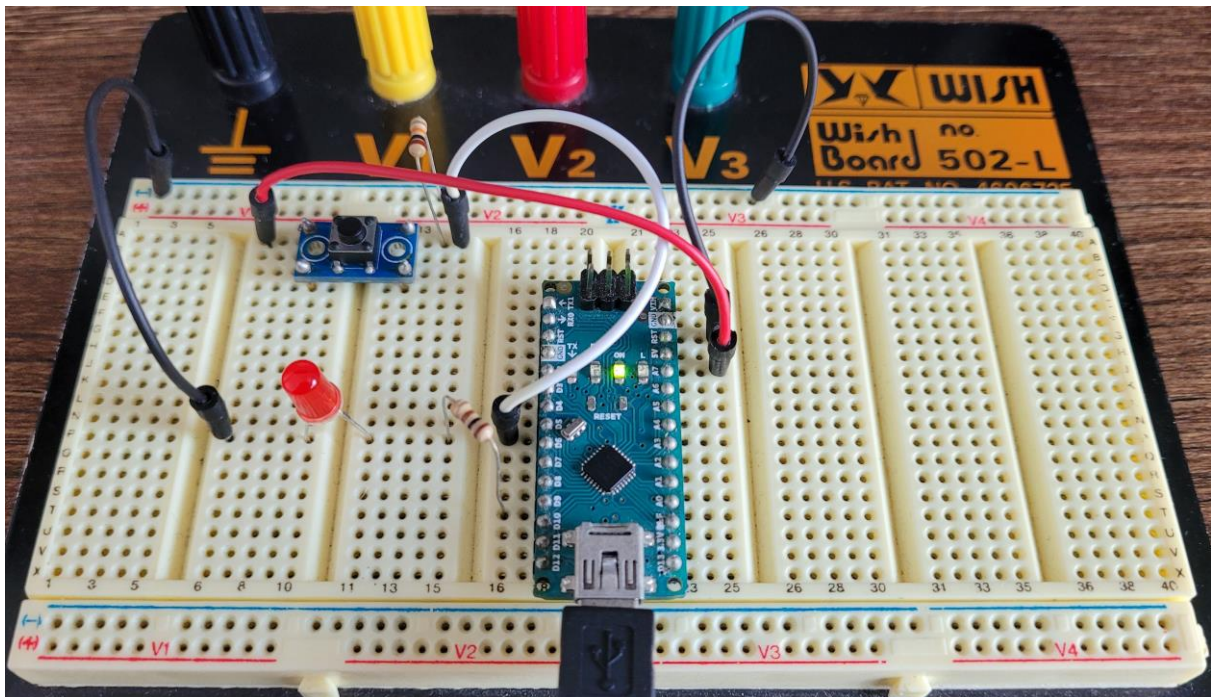


Fig. 2.27 – Montaj experimental pentru aplicația 5

Implementarea aplicației nr. 5 presupune:

- declararea a două constante globale, în vederea stabilirii numerelor de ordine ale terminalelor corespondente atât butonului cu apăsare și revenire cât și diodei (LED);
- stabilirea modului de lucru „intrare digitală” pentru terminalul butonului;
- stabilirea modului de lucru „ieșire digitală” pentru terminalul diodei (LED);
- preluarea stării logice a terminalului ales prin intermediul instrucțiunii „digitalRead ()”

- redirecționarea stării intrării digitale înspre terminalul de ieșire digitală (mai precis, crearea unei funcții de legătură între o intrare și o ieșire digitală prin intermediul arhitecturii procesorului);

APLICAȚIA 6

Se va implementa circuitul conform următoarei scheme (Fig. 2.28):

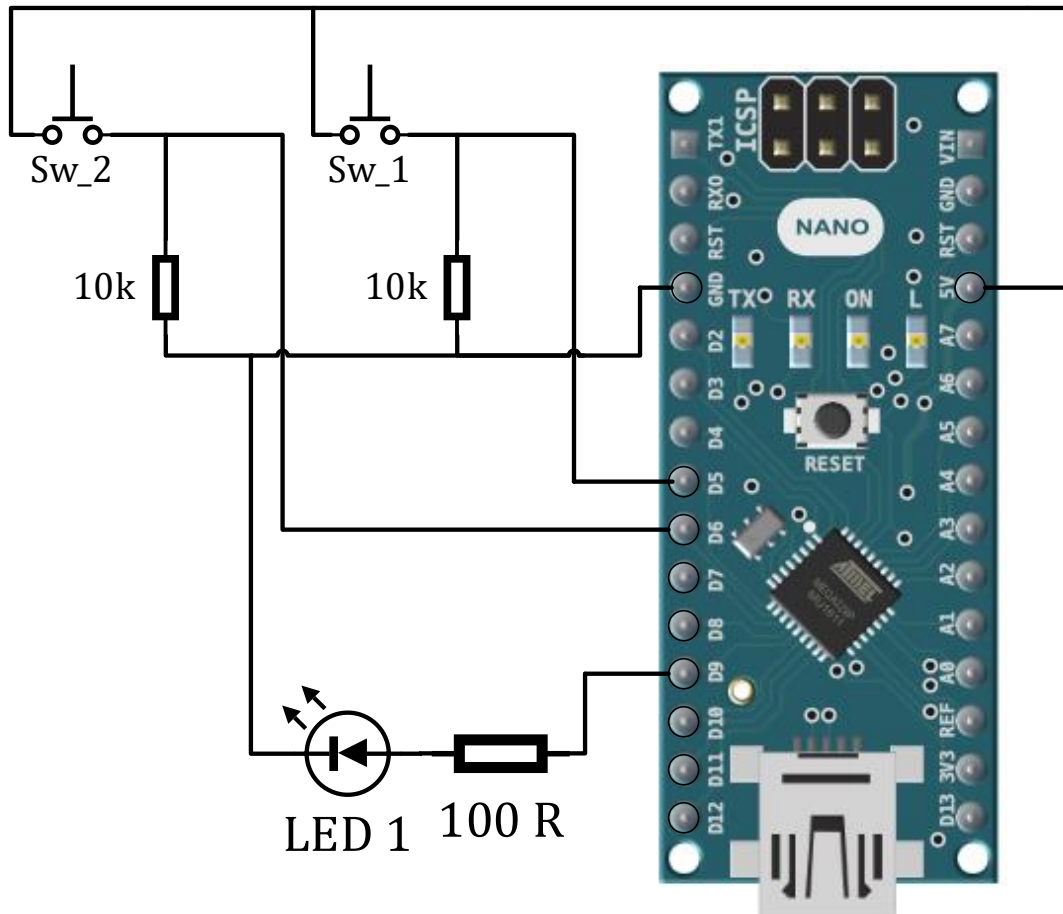


Fig. 2.28 – Schema electronică pentru implementarea circuitului specific aplicației 6 [7]

Se va implementa următorul cod program:

```
const int pin_sw_1 = 5;
const int pin_sw_2 = 6;
const int pin_led = 9;

int sw_1_state = 0;
int sw_2_state = 0;

void setup() {
  pinMode(pin_sw_1, INPUT);
  pinMode(pin_sw_2, INPUT);
  pinMode(pin_led, OUTPUT);
}

void loop() {
  sw_1_state = digitalRead(pin_sw_1);
  while(sw_1_state == 1) {
    sw_2_state = digitalRead(pin_sw_2);
    digitalWrite(pin_led, HIGH);
    if (sw_2_state == 1) {
      break;
    }
  }
  digitalWrite(pin_led, LOW);
}
```

Montajul experimental se va realiza conform (Fig. 2.29):

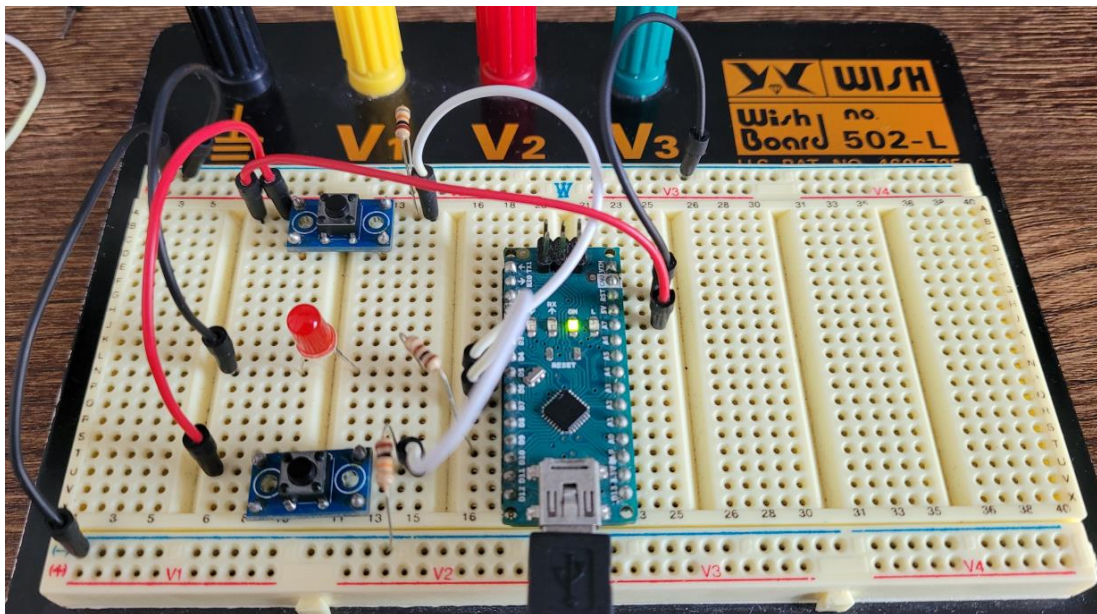


Fig. 2.29 – Montaj experimental pentru aplicația 6

Implementarea aplicației nr. 6 presupune:

- declararea a trei constante globale, în vederea stabilirii numerelor de ordine ale terminalelor corespondente atât butoanelor cu apăsare și revenire cât și diodei (LED);
- stabilirea modului de lucru „intrare digitală” pentru terminalele butoanelor;
- stabilirea modului de lucru „ieșire digitală” pentru terminalul diodei (LED);
- preluarea stărilor logice ale terminalelor alese pentru atașarea butoanelor cu apăsare și revenire prin intermediul instrucțiunii „digitalRead ()”
- redirectionarea stării intrării digitale înspre terminalul de ieșire digitală (mai precis, crearea unei funcții de legătură între o intrare și o ieșire digitală prin intermediul arhitecturii procesorului);
- crearea unei strategii de auto-menținere prin intermediul unei structuri de tip „while()”, și a unei instrucțiuni de suspendare de tip „break”;

V. CONCLUZII

Simplificarea procesului de programare a microcontrolerului ATmega 328P din componența platformei de dezvoltare Arduino NANO, poate fi facilitată prin intermediul limbajului de interfațare (API) Wiring. Acesta permite crearea unor asocieri (în cadrul codului program) între ieșirile și intrările fizice ale microcontrolerului.

VI. BIBLIOGRAFIE

1. Arduino Store © 2021 Arduino SRL - Partita IVA 09755110963 – „Arduino Nano”
<https://store.arduino.cc/products/arduino-nano>
2. Arduino official website © 2024 – „Arduino IDE”
<https://www.arduino.cc/en/software>
3. Wikipedia – „Wiring (software)”
[https://en.wikipedia.org/wiki/Wiring_\(software\)](https://en.wikipedia.org/wiki/Wiring_(software))
4. Conf. Dr. Ing. Ioana - Cornelia Gros, Asist. Dr. Ing. Lucian - Nicolae Pintilie, Prof. Dr. Ing. Teodor Crișan Pană – „SISTEME EMBEDDED ÎN INGINERIE ELECTRICĂ - GHID DE APLICAȚII”, Editura UTPRESS, Cluj-Napoca, 2020, ISBN 978-606-737-431-5.
5. Electronics and Power electronics (EPE) Brings power and electronics together © 2017 – „Documentație pentru laboratorul de Sisteme cu Microprocesoare”
<https://epe.utcluj.ro/index.php/sisteme-cu-microprocesoare/>
6. Atmel Corporation © 2015, Rev.: 7810D – AVR – 01 / 15 – „ATmega328P datasheet - 8-bit AVR Microcontroller with 32K Bytes In-System Programmable Flash”;
7. Edis Techlab © 2024 Alle Rechte vorbehalten – „Der Arduino Nano - Pin-out”
<https://edistechlab.com/arduino-nano-pinout/>

Tema de studiu nr. 3 – Manipularea intrărilor analogice

I. SCOPUL TEMEI

- prezentarea modului de funcționare a convertorului analog – digital sau numeric [1] [2]
- prezentarea modului de funcționare a convertorului numeric sau digital – analog [2]
- prezentarea modului de funcționare a unității pentru generare a impulsurilor [1] [2]
- implementarea aplicațiilor specifice procesării semnalelor analogice [1] [2] [3]

II. INTRODUCERE

Microcontrolerul ATmega 328P [1] din cadrul platformei de dezvoltare Arduino Nano conferă posibilitatea achiziționării și prelucrării atât a semnalelor digitale cât și a **semnalelor analogice**. Terminalele marcate pe cablajul imprimat cu indicativul „Ax” (unde „x” reprezintă numărul de ordine), reprezintă un set de **intrări analogice** (Fig. 3.1).

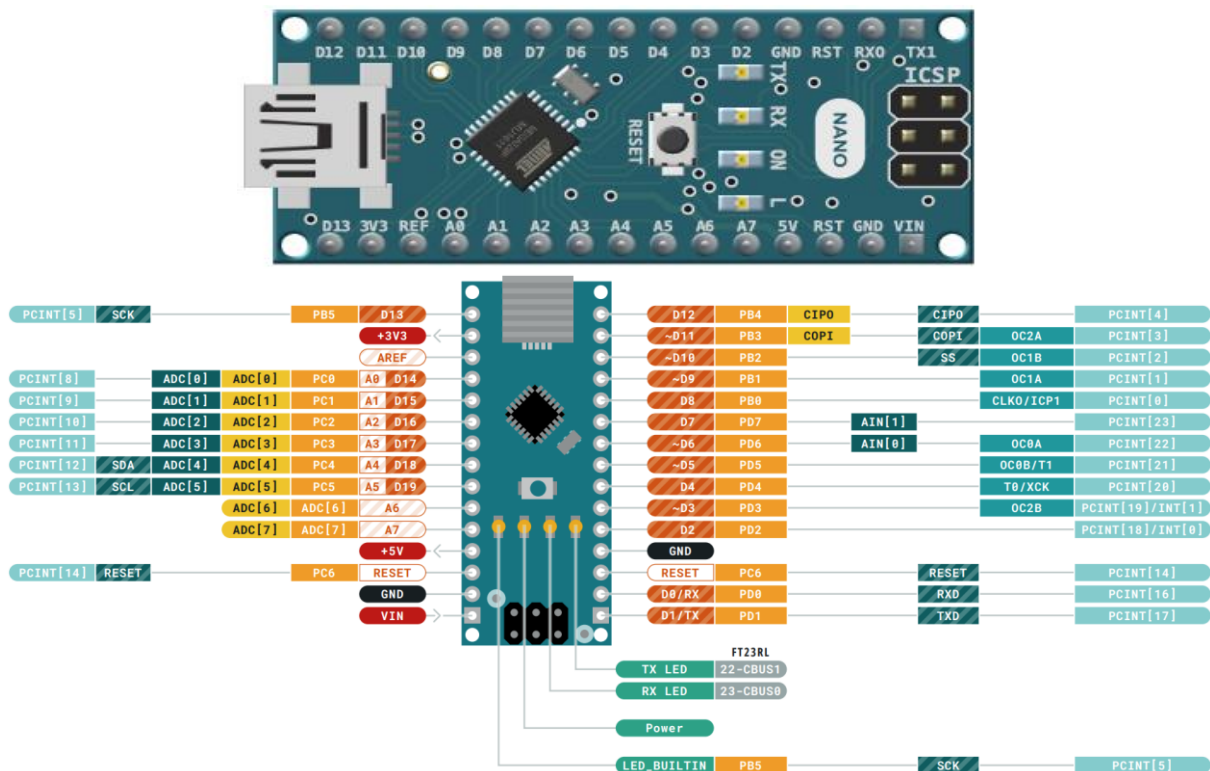


Fig. 3.1 – Harta funcțiilor specifice terminalelor platformei Arduino Nano [4]

Etajul din cadrul arhitecturii care permite achiziționarea semnalelor analogice, poartă denumirea de **convertor analog – digital CAD** (eng. Analog to Digital Converter – ADC). Prin intermediul acestuia, microcontrolerul ATmega 328P poate măsura semnale de tensiune variabile în timp cu amplitudinea cuprinsă între 0 și 5 [V].

III. ASPECTE TEORETICE

Într-un circuit electronic, semnalele analogice sunt reprezentate ca și o tensiune cu amplitudine variabilă în timp (Fig. 3.2).

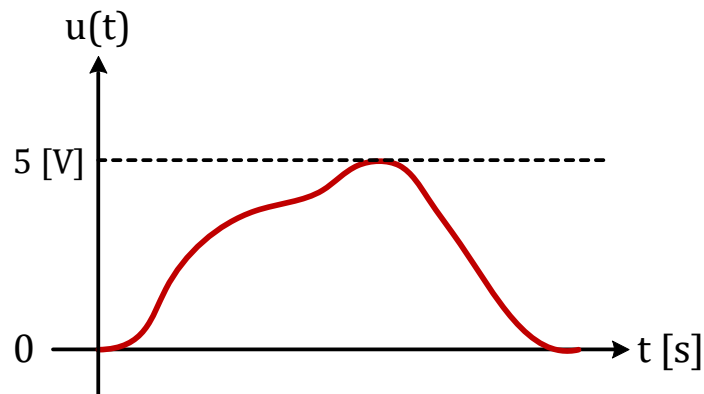


Fig. 3.2 – Semnal analogic [3]

Semnalele de tensiune variabile în timp provin în mare parte de la traductoare. Rolul unui traductor este de a transforma o mărime de natură neelectrică într-o mărime de natură electrică precum tensiune sau curent cu amplitudine variabilă. Există și situația în care mărimea neelectrică măsurată de traductor este proporțională cu un anumit parametru de circuit precum: rezistența electrică, capacitatea, inductivitatea sau impedanța echivalentă. Prin urmare, există deci, două clase de traductoare:

- **traductoare active** (care nu necesită alimentare deoarece produc tensiune sau curent);
- **traductoare pasive** (care necesită alimentare deoarece se bazează pe variația unui parametru de circuit precum rezistența, capacitatea sau inductivitatea);

În vederea adaptării semnalului de măsură la sistemul de achiziție există de asemenea două categorii de circuite sau etaje intermediare:

- circuite formatoare de semnal pentru traductoarele active (ex. amplificator);
- circuite adaptoare de impedanță pentru traductoarele pasive (ex. filtre pasive);

Cel mai simplu circuit de adaptare a impedanței și atenuare a semnalului este **divizorul de tensiune** (Fig. 3.3).

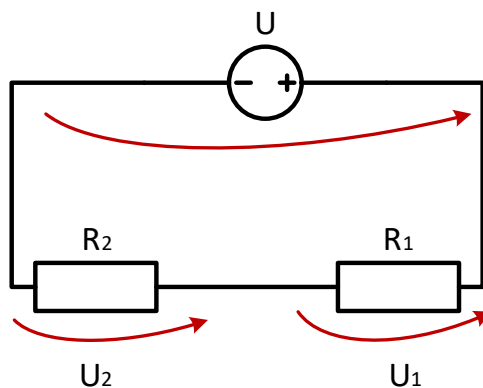


Fig. 3.3 – Divizorul de tensiune [3]

Există următoarele relații de calcul pentru tensiune (în cazul divizorului):

$$U_1 = R_1 \cdot \frac{U}{R_1 + R_2} \quad U_2 = R_2 \cdot \frac{U}{R_1 + R_2}$$

Tructoarele pasive pot fi atașate la microcontroler prin intermediul divizorului de tensiune având o rezistență variabilă (ex. montaj în semi-punte sau potențiometric). Rezistența variabilă reprezintă însuși traductorul (ex. termistor) (Fig. 3.4).

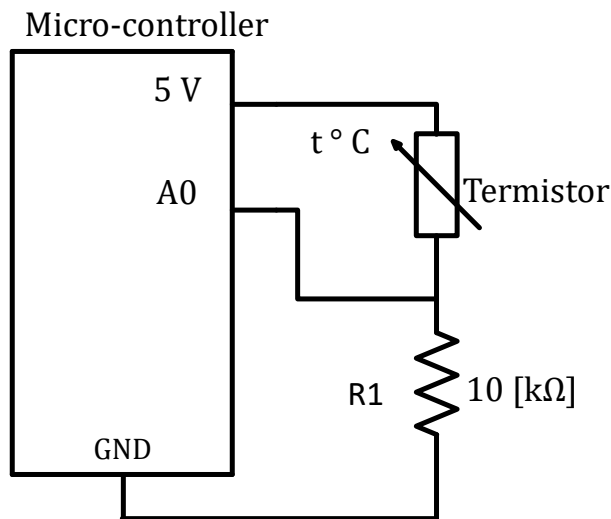


Fig. 3.4 – Atașarea traductoarelor pasiv-rezistive la microcontroler [3]

Cel mai simplu etaj electronic din componența arhitecturii microcontrolerului ATmega 328P, care poate prelucra semnalul analogic este **comparatorul** [1] (Fig. 3.5).

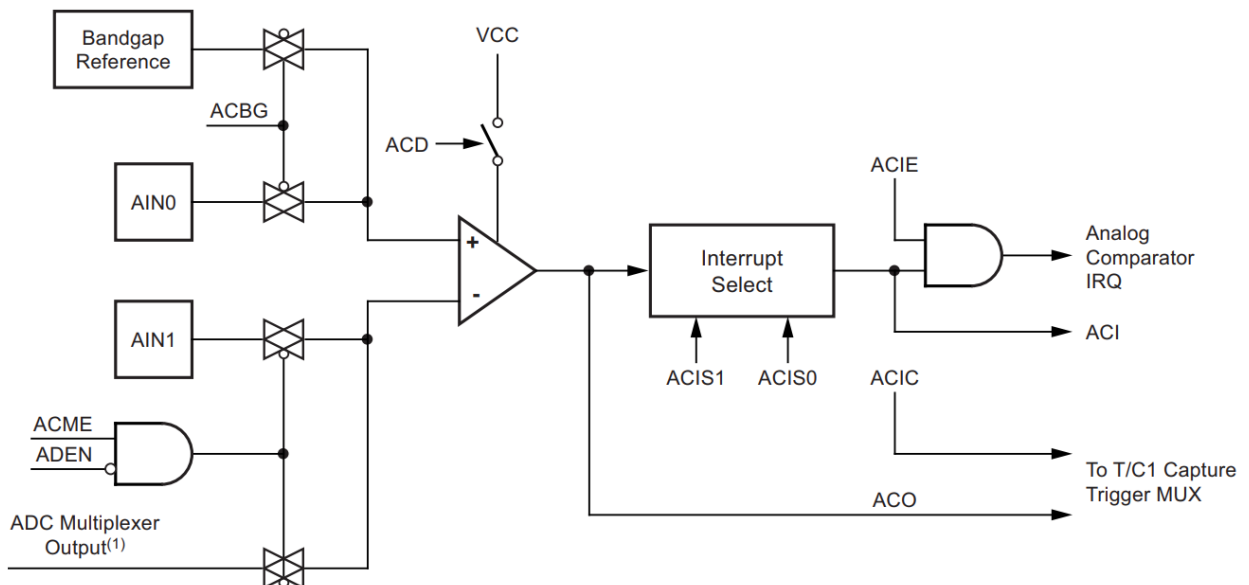


Fig. 3.5 – Comparatorul din cadrul arhitecturii microcontrolerului ATmega 328P [1]

Comparatorul electronic are rolul de a sesiza diferența de potențial dintre tensiunea de referință și semnalul analogic măsurat „ $u(t)$ ”. Tensiunea de referință „ref” poate fi „0”, diferită de „0” sau egală cu tensiunea de alimentare „ V_{cc} ”. Când tensiunea măsurată devine egală cu tensiunea de referință, comparatorul produce un semnal digital la ieșire cu nivelul 1 logic (adică tensiunea de alimentare se va regăsi la ieșire) (Fig. 3.6).

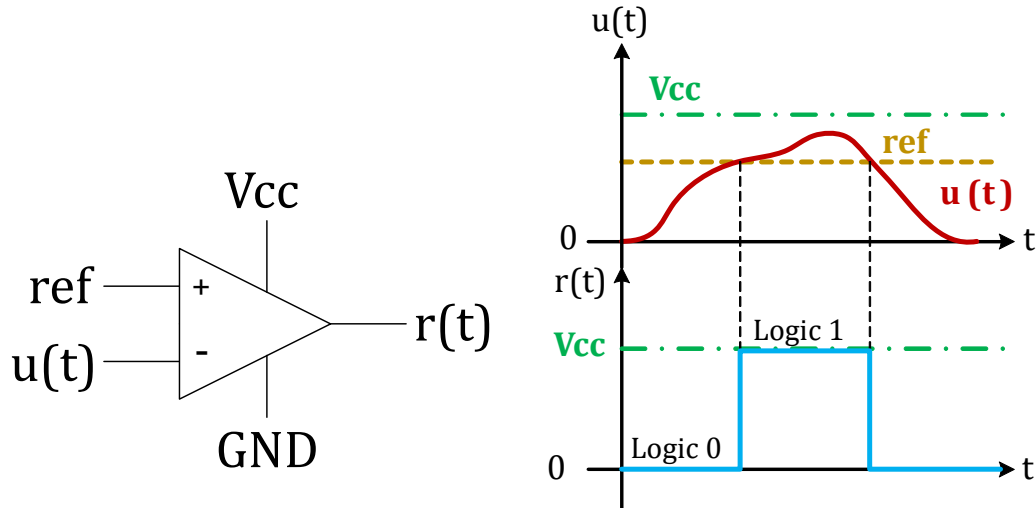


Fig. 3.6 – Principiul de funcționare al comparatorului electronic [3]

Convertorul analog – digital (eng. Analog to Digital Converter – ADC) reprezintă o serie progresivă de comparatoare. Pe baza numărului de comparatoare se poate determina rezoluția convertorului (ex. 4 comparatoare = 2^4 combinații posibile). În componența convertorului analog – digital există un divizor rezistiv cu un număr finit de rezistențe egal cu numărul de comparatoare. Fiecare comparator verifică dacă există sau nu căderea de tensiune prestabilită la bornele rezistenței corespunzătoare (Fig. 3.7).

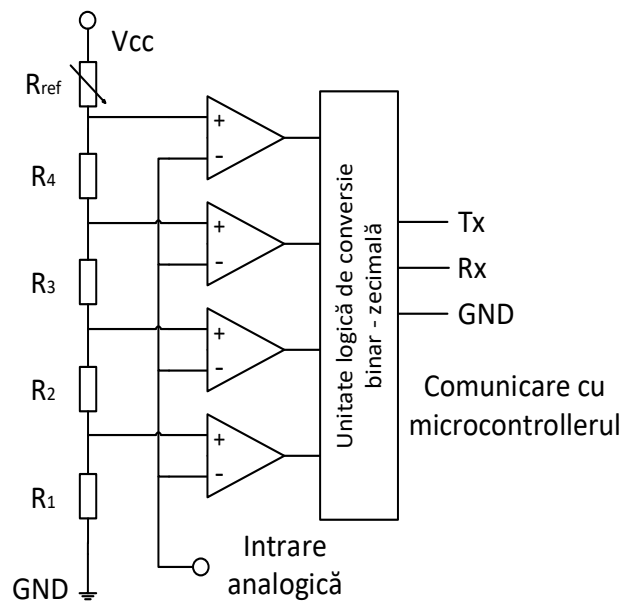


Fig. 3.7 – Schema electronică principală a convertorului analog digital [3]

Semnalul rezultat „r(t)” înregistrat în memoria microcontrolerului de către convertorul analog – digital, va fi de natură digitală, anume un semnal discretizat (construit prin variația în trepte a amplitudinii) (Fig. 3.8).

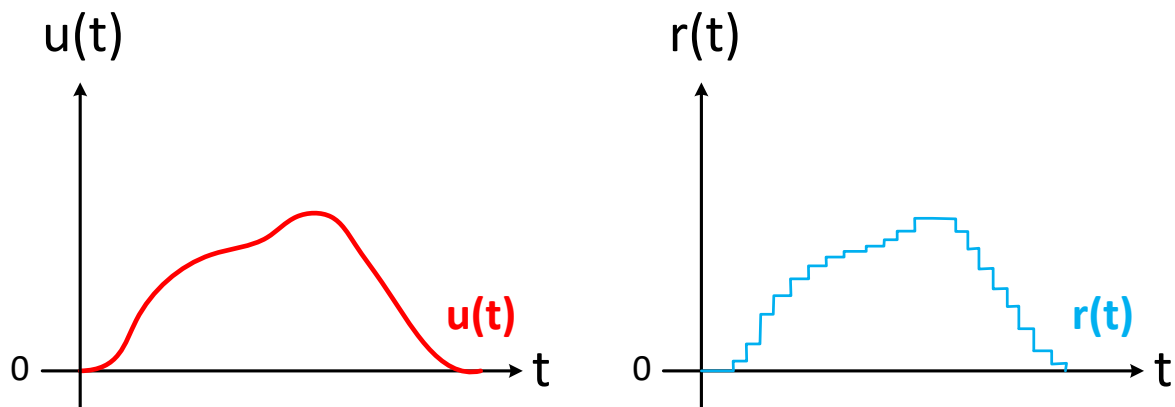


Fig. 3.8 – Semnalul analogic discretizat [3]

Fidelitatea semnalului înregistrat depinde de **rezoluția convertorului** analog – digital. Rezoluția depinde de **numărul de comparatoare** din componența convertorului analog – digital. **Precizia** convertorului analog – digital depinde de **rezoluție și tensiunea de alimentare**. Spre exemplu:

Fie, un convertor analog – digital având rezoluția pe 10 biți, alimentat cu tensiunea de referință 5 [V]. Să se calculeze precizia convertorului:

$$U_{ref} = 5 [V], \quad r = 10 [bit] = (2^{10}) - 1 = 1023$$

$$x = \frac{U_{ref}}{r} = \frac{5}{1023} \approx 0,004 [V] \rightarrow 4 [mV / treaptă];$$

Unde, „U_{ref}” reprezintă tensiunea de referință, „r” rezoluția, iar „x” precizia convertorului analog – digital. **Precizia** reprezintă **constanta de calibrare în tensiune** a convertorului.

Fie „x”, precizia unui convertor analog – digital, „r” rezoluția egală cu 10 biți, iar tensiunea de referință 5 [V]. Să se determine **nivelul de tensiune măsurat cu ajutorul convertorului analog - digital**, pentru care **indicația numerică** în format zecimal din registrul convertorului ar fi ADC = 345:

$$U_{m\grave{a}s} = ADC \cdot x = ADC \cdot \frac{U_{ref}}{r}$$

$$ADC = 345, \quad U_{m\grave{a}s} = ADC \cdot x = ADC \cdot \frac{U_{ref}}{r} = 345 \cdot \frac{5}{1023} \approx 1,38 [V]$$

Unde, „ADC” reprezintă indicația numerică din registrul convertorului analog - digital, iar „U_{măs}” reprezintă tensiunea măsurată pe intrarea analogică.

Circuitul care realizează **funcția inversă** conversiei analog – digitale (numerice), este **convertorul digital – analog** (eng. Digital to Analog Converter – DAC). Rolul acestui circuit este de a **furniza un semnal de tensiune cu amplitudine variabilă** în funcție de **comanda numerică dată**. În componența convertorului digital – analog există un divizor de tensiune și o serie de comutatoare electronice care cuplează mai multe valori de tensiune la intrarea unui amplificator sumator (Fig. 3.9).

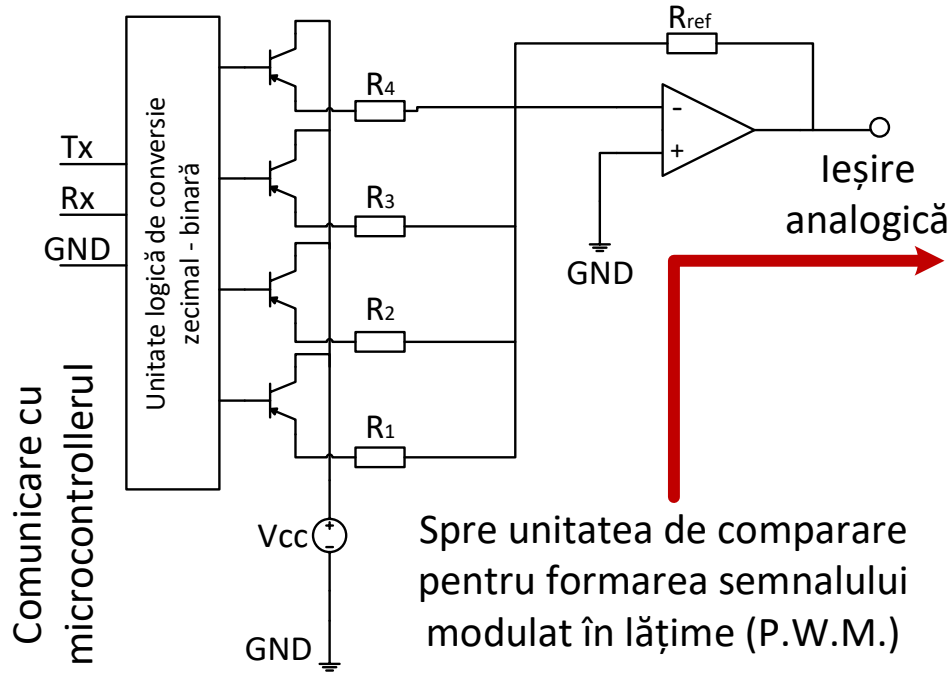


Fig. 3.9 – Schema bloc principală a convertorului digital – analog [2]

În cadrul unor arhitecturi de microcontroler sau procesor digital de semnal, nivelul de tensiune rezultat „DAC” [2] al convertorului digital – analog este utilizat în vederea **generării semnalului dreptunghiular modulat în lățime** „r(t)” (eng. Pulse Width Modulation – PWM). Convertorul digital – analog reprezintă în acest sens, o **sursă de tensiune cu amplitudine controlabilă în mod digital**. Tensiunea generată de către convertor, poate fi furnizată înspre un **etaj comparator** împreună cu un **semnal triunghiular** „Timer” cu **frecvență constantă** (Fig. 3.10 ~ 3.11). Semnalul triunghiular reprezintă „**unda purtătoare**”, iar tensiunea cu amplitudine variabilă reprezintă „**unda modulatoare**”. Semnalul rezultat, este de natură **digitală** având **frecvența** și **amplitudinea constantă** iar **lățimea variabilă** (Fig. 3.11).

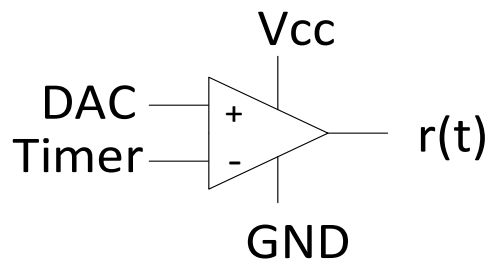


Fig. 3.10 – Etaj comparator intern pentru generarea semnalului modulat în lățime [2] [3]

Semnalul triunghiular va fi generat de un circuit numărător sau temporizator (eng. counter ~ timer).

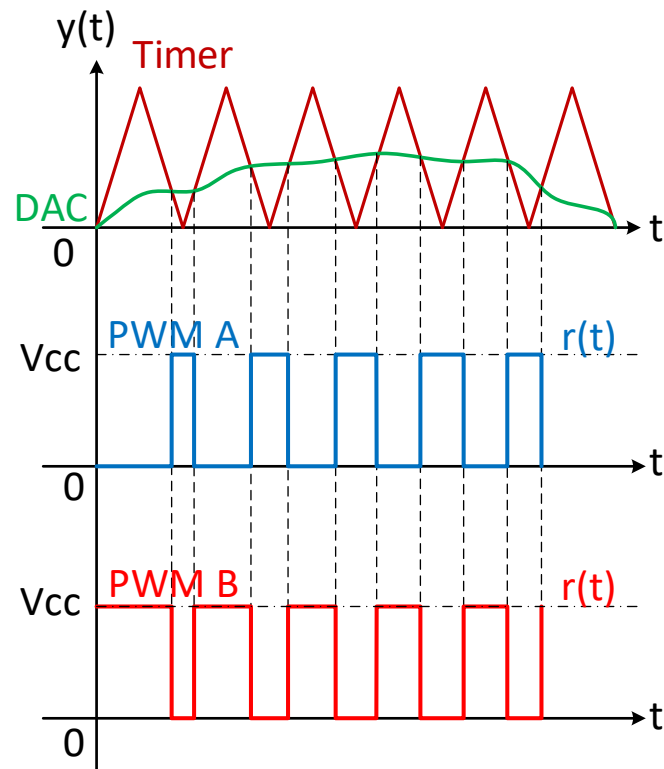


Fig. 3.11 – Generarea semnalului modulat în lățime [1] [2] [3]

Fidelitatea pentru reprezentarea factorului de umplere al semnalului modulat în lățime depinde de **rezoluția numărătorului** și **rezoluția convertorului digital - analog** (dacă semnalul este generat pe baza unei strategii de comparare). Spre exemplu:

Fie indicația numerică a registrului „PWM = 125”. Pentru o unitate de generare a semnalului modulat în lățime având rezoluția „r” pe 8 biți, să se determina factorul de umplere „d”:

$$r = 8 \text{ [bit]} = (2^8) - 1 = 255$$

$$x = \frac{1}{r} = \frac{1}{255} \approx 0,0039$$

$$d_{[\%]} = PWM \cdot \frac{1}{r} = 125 \cdot \frac{1}{255} \approx 0,49 \rightarrow 49 \text{ [\%]}$$

Unde „PWM” este indicația numerică a factorului de umplere (între [0 - 255]), iar „d_[%]” factorul de umplere exprimat procentual cu fracție subunitară. Motivul pentru care factorul de umplere are valori subunitare constă în faptul că, amplitudinea unei purtătoare (triunghiulară) este maxim 1.

În vederea implementării aplicațiilor specifice procesării semnalelor analogice cu ajutorul microcontrolerului ATmega 328P, se vor avea în vedere două instrucțiuni:
- instrucțiunea condițională „if ()” (ro. dacă) și „else ()” (ro. altfel), spre exemplu:

```
if (variabila_1 > variabila_2) {  
    instrucțiune_1 (argument_1, ARGUMENT_2);  
}  
else {  
    instrucțiune_2 (argument_1, ARGUMENT_2);  
}
```

- instrucțiunea de constrângere și scalare „map ()” (restrângerea unui domeniu de variație la un anumit interval de finit prin regula de trei simplă).
Spre exemplu:

```
variabila_2 = map (variabila_1, valoare_inferioară_interval_1,  
valoare_superioară_interval_1, valoare_inferioară_interval_2,  
valoare_superioară_interval_2);
```

Fie variabila „p” cu valori în intervalul [0 1023]. Să se scrie funcția necesară pentru care, variabila „q” variază **direct - proporțional** cu variabila „p” în intervalul [0 255]:

```
q = map (p, 0, 1023, 0, 255);
```

Fie variabila „p” cu valori în intervalul [0 1023]. Să se scrie funcția necesară pentru care, variabila „q” variază **invers - proporțional** cu variabila „p” în intervalul [0 255]:

```
q = map (p, 0, 1023, 0, 255);
```

IV. IMPLEMENTAREA APLICAȚIILOR

Se vor utiliza următoarele componente:

- placă pentru testare rapidă a circuitelor electronice (Wisher WBU-502L);
- platformă de dezvoltare Arduino NANO cu microcontroler ATmega 328;
- diode electro-luminiscente;
- rezistențe cu valoarea de 100 [Ω];
- senzor de temperatura LM-35;
- potențiomtru cu valoarea maximă a rezistenței 10 [kΩ];
- fire pentru conexiune rapidă compatibile cu placa de testare;
- calculator gazdă având mediul Arduino IDE instalat;
- cablu adaptor USB A la mini USB;

În vederea studierii aspectelor și conceptelor teoretice se propune implementarea următoarelor aplicații pe baza platformei Arduino Nano:

- Determinarea rezoluției convertorului analog – digital (cu afișare în monitorul serial);
- Determinarea preciziei convertorului analog – digital și a valorii de tensiune măsurată;
- Determinarea temperaturii cu ajutorul traductorului LM-35;
- Implementarea unui comparator numeric cu prag digital reglabil (funcția „if”);
- Implementarea unei coloane luminoase indicatoare de nivel (funcția „map”);
- Generarea unui semnal dreptunghiular modulat în lățime (funcția „map”);

APLICAȚIA 1

Se va implementa circuitul conform următoarei scheme (Fig. 3.12):

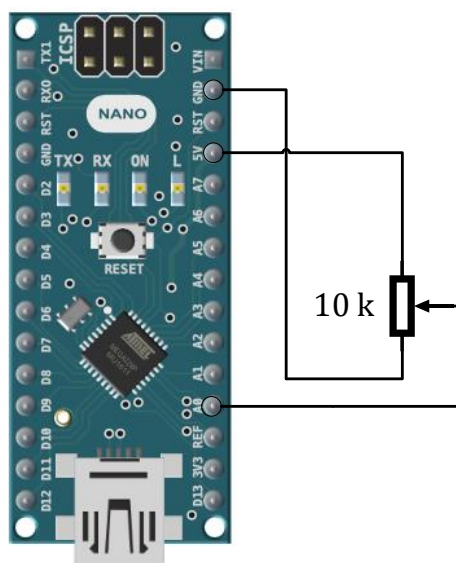


Fig. 3.12 – Schema electronică pentru implementarea aplicației 1 și 2 [3] [4]

Se va realiza următorul montaj experimental (Fig. 3.13):

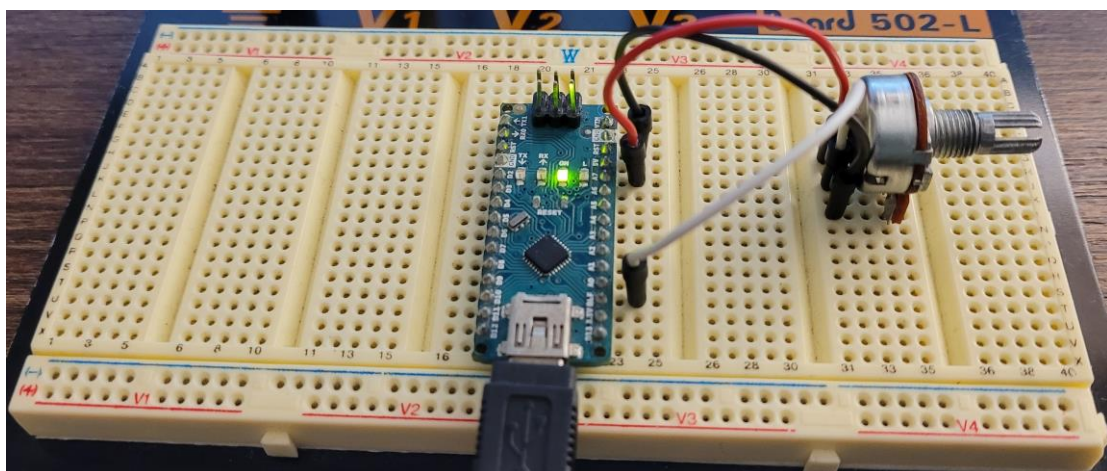


Fig. 3.13 – Montajul experimental specific aplicației 1 și 2

Se va implementa următorul cod program:

```
const int analog_pin = 0;
int ADC_val = 0;

void setup() {
  Serial.begin(9600);
}

void loop() {
  ADC_val = analogRead(analog_pin);
  Serial.print("ADC: ");
  Serial.print(ADC_val);
  Serial.println("");
  delay(250);
}
```

În urma implementării codului program la nivelul microcontrolerului ATmega 328P, se va deschide consola Serial (meniul „Tools” --> „Serial Monitor”) (Fig. 3.14).

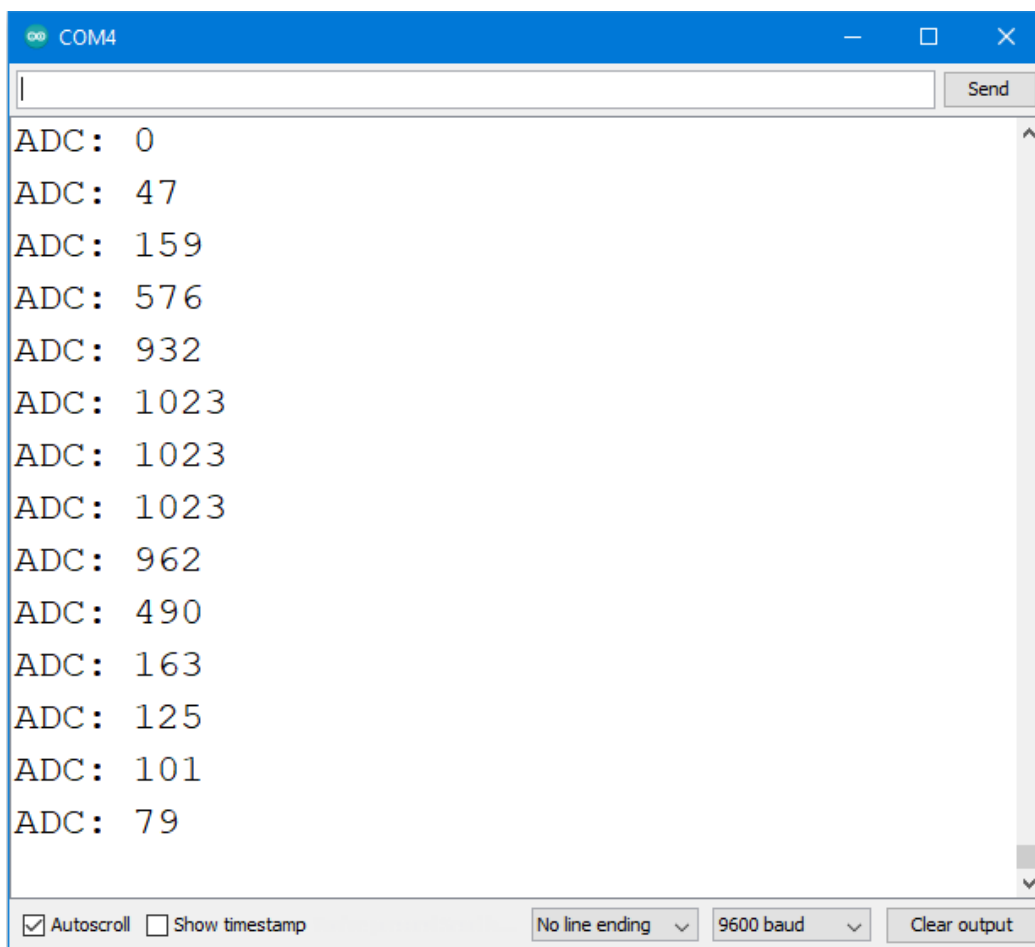


Fig. 3.14 – Consola Serial – Rezultatul conversiei analog – digital

Implementarea aplicației nr. 1 presupune:

- declararea unei constante de tip număr întreg „analog_pin” având ca și valoare „0”;
- inițializarea unei variabile de tip număr întreg „ADC_val” cu valoarea „0”;
- inițializarea comunicației Serial la viteza de transfer 9600 [b/s];
- preluarea valorii zecimale rezultante în urma procesului de conversie analog – digital;
- afișarea rezultatului de conversie în consola serial însoțit de mesajul „ADC: ”;

Se constată faptul că intervalul de variație al rezultatului conversiei analog – digitale este cuprins între [0 1023] (Fig. 3.14). Valorile obținute corespund unei rezoluții de 10 biți, astfel valoarea maximă în format zecimal poate fi determinată pe baza relației:

$$r = 10 [bit] = (2^{10}) - 1 = 1023$$

APLICAȚIA 2

Utilizând același montaj ca și în cazul aplicației anterioare (Fig. 3.12 și 3.13), se va determina (pe baza următoarelor relații) atât precizia convertorului analog – digital cât și valoarea nivelului de tensiune înregistrat în mod dinamic de către convertor.

$$x = \frac{U_{ref}}{r} \rightarrow U_{m\grave{a}s} = ADC \cdot \frac{U_{ref}}{r}$$

Se va implementa următorul cod program:

```
const int analog_pin = 0;
int ADC_val = 0;
float U = 0.00;

void setup() {
  Serial.begin(9600);
}

void loop() {
  ADC_val = analogRead(analog_pin);
  U = (5.00 / 1023.00) * ADC_val;
  Serial.print("Tensiune: ");
  Serial.print(U);
  Serial.print(" [V]");
  Serial.println("");
  delay(250);
}
```

În urma implementării codului program se va deschide consola Serial (Fig. 3.15). Precizia convertorului analog – digital este aproximativ 4 [mV / pas], iar tensiunea măsurată variază în intervalul [0 5] [V], în situația în care nivelul tensiunii de referință sau nivelul tensiunii de alimentare este egal cu 5 [V], (Fig. 3.15).

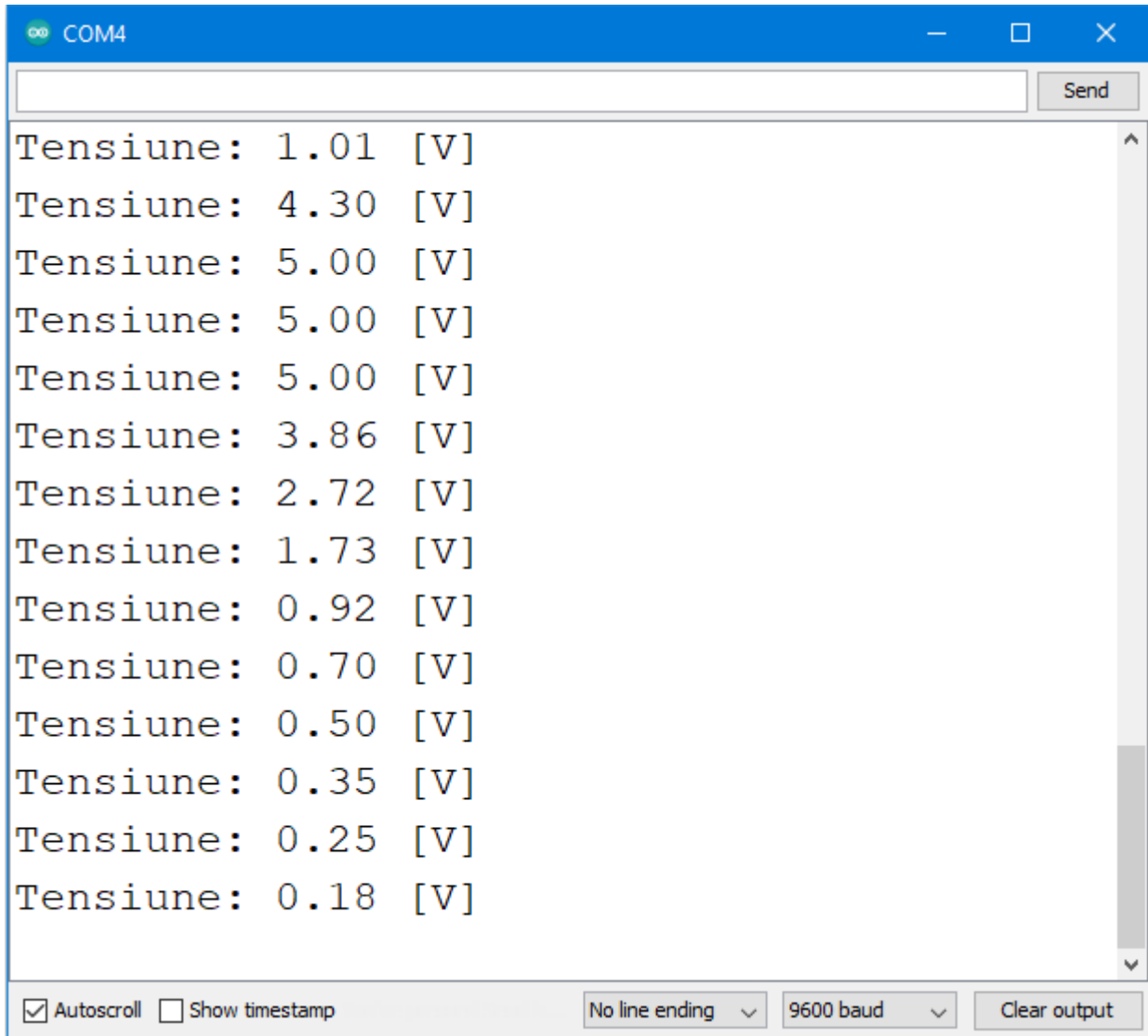


Fig. 3.15 – Consola Serial – Afișarea nivelului de tensiune măsurat de convertor

Implementarea aplicației nr. 2 presupune:

- declararea unei constante de tip număr întreg „analog_pin” având ca și valoare „0”;
- inițializarea unei variabile de tip număr întreg „ADC_val” cu valoarea „0”;
- inițializarea unei variabile de tip fracționar „U” cu valoarea „0.00”;
- inițializarea comunicației Serial la viteza de transfer 9600 [b/s];
- preluarea valorii zecimale rezultante în urma procesului de conversie analog – digital;
- determinarea tensiunii de măsură pe baza preciziei convertorului analog – digital;
- afișarea nivelului de tensiune în consola Serial însoțit de mesajul „Tensiune: ___ [V]”;

Se va implementa următorul cod program:

```
const int analog_pin = 0;
int ADC_val = 0;
float U = 0.00;
float temp = 0.00;

void setup() {
  Serial.begin(9600);
}

void loop() {
  ADC_val = analogRead(analog_pin);
  U = (5.00 / 1023.00) * ADC_val;
  temp = 100.00 * U;
  Serial.print("Temperatura: ");
  Serial.print(temp);
  Serial.print(" [*C]");
  Serial.println("");
  delay(250);
}
```

Pe baza instrumentului grafic de analiză (Serial Plotter), se va observa evoluția în timp a temperaturii înregistrate de traductorul LM-35 (Fig. 3.18):

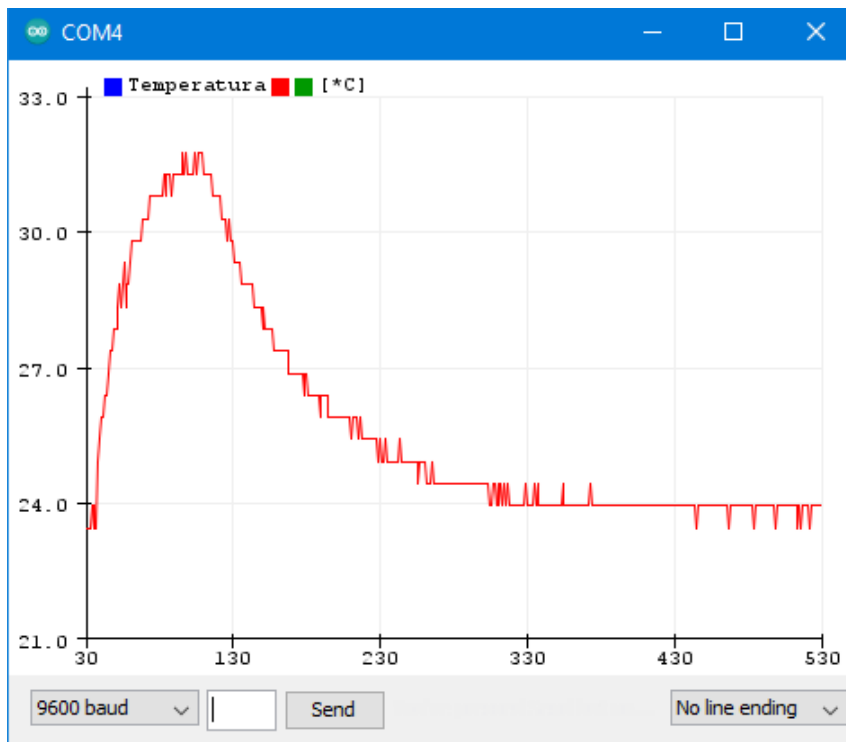


Fig. 3.18 – Variația temperaturii înregistrate de traductorul LM-35 în raport cu timpul

Se va observa de asemenea modul de transmitere în consola Serial al mesajului care indică temperatura ambientală (Fig. 3.19).

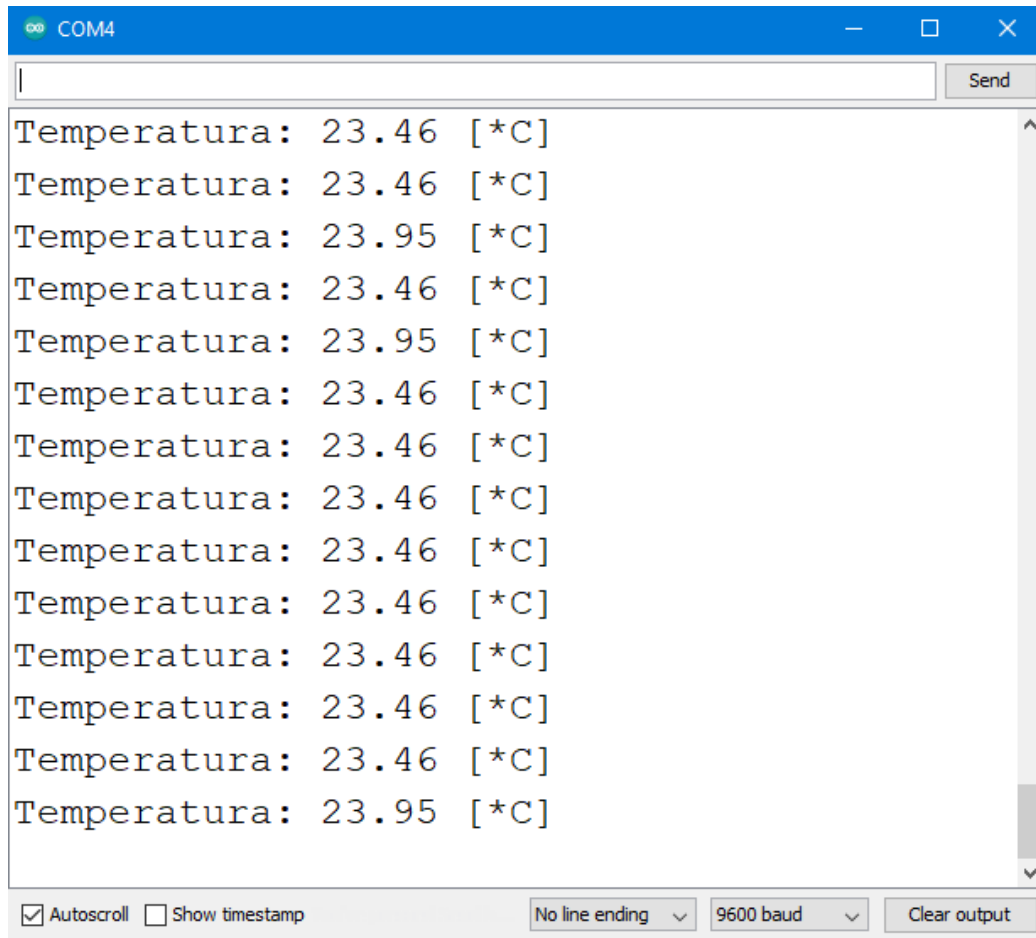


Fig. 3.19 – Consola Serial – Variația temperaturii în raport cu timpul

Se constată faptul că, față de valoarea reală a temperaturii, există o serie de abateri, care pot fi percepute ca și erori de măsurare sau „zgomote” induse în semnalul de măsură. Din acest motiv, va fi necesar ca semnalul de măsură achiziționat să fie filtrat cu ajutorul algoritmului de mediere dinamică (determinarea în mod dinamic a mediei aritmetice pe baza punctelor de măsură înregistrate).

Implementarea aplicației nr. 3 presupune:

- declararea unei constante de tip număr întreg „analog_pin” având ca și valoare „0”;
- inițializarea unei variabile de tip număr întreg „ADC_val” cu valoarea „0”;
- inițializarea unei variabile de tip fracționar „U” cu valoarea „0.00”;
- inițializarea unei variabile de tip fracționar „temp” cu valoarea „0.00”;
- inițializarea comunicației Serial la viteza de transfer 9600 [b/s];
- preluarea valorii zecimale rezultante în urma procesului de conversie analog – digital;
- determinarea tensiunii de măsură pe baza preciziei convertorului analog – digital;
- determinarea temperaturii pe baza tensiunii de măsură și a constantei de calibrare;
- afișarea valorii temperaturii în consola Serial însoțită de mesajul „Temperatura: _ [*C]”;

APLICAȚIA 4

Se va implementa circuitul conform următoarei scheme (Fig. 3.20):

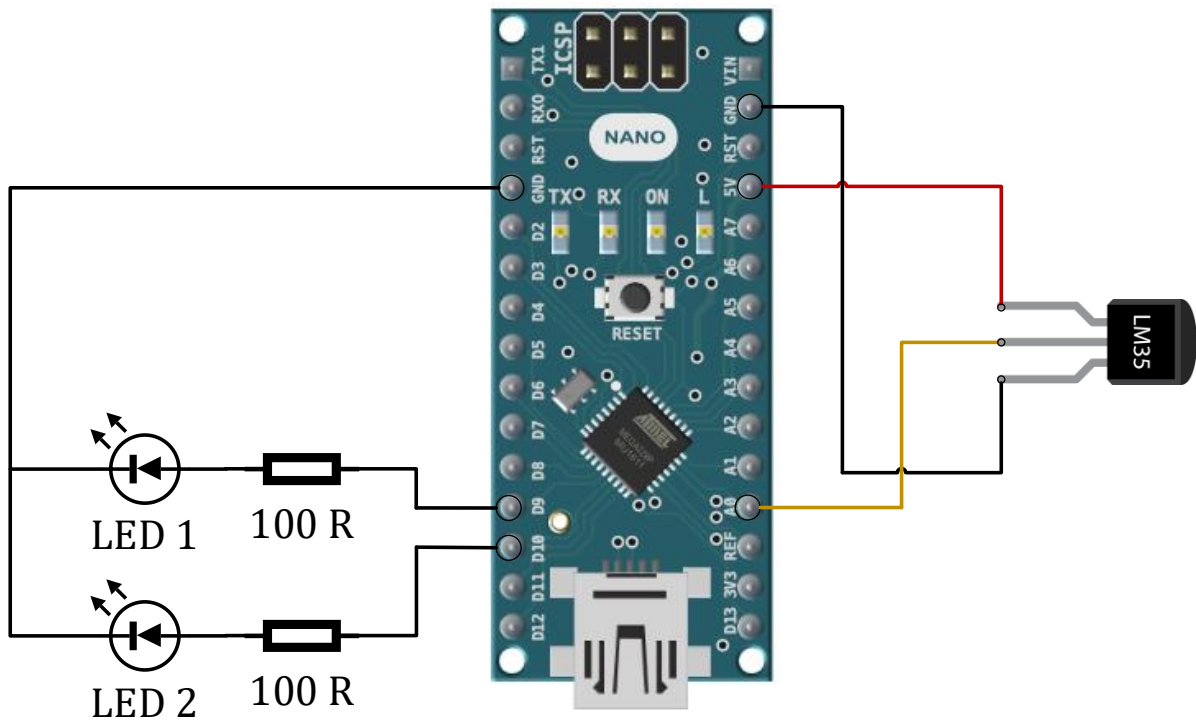


Fig. 3.20 – Schema electronică pentru implementarea circuitului specific aplicației 4 [3] [4]

Se va realiza următorul montaj experimental (Fig. 3.21):

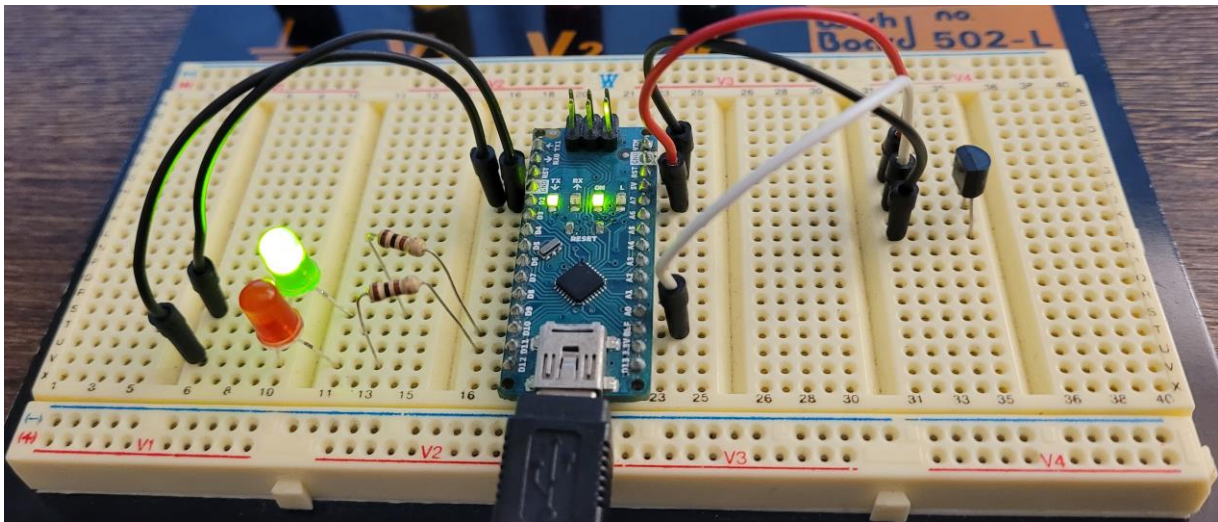


Fig. 3.21 – Montajul experimental specific aplicației 4

Se va implementa următorul cod program:

```
const int analog_pin = 0;
const int led_1 = 9;
const int led_2 = 10;
int ADC_val = 0;
float U = 0.00;
float temp = 0.00;
int prag = 28;

void setup() {
  pinMode(led_1, OUTPUT);
  pinMode(led_2, OUTPUT);
  Serial.begin(9600);
}

void loop() {
  ADC_val = analogRead(analog_pin);
  U = (5.00 / 1023.00) * ADC_val;
  temp = 100.00 * U;
  if (temp < prag) {
    digitalWrite(led_1, HIGH);
    digitalWrite(led_2, LOW);
  }
  else {
    digitalWrite(led_1, LOW);
    digitalWrite(led_2, HIGH);
  }
  Serial.print("Temperatura actuala: ");
  Serial.print(temp);
  Serial.print(" [*C]");
  Serial.print(" Prag: ");
  Serial.print(prag);
  Serial.print(" [*C]");
  Serial.println("");
  delay(250);
}
```

Implementarea aplicației nr. 4 presupune:

- declararea unei constante de tip număr întreg „analog_pin” având ca și valoare „0”;
- declararea unei constante de tip număr întreg „led_1” având ca și valoare „9”;
- declararea unei constante de tip număr întreg „led_2” având ca și valoare „100”;
- inițializarea unei variabile de tip număr întreg „ADC_val” cu valoarea „0”;

- inițializarea unei variabile de tip fracționar „U” cu valoarea „0.00”;
- inițializarea unei variabile de tip fracționar „temp” cu valoarea „0.00”;
- inițializarea unei variabile de tip număr întreg „prag” cu valoarea „28”;
- stabilirea modului de lucru „ieșire” pentru terminalele digitale „D9” și „D10”;
- inițializarea comunicației Serial la viteza de transfer 9600 [b/s];
- preluarea valorii zecimale rezultante în urma procesului de conversie analog – digital;
- determinarea tensiunii de măsură pe baza preciziei convertorului analog – digital;
- determinarea temperaturii pe baza tensiunii de măsură și a constantei de calibrare;
- compararea nivelului temperaturii actuale cu valoarea de prag impusă inițial;
- afișarea în consolă atât a valorii actuale cât și a pragului de temperatură;

Se va deschide consola Serial pentru vizualizarea valorilor (Fig. 3.22).

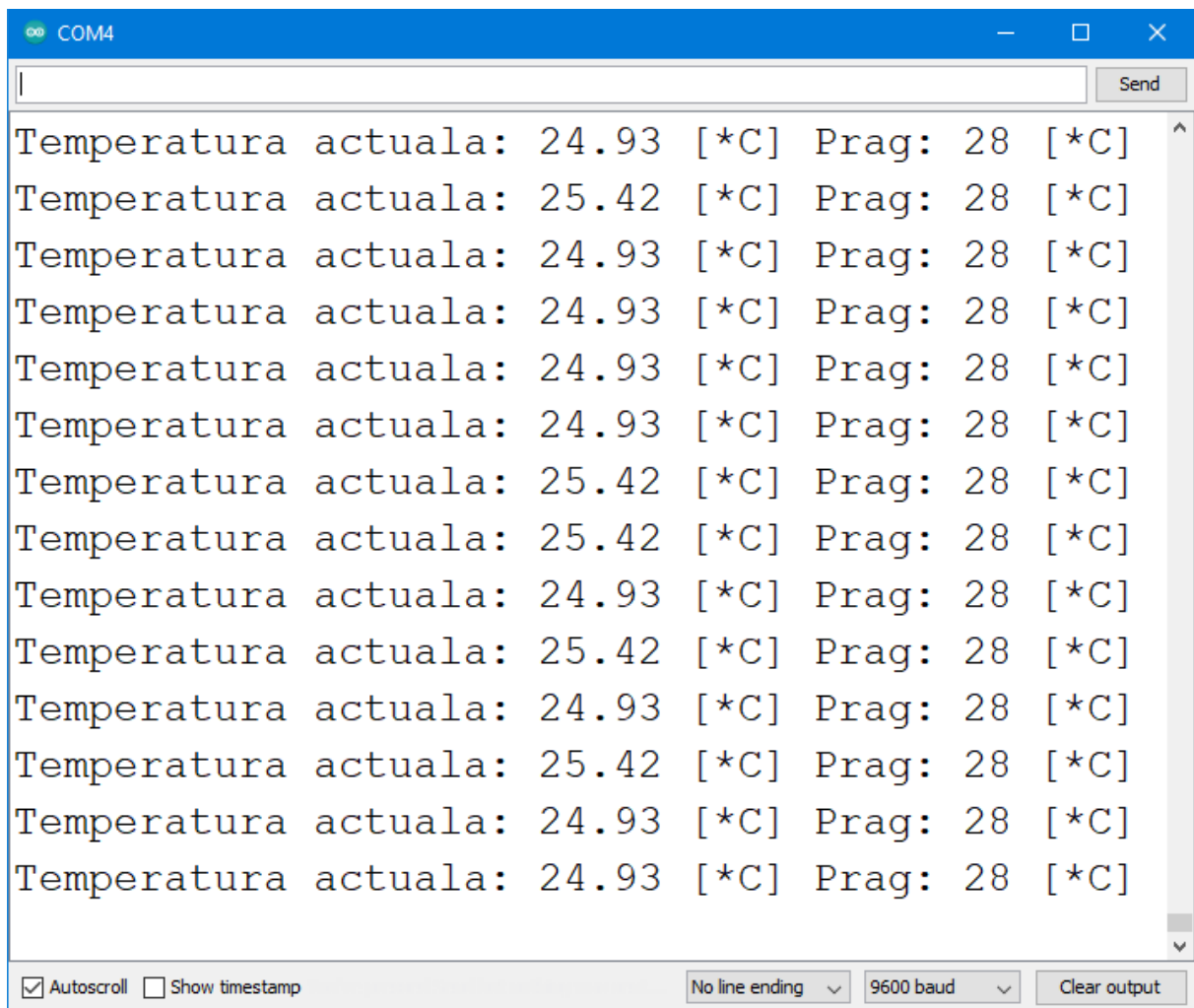


Fig. 3.22 – Consola Serial – Variația temperaturii în raport cu valoarea de prag

Pentru vizualizare se va utiliza de asemenea instrumentul pentru analiză grafică a variației temperaturii ambientale în raport cu o valoare de prag impusă (Fig. 3.23).

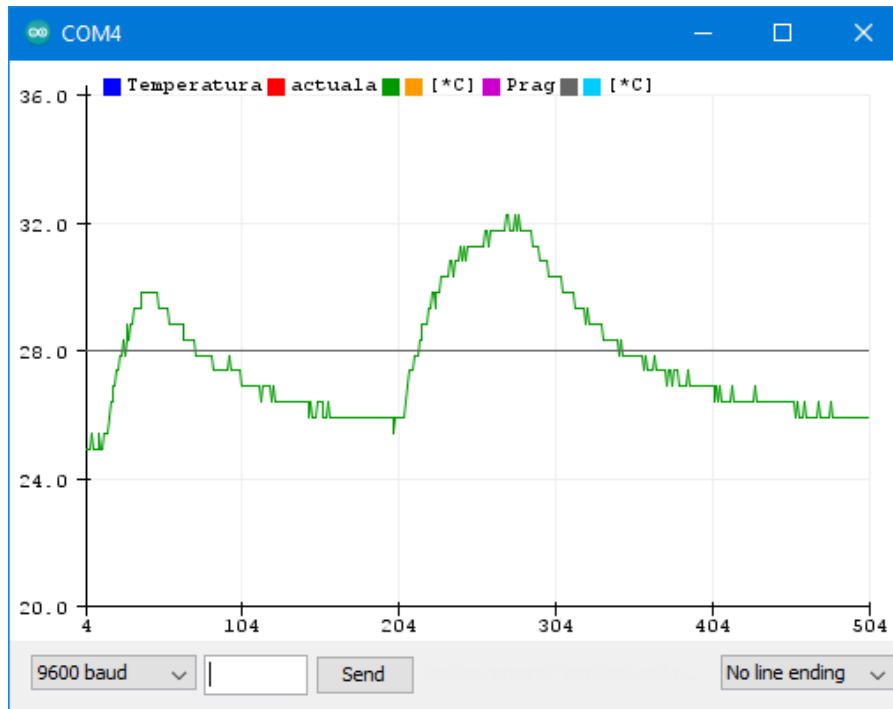


Fig. 3.23 – Variația temperaturii în raport cu valoarea de prag impusă inițial

APLICAȚIA 5

Se va implementa circuitul conform următoarei scheme (Fig. 3.24):

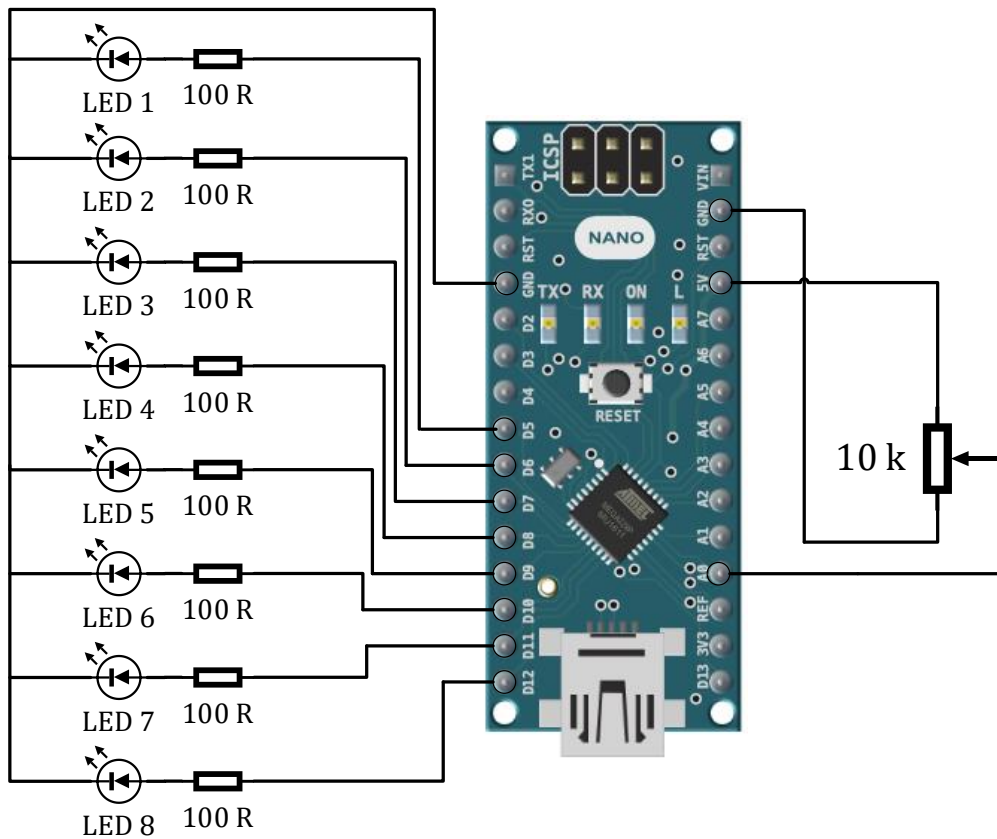


Fig. 3.24 – Schema electronică pentru implementarea circuitului specific aplicației 5 [3] [4]

Se va realiza următorul montaj experimental (Fig. 3.25):

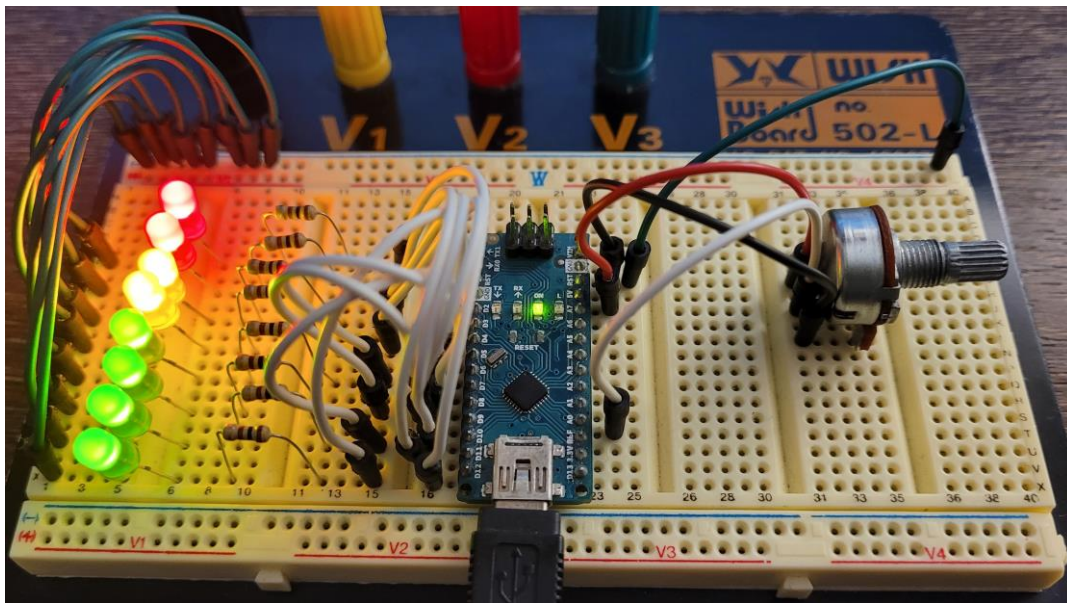


Fig. 3.25 – Montajul experimental specific aplicației 5

Se va implementa următorul cod program:

```
const int analog_pin = 0;
int pin_led[] = {5, 6, 7, 8, 9, 10, 11, 12};

int ADC_val = 0;
int nivel = 0;

void setup() {
  for (int i = 0; i <= 7; i++) {
    pinMode(pin_led[i], OUTPUT);
  }
}

void loop() {
  ADC_val = analogRead(analog_pin);
  nivel = map(ADC_val, 0, 1023, 0, 8);
  for (int i = 0; i <= 7; i++) {
    if (i < nivel) {
      digitalWrite(pin_led[i], HIGH);
    }
    else {
      digitalWrite(pin_led[i], LOW);
    }
  }
}
```


Implementarea aplicației nr. 5 presupune:

- declararea unei constante de tip număr întreg „analog_pin” având ca și valoare „0”;
- declararea a unui șir finit de opt numere întregi „pin_led []”;
- inițializarea unei variabile de tip număr întreg „ADC_val” cu valoarea „0”;
- inițializarea unei variabile de tip număr întreg „nivel” cu valoarea „0”;
- inițializarea terminalelor digitale din șir în modul de lucru „ieșire digitală”;
- preluarea valorilor de la convertorul analog – digital;
- scalarea domeniului de variație al convertorului la numărul de terminale din șir;
- parcurgerea șirului în sens crescător și activarea stării digitale la fiecare terminal;
- parcurgerea șirului în sens descrescător și dezactivarea stării digitale la fiecare terminal;

OBSERVAȚIE: Montajul și codul program realizat în cadrul aplicației nr. 5 poate fi adaptat la orice tip de senzor analogic, care furnizează o tensiunie cu nivel variabil. De asemenea, numărul de elemente semnalizatoare poate fi modificat (pentru coloane indicatoare cu un număr mai mare de elemente).

APLICAȚIA 6

Se va implementa circuitul conform următoarei scheme (Fig. 3.26):

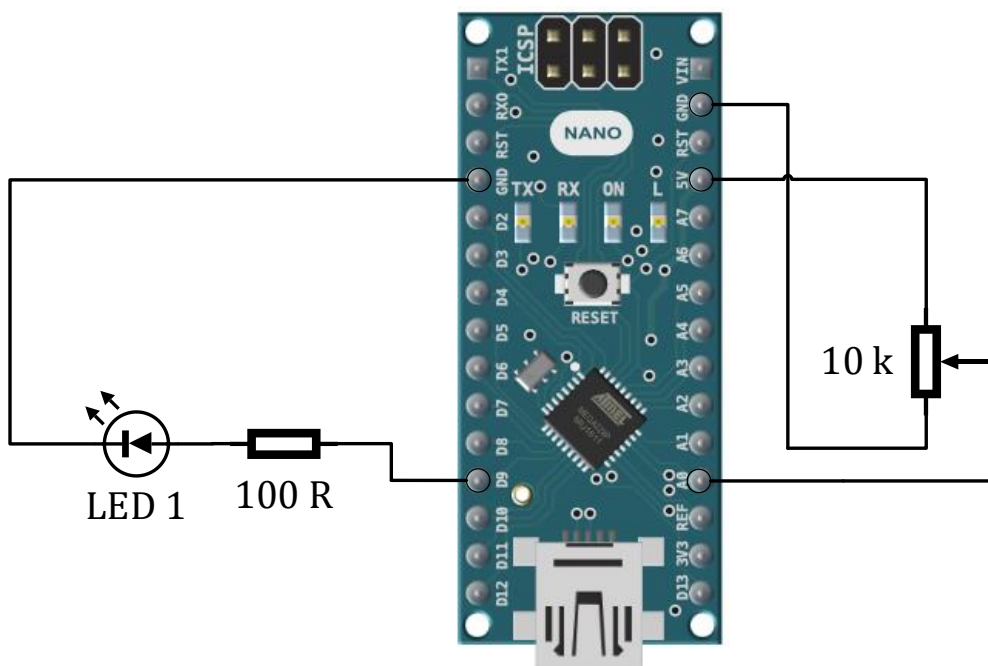


Fig. 3.26 – Schema electronică pentru implementarea circuitului specific aplicației 6 [3] [4]

Se va realiza următorul montaj experimental (Fig. 3.27):

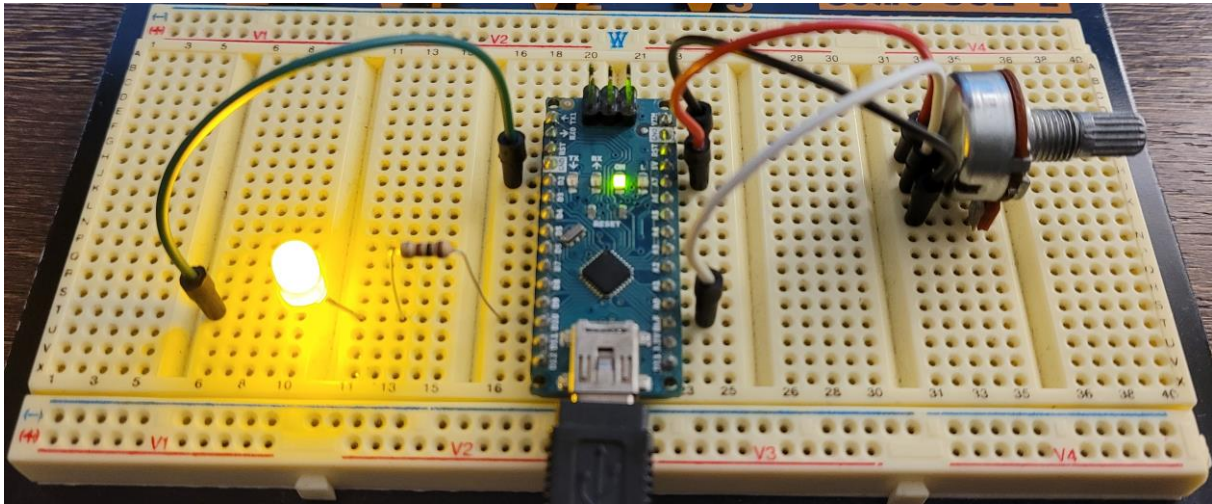


Fig. 3.27 – Montajul experimental specific aplicației 6

Se va implementa următorul cod program:

```
const int analog_pin = 0;
const int led_1 = 9;

int ADC_val = 0;
int dc_1 = 0;
float dc_1_p = 0.00;

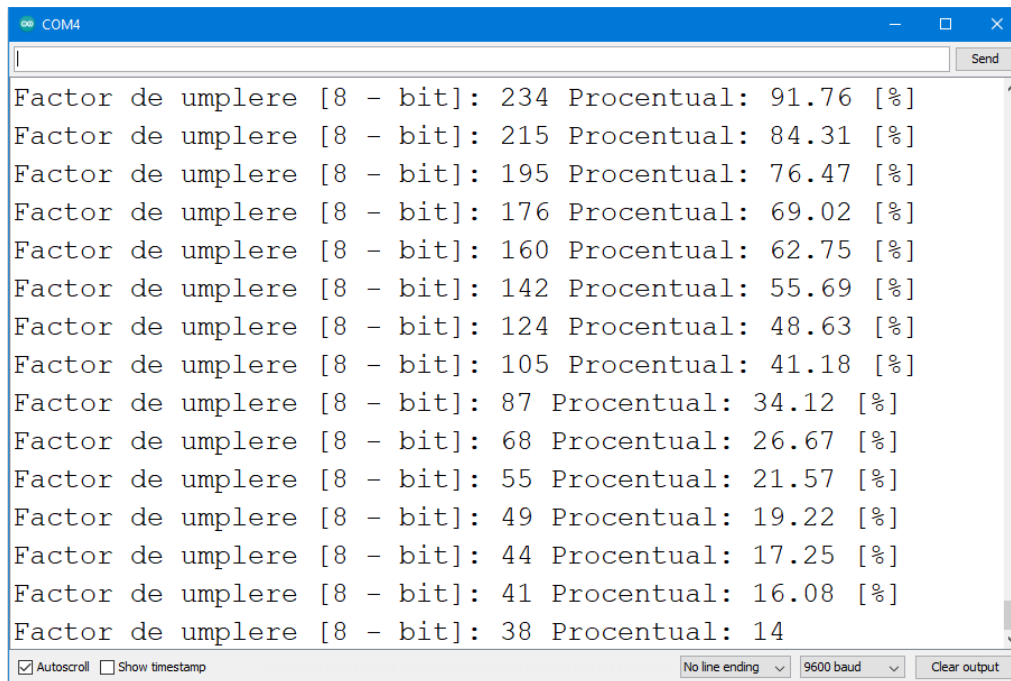
void setup() {
  pinMode(led_1, OUTPUT);
  Serial.begin(9600);
}

void loop() {
  ADC_val = analogRead(analog_pin);
  dc_1 = map(ADC_val, 0, 1023, 0, 255);
  dc_1_p = ((1.00 / 255.00) * dc_1) * 100;
  Serial.print("Factor de umplere [8 - bit]: ");
  Serial.print(dc_1);
  Serial.print(" Procentual: ");
  Serial.print(dc_1_p);
  Serial.print(" [%]");
  Serial.println("");
  analogWrite(led_1, dc_1);
}
```

Implementarea aplicației nr. 6 presupune:

- declararea unei constante de tip număr întreg „analog_pin” având ca și valoare „0”;
- declararea unei constante de tip număr întregi „led_1”;
- inițializarea unei variabile de tip număr întreg „ADC_val” cu valoarea „0”;
- inițializarea unei variabile de tip număr întreg „dc_1” cu valoarea „0”;
- inițializarea unei variabile de tip fracționar „dc_1_p” cu valoarea „0.00”;
- inițializarea terminalului digital „9” în modul de lucru „ieșire digitală”;
- inițializarea comunicației Serial la viteza de transfer 9600 [b/s]
- preluarea valorilor de la convertorul analog – digital;
- scalarea domeniului convertorului la valoarea maximă reprezentată pe 8 biți;
- afișarea atât a valorii exprimată pe 8 biți a duratei de conducție cât și procentuală;
- ajustarea factorului de umplere pentru un tren de impulsuri furnizat pe terminalul „9”;

Se va deschide consola Serial pentru a vizualiza datele furnizate de către microcontroler înspre calculator (Fig. 3.28).



The screenshot shows a serial terminal window titled 'COM4'. The output text is as follows:

```
Factor de umplere [8 - bit]: 234 Procentual: 91.76 [%]  
Factor de umplere [8 - bit]: 215 Procentual: 84.31 [%]  
Factor de umplere [8 - bit]: 195 Procentual: 76.47 [%]  
Factor de umplere [8 - bit]: 176 Procentual: 69.02 [%]  
Factor de umplere [8 - bit]: 160 Procentual: 62.75 [%]  
Factor de umplere [8 - bit]: 142 Procentual: 55.69 [%]  
Factor de umplere [8 - bit]: 124 Procentual: 48.63 [%]  
Factor de umplere [8 - bit]: 105 Procentual: 41.18 [%]  
Factor de umplere [8 - bit]: 87 Procentual: 34.12 [%]  
Factor de umplere [8 - bit]: 68 Procentual: 26.67 [%]  
Factor de umplere [8 - bit]: 55 Procentual: 21.57 [%]  
Factor de umplere [8 - bit]: 49 Procentual: 19.22 [%]  
Factor de umplere [8 - bit]: 44 Procentual: 17.25 [%]  
Factor de umplere [8 - bit]: 41 Procentual: 16.08 [%]  
Factor de umplere [8 - bit]: 38 Procentual: 14
```

At the bottom of the window, there are controls: Autoscroll, Show timestamp, a dropdown menu for 'No line ending', a dropdown menu for '9600 baud', and a 'Clear output' button.

Fig. 3.28 – Afișarea factorului de umplere sau a duratei de conducție în consola Serial

V. CONCLUZII

Procesarea semnalelor, atât de natură analogică cât și de natură digitală, poate fi realizată prin intermediul oricărei strategii de implementare a codului program la nivelul microcontrolerului ATmega 328P.

VI. BIBLIOGRAFIE

1. Atmel Corporation © 2015, Rev.: 7810D – AVR – 01 / 15 – „ATmega328P datasheet - 8-bit AVR Microcontroller with 32K Bytes In-System Programmable Flash”;
2. Atmel Corporation © 2015, Rev.: Atmel-11057C-ATARM-SAM3X-SAM3A – „SAM3X / SAM3A Series – Atmel SMART ARM-based MCU datasheet”
3. Ioana - Cornelia Gros, Lucian - Nicolae Pintilie, Teodor Crișan Pană – „SISTEME EMBEDDED ÎN INGINERIE ELECTRICĂ - GHID DE APLICAȚII”, Editura UTPRESS, Cluj-Napoca, 2020, ISBN 978-606-737-431-5
4. Arduino Store © 2021 Arduino SRL - Partita IVA 09755110963 – „Arduino Nano”
<https://store.arduino.cc/products/arduino-nano>
5. Electronics and Power electronics (EPE) Brings power and electronics together © 2017 – „Documentație pentru laboratorul de Sisteme cu Microprocesoare”
<https://epe.utcluj.ro/index.php/sisteme-cu-microprocesoare/>

Tema de studiu nr. 4 – Aplicații generale de interfațare

I. SCOPUL TEMEI

- prezentarea conceptului „aplicație de interfațare” [1] [2]
- prezentarea metodelor și procedeele pentru optimizarea unei aplicații [1] [2]
- prezentarea modului de funcționare a unui senzor ultrasonic [3]
- prezentarea modului de funcționare a unui afișaj LCD pe interfață I²C [4] [5]
- implementarea unor aplicații de interfațare [1] [2] [3] [4] [5]

II. INTRODUCERE

Conceptul de **aplicație** reprezintă orice formă de **implementare a unui circuit electronic** atât pe baza **perifericelor specializate** ale microcontrolerelor cât și pe baza altor sisteme de calcul specializate în acest sens (ex. comunicare cu calculatorul gazdă sau cu telefonul mobil) [1] [2].

Conceptul de **aplicație de interfațare**, presupune implementarea unui etaj de circuit pe baza perifericelor specializate ale unui microcontroler (ex. intrări – ieșiri digitale, intrări analogice, interfețe de comunicare). Perifericele de intrare și ieșire ale microcontrolerului pot fi atașate la elemente de circuit precum: afișaje LCD, butoane, senzori sau elemente de execuție precum motoare, rezistențe sau semnalizatoare acustice. Rolul dispozitivului rezultat în urma implementării este de a **intermedia operația de reglare** a procesul tehnologic final realizată de factorul uman. Funcția îndeplinită în acest sens se numește „interfațare” (Fig. 4.1).

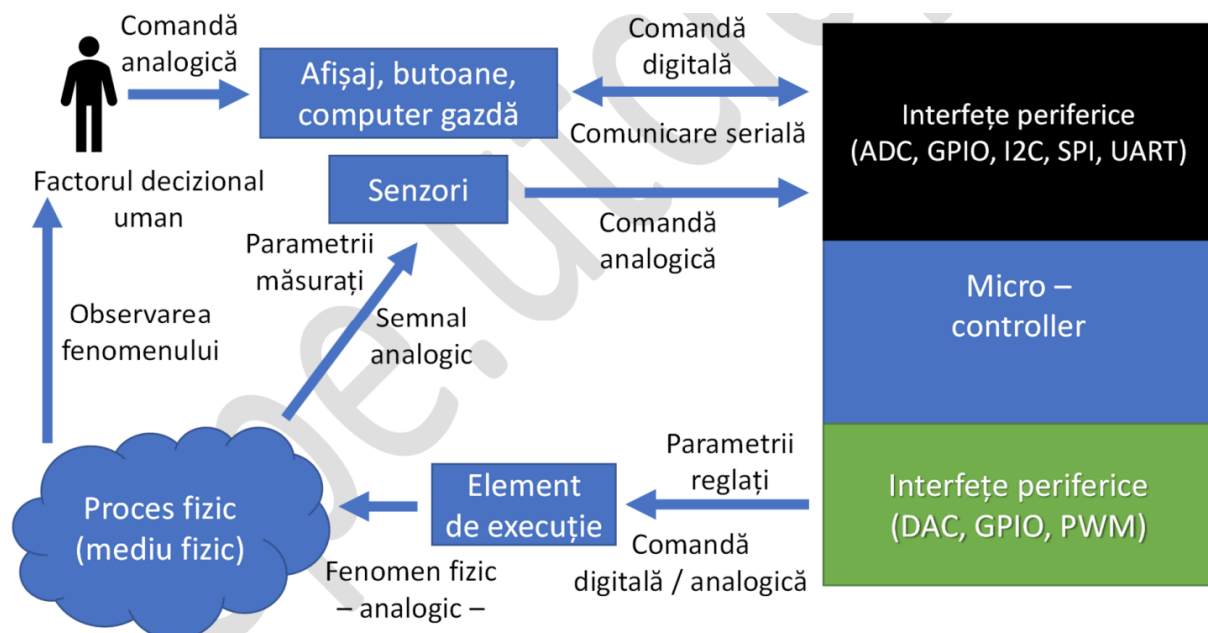


Fig. 4.1 – Funcția de interfațare [1] [2]

Există trei tipuri de aplicații [1] [2]:

- aplicații independente (cu algoritm de condiționare proprie);
- aplicații dependente de elementele de interfațare (LCD și butoane sau calculator);
- aplicații hibride (comandate de utilizator dar cu algoritm de condiționare propriu);

A. Aplicații independente

Acest mod de implementare se bazează pe programul propriu inscripționat de către producătorul echipamentului în memoria microcontrolerului, iar utilizatorul nu poate modifica modul de funcționare și nici nu poate furniza o comandă de modificare a stării în care se află dispozitivul. Interacțiunea cu sistemul de calcul se va realiza prin intermediul senzorilor (sau mai precis al perifericelor de intrare), iar semnalul rezultat va fi furnizat către un element de execuție prin intermediul perifericelor de ieșire.

În această categorie se încadrează aplicații precum: detectoare, sesizoare, elemente de semnalizare, elemente de execuție cu algoritm condițional propriu (Fig. 4.2).

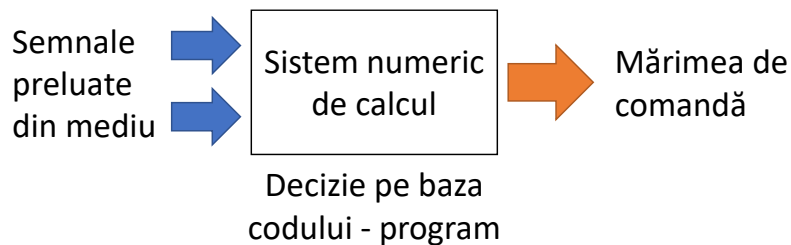


Fig. 4.2 – Aplicații independente [1] [2]

B. Aplicații dependente de elementele de interfațare

Acest mod de implementare necesită o comandă furnizată de către operator pentru a schimba modul de funcționare al aplicației. Interacțiunea dintre operator și dispozitiv sau procesul tehnologic final se va realiza prin intermediul elementelor de interfațare atașate la perifericele microcontrolerului (ex. LED atașat la ieșirea digitală pentru semnalizare, buton atașat la intrarea digitală pentru preluarea comenzilor, afișaj LCD pentru transmiterea mesajelor text de informare asupra stării de funcționare).

În această categorie se încadrează aplicații precum: dispozitivele periferice ale computerului, panouri frontale cu afișaj și butoane, echipamente de interacțiune umană cu procesul fizic (Human Interface Device – HID) (Fig. 3).

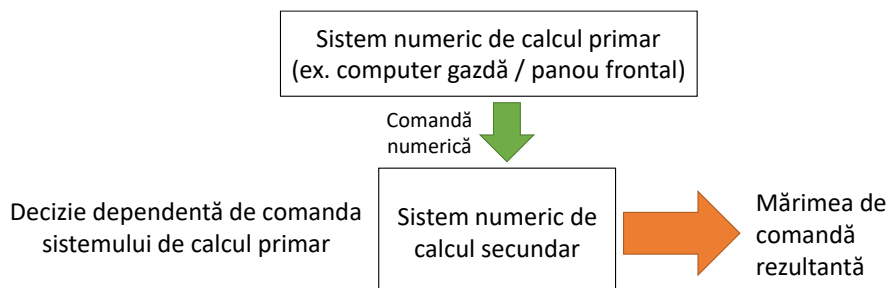


Fig. 4.3 – Aplicații dependente de elementele de interfațare [1] [2]

C. Aplicații hibride

Acest mod de implementare are la baza funcționării atât programul preimplementat de către producător în memorie microcontrolerului cât și un program pentru interacțiune cu procesul din exterior (prin intermediul unui alt sistem de calcul sau prin intermediul propriilor elemente de interfațare cu afișaj LCD și butoane). Modul de funcționare al acestui tip de aplicații poate fi influențat atât prin intermediul elementelor proprii de interfațare ale dispozitivului cât și prin intermediul unui alt sistem de calcul precum calculatorul personal sau telefonul mobil (Fig. 4.4).

Câteva exemple din această categorie pot fi dispozitivele complexe care pot fi configurate și asistate de la distanță pentru a deservi un proces fizic: termostate digitale programabile atât de la distanță cât și prin intermediul panoului frontal propriu, ventilatoarele industriale comandate de la distanță dar care au și posibilitatea ajustării în funcție de datele preluate de la senzori, imprimante multifuncționale etc.

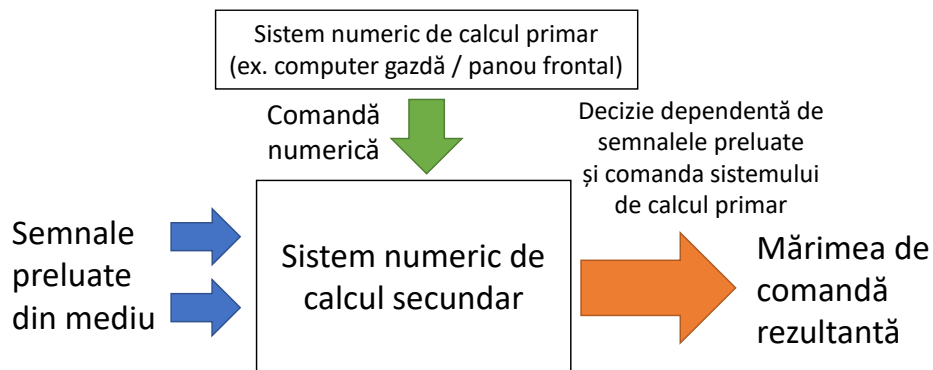


Fig. 4.4 - Aplicații hibride [1] [2]

III. ASPECTE TEORETICE

Există diverse metode și procedee utilizate în vederea îmbunătățirii modului de funcționare al aplicației concepute, precum [1] [2]:

- introducerea unui timp de întârziere (prin intermediul funcției „delay()”);
- introducerea constrângerilor simple (pentru limitarea unui interval de variație);
- introducerea unui algoritm de mediere în timp a semnalului;

A. Introducerea unui timp de întârziere

Prin intermediul funcției „delay()”, pot fi impuse **intervale de timp constante** la care să aibă loc o anumită operație impusă prin codul – program. Spre exemplu, în situația preluării temperaturii de la un senzor în cele mai multe cazuri **nu este necesară achiziția de date la frecvență mare**, deoarece variația temperaturii în timp reprezintă un proces **relativ lent**. Având în vedere modul de funcționare al convertorului analog – digital se constată că procesul de achiziție al semnalului furnizat de traductor este oarecum susceptibil la **erorile cauzate de frecvența la care se realizează achiziția de date**. Acest impediment poate fi corectat introducând un **timp de întârziere**, (Fig. 4.5) astfel va avea loc și stabilizarea termică a traductorului!

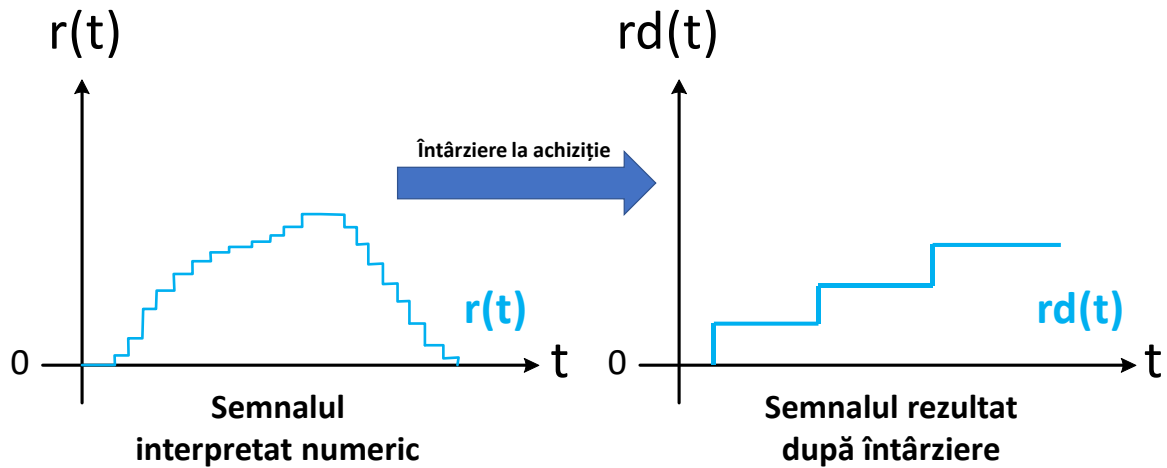


Fig. 4.5 - Aplicații hibride [1] [2]

B. Introducerea unor constrângeri

În unele cazuri este necesară **constrângerea** sau **restrângerea** intervalului de variație al unei mărimi. În vederea implementării acestui lucru, există două procedee:

- constrângerea unui semnal cu variație infinită la un interval de variație finit (mărginire);
- restrângerea sau lărgirea unui interval de variație finit (scalare);

Spre exemplu:

- constrângerea sau mărginirea se poate aplica în cazul în care se dorește limitarea variabilei care se incrementează sau decrementează în vederea reglării factorului de umplere pentru PWM cu două butoane (Fig. 4.6);
- restrângerea sau scalarea se poate aplica în cazul în care se dorește redefinirea intervalului de variație în vederea reglării factorului de umplere pentru PWM folosind rezultatul conversiei analog – digitale (Fig. 4.7);

Pentru o variabilă oarecare în intervalul [**constantă_1** **constantă_2**] se va impune o constrângere simplă prin următorul procedeu:

```

if (variabilă <= constantă_1) {
    variabilă = constantă_1;
}
if (variabilă >= constantă_2) {
    variabilă = constantă_2;
}

```

Există și metoda alternativă în cadrul Arduino IDE:

```

constrain (variabilă, constantă_1, constantă_2);

```

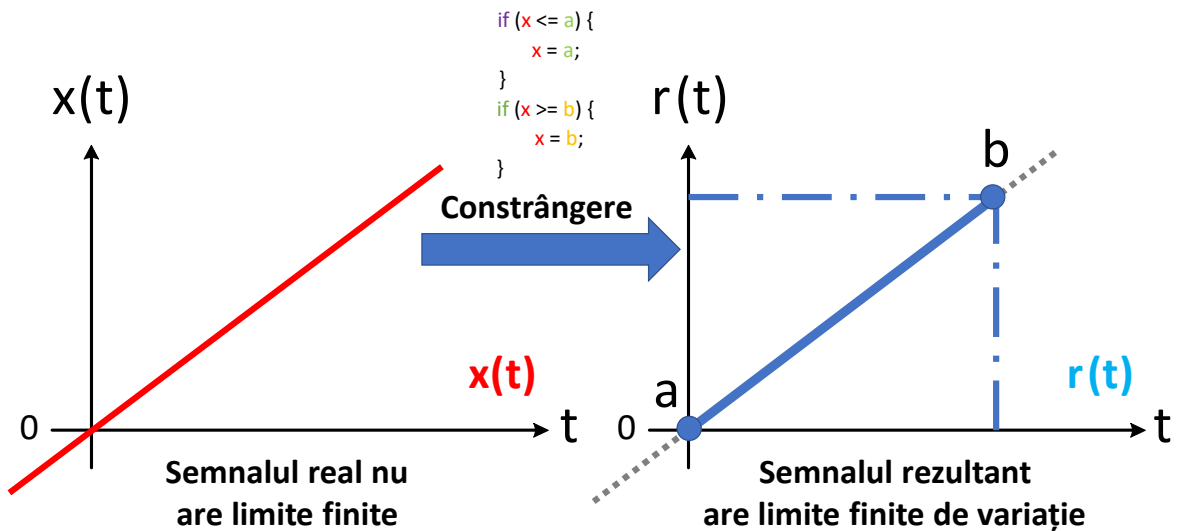



Fig. 4.6 – Constrângere sau mărginire simplă a unui interval infinit ^[1] ^[2]

Restrângerea intervalului de variație finit se va realiza prin intermediul funcției „map()” sub forma următoarei sintaxe:

```
var_2 = map(var_1, val_inf_1, val_sup_1, val_inf_2, val_sup_2);
```

Spre exemplu: fie variabila „p” cu valori în intervalul [0 1023]. Să se scrie funcția necesară pentru care, variabila „q” variază direct - proporțional cu variabila „p” în intervalul [0 255]:

```
q = map (p, 0, 1023, 0, 255);
r = map (x, a, b, c, d)
```

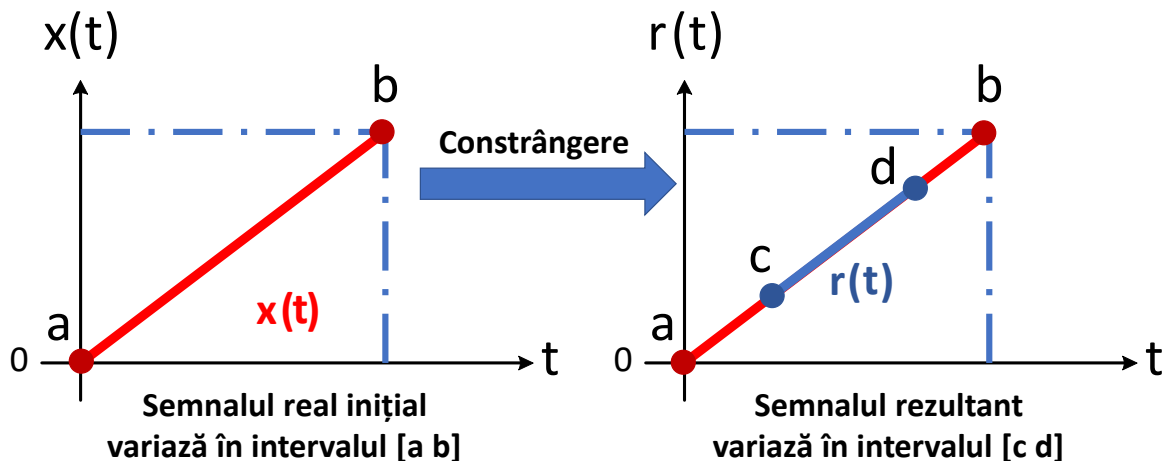


Fig. 4.7 - Restrângerea sau scalarea unui interval finit ^[1] ^[2]

C. Introducerea unui algoritm de mediere în timp a semnalului

Semnalul analogic preluat de la convertorul analog – digital este, în realitate, susceptibil zgomotelor și erorilor de achiziție. Astfel, unele valori achiziționate nu reprezintă tocmai mărimea reală; se procedează deci, la excluderea datelor ne semnificative din șirul de măsurători (Fig. 4.8). Media aritmetică reprezintă una din metodele numerice de filtrare a semnalului și poate fi exprimată sau implementată prin intermediul următoarei relații de calcul:

$$X(t) = \frac{1}{N} \cdot \sum_{i=1}^N x(t)$$

Unde „X(t)” reprezintă media aritmetică a valorii instantanee „x(t)”, „N” este numărul de eșantioane sau măsurători achiziționate, iar „i” reprezintă o variabilă – contor.

Algoritmul de mediere se implementează cu ajutorul unei structuri iterative „for”:

```
void loop {  
    int suma = 0;  
    for (int i = 1; i <= N_măsurători; i++) {  
        x = analogRead (pin_analogic);  
        suma += x;  
    }  
    X = suma / N_măsurători;  
}
```

OBSERVAȚII:

- algoritmul se implementează în bucla infinită „void loop()”;
- variabila „suma” trebuie inițializată cu valoarea zero la începutul structurii „void loop()”, pentru a realiza reinițializarea algoritmului pentru fiecare ciclu.

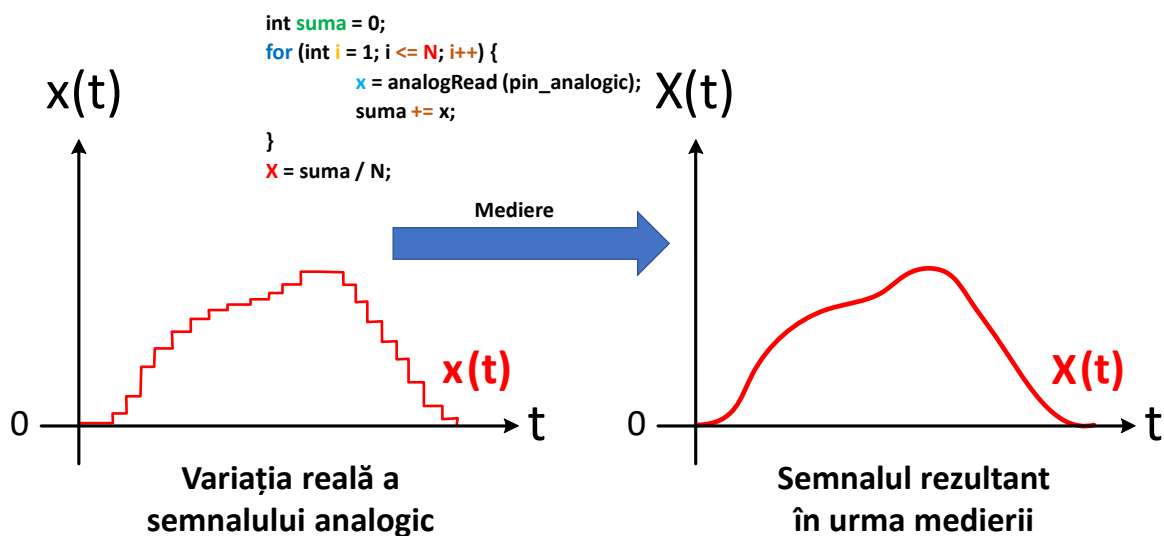


Fig. 4.8 – Media aritmetică a semnalului de măsură [1] [2]

IV. IMPLEMENTAREA APLICAȚIILOR

În vederea implementării aplicațiilor din cadrul acestei lucrări, vor fi utilizate două module specializate precum:

- traductorul de distanță HC – SR04 [3];
- modulul LCD QAPASS cu adaptor I²C M.H. [4] [5];

A. Principiul de funcționare al traductorului HC – SR04

Traductorul HC – SR04 funcționează pe baza efectului de reflexie și propagare a unei sonore. Modulul are în componență un dispozitiv transmițător („T”) de tip difuzor de înaltă frecvență pe baza efectului piezoelectric și un receptor („R”) de tip microfon de înaltă frecvență, funcționând pe baza efectului invers piezoelectric (Fig. 4.9) [3].

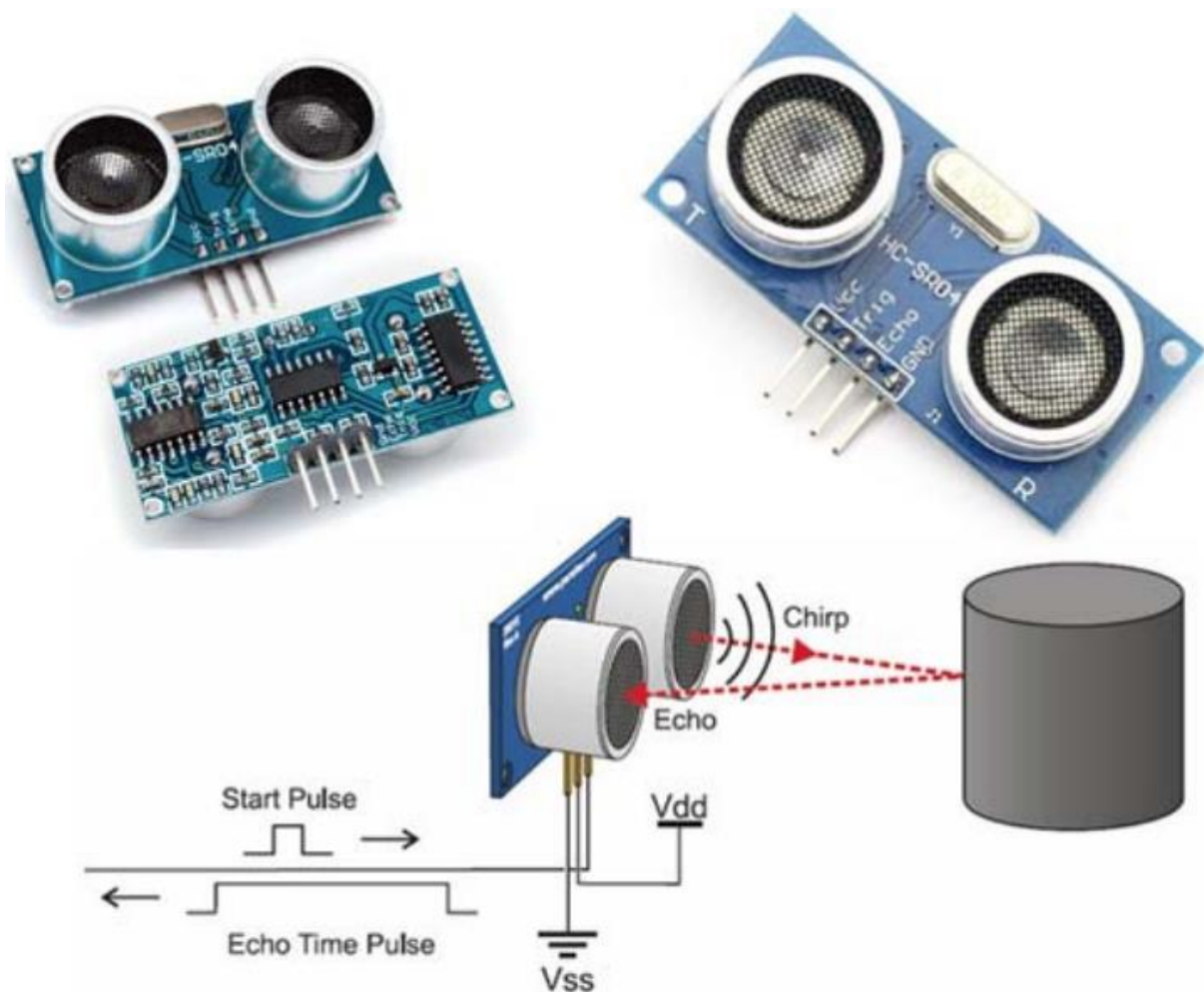


Fig. 4.9 – Traductorul HC-SR04 [3]

Frecvența unei sonore pe care o vehiculează modulul traductor este 40 [kHz]. Raza de acțiune este între 3 [cm] și 4 [m] la un unghi de incidență de 15°. Rezoluția aproximativă de măsură este de 1 [cm] / pas. Tensiunea de alimentare este 5 [V]. Semnalele furnizate la ieșirea modului sunt de natură digitală (Fig. 4.10) [3].

Pe baza frecvenței unei sonore și a vitezei sale de deplasare se poate estima distanța de la modul până la obstacolul întâmpinat în calea de propagare conform relațiilor de calcul, cunoscând constanta $v_{\text{sunet}} = 340 \text{ [m/s]}$:

$$v = \frac{d}{t} \rightarrow t = \frac{d}{v} \rightarrow d = \frac{0.034 \cdot t}{2} \text{ [cm]}$$

Microcontrolerul măsoară distanța pe baza timpul de răspuns echivalent timpului de propagare al unei sonore prin mediul de transmitere (Fig. 4.10).

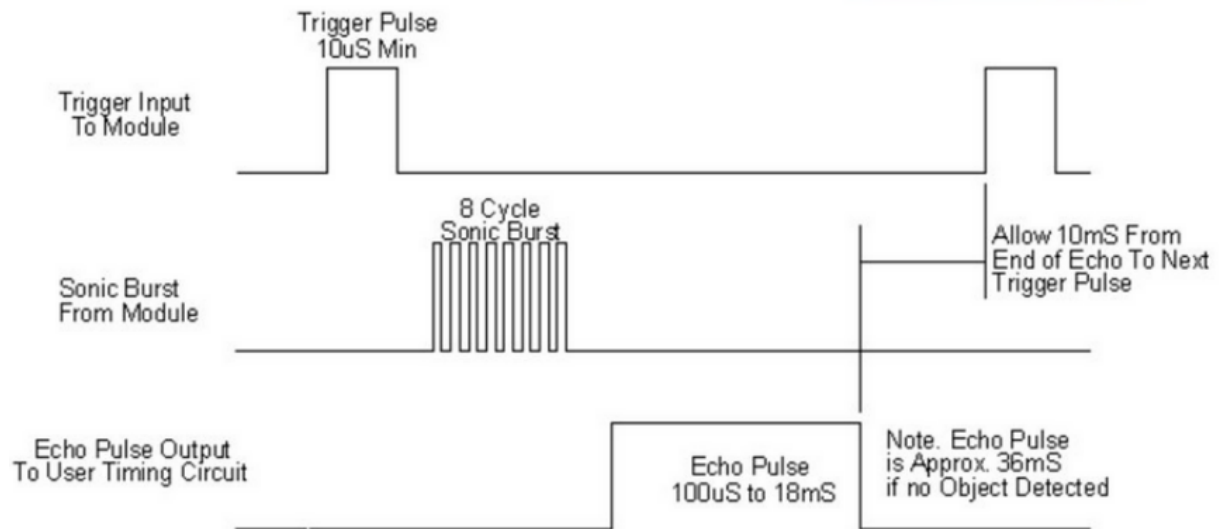


Fig. 4.10 – Semnalele vehiculate de modulul HC-SR04 [3]

B. Principiul de funcționare a modulului cu afișaj LCD

Principiul de funcționare al afișajului LCD (eng. Liquid Crystal Display) se bazează pe efectul de magnetizare al cernelii ferrofluidice (cristale lichide). În construcția afișajului se regăsește o matrice de bobine având rolul de electromagneți. Prin intermediul micro-electro-magneților cerneala ferrofluidică este dirijată printr-un sistem de vase comunicante transparente care au forma caracterelor ce pot fi afișate (Fig. 4.11) [4].

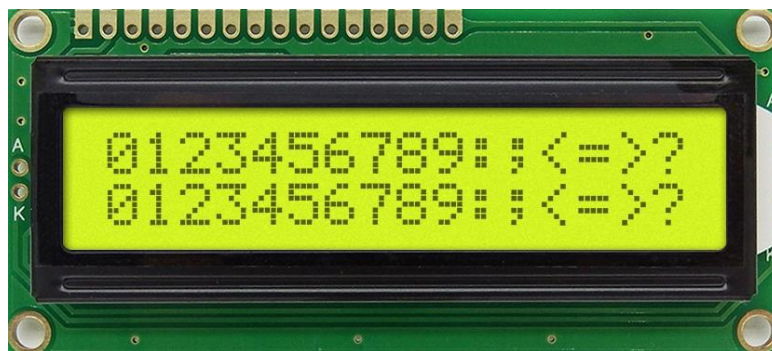


Fig. 4.11 – Afișaj LDC caracter [4]

Modulul LCD caracter utilizat în această lucrare dispune de 32 celule caracter dispuse pe două rânduri, rezultând deci o rezoluție 16 x 2. Caracterul se construiește pe baza unor matrice de puncte (celulele). Pachetul modular dispune de 16 terminale de racord (cu posibilitatea reglării luminii de fundal). Substratul constructiv de siliciu înglobează un microcontroler pentru gestionarea modului. Acceptă comenzi pe 4 sau 8 biți vehiculați în mod paralel la terminalele de date (DB0 – DB7). Pot fi transferate seturi suplimentare de caractere în memoria modului LCD [4].

Pentru a reduce numărul de terminale conectate la platforma de dezvoltare Arduino Nano, împreună cu modulul LCD se va utiliza adaptorul pentru interfață de comunicare de tip Paralel la interfață de tip I²C (eng. LCD I²C back Pack) (Fig.4.12). În acest sens, pentru conectarea modului LCD la platforma de dezvoltare Arduino Nano, se vor utiliza patru terminale, anume [5]:

- Vcc – pentru alimentare la 5 [V];
- GND – pentru conectare la potențial zero;
- SDA (eng. Serial Data) – pentru conectare la terminalul A4;
- SCL (eng. Serial Clock) – pentru conectare la terminalul A5;

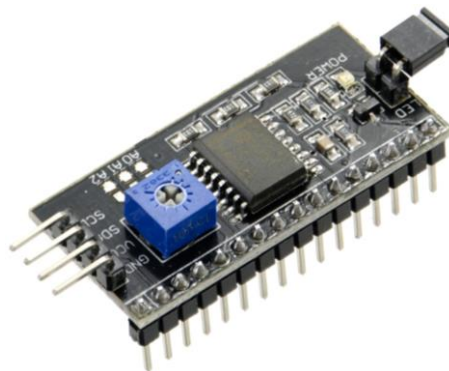


Fig. 4.12 – Adaptor I²C la paralel pentru afișaj LCD [5]

Pentru a utiliza afișajul LCD împreună cu adaptorul I²C la interfață Paralel, este necesară instalarea și includerea bibliotecii de funcții „Wire.h” pentru inițializarea comunicației pe interfața I²C și a bibliotecii de funcții „LiquidCrystal_I2C.h” [5].

Pentru a preveni efectul remanent al caracterelor de pe ecran este necesară implementarea unui algoritm pentru ștergere și actualizare a zonei de afișare. În principal, acest fenomen poate fi observat la afișarea numerelor fracționare. Odată cu afișarea unui sub-multiplu, celula din față se va popula cu un caracter „0”. Procesul de eliminare a caracterelor remanente sau a cifrelor „0” din fața fracției (ex. 005,0) poartă denumirea (în literatura de specialitate) de (eng.) Leading Zeros Clearing, spre exemplu:

```

if(media < 1000) {           // verificarea numărului de caractere
lcd.setCursor(3,1);         // plasarea cursorului de scriere la coordonate
lcd.print(" ");            // afișarea unui spațiu gol la coordonate
lcd.setCursor(0,1);        // plasarea cursorului de scriere la coordonate
lcd.print(media);          // afișarea variabilei la coordonate
}

```

Pentru a evidenția conceptele prezentate anterior, se propune deci implementarea următoarelor aplicații cu ajutorul platformei Arduino Nano:

- Controlul digital al factorului de umplere pentru un semnal modulat în lățime;
- Preluarea temperaturii de la un traductor și filtrarea zgomotelor;
- Măsurarea distanței cu ajutorul traductorului ultrasonic HC – SR04;
- Utilizarea unui afișaj de tip LCD;
- Implementarea unui termometru digital;
- Implementarea unei rigle digitale;

Se vor utiliza următoarele componente:

- placă pentru testare rapidă a circuitelor electronice (Wisher WBU-502L);
- platformă de dezvoltare Arduino NANO cu microcontroler ATmega 328;
- diode electro-luminiscente;
- butoane cu apăsare și revenire;
- rezistențe cu valoarea de 100 [Ω];
- rezistențe cu valoarea de 10 [kΩ];
- senzor de temperatura LM-35;
- traductor de distanță pe bază de efect ultrasonic HC-SR04;
- modulul pentru afișare LCD QAPASS cu adaptor I²C la Paralel M.H.;
- fire pentru conexiune rapidă compatibile cu placa de testare;
- calculator gazdă având mediul Arduino IDE instalat;
- cablu adaptor USB A la mini USB;

APLICAȚIA 1

Se va implementa circuitul conform următoarei scheme (Fig. 4.13):

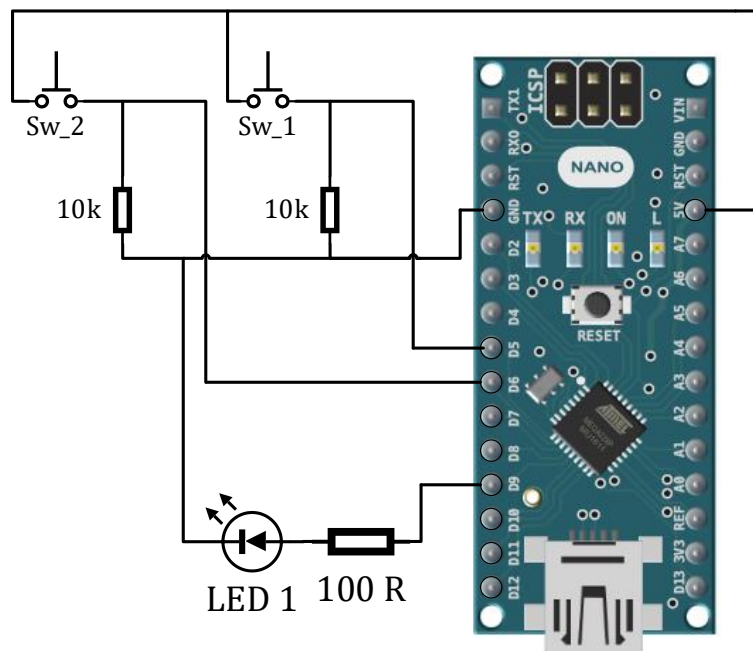


Fig. 4.13 – Schema electronică pentru implementarea circuitului specific aplicației 1

Se va implementa următorul cod program:

```
const int pin_sw_1 = 5;
const int pin_sw_2 = 6;
const int pin_led = 9;

int sw_1_state = 0;
int sw_2_state = 0;
int dc = 0;

void setup() {
  pinMode(pin_sw_1, INPUT);
  pinMode(pin_sw_2, INPUT);
  pinMode(pin_led, OUTPUT);
  Serial.begin(9600);
}

void loop() {
  sw_1_state = digitalRead(pin_sw_1);
  sw_2_state = digitalRead(pin_sw_2);

  if(sw_1_state == 1) {
    dc++;
    if (dc >= 255) {
      dc = 255;
    }
  }

  if(sw_2_state == 1) {
    dc--;
    if (dc <= 0) {
      dc = 0;
    }
  }
  Serial.print("Factor de umplere: ");
  Serial.print(dc);
  Serial.println("");
  analogWrite(pin_led, dc);
  delay(10);
}
```

Montajul experimental se va realiza conform (Fig. 4.14):

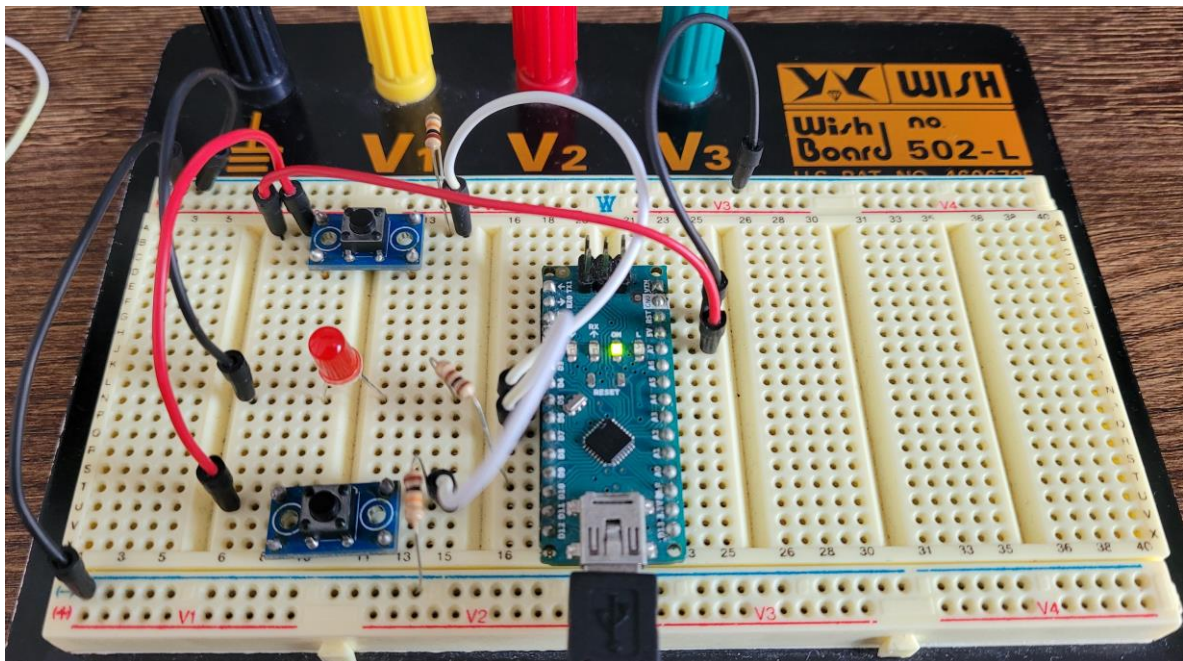


Fig. 4.14 – Montaj experimental pentru aplicația 1

Implementarea aplicației nr. 1 presupune:

- declararea a trei constante globale, în vederea stabilirii numerelor de ordine ale terminalelor corespondente atât butoanelor cu apăsare și revenire cât și diodei (LED);
- stabilirea modului de lucru „intrare digitală” pentru terminalele butoanelor;
- stabilirea modului de lucru „ieșire digitală” pentru terminalul diodei (LED);
- preluarea stărilor logice ale terminalelor alese pentru atașarea butoanelor cu apăsare și revenire prin intermediul instrucțiunii „digitalRead ()”;
- incrementarea sau decrementarea factorului de umplere „dc” la menținerea apăsată sau apăsarea repetată a butoanelor;
- impunerea unor constrângeri simple;
- afișarea în consola Serial a valorii factorului de umplere (Fig. 4.15 / 4.16);
- generarea unui semnal modulat în lățime prin intermediul funcției „analogWrite()”;

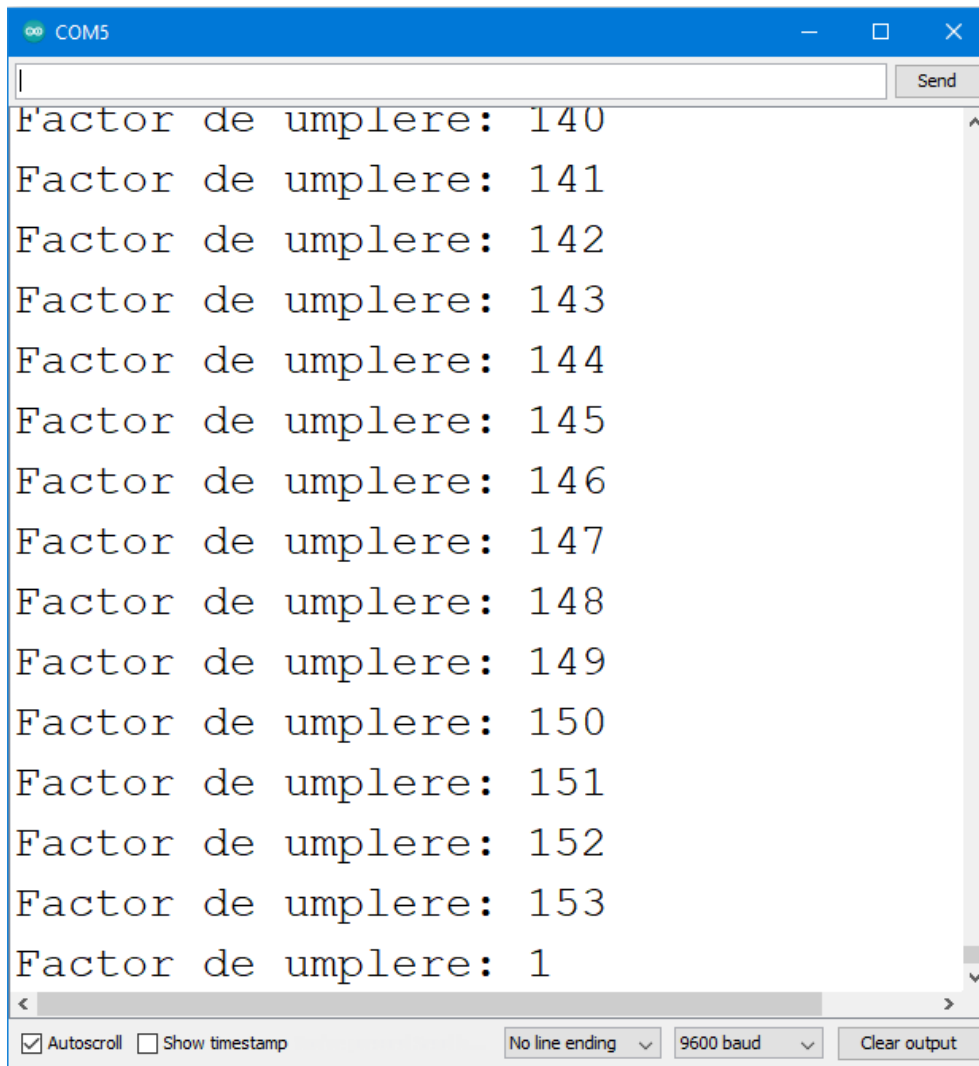


Fig. 4.15 – Afișarea valorii zecimale a factorului de umplere în consola Serial

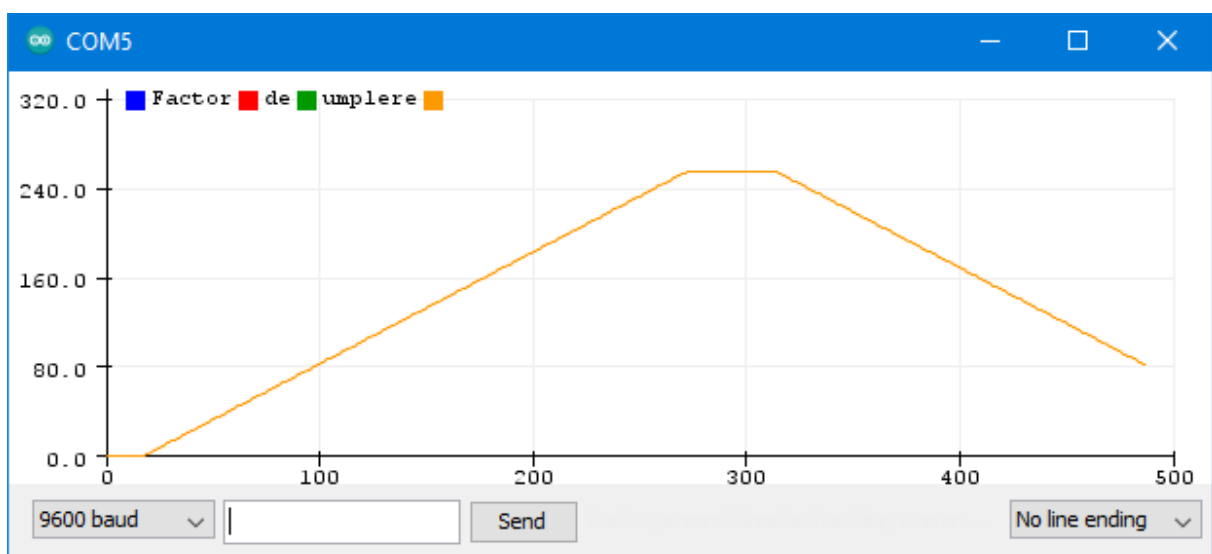


Fig. 4.16 – Afișarea valorii zecimale a factorului de umplere în consola grafică

APLICAȚIA 2

Se va implementa circuitul conform următoarei scheme (Fig. 4.17):

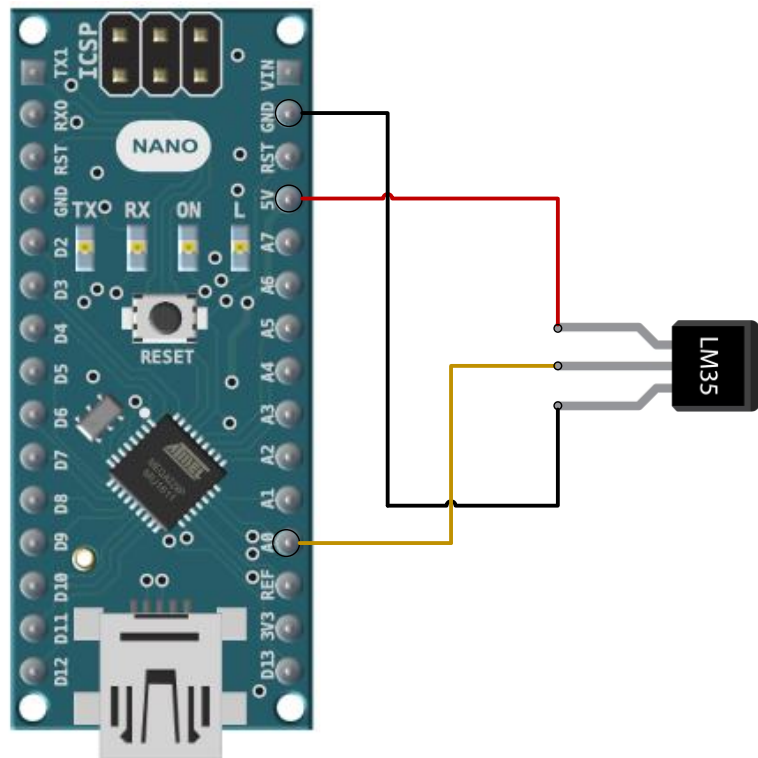


Fig. 4.17 – Schema electronică pentru implementarea circuitului specific aplicației 2

Se va realiza următorul montaj experimental (Fig. 4.18):

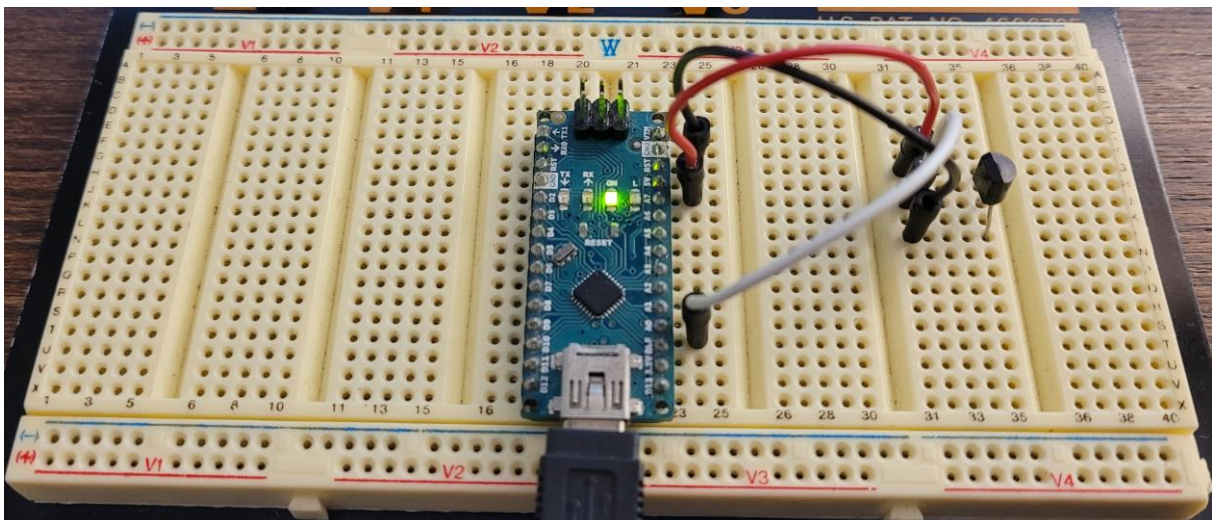


Fig. 4.18 – Montajul experimental specific aplicației 2

Se va implementa următorul cod program:

```
const int analog_pin = 0;
int ADC_val = 0;
int N = 500;
float U = 0.00;
float temp = 0.00;
float media = 0.00;

void setup() {
  Serial.begin(9600);
}

void loop() {
  float suma = 0.00;
  for (int i = 1; i <= N; i++) {
    ADC_val = analogRead(analog_pin);
    U = (4.80 / 1023.00) * ADC_val;
    temp = 100.00 * U;
    suma += temp;
  }
  media = suma / N;
  Serial.print("Temperatura: ");
  Serial.print(media);
  Serial.print(" [*C]");
  Serial.println("");
  delay(250);
}
```

Implementarea aplicației nr. 2 presupune:

- declararea unei constante de tip număr întreg „analog_pin” având ca și valoare „0”;
- inițializarea unei variabile de tip număr întreg „ADC_val” cu valoarea „0”;
- inițializarea unei variabile de tip număr întreg „N” cu valoarea „0”;
- inițializarea unei variabile de tip fracționar „U” cu valoarea „0.00”;
- inițializarea unei variabile de tip fracționar „temp” cu valoarea „0.00”;
- inițializarea unei variabile de tip fracționar „media” cu valoarea „0.00”;
- inițializarea comunicației Serial la viteza de transfer 9600 [b/s];
- inițializarea unei variabile locale cu denumirea „suma”;
- preluarea valorii zecimale rezultante în urma procesului de conversie analog – digital;
- determinarea tensiunii de măsură pe baza preciziei convertorului analog – digital;
- determinarea temperaturii pe baza tensiunii de măsură și a constantei de calibrare;
- însumarea a 500 de valori prin intermediul structurii iterative de tip „for ()”;
- determinarea mediei aritmetice prin intermediul raportului dintre suma tuturor valorilor înregistrate în variabila „suma” și numărul de iterații „N”;
- afișarea valorii medii a temperaturii în consola grafică;

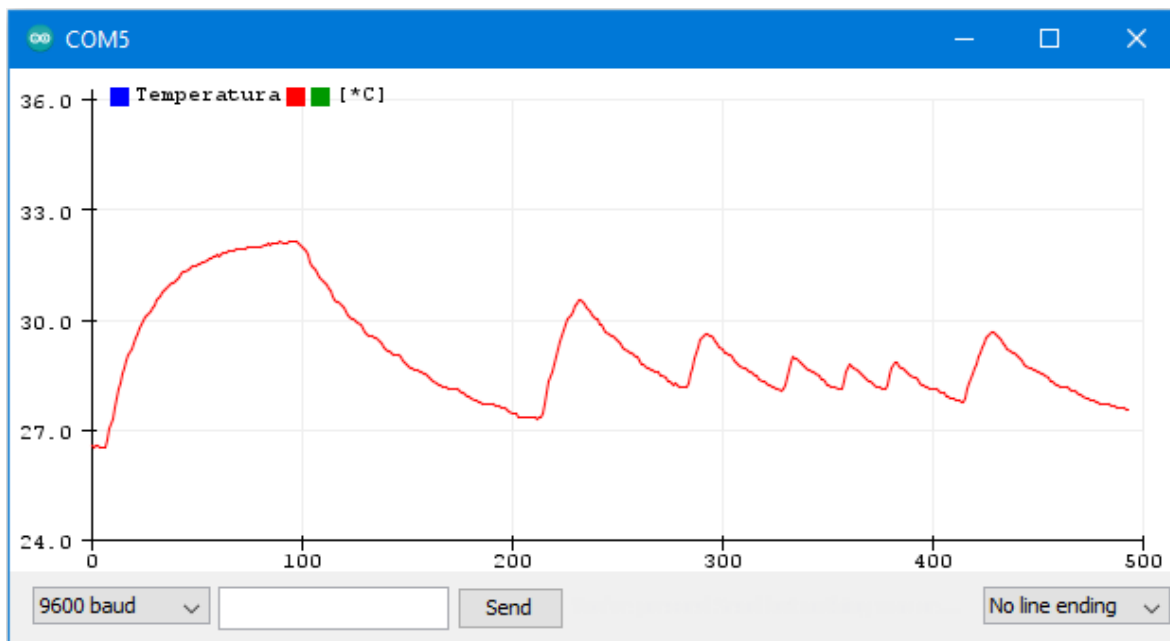


Fig. 4.19 – Afișarea valorilor medii ale temperaturii în consola grafică

APLICAȚIA 3

Se va implementa circuitul conform următoarei scheme (Fig. 4.20):

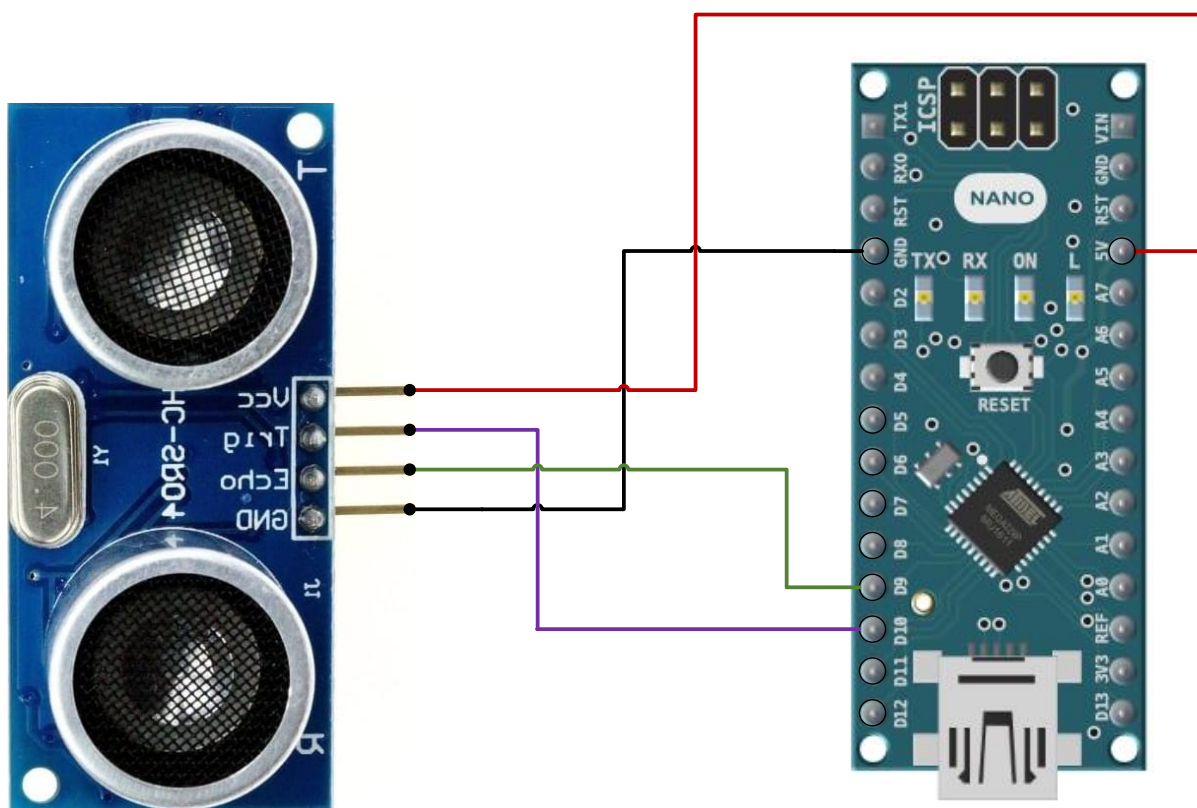


Fig. 4.20 – Schema electronică pentru implementarea circuitului specific aplicației 3

Se va realiza următorul montaj experimental (Fig. 4.21):

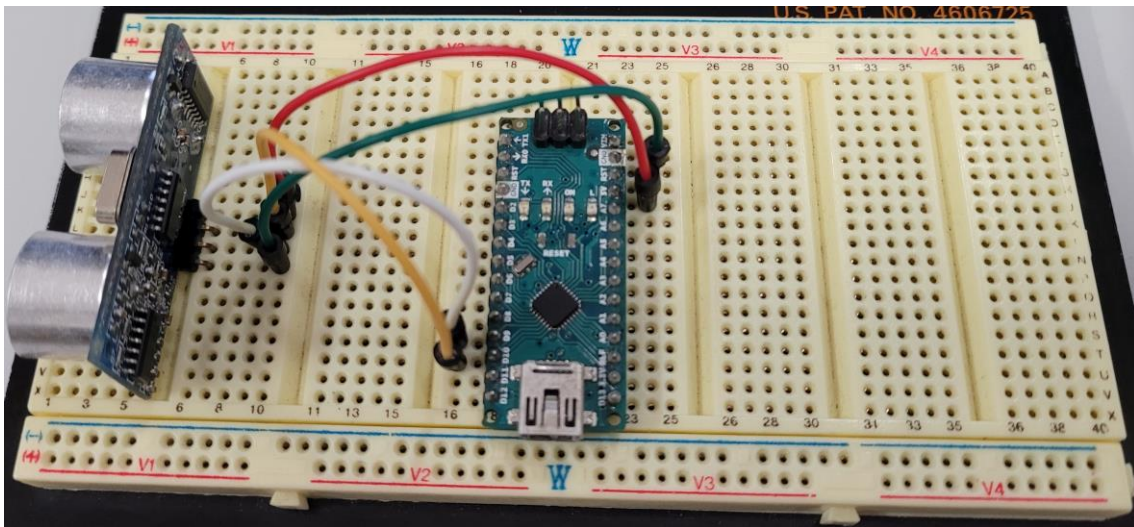


Fig. 4.21 - Montajul experimental specific aplicației 3

Se va implementa următorul cod program:

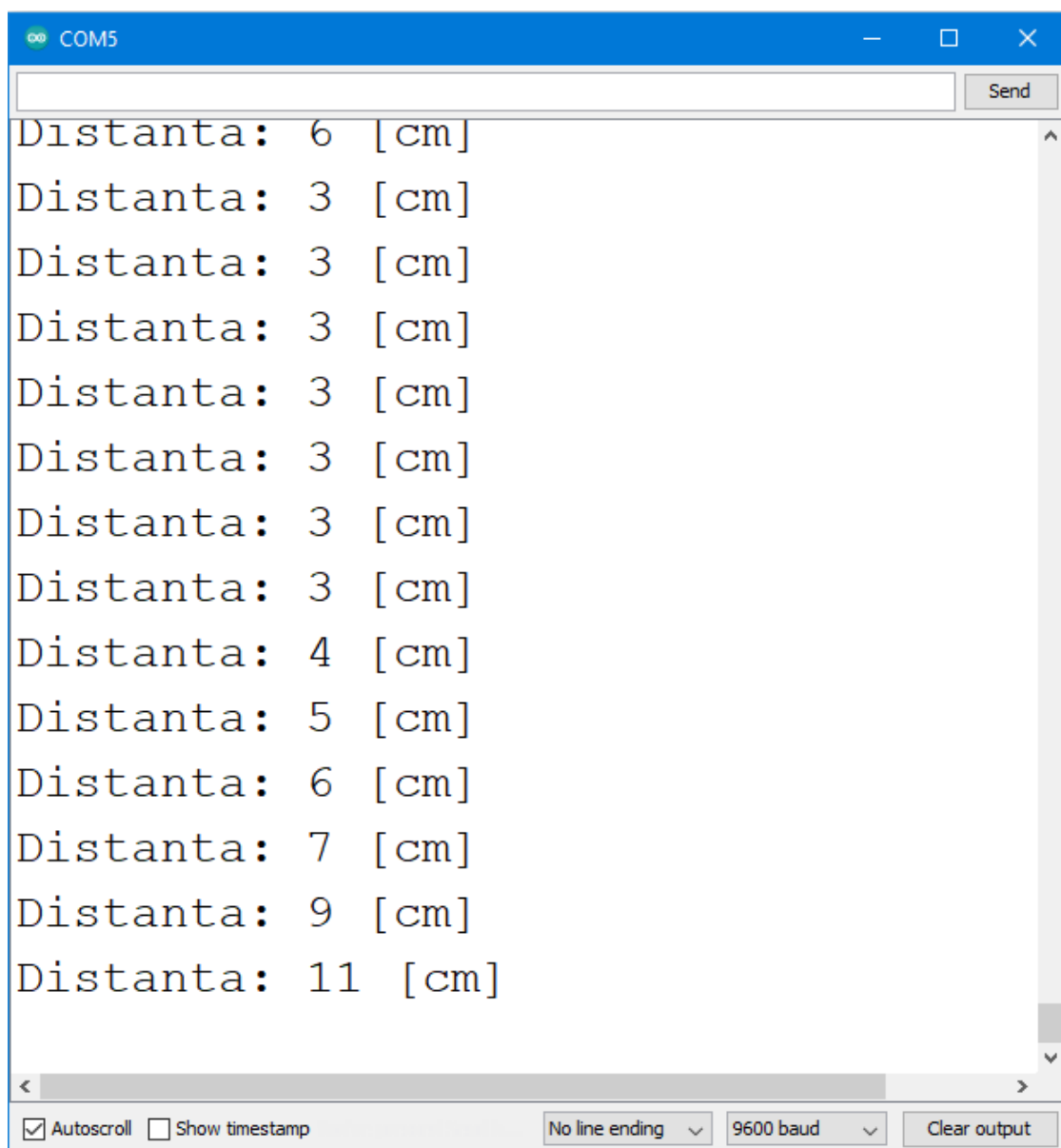
```
const int echo = 9;
const int trigger = 10;
long t = 0.0;
long d = 0.0;

void setup() {
  pinMode(trigger, OUTPUT);
  pinMode(echo, INPUT);
  Serial.begin(9600);
}

void loop() {
  digitalWrite(trigger, LOW);
  delayMicroseconds(2);
  digitalWrite(trigger, HIGH);
  delayMicroseconds(10);
  digitalWrite(trigger, LOW);
  t = pulseIn(echo, HIGH);
  d = t * 0.034 / 2.0;
  Serial.print("Distanța: ");
  Serial.print(d);
  Serial.print(" [cm]");
  Serial.println("");
  delay(100);
}
```

Implementarea aplicației nr. 3 presupune:

- declararea unei constante de tip număr întreg „echo” având ca și valoare „9”;
- declararea unei constante de tip număr întreg „trigger” având ca și valoare „10”;
- inițializarea unei variabile de tip număr întreg „t” cu valoarea „0”;
- inițializarea unei variabile de tip număr întreg „d” cu valoarea „0”;
- stabilirea modului de lucru „ieșire digitală” pentru terminalul „9”;
- stabilirea modului de lucru „intrare digitală” pentru terminalul „10”;
- inițializarea comunicației Serial;
- generarea unei secvențe de semnalizare acustică la o frecvență de 40 [kHz];
- determinarea timpului de propagare a unei sonore cu ajutorul funcției „pulseIn ()”;
- determinarea distanței pe baza formulei de calcul a vitezei de propagare a unei sonore;
- afișarea în consola Serial a rezultatului măsurării (Fig. 4.22);



The image shows a screenshot of a Serial Monitor window titled "COM5". The window displays a list of distance measurements in centimeters, each on a new line. The measurements are: 6 [cm], 3 [cm], 3 [cm], 3 [cm], 3 [cm], 3 [cm], 3 [cm], 3 [cm], 3 [cm], 4 [cm], 5 [cm], 6 [cm], 7 [cm], 9 [cm], and 11 [cm]. The window has a "Send" button at the top right and a "Clear output" button at the bottom right. The bottom status bar shows "Autoscroll" checked, "Show timestamp" unchecked, "No line ending" selected, and "9600 baud" selected.

```
COM5  
Distanta: 6 [cm]  
Distanta: 3 [cm]  
Distanta: 3 [cm]  
Distanta: 3 [cm]  
Distanta: 3 [cm]  
Distanta: 3 [cm]  
Distanta: 3 [cm]  
Distanta: 3 [cm]  
Distanta: 3 [cm]  
Distanta: 4 [cm]  
Distanta: 5 [cm]  
Distanta: 6 [cm]  
Distanta: 7 [cm]  
Distanta: 9 [cm]  
Distanta: 11 [cm]
```

Fig. 4.22 – Afișarea în consola Serial a rezultatului de măsurare a distanței

APLICAȚIA 4

Se va implementa circuitul conform următoarei scheme (Fig. 4.23):

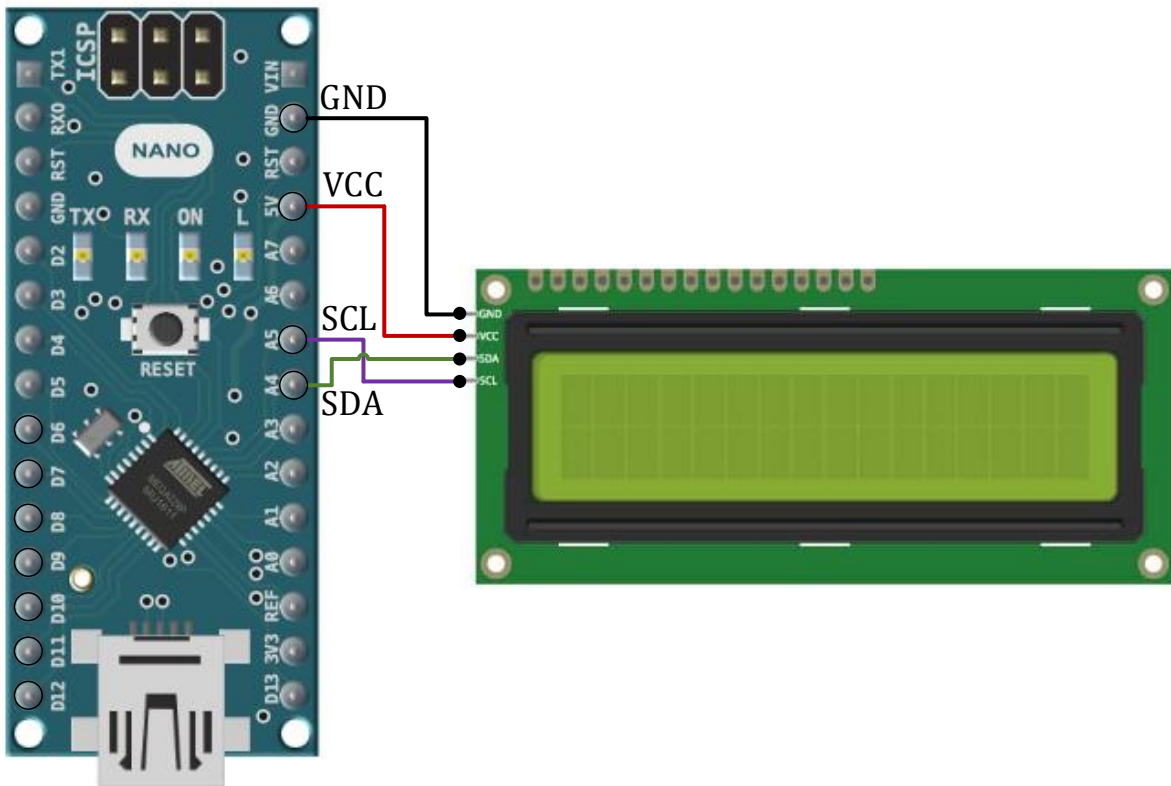


Fig. 4.23 - Schema electronică pentru implementarea circuitului specific aplicației 4

Se va realiza următorul montaj experimental (Fig. 4.24):

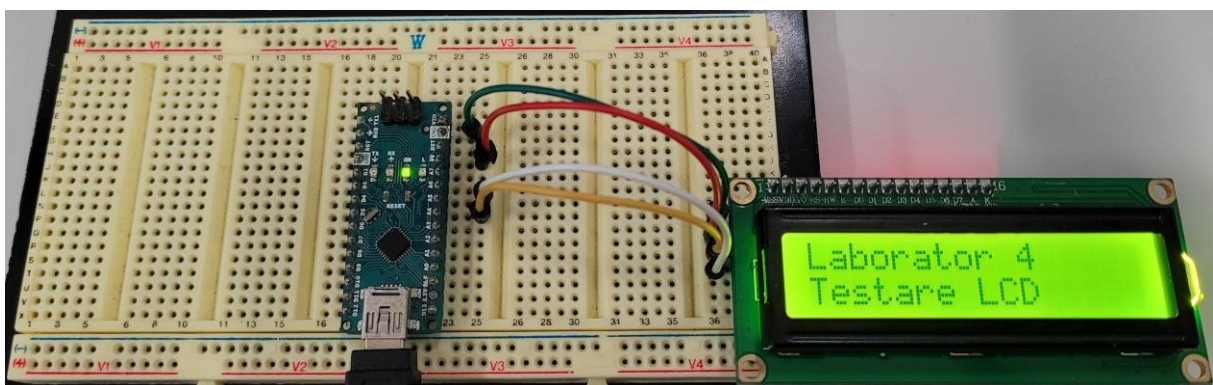


Fig. 4.24 - Montajul experimental specific aplicației 4

Se va implementa următorul cod program:

```
#include <Wire.h>
#include <LiquidCrystal_I2C.h>
LiquidCrystal_I2C lcd(0x27, 2, 1, 0, 4, 5, 6, 7, 3, POSITIVE);

void setup() {
  lcd.begin(16,2);
  for(int i = 0; i< 3; i++)
  {
    lcd.backlight();
    delay(250);
    lcd.noBacklight();
    delay(250);
  }
  lcd.backlight();
}

void loop() {
  lcd.setCursor(0,0);
  lcd.print("Laborator 4");
  lcd.setCursor(0,1);
  lcd.print("Testare LCD");
}
```

Implementarea aplicației nr. 4 presupune:

- inițializarea bibliotecii de funcții „Wire.h” pentru comunicația I²C;
- inițializarea bibliotecii de funcții „LiquidCrystal_I2C.h”;
- inițializarea parametrilor aferenți obiectului „lcd” (ex. adresa I²C și terminale);
- inițializarea rezoluției afișajului prin intermediul funcției „lcd.begin ()”;
- inițializarea luminiței de fundal a ecranului printr-o secvență de licărire;
- menținerea permanent aprinsă a luminiței prin intermediul funcției „lcd.backlight ()”;
- plasarea cursorului de scriere cu ajutorul funcției „lcd.setCursor ()”;
- afișarea unui mesaj pe ecran cu ajutorul funcției „lcd.print ()”;

OBSERVAȚII:

1. Adresa dispozitivului adaptor al ecranului atașat pe interfața I²C (în cazul de față) este „0x27”. Aceasta se poate determina pe baza datelor de catalog sau prin intermediul codului program „i2c_scanner” regăsit în spațiul public al domeniului „arduino.cc”. Cele mai uzuale adrese ale dispozitivelor adaptoare sunt „0x27” și „0x3F”.

2. Funcția „lcd.setCursor” are ca și argumente lcd.setCursor(<celulă>, <rând>);

Se va implementa următorul cod program:

```
#include <Wire.h>
#include <LiquidCrystal_I2C.h>
LiquidCrystal_I2C lcd(0x27, 2, 1, 0, 4, 5, 6, 7, 3, POSITIVE);
const int analog_pin = 0;
int ADC_val = 0;
int N = 500;
float U = 0.00;
float temp = 0.00;
float media = 0.00;

void setup() {
  lcd.begin(16,2);
  for(int i = 0; i < 3; i++) {
    lcd.backlight();
    delay(250);
    lcd.noBacklight();
    delay(250);
  }
  lcd.backlight();
  lcd.setCursor(0,0);
  lcd.print("Temperatura [*C]: ");
}

void loop() {
  float suma = 0.00;

  for (int i = 1; i <= N; i++) {
    ADC_val = analogRead(analog_pin);
    U = (4.78 / 1023.00) * ADC_val;
    temp = 100.00 * U;
    suma += temp;
  }

  media = suma / N;

  lcd.setCursor(0,1);

  if(media < 1000) {
    lcd.setCursor(3,1);
    lcd.print(" ");
    lcd.setCursor(0,1);
    lcd.print(media);
  }
}
```

```

if(media < 100) {
    lcd.setCursor(2,1);
    lcd.print(" ");
    lcd.setCursor(0,1);
    lcd.print(media);
}
if(media < 10) {
    lcd.setCursor(1,1);
    lcd.print(" ");
    lcd.setCursor(0,1);
    lcd.print(media);
}
delay(500);
}

```

Implementarea aplicației nr. 5 presupune:

- inițializarea bibliotecii de funcții „Wire.h” pentru comunicația I²C;
- inițializarea bibliotecii de funcții „LiquidCrystal_I2C.h”;
- inițializarea parametrilor aferenți obiectului „lcd” (ex. adresa I²C și terminale);
- inițializarea unui terminal analogic „A0”;
- inițializarea variabilelor pentru determinarea conținutului registrului convertorului analog – digital, a tensiunii de măsură și a temperaturii medii;
- inițializarea rezoluției afișajului prin intermediul funcției „lcd.begin ()”;
- inițializarea luminiței de fundal a ecranului printr-o secvență de licărire;
- afișarea mesajului inițial „Temperatura [*C]: ” pe primul rând la începutul ecranului;
- menținerea permanent aprinsă a luminiței prin intermediul funcției „lcd.backlight ()”;
- determinarea temperaturii medii pe baza datelor furnizate de către traductorul LM-35 conectat la o intrare analogică a convertorului analog – digital (similar aplicației 2);
- plasarea cursorului de scriere cu ajutorul funcției „lcd.setCursor ()”;
- afișarea unui mesaj și a valorii măsurate pe ecran cu ajutorul funcției „lcd.print ()”;
- actualizarea valorilor numerice prin intermediul algoritmului „Leading Zeros Clearing”;

APLICAȚIA 6

Se va implementa circuitul conform următoarei scheme (Fig. 4.27):

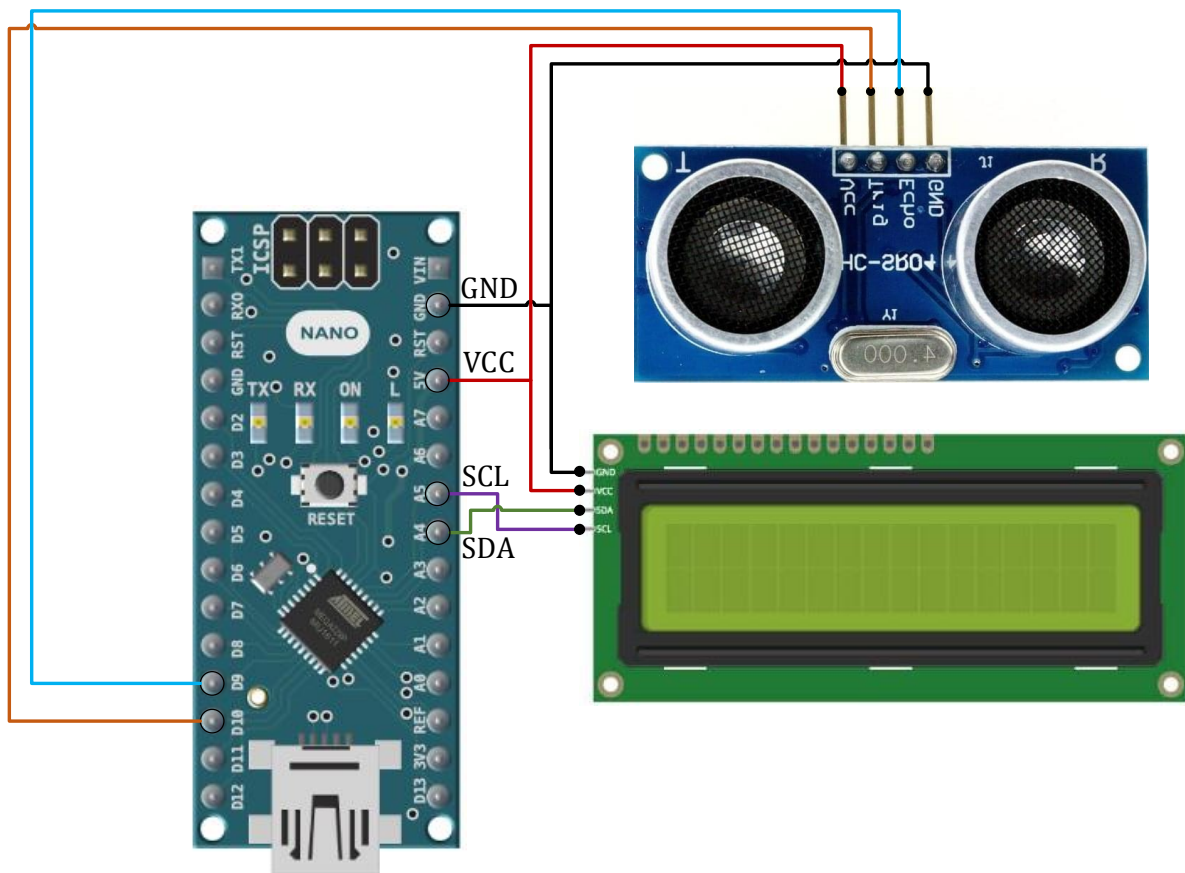


Fig. 4.27 – Schema electronică pentru implementarea circuitului specific aplicației 6

Se va realiza următorul montaj experimental (Fig. 4.28):

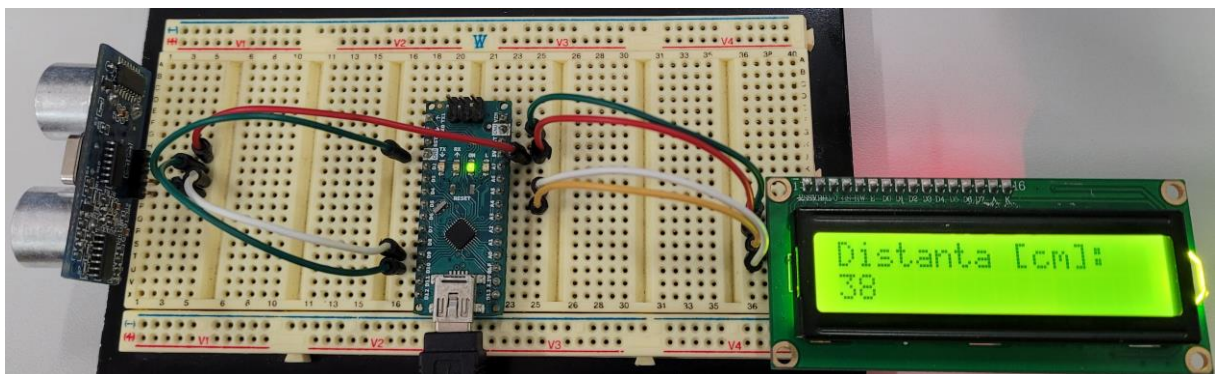


Fig. 4.28 – Montajul experimental specific aplicației 6

Se va implementa următorul cod program:

```
#include <Wire.h>
#include <LiquidCrystal_I2C.h>
LiquidCrystal_I2C lcd(0x27, 2, 1, 0, 4, 5, 6, 7, 3, POSITIVE);

const int echo = 9;
const int trigger = 10;
long t = 0.0;
long d = 0.0;

void setup() {
  pinMode(trigger, OUTPUT);
  pinMode(echo, INPUT);
  lcd.begin(16,2);
  for(int i = 0; i < 3; i++)
  {
    lcd.backlight();
    delay(250);
    lcd.noBacklight();
    delay(250);
  }
  lcd.backlight();
  lcd.setCursor(0,0);
  lcd.print("Distanța [cm]: ");
}

void loop() {
  digitalWrite(trigger, LOW);
  delayMicroseconds(2);
  digitalWrite(trigger, HIGH);
  delayMicroseconds(10);
  digitalWrite(trigger, LOW);

  t = pulseIn(echo, HIGH);
  d = t * 0.034 / 2.0;

  lcd.setCursor(0,1);

  if(d < 1000) {
    lcd.setCursor(3,1);
    lcd.print(" ");
    lcd.setCursor(0,1);
    lcd.print(d);
  }
}
```

```

if(d < 100) {
    lcd.setCursor(2,1);
    lcd.print(" ");
    lcd.setCursor(0,1);
    lcd.print(d);
}
if(d < 10) {
    lcd.setCursor(1,1);
    lcd.print(" ");
    lcd.setCursor(0,1);
    lcd.print(d);
}
delay(500);
}

```

Implementarea aplicației nr. 6 presupune:

- inițializarea bibliotecii de funcții „Wire.h” pentru comunicația I²C;
- inițializarea bibliotecii de funcții „LiquidCrystal_I2C.h”;
- inițializarea parametrilor aferenți obiectului „lcd” (ex. adresa I²C și terminale);
- inițializarea unui terminalului „D10” ca și ieșire digitală;
- inițializarea unui terminalului „D9” ca și intrare digitală;
- inițializarea variabilelor pentru determinarea duratei de propagare și a distanței;
- inițializarea rezoluției afișajului prin intermediul funcției „lcd.begin ()”;
- inițializarea luminiței de fundal a ecranului printr-o secvență de licărire;
- afișarea mesajului inițial „Distanța [cm]: ” pe primul rând la începutul ecranului;
- menținerea permanent aprinsă a luminiței prin intermediul funcției „lcd.backlight ()”;
- determinarea distanței pe baza traductorului HC – SR04 (similar aplicației 3);
- plasarea cursorului de scriere cu ajutorul funcției „lcd.setCursor ()”;
- afișarea unui mesaj și a valorii măsurate pe ecran cu ajutorul funcției „lcd.print ()”;
- actualizarea valorilor numerice prin intermediul algoritmului „Leading Zeros Clearing”;

V. CONCLUZII

Aplicațiile implementate pe baza microcontrolerelor pot funcționa în mod independent de calculator dacă există mijloace periferice de intrare sau ieșire atașate la terminalele microcontrolerului care pot înlocui rolul calculatorului gazdă.

Funcționarea în mod independent de calculatorul gazdă al aplicației finale presupune aplicarea unor algoritmi de optimizare atât al modului de funcționare cât și al modului de execuție specific codului program.

VI. BIBLIOGRAFIE

1. Ioana - Cornelia Gros, Lucian - Nicolae Pintilie, Teodor Crișan Pană – „SISTEME EMBEDDED ÎN INGINERIE ELECTRICĂ - GHID DE APLICAȚII”, Editura UTPRESS, Cluj-Napoca, 2020, ISBN 978-606-737-431-5
2. Electronics and Power electronics (EPE) Brings power and electronics together © 2017 – „Documentație pentru laboratorul de Sisteme cu Microprocesoare”
<https://epe.utcluj.ro/index.php/sisteme-cu-microprocesoare/>
3. Handson Technology – „HC-SR04 Ultrasonic Sensor Module User Guide” - Ultrasonic Sensor V2.0, SKU: MDU-1014 - www.handsontec.com
<https://www.handsontec.com/dataspecs/HC-SR04-Ultrasonic.pdf>
4. Shenzhen Eone Electronics CO. LTD. – „Specification for LCD module 1602A-1 V1.2”
<https://www.openhacks.com/uploadsproductos/eone-1602a1.pdf>
5. Handson Technology – „I2C Serial Interface 1602 LCD Module” - SKU: DSP-1182
https://www.handsontec.com/dataspecs/module/I2C_1602_LCD.pdf

Tema de studiu nr. 5 - Protocoale de comunicație

I. SCOPUL TEMEI

- prezentarea unor protocoale de comunicație în sisteme cu microprocesoare [1], [2]
- prezentarea unor dispozitive compatibile cu protocoalele de comunicație [3], [4], [5], [6]
- utilizarea microcontrolerelor pentru interfațarea protocoalelor de comunicație [5], [6], [7]

II. INTRODUCERE [1], [2], [3]

Un **protocol de comunicație** reprezintă un **mod de asociere și transferare de date** între **cel puțin două** sisteme de calcul, pe baza **circuitelor periferice** aflate în dotarea sistemului de calcul. **Cadrul de date** vehiculat între cele două echipamente reprezintă orice **combinație alfa-numerică** exprimată prin intermediul protocolului. O **grupare de cadre de date** reprezintă un **pachet de date**. În unele situații, cadrele de date reprezintă un singur bit.

În domeniul sistemelor cu microprocesoare există două categorii principale de protocoale de comunicație, anume:

- protocoale de comunicație cu transmitere de date în mod paralel;
- protocoale de comunicație cu transmitere de date în mod serial;

Protocoalele de comunicație cu transmitere de date în mod **paralel**, pot vehicula cadrele de date pe **mai multe canale de comunicație în mod simultan**. Mai precis prin intermediul a patru intrări / ieșiri digitale, se pot vehicula 2^4 combinații (Fig. 5.1).

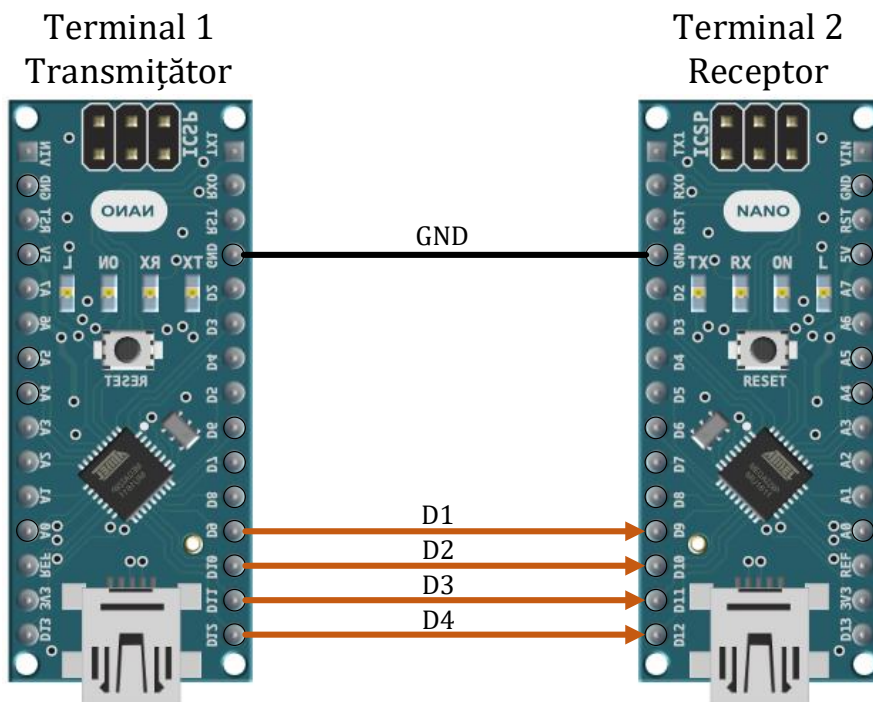


Fig. 5.1 – Protocolul de comunicație cu transmitere de date în mod paralel

Pentru a realiza asocierea între două sisteme de calcul de tip microcontroler, **Terminalul 1** va fi configurat prin intermediul codului program, ca și **transmițător**. Canalele digitale vor fi în acest sens **ieșiri digitale**. **Terminalul 2** va fi configurat prin intermediul codului program, ca și **receptor**. Canalele digitale, în acest sens, vor fi configurate ca și **intrări digitale**. Informația se va transmite în mod paralel sau simultan ca și o **combinație de patru biți**. Numărul maxim de combinații posibile în acest sens va fi $2^4 = 16$ combinații. Protocolul de date în acest sens, poate fi considerat **unidirecțional**.

Protocelele de comunicație cu transmitere de date în mod **serial** pot vehicula cadrele de date pe **două canale de comunicație în mod succesiv, serializat**. Terminalele de date pot avea rolul atât de transmițător cât și de receptor. Astfel, protocelele de comunicație serial, pot fi **bidirecționale**. În protocelele seriale există **două canale** pentru vehicularea informației (Fig. 5.2), anume:

- „TxD” (eng. Transmit „x” = Any Data – canal pentru transmisia oricărui tip de date);
- „RxD” (eng. Receive „x” = Any Data – canal pentru recepționarea oricărui tip de date);

Canalul pentru transmisia oricărui tip de date „TxD” este reprezentat printr-o ieșire digitală, iar datele sunt transmise sub formă de impulsuri (bit cu bit). Canalul pentru recepționarea oricărui tip de date „RxD” este reprezentat printr-o intrare digitală, iar datele sunt recepționate în mod serializat (bit cu bit).

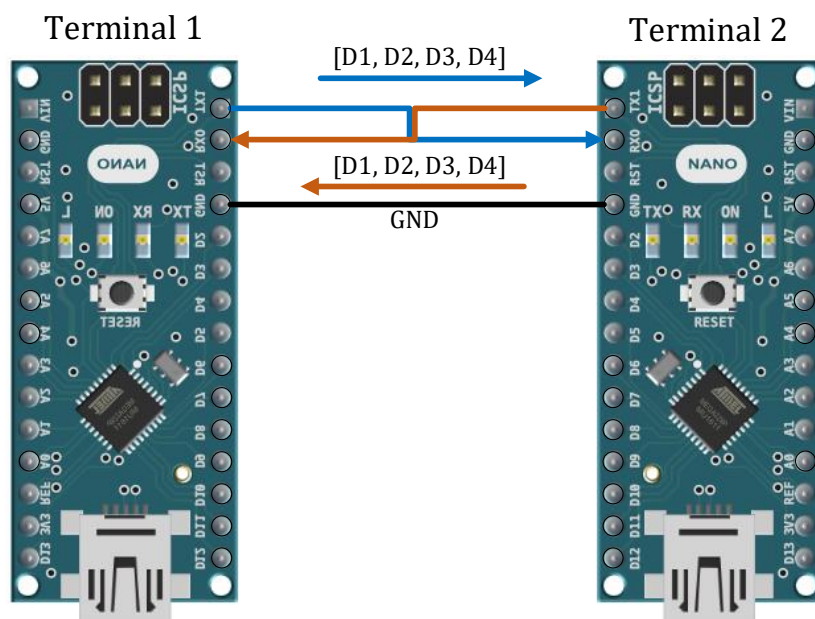


Fig. 5.2 – Protocolul de comunicație cu transmitere de date în mod serial

Protocelele de tip serial nu pot vehicula în mod simultan datele pe magistrala de comunicație, dar în schimb conferă siguranța suspendării procesului de comunicație în cazul întreruperii canalelor de comunicație. În cazul comunicației de tip paralel, la întreruperea unui canal digital de comunicație (întreruperea unui fir de date), informația se va transfera în mod eronat la terminalul receptor.

Comunicația de tip serial standard asincron (eng. Universal Asynchronous Receiver – Transmitter – UART) reprezintă modelul de bază al tuturor protocolelor de comunicație de tip serial (Fig. 5.3) și poate fi reprezentat la următoarele etape:

A. Etapa de transmitere implică:

- conversia în binar a tipului de date care urmează a fi transmis;
- partiționarea informației binare rezultante în grupuri de opt biți (adică un byte);
- transmiterea informației în mod serializat (succesiv) a fiecărui bit rezultat;

B. Etapa de recepționare implică:

- recepționarea în mod serializat (succesiv) a fiecărui bit component al informației;
- concatenarea informației în grupuri a câte opt biți (adică un byte);
- mascarea biților care nu fac parte din cuvântul de date și conversia datelor în zecimal;

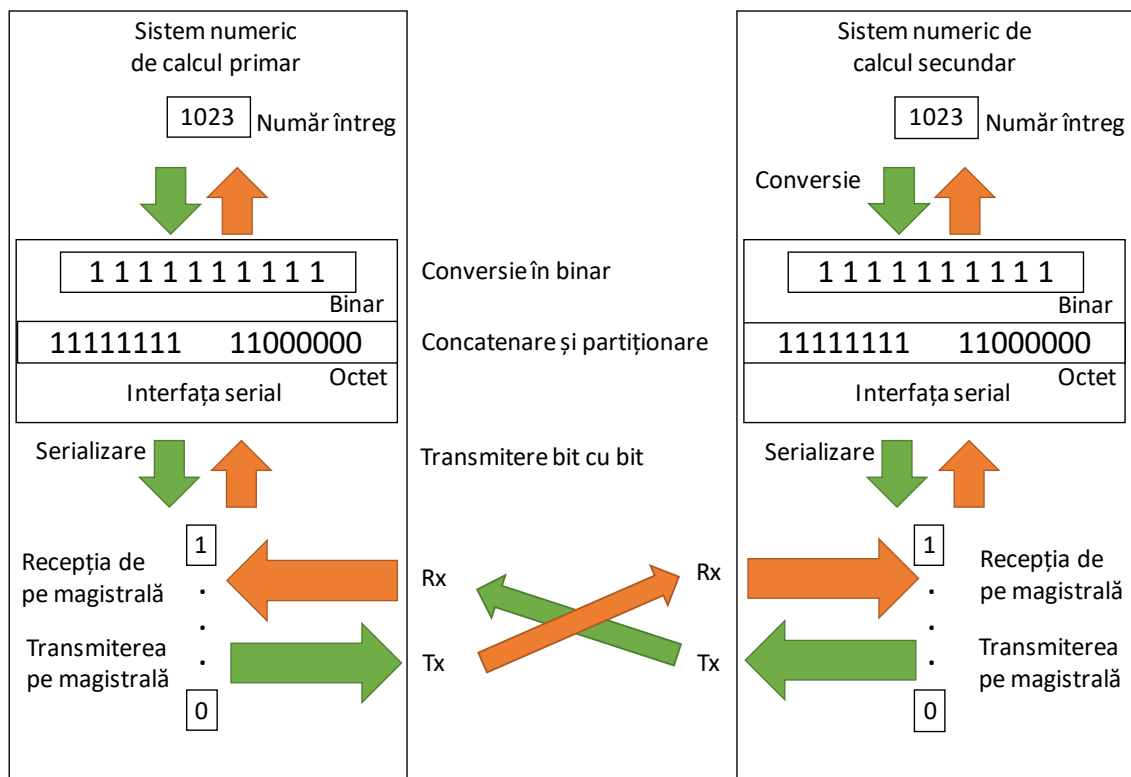


Fig. 5.3 – Modelul pentru vehicularea datelor în procesul de comunicație serial [3]

OBSERVAȚIE: În exemplul de mai sus (Fig. 5.3), este ilustrat faptul că, pe magistrala de date serial, pot fi vehiculate și alte tipuri de date având dimensiunea mai mare decât opt biți, dimensiunea maximă a unui pachet de date.

III. ASPECTE TEORETICE [1], [2], [3], [4]

În domeniul sistemelor microprogramabile, cele mai des utilizate protocoale de tip serial sunt:

- **UART** – (eng. **Universal Asynchronous Receiver – Transmitter**) – **Serial asincron**;
- **I²C** – (eng. **Inter – Integrated Circuit**) – **Serial sincron adresabil**;
- **SPI** – (eng. **Serial Peripheral Interface**) – **Serial sincron pentru dispozitive periferice**;
- **1 - Wire – One Wire** – **Serial asincron**;

A. Protocolul Serial standard asincron UART

- reprezintă un protocol **fizic** (eng. **hardware**) de comunicație;
- se realizează pe **două fire**: „Tx” – eng. Transmit Data și „Rx” – eng. Receive Data (Fig. 5.4);
- face parte din clasa protocoalelor „**punct la punct**” (eng. Point To Point – PTP), adică, protocolul nu funcționează decât între **cel puțin și cel mult două terminale**;
- poate fi optimizat pentru a vehicula datele pe **distanțe medii** între două terminale, însă **volumul de date este redus**;
- poate funcționa în regim **bidirecțional**;

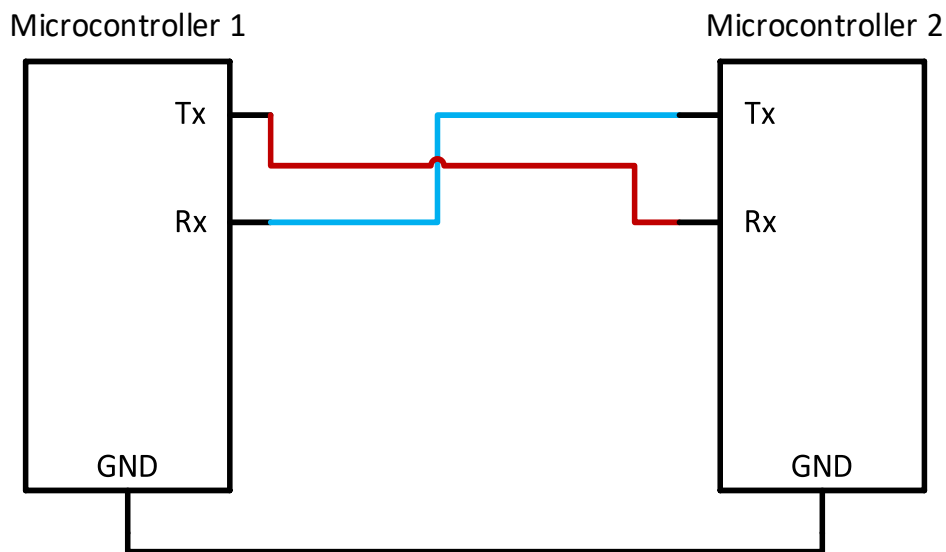


Fig. 5.4 – Conexiunea între terminale în cadrul protocolului serial standard asincron

Acest tip de protocol se utilizează pentru:

- transfer de date între două sisteme de calcul;
- diagnoză și depanare asistată software (ex. Consola Serial + Text Mode);
- trecerea de la un mediu de comunicare la altul (ex. Bluetooth – Serial HC-05);

B. Protocolul Serial sincron adresabil I²C

- reprezintă un protocol fizic (eng. hardware) de comunicație;
- se realizează pe două fire: „SCL” – eng. Serial **C**lock și „SDA” – eng. Serial **D**ata (Fig. 5.5);
- face parte din clasa protocoalelor **adresabile** de tip eng. „**Master – Slave**”, și poate deservi **mai mult decât două terminale**. Echipamentele sunt cuplate **în paralel** pe o **magistrală comună**, având **adrese distincte**;
- poate vehicula datele pe distanțe relativ reduse, în volum relativ mediu, la viteze cuprinse în intervalul 100 [kb / s] până la 3,5 [Mb / s];
- în vederea generării unei diferențe de potențial la nivelul canalelor de comunicație sunt necesare două rezistențe pentru conectare la potențialul sursei (eng. pull – up);

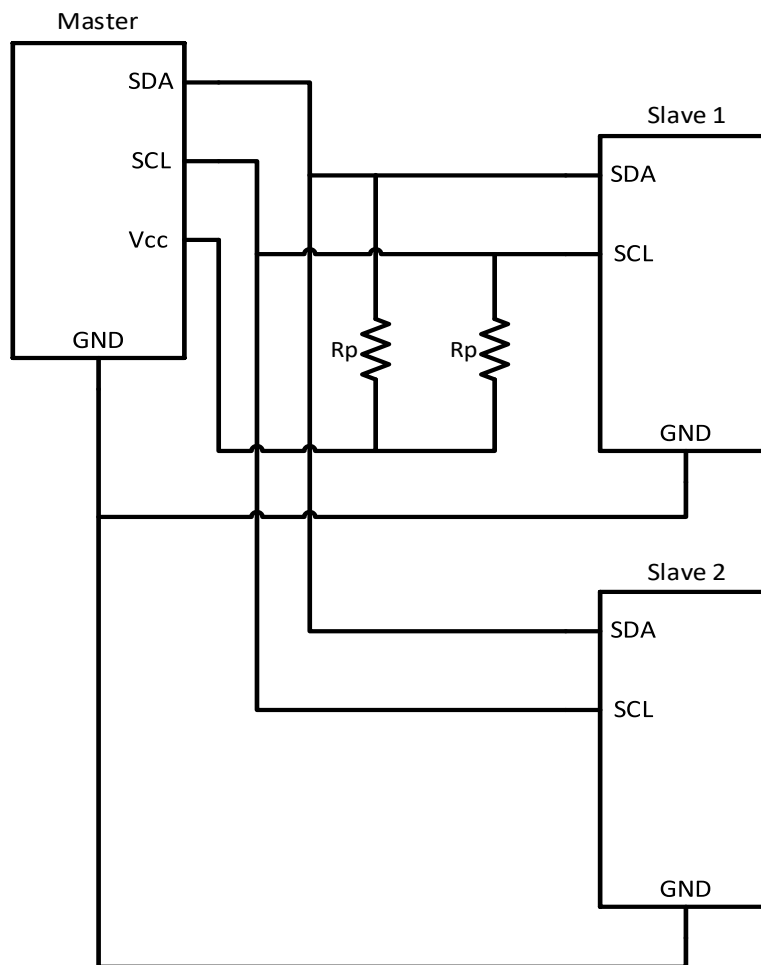


Fig. 5.5 - Conexiunea între terminale în cadrul protocolului serial sincron I²C

Acest tip de protocol se utilizează pentru:

- conectarea diverselor echipamente compacte la micro-controller (ex. LCD, senzori);
- inter-conectarea mai multor sisteme de calcul în vederea cooperării (Master / Slave);
- integrare de module și sisteme (ex. echipamente sau instalații multi-modulare) (Fig. 5.6);

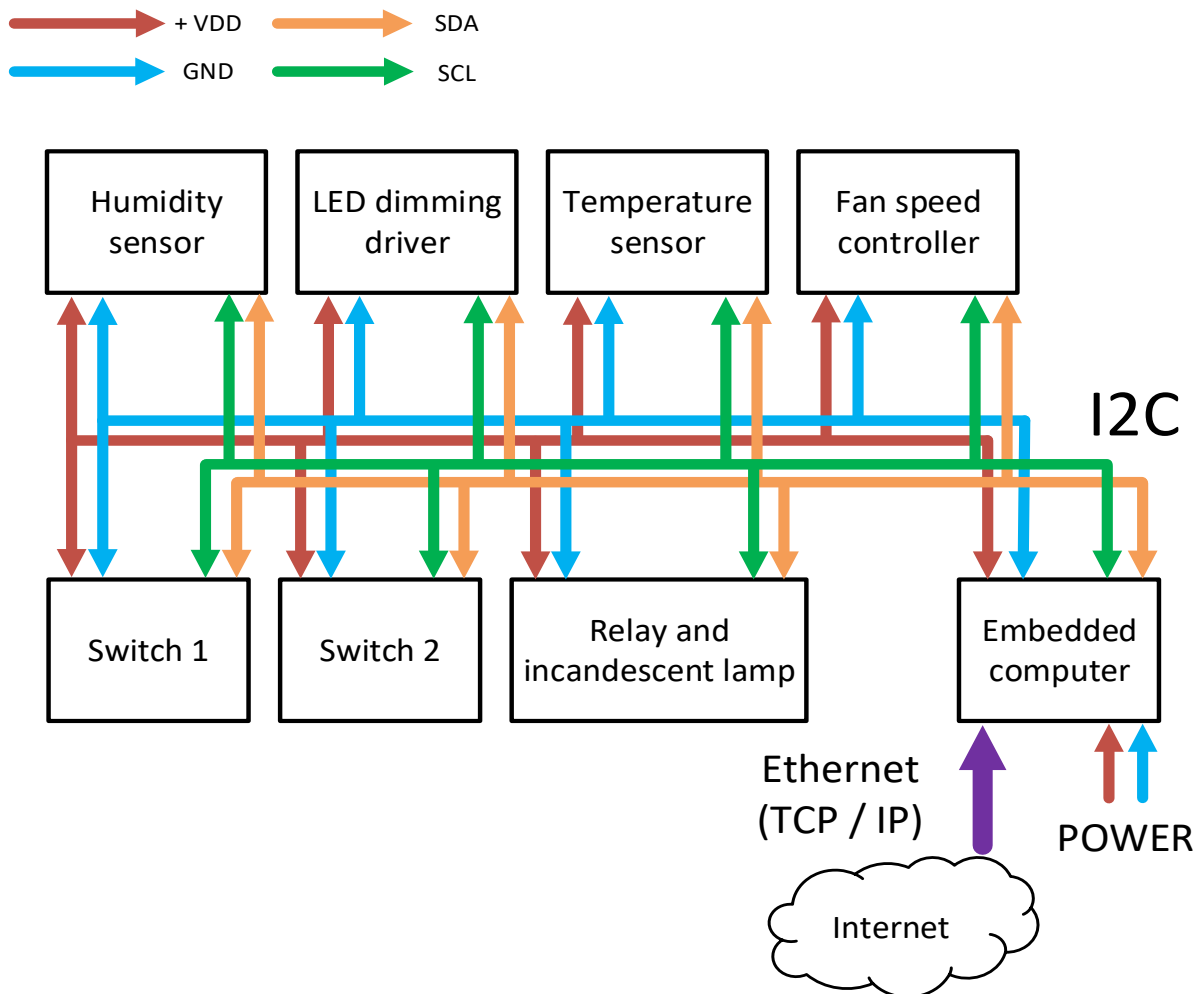


Fig. 5.6 – Automatizarea sistemelor pentru asigurarea confortului în domeniul rezidențial

C. Protocolul Serial standard sincron SPI

- reprezintă un protocol **fizic** (eng. hardware) de comunicație;
- se realizează pe **patru canale** de transmiterea datelor (Fig. 5.7):
 - „SCLK” – eng. Serial **CLock**;
 - „MOSI” – eng. **Master Out Slave In**;
 - „MISO” – eng. **Master In Slave Out**;
 - „SS” – eng. **Slave Select**;
- face parte din clasa **protocoalelor adresabile hibride**, adică poate funcționa atât în modul de conectare **punct la punct** cât și în modul eng. „**Master – Slave**”, și poate deservi **mai mult decât două terminale**.
- echipamentele sunt cuplate în **paralel** pe o **magistrală comună**;
- adresarea în cazul protocolului SPI poate fi **opțională**;
- este utilizat pentru a vehicula datele pe **distanțe relativ reduse**, în volum **relativ mare**, la viteze de maxim 60 [Mb / s];

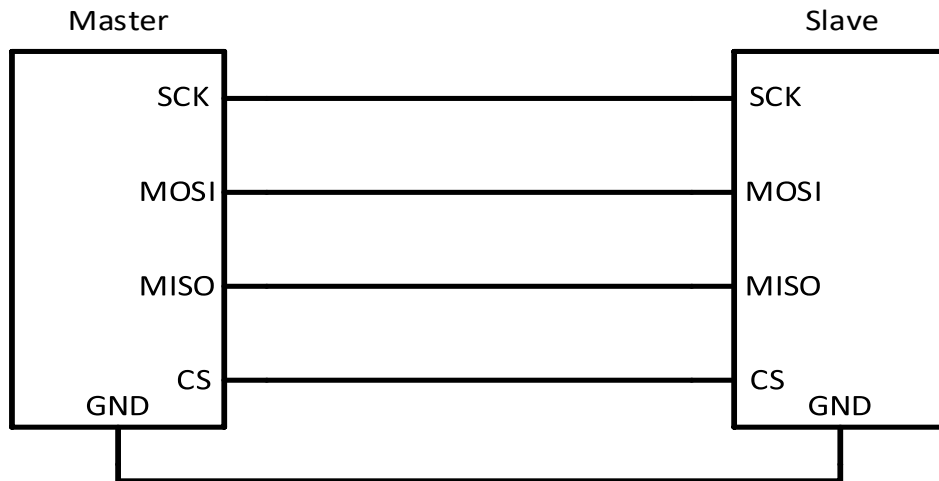


Fig. 5.7 - Conexiunea între terminale în cadrul protocolului serial sincron SPI

Acest tip de protocol se utilizează pentru:

- transfer de date între sisteme de calcul;
- programarea micro-controllerelor și transferul de date direct în memorie;
- trecerea de la un mediu de comunicare la altul și conectarea altor echipamente de expansiune la sistemul de calcul dat (ex. eng. Ethernet – SPI Shield, SD card etc.);

D. Protocolul Serial asincron 1-Wire (One Wire)

- reprezintă un protocol fizic (eng. hardware) de comunicație;
- se realizează prin intermediul unui singur canal de transmiterea datelor (Fig. 5.8);
- funcționează în modul SMMS (eng. „Single Master and Multiple Slaves”);
- funcționează în modul (eng. half - duplex), adică, un singur dispozitiv este capabil să inițieze procesul de comunicație și să transfere date în mod bidirecțional în același timp;
- prezintă viteză de transfer redusă (aprox. 15,4 [kb / s]);
- poate transfera un volum redus de date;

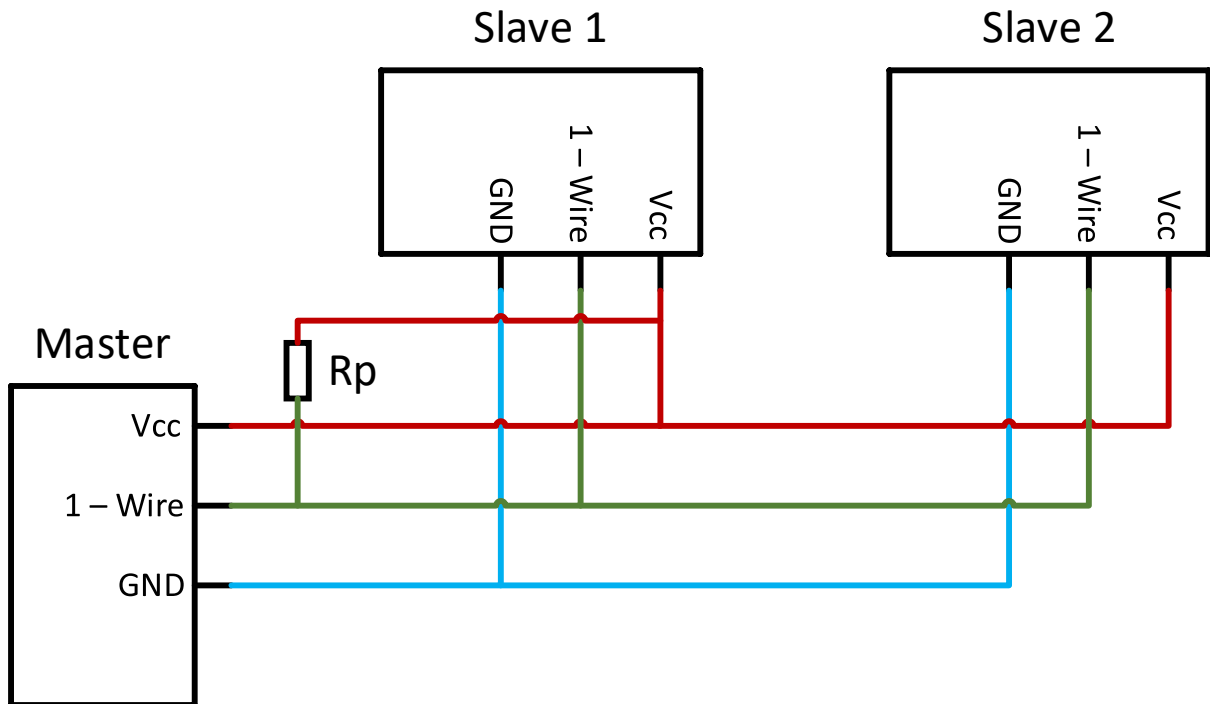


Fig. 5.8 - Conexiunea între terminale în cadrul protocolului serial asincron One Wire

Acest tip de protocol se utilizează pentru:

- transfer de date între sisteme de calcul;
- interfațarea traductoarelor cu sistemele care nu prezintă convertor analog - digital;
- monitorizarea parametrilor de funcționare pentru sursele de alimentare în comutație, destinate alimentării echipamentelor electronice portabile;

IV. IMPLEMENTAREA APLICAȚIILOR [4], [5], [6], [7]

În vederea implementării aplicațiilor din cadrul acestei lucrări vor fi utilizate două module specializate precum:

- modulul adaptor Bluetooth – Serial HC-05;
- traductorul digital DHT-11;

A. Modulul adaptor Bluetooth – Serial HC-05 [5]

Modulul HC-05 este un adaptor Bluetooth - Serial (eng. Serial Port Protocol - SPP), conceput pentru configurarea transparentă a conexiunii Serial fără fir. Este compatibil cu standardul „Bluetooth V2.0” și „EDR” (eng. Enhanced Data Rate). Tehnica de modulație se realizează la viteza de 3 [Mb / s] prin intermediul unui dispozitiv transmițător și receptor (eng. transceiver) radio cu bandă de frecvență 2,4 [GHz]. Acest modul înglobează de asemenea circuitul integrat specializat pentru aplicații în domeniul radio „Bluetooth CSR Bluecore 04 – External” cu construcție monobloc și implementare în tehnologie CMOS și tehnică de modulare AFH (eng. Adaptive Frequency Hopping Feature) (Fig. 5.9).



Fig. 5.9 – Modulul adaptor Bluetooth – Serial HC – 05 [5]

Modulul HC-05 prezintă următoarele dotări și specificații:

- nivel de sensibilitate -80 [dBm];
- putere de transmitere +4 [dBm];
- consum redus de putere, de la 1,8 [V] până la 3,6 [V] pe ieșirile digitale;
- compatibil cu protocolul serial asincron UART;
- antenă încorporată;

B. Traductorul digital DHT-11 [6]

Senzorul de temperatură și umiditate DHT11 furnizează mărimea rezultantă sub forma unui semnal digital. Acesta poate fi interpretat prin intermediul unei biblioteci de funcții (DHT.h) furnizată de către producător. Semnalul digital este generat prin intermediul unui microcontroler integrat în capsula traductorului. Protocolul de comunicație implementat la nivelul traductorului este serial de tip One Wire (Fig. 5.10).

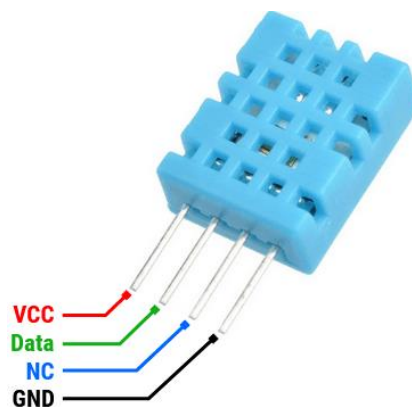


Fig. 5.10 – Traductorul de umiditate și temperatură DHT - 11 [6]

Pentru a evidenția conceptele prezentate anterior, se propune deci implementarea următoarelor aplicații cu ajutorul platformei Arduino Nano:

- recepționarea datelor prin interfața serial de la microcontroler;
- transmiterea datelor prin intermediul interfeței serial la microcontroler;
- recepționarea datelor prin intermediul modulului Bluetooth HC-05;
- transmiterea datelor prin intermediul modulului Bluetooth HC-05;
- preluarea datelor de la traductorul de umiditate și temperatură DHT-11;
- implementarea unei aplicații de monitorizare multipunct a parametrilor ambientali

Se vor utiliza următoarele componente:

- placă pentru testare rapidă a circuitelor electronice (Wisher WBU-502L);
- platformă de dezvoltare Arduino NANO cu microcontroler ATmega 328;
- diode electro-luminiscente;
- traductor pentru măsurarea temperaturii și a umidității ambientale DHT-11;
- rezistențe cu valoarea de 100 [Ω];
- rezistențe cu valoarea de 10 [$k\Omega$];
- senzor de temperatura LM-35;
- modulul pentru afișare LCD QAPASS cu adaptor I2C la Paralel M.H.;
- fire pentru conexiune rapidă compatibile cu placa de testare;
- calculator gazdă având mediul Arduino IDE instalat;
- cablu adaptor USB A la mini USB;

APLICAȚIA 1

Se va implementa circuitul conform următoarei scheme (Fig. 5.11):

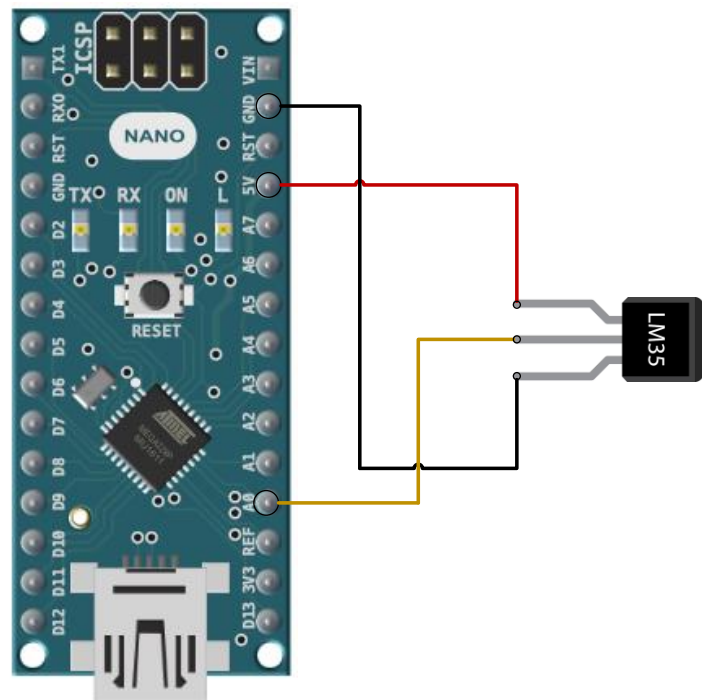


Fig. 5.11 – Schema electronică pentru implementarea circuitului specific aplicației 1

Se va realiza următorul montaj experimental (Fig. 5.12):

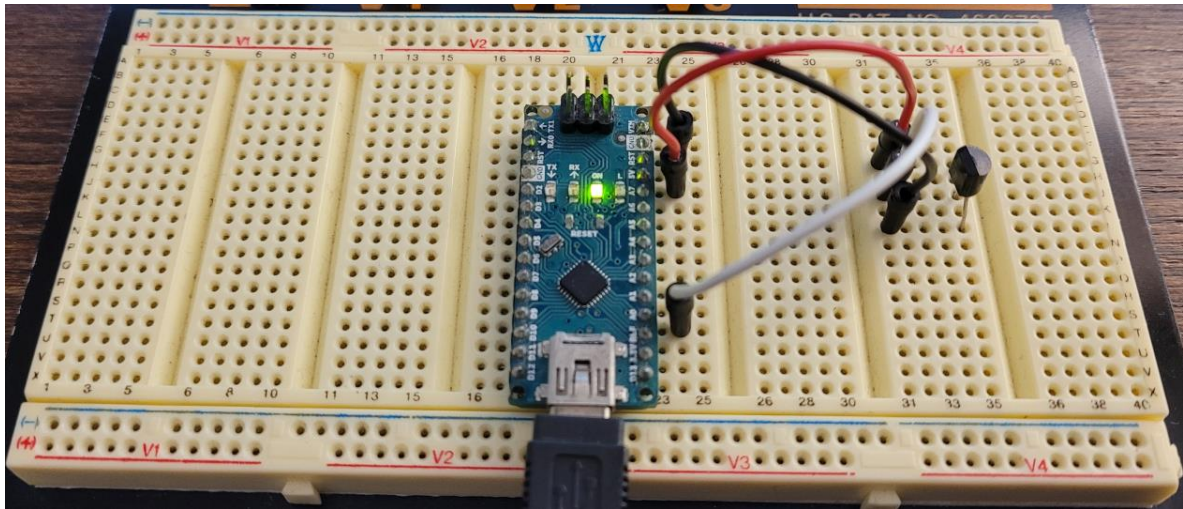


Fig. 5.12 – Montajul experimental specific aplicației 1

Se va implementa următorul cod program:

```
const int analog_pin = 0;
int ADC_val = 0;
int N = 500;
float U = 0.00;
float temp = 0.00;
float media = 0.00;

void setup() {
  Serial.begin(9600);
}

void loop() {
  float suma = 0.00;
  for (int i = 1; i <= N; i++) {
    ADC_val = analogRead(analog_pin);
    U = (4.80 / 1023.00) * ADC_val;
    temp = 100.00 * U;
    suma += temp;
  }
  media = suma / N;
  Serial.print("Temperatura: ");
  Serial.print(media);
  Serial.print(" [*C]");
  Serial.print("\n");
  delay(250);
}
```

Implementarea aplicației nr. 1 presupune:

- declararea unei constante de tip număr întreg „analog_pin” având ca și valoare „0”;
- inițializarea unei variabile de tip număr întreg „ADC_val” cu valoarea „0”;
- inițializarea unei variabile de tip număr întreg „N” cu valoarea „0”;
- inițializarea unei variabile de tip fracționar „U” cu valoarea „0.00”;
- inițializarea unei variabile de tip fracționar „temp” cu valoarea „0.00”;
- inițializarea unei variabile de tip fracționar „media” cu valoarea „0.00”;
- inițializarea comunicației Serial la viteza de transfer 9600 [b/s];
- inițializarea unei variabile locale cu denumirea „suma”;
- preluarea valorii zecimale rezultante în urma procesului de conversie analog – digital;
- determinarea tensiunii de măsură pe baza preciziei convertorului analog – digital;
- determinarea temperaturii pe baza tensiunii de măsură și a constantei de calibrare;
- însumarea a 500 de valori prin intermediul structurii iterative de tip „for ()”;
- determinarea mediei aritmetice prin intermediul raportului dintre suma tuturor valorilor înregistrate în variabila „suma” și numărul de iterații „N”;
- afișarea valorii medii a temperaturii în consola Serial (Fig. 5.13);

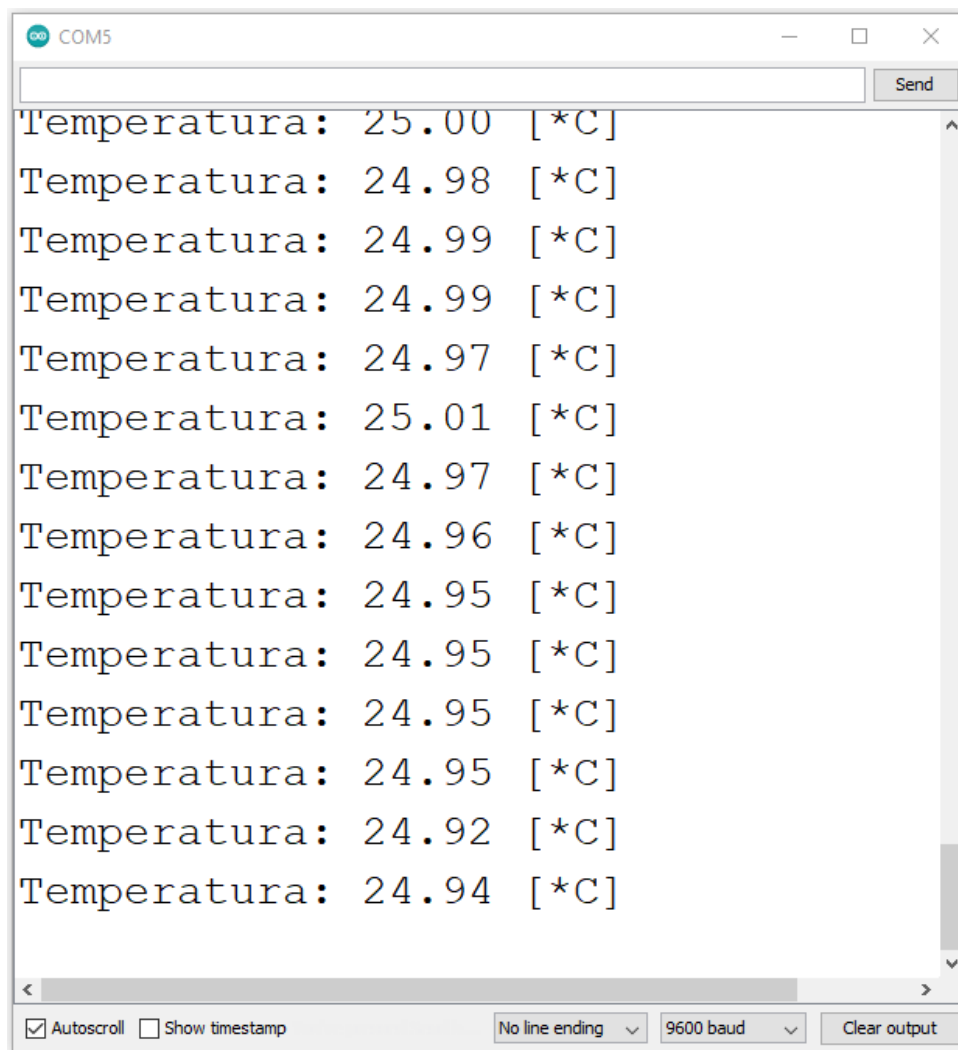


Fig. 5.13 – Afișarea mesajelor în consola serial

APLICAȚIA 2

Se va implementa circuitul conform următoarei scheme (Fig. 5.14):

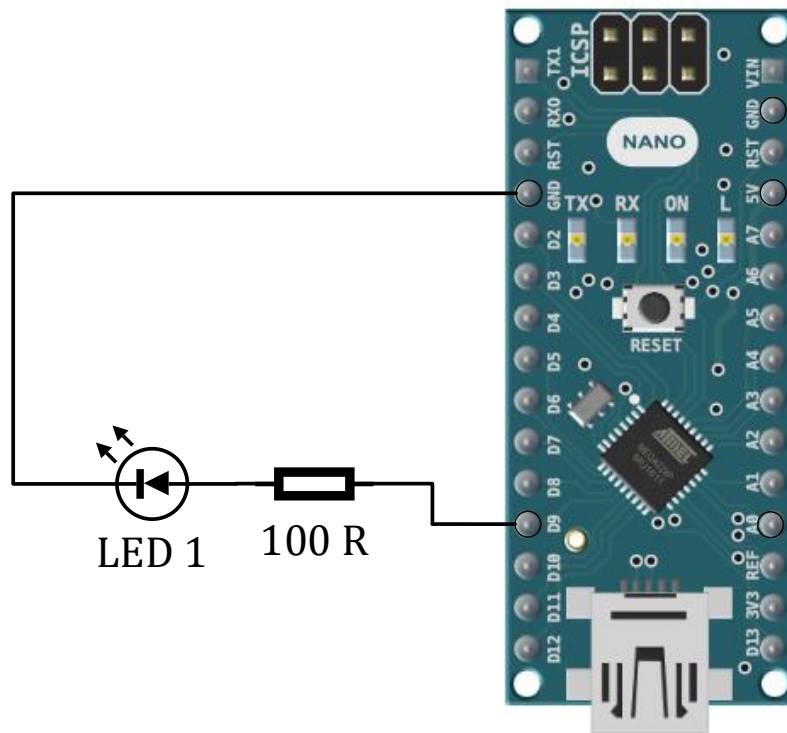


Fig. 5.14 – Schema electronică pentru implementarea circuitului specific aplicației 2

Se va realiza următorul montaj experimental (Fig. 5.15):

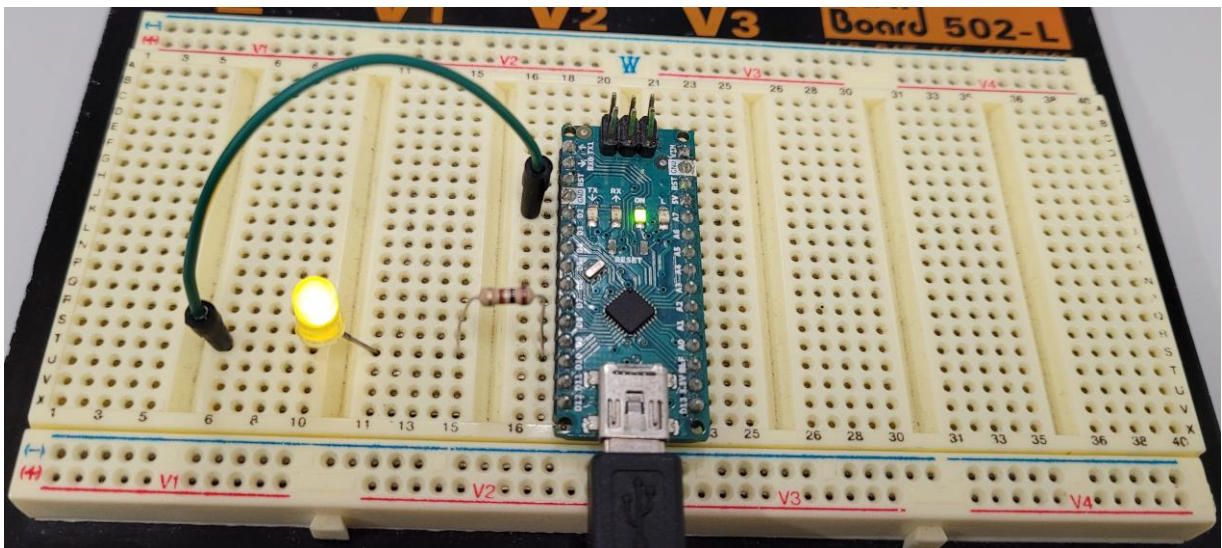


Fig. 5.15 – Montajul experimental specific aplicației 2

Se va implementa următorul cod program:

```
const int pin_led = 9;
int dc = 0;

void setup() {
  pinMode(pin_led, OUTPUT);
  Serial.begin(9600);
  Serial.println("Introduceti factorul de umplere 0 - 255: ");
}

void loop() {
  if(Serial.available()){
    dc = Serial.parseInt();
    if(dc < 0 || dc > 255){
      Serial.print("Valoarea introdusa nu este in interval!");
      Serial.print("\n");
      dc = 0;
    }

    Serial.print("Valoarea factorului de umplere este: ");
    Serial.print(dc);
    Serial.print("\n");
  }
  analogWrite(pin_led, dc);
}
```

Implementarea aplicației nr. 2 presupune:

- declararea unei constante de tip număr întregi „pin_led” cu valoarea „9”;
- inițializarea unei variabile de tip număr întreg „dc” cu valoarea „0”;
- inițializarea terminalului digital „9” în modul de lucru „ieșire digitală”;
- inițializarea comunicației Serial la viteza de transfer 9600 [b/s]
- afișarea mesajului: "Introduceti factorul de umplere 0 - 255: ";
- verificarea disponibilității datelor de pe magistrala serial cu funcția „Serial.available()”;
- preluarea factorului de umplere de la magistrala serial cu funcția „Serial.parseInt()”;
- afișarea valorii exprimată pe 8 biți a duratei de conducție în consola serial (Fig. 16);
- ajustarea factorului de umplere pentru un tren de impulsuri furnizat pe terminalul „9”;

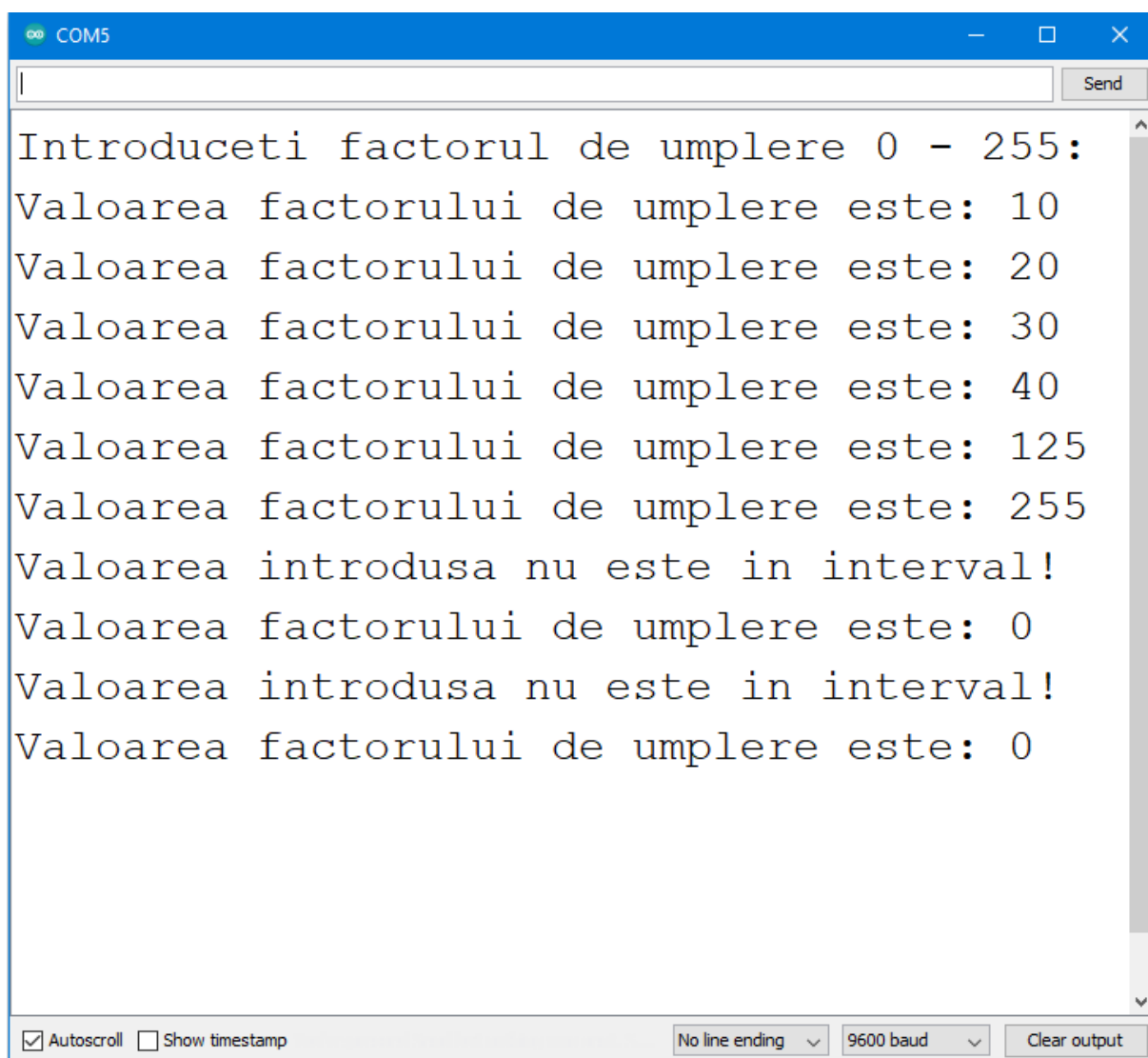


Fig. 5.16 - Afișarea factorului de umplere sau a duratei de conducție în consola Serial

APLICAȚIA 3

Se va implementa următorul cod program:

```
#include <SoftwareSerial.h>
SoftwareSerial BTSerial(4, 5); //4 - RX, 5 - TX

const int analog_pin = 0;
int ADC_val = 0;
int N = 500;
float U = 0.00;
float temp = 0.00;
float media = 0.00;

void setup() {
  Serial.begin(9600);
  BTSerial.begin(9600);
}

void loop() {
  float suma = 0.00;
  for (int i = 1; i <= N; i++) {
    ADC_val = analogRead(analog_pin);
    U = (4.80 / 1023.00) * ADC_val;
    temp = 100.00 * U;
    suma += temp;
  }
  media = suma / N;
  Serial.print("Temperatura: ");
  Serial.print(media);
  Serial.print(" [*C]");
  Serial.print("\n");

  BTSerial.print("Temperatura: ");
  BTSerial.print(media);
  BTSerial.print(" [*C]");
  BTSerial.print("\n");
  delay(250);
}
```

Se va implementa circuitul conform următoarei scheme (Fig. 5.17):

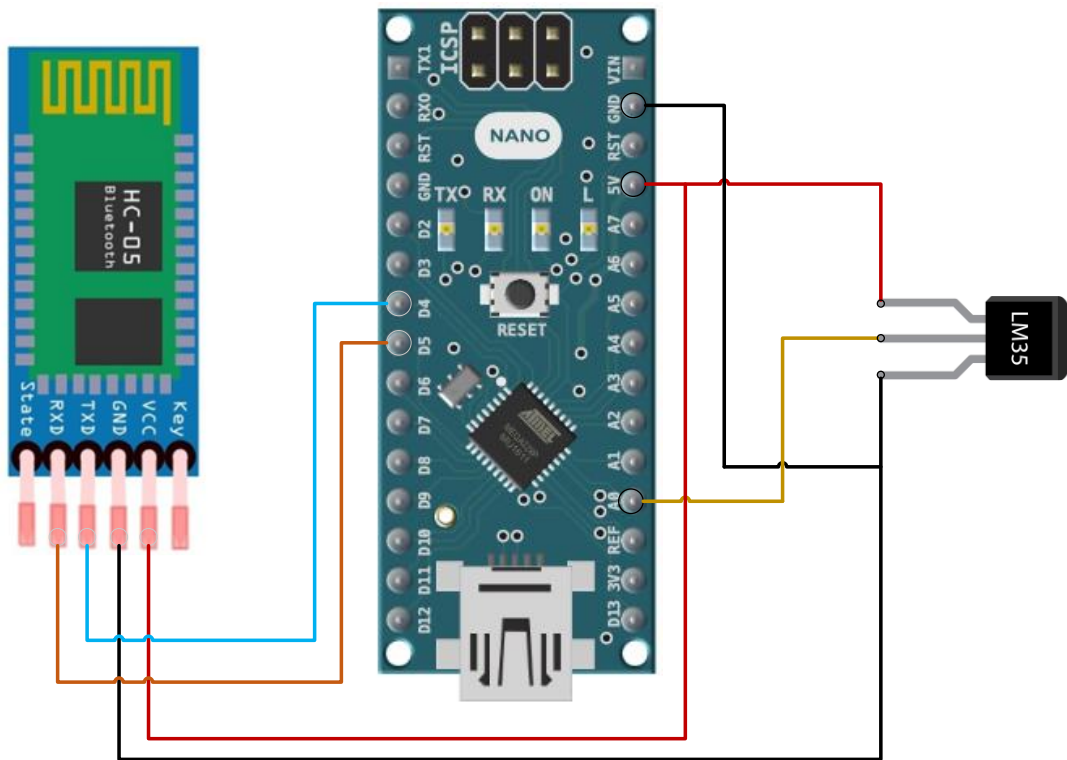


Fig. 5.17 - Schema electronică pentru implementarea circuitului specific aplicației 3

Se va realiza următorul montaj experimental (Fig. 5.18):

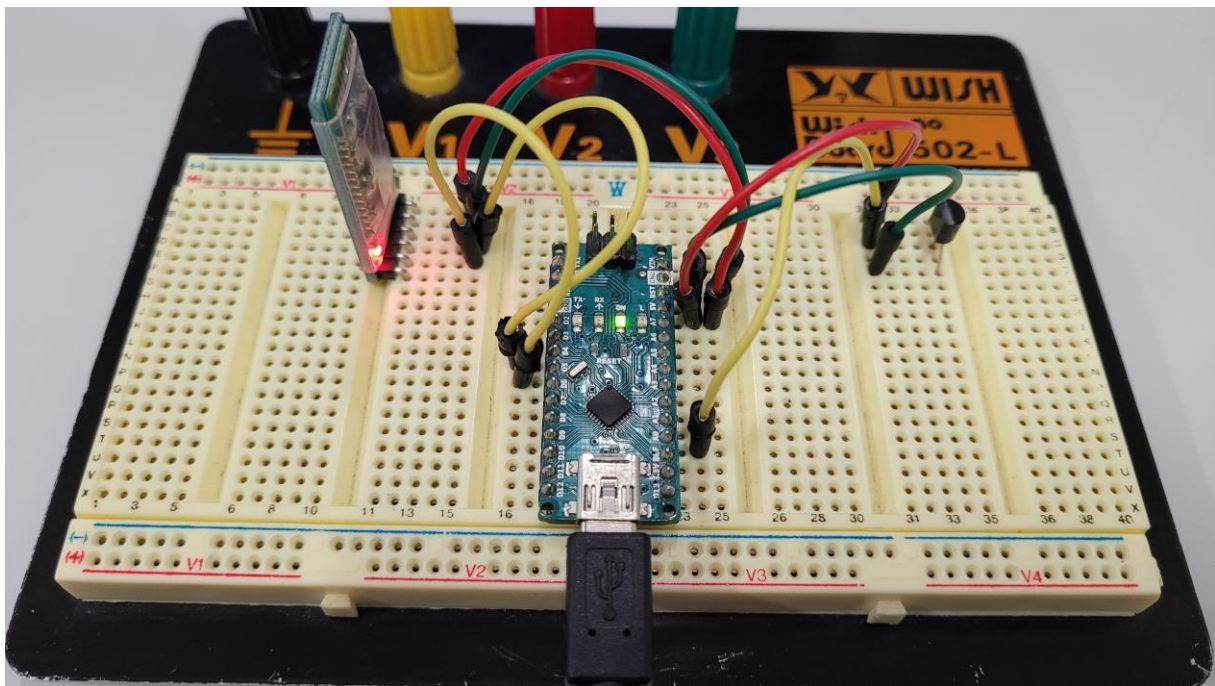


Fig. 5.18 - Montajul experimental specific aplicației 3

OBSERVAȚII:

1. Prin intermediul bibliotecii de funcții „SoftwareSerial.h” se va inițializa comunicația serial în mod virtual prin intermediul a două terminale digitale la alegere (în cazul de față „D4” – RxD iar „D5” – TxD).
2. Pentru a verifica funcționalitatea modului Bluetooth – Serial HC-05, se va utiliza aplicația „Bluetooth Serial Terminal” pe telefonul mobil. Prin intermediul acestei aplicații va fi posibilă recepționarea mesajelor din consola serial pe telefonul mobil (Fig. 5.19).



Fig. 5.19 – Aplicația Bluetooth Serial Terminal – vizualizarea conținutului consolei serial

Implementarea aplicației nr. 3 presupune:

- determinarea temperaturii medii achiziționată de la traductorul LM-35;
- inițializarea comunicației serial atât locală cât și la distanță;
- afișarea locală a mesajului pentru monitorizare în consola serial;
- afișarea în aplicația Bluetooth Serial Terminal a conținutului consolei serial.

APLICAȚIA 4

Se va implementa circuitul conform următoarei scheme (Fig. 5.20):

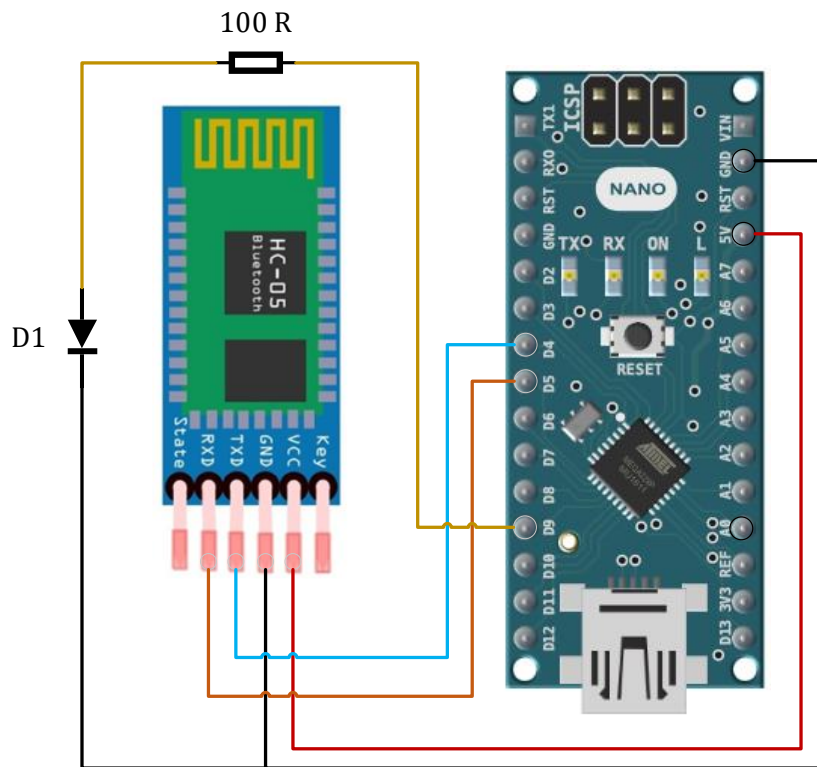


Fig. 5.20 - Schema electronică pentru implementarea circuitului specific aplicației 4

Se va realiza următorul montaj experimental (Fig. 5.21):

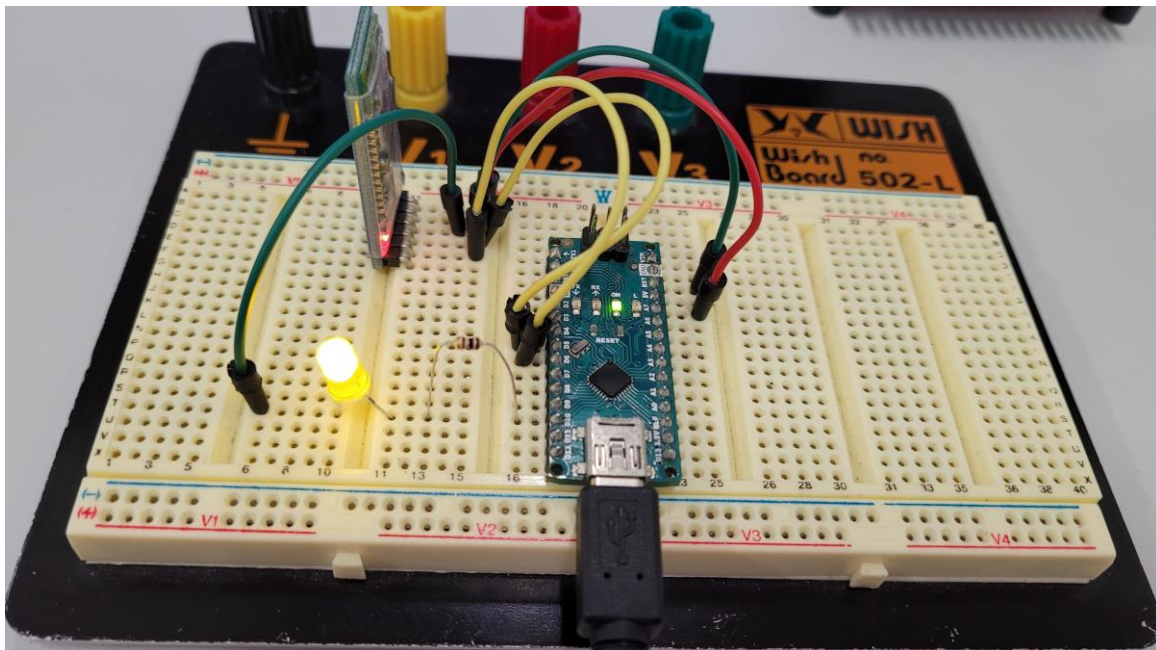


Fig. 5.21 - Montajul experimental specific aplicației 4

Se va implementa următorul cod program:

```
#include <SoftwareSerial.h>
SoftwareSerial BTSerial(4, 5); //4 - RX, 5 - TX

const int pin_led = 9;
int dc = 0;

void setup() {
  Serial.begin(9600);
  BTSerial.begin(9600);
  Serial.println("Introduceti factorul de umplere: ");
  BTSerial.println("Introduceti factorul de umplere: ");
}

void loop() {
  if(Serial.available()){
    dc = Serial.parseInt();
    if(dc < 0 || dc > 255 ){
      Serial.print("Valoarea introdusa nu este in interval!");
      Serial.print("\n");
      dc = 0;
    }
    Serial.print("Valoare factor de umplere: ");
    Serial.print(dc);
    Serial.print("\n");
  }

  if(BTSerial.available()){
    dc = BTSerial.parseInt();
    if(dc < 0 || dc > 255){
      BTSerial.print("Valoarea introdusa nu este in interval!");
      BTSerial.print("\n");
      dc = 0;
    }

    BTSerial.print("Valoare factor de umplere: ");
    BTSerial.print(dc);
    BTSerial.print("\n");
  }
  analogWrite(pin_led, dc);
}
```

Implementarea aplicației nr. 4 presupune:

- inițializarea comunicației Serial la viteza de transfer 9600 [b/s]
- inițializarea comunicației serial atât locală cât și la distanță;
- verificarea disponibilității datelor de pe magistrala serial cu funcția „Serial.available()”;
- verificarea disponibilității datelor de pe magistrala cu funcția „BTSerial.available()”;
- preluarea factorului de umplere de la magistrala serial cu funcția „Serial.parseInt()”;
- preluarea factorului de umplere de la magistrala serial cu funcția „BTSerial.parseInt()”;
- afișarea valorii exprimată pe 8 biți a duratei de conducție în consola serial;
- afișarea valorii pe 8 biți a duratei de conducție în aplicația Bluetooth Serial Terminal;
- ajustarea factorului de umplere pentru un tren de impulsuri furnizat pe terminalul „9”;
- preluarea atât local cât și la distanță a datelor numerice din consolă (Fig. 5.22);
- afișarea locală a mesajului pentru monitorizare în consola serial;
- afișarea în aplicația Bluetooth Serial Terminal a conținutului consolei serial.

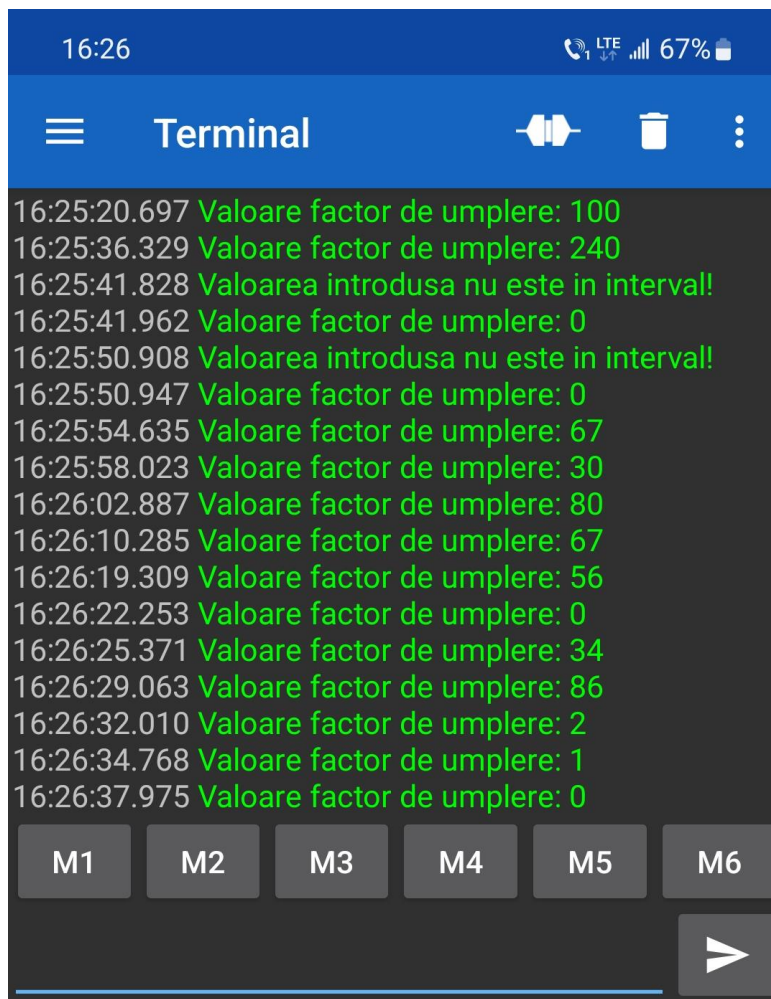


Fig. 5.22 – Aplicația Bluetooth Serial Terminal – preluarea valorii factorului de umplere și afișarea în consolă a mesajelor

APLICAȚIA 5

Se va implementa circuitul conform următoarei scheme (Fig. 5.23):

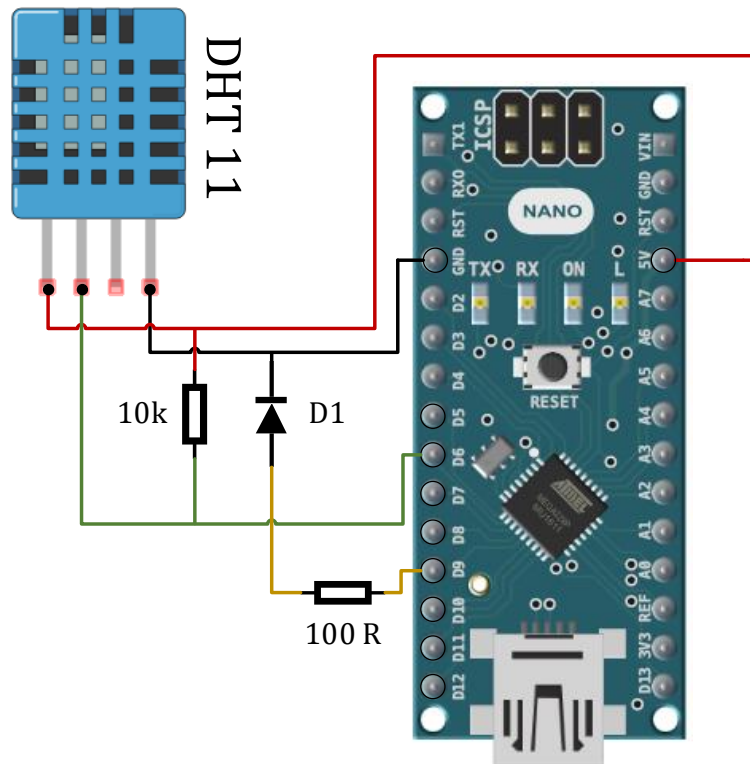


Fig. 5.23 - Schema electronică pentru implementarea circuitului specific aplicației 5

Se va realiza următorul montaj experimental (Fig. 5.24):

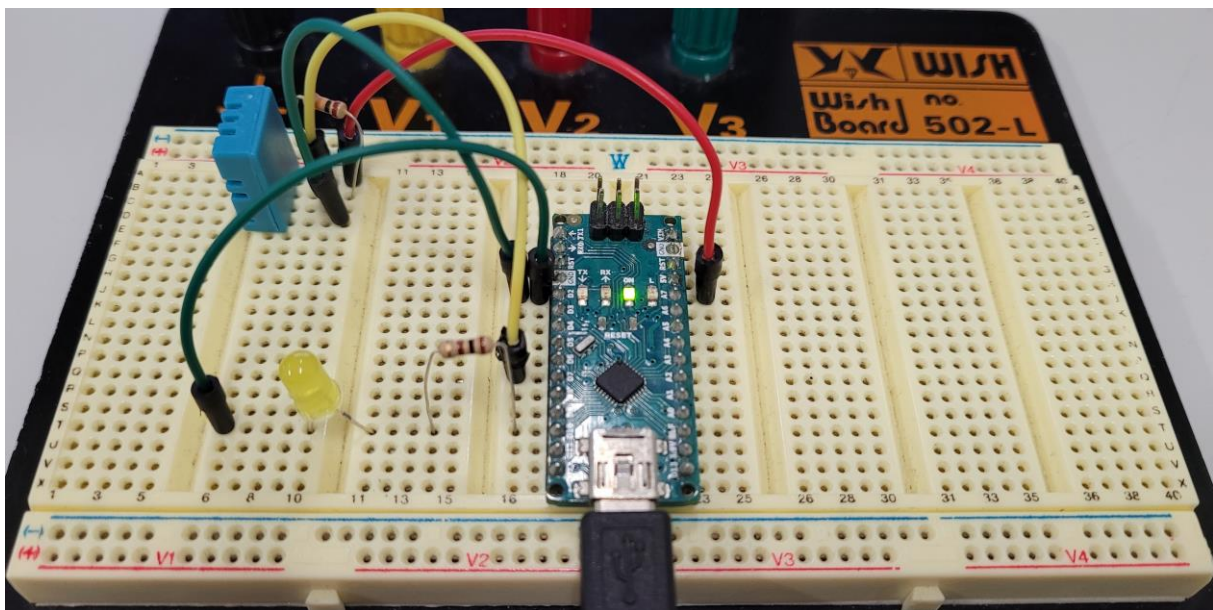


Fig. 5.24 - Montajul experimental specific aplicației 5

Se va implementa următorul cod program:

```
#include <dht.h>
#define DHT11_PIN 6

const int status_led = 9;
dht DHT;

void setup() {
  pinMode(status_led, OUTPUT);
  Serial.begin(9600);
  digitalWrite(status_led, LOW);
}

void loop() {
  int chk = DHT.read11(DHT11_PIN);
  digitalWrite(status_led, LOW);
  delay(5000);
  Serial.print("Temperatura: ");
  Serial.println(DHT.temperature);
  Serial.print("Umiditate: ");
  Serial.println(DHT.humidity);
  digitalWrite(status_led, HIGH);
  delay(100);
}
```

Implementarea aplicației nr. 5 presupune:

- inițializarea bibliotecii „dht.h” specifică traductorului de umiditate și temperatură;
- inițializarea obiectului „DHT” pentru interogarea punctuală a parametrilor descriptivi;
- interogarea traductorului cu ajutorul bibliotecii de funcții;
- preluarea de pe magistrala „1 – Wire” a informațiilor digitale de la traductor;
- afișarea în consola serial a valorilor de temperatură și umiditate (Fig. 5.25);
- semnalizarea prin intermediul unui LED de stare la fiecare achiziție;

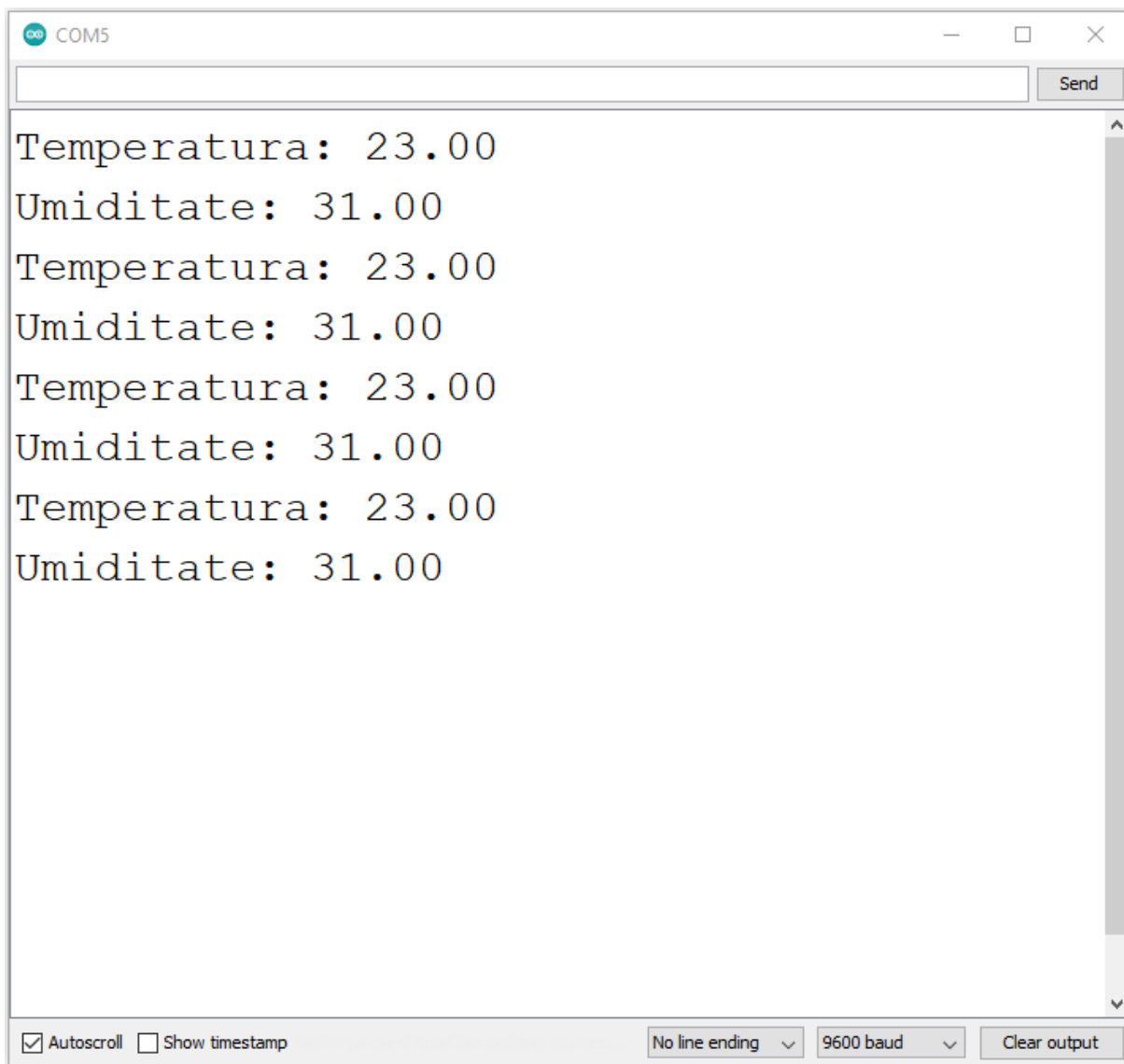


Fig. 5.25 – Consola serial – preluarea datelor de la traductorul digital de umiditate și temperatură DHT 11 și afișarea lor în consolă

APLICAȚIA 6

Se va implementa circuitul conform următoarei scheme (Fig. 5.26):

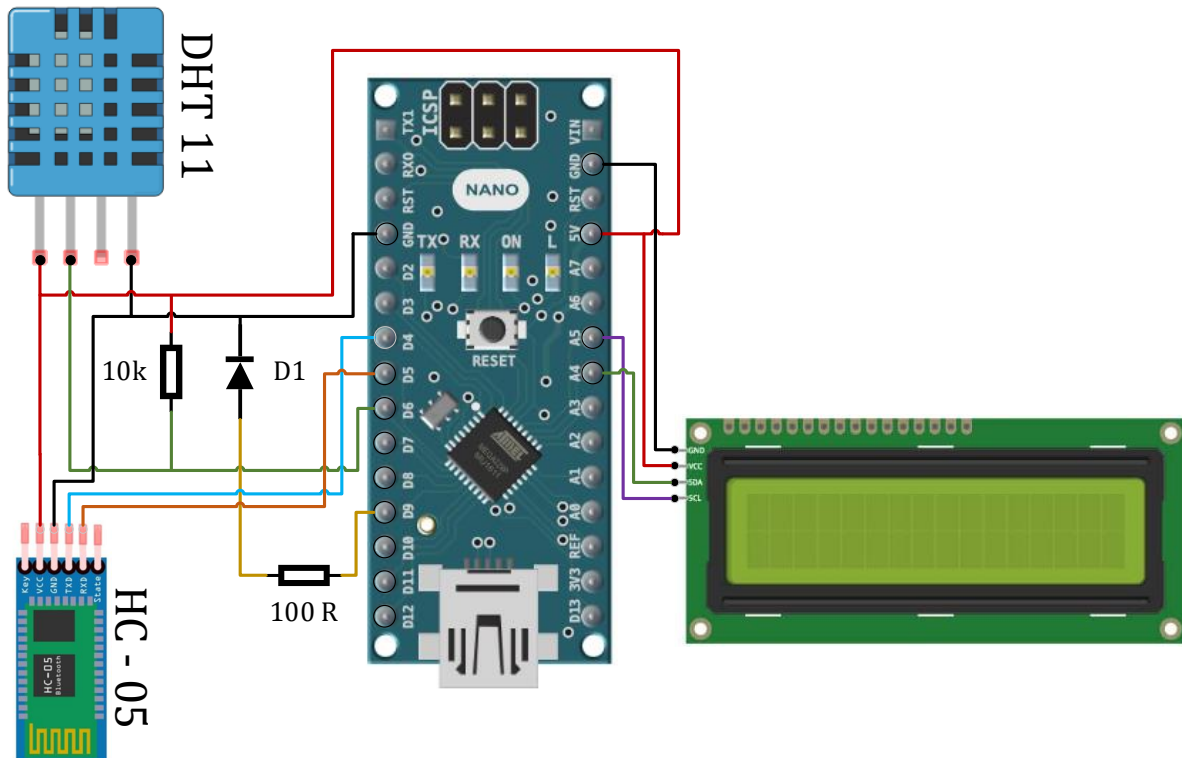


Fig. 5.26 - Schema electronică pentru implementarea circuitului specific aplicației 6

Se va realiza următorul montaj experimental (Fig. 5.27):

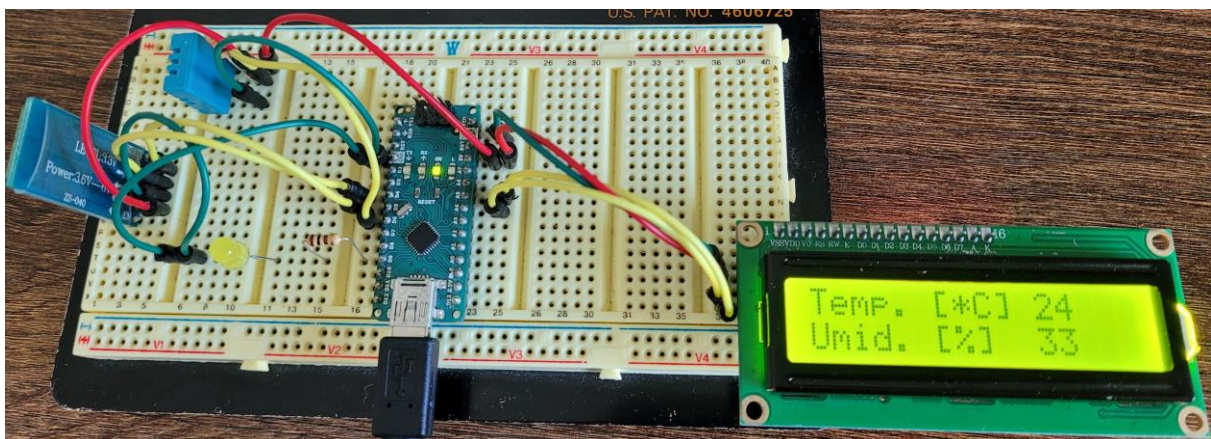


Fig. 5.27 - Montajul experimental specific aplicației 6

Se va implementa următorul cod program:

```
#include <Wire.h>
#include <SoftwareSerial.h>
#include <LiquidCrystal_I2C.h>
#include <dht.h>
#define DHT11_PIN 6
LiquidCrystal_I2C lcd(0x27, 2, 1, 0, 4, 5, 6, 7, 3, POSITIVE);
SoftwareSerial BTSerial(4, 5); //4 - RX, 5 - TX
const int status_led = 9;
dht DHT;

void setup() {
  pinMode(status_led, OUTPUT);
  Serial.begin(9600);
  BTSerial.begin(9600);
  digitalWrite(status_led, LOW);
  lcd.begin(16,2);
  for(int i = 0; i< 3; i++) {
    lcd.backlight();
    delay(250);
    lcd.noBacklight();
    delay(250);
  }
  lcd.backlight();
  lcd.setCursor(0,0);
  lcd.print("Temp. [*C] ");
  lcd.setCursor(0,1);
  lcd.print("Umid. [%] ");
}

void loop() {
  int chk = DHT.read11(DHT11_PIN);
  digitalWrite(status_led, LOW);
  delay(2000);
  Serial.print("Temperatura [*C]: ");
  Serial.println(DHT.temperature, 0);
  Serial.print("Umiditate [%]: ");
  Serial.println(DHT.humidity, 0);
  BTSerial.print("Temperatura [*C]: ");
  BTSerial.println(DHT.temperature, 0);
  BTSerial.print("Umiditate [%]: ");
  BTSerial.println(DHT.humidity, 0);
  digitalWrite(status_led, HIGH);
  lcd.setCursor(11,0);
```

```

if(DHT.temperature < 1000) {
  lcd.setCursor(14,0);
  lcd.print(" ");
  lcd.setCursor(11,0);
  lcd.print(DHT.temperature, 0);
}
if(DHT.temperature < 100) {
  lcd.setCursor(13,0);
  lcd.print(" ");
  lcd.setCursor(11,0);
  lcd.print(DHT.temperature, 0);
}
if(DHT.temperature < 10) {
  lcd.setCursor(12,0);
  lcd.print(" ");
  lcd.setCursor(11,0);
  lcd.print(DHT.temperature, 0);
}

lcd.setCursor(11,1);

if(DHT.humidity < 1000) {
  lcd.setCursor(14,1);
  lcd.print(" ");
  lcd.setCursor(11,1);
  lcd.print(DHT.humidity, 0);
}
if(DHT.humidity < 100) {
  lcd.setCursor(13,1);
  lcd.print(" ");
  lcd.setCursor(11,1);
  lcd.print(DHT.humidity, 0);
}
if(DHT.humidity < 10) {
  lcd.setCursor(12,1);
  lcd.print(" ");
  lcd.setCursor(11,1);
  lcd.print(DHT.humidity, 0);
}
delay(100);
}

```

Implementarea aplicației nr. 6 presupune:

- interogarea periodică a traductorului digital de umiditate și temperatură DHT – 11;
- afișarea locală (în consola serial a calculatorului gazdă) a valorilor preluate;
- afișarea la distanță a valorilor înregistrate de la traductor (Bluetooth Serial Terminal);
- expunerea valorilor preluate de la traductor pe afișajul LCD;

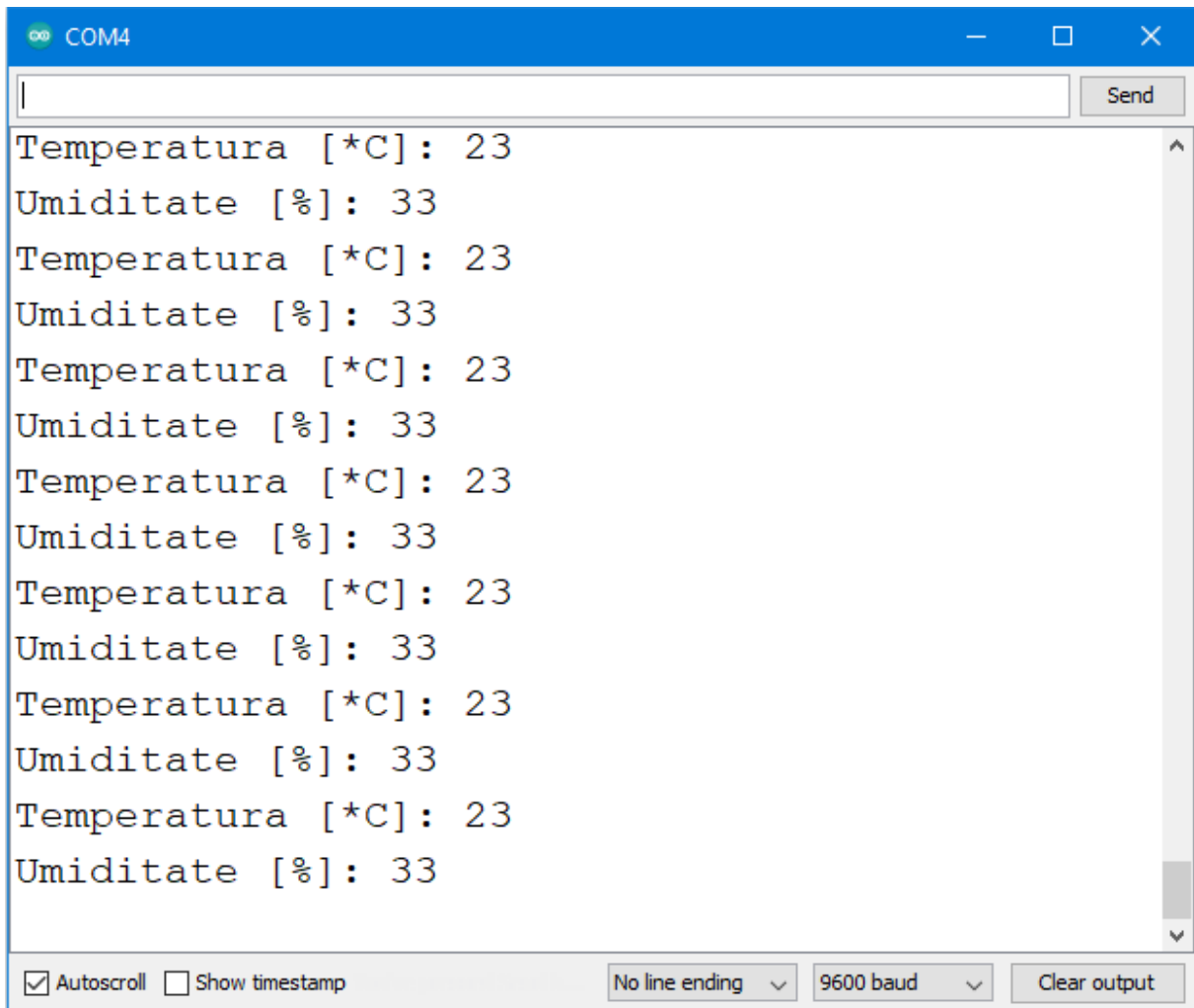


Fig. 5.28 – Consola serial – preluarea datelor de la traductorul digital de umiditate și temperatură DHT 11 și afișarea lor în consolă

OBSERVAȚIE: Această aplicație poate fi considerată o modalitate de tip „multipunct” de supraveghere și monitorizare a parametrilor ambienali, precum temperatura și umiditatea aerului din încăpere, deoarece, informația finală poate fi preluată atât de la fața locului (prin intermediul afișajului LCD – fizic, eng. hardware) cât și de la consola serial a calculatorului sau a telefonului mobil (logic sau virtual - eng. software). Funcționalitatea „multipunct” a aplicației poate deservi de asemenea procesul și metodele de depanare și diagnosticare a unui echipament complex (eng. debugging methods).



Fig. 5.29 - Aplicația Bluetooth Serial Terminal – afișarea valorilor de temperatură și umiditate preluate de la traductorul DHT-11

V. CONCLUZII

Prin intermediul protocoalelor de comunicație implementate atât la nivelul codului program (eng. software protocol) cât și la nivelul fizic (eng. hardware protocol) al unui sistem de calcul, pot fi realizate următoarele funcții:

- diagnoză și depanare (eng. debugging and repairing);
- monitorizarea la distanță a unor parametrii (eng. remote monitoring);
- accesul multipunct la mijloacele fizice ale aplicației (eng. multi point operation);
- traversarea sau conversia de la un protocol la altul (ex. adaptorul Bluetooth – Serial);
- transportarea datelor pe distanțe mari în format digital codificat;

VI. BIBLIOGRAFIE

1. Technical University of Wien – „Communication Protocols for Embedded Systems” - <https://ti.tuwien.ac.at/>
2. Universitatea Politehnica Timișoara – „Interfațarea circuitelor - Tipuri de interfețe, Protocoale seriale de comunicare” - <https://www.aut.upt.ro>
3. Universitatea Tehnică din Cluj – Napoca: Ioana - Cornelia Gros, Lucian - Nicolae Pintilie, Teodor Crișan Pană – „SISTEME EMBEDDED ÎN INGINERIE ELECTRICĂ - GHID DE APLICAȚII”, Editura UTPRESS, Cluj-Napoca, 2020, ISBN 978-606-737-431-5
4. Washington University – „MEMS: Micro-Electro-Mechanical Systems – What are MEMS?” - <https://courses.cs.washington.edu/>
5. ITead Studio – „HC-05 -Bluetooth to Serial Module” - <https://components101.com/>
6. Mouser Electronics and OSEPP Electronics – „DHT11 Humidity & Temperature Sensor” <https://www.mouser.com/>
7. Electronics-lab.com – „BUILD YOUR OWN I2C SENSOR” – ATtiny 85 MCU <https://www.electronics-lab.com/build-i2c-sensor/>

Tema de studiu nr. 6 – Mediul Matlab – Simulink

I. SCOPUL TEMEI

- prezentarea recapitulativă a metodelor de programare a microcontrolerelor ^{[1], [2]}
- prezentarea facilităților introduse de mediul grafic Matlab – Simulink ^{[1], [2], [3]}
- prezentarea instrumentelor „ArduinoIO” prin intermediul aplicațiilor propuse ^{[3], [4]}

II. INTRODUCERE ^{[1], [2], [3]}

În vederea soluționării diverselor probleme de inginerie, există o serie de instrumente numerice dedicate sau specializate, precum:

- pachete de programe pentru soluționarea calculului (ex. MathCAD, Excel, Matlab etc.);
- pachete de programe pentru modelare și simulare (ex. DIALux, ePLAN, SolidWorks etc.);
- suite și medii complexe de modelare, simulare și cuplare cu aparatura fizică de laborator (ex. Matlab – Simulink, LabVIEW, Altair Embed, Plexim, Scilab etc.);

Toate aceste instrumente menționate în paragraful anterior, reprezintă soluții asistate de calculator în diverse faze ale elaborării unui produs sau serviciu:

- **CAD** (eng. Computer Aided Design – proiectarea asistată de calculator);
- **CAE** (eng. Computer Aided Engineering – soluționarea problemelor de inginerie cu asistența calculatorului);
- **CAM** (eng. Computer Aided Manufacturing – producția sau fabricarea produselor asistată de calculator);

Ținând cont de procesele care au loc în vederea elaborării unui produs finit, se poate afirma faptul că orice produs de natură electronică cu un grad de complexitate ridicat parcurge cele trei faze în procesul de producție asistat de calculator (Fig. 6.1):

- CAD – proiectarea schemei, dimensionarea componentelor, proiectarea cablajului;
- CAE – testarea și simularea modelului proiectat și elaborarea codului program, achiziție;
- CAM – realizarea fizică a cablajului, a carcasei și asamblarea sau lipirea componentelor;

În completarea fazei de proiectare pentru a constitui ciclul complet de fabricație, există și etape intermediare precum:

- verificarea validității la nivel principal al schemei electronice (pe baza principiilor, legilor și teoremelor lui Ohm, Kirchhoff, Maxwell, Thevenin, Norton, Joule-Lenz etc.)
- simulări virtuale, pe baza datelor de catalog ale componentelor și pe baza măsurărilor la nivel de laborator în diverse condiții fizice și climatologice (ex. testare în condiții de vibrație, impact, câmp electromagnetic intens, variații de umezeală și temperatură etc.)
- testarea fizică, reală a produsului finit în condițiile amintite
- reîntoarcerea produsului sau prototipului în fazele de testare și proiectare inițiale

Considerând aceste concepte, se poate afirma faptul că, prin intermediul mediului de testare simulare și programare Matlab – Simulink, pot fi rezolvate atât problemele de proiectare sau dimensionare, cât și problemele de inginerie precum programare, testare automată, generare automată de cod.

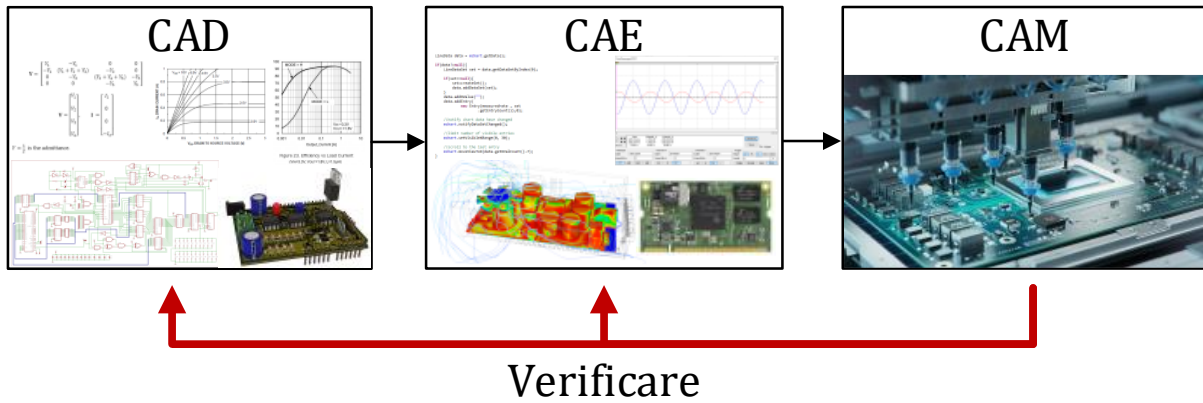


Fig. 6.1 – Parcurgerea etapelor de proiectare a unui produs de natură electronică

Cu ajutorul platformei de dezvoltare Arduino Nano și a mediului de simulare Matlab – Simulink va fi posibilă realizarea a cel puțin două etape din faza de elaborare a unui produs, anume: CAD – proiectarea produsului și CAE – modelarea și simularea circuitului sau codului program care urmează a fi implementat.

Totodată, mediul Matlab – Simulink împreună cu pachetul Arduino IO [3],[4] permit realizarea simulării în timp real a modelului corespunzător codului program implementat în Simulink, în strânsă legătură cu prototipul de circuit implementat fizic cu ajutorul perifericelor sistemului de calcul specializat (ex. intrări / ieșiri digitale, intrări analogice, interfețe de comunicare etc.) (Fig. 6.2).

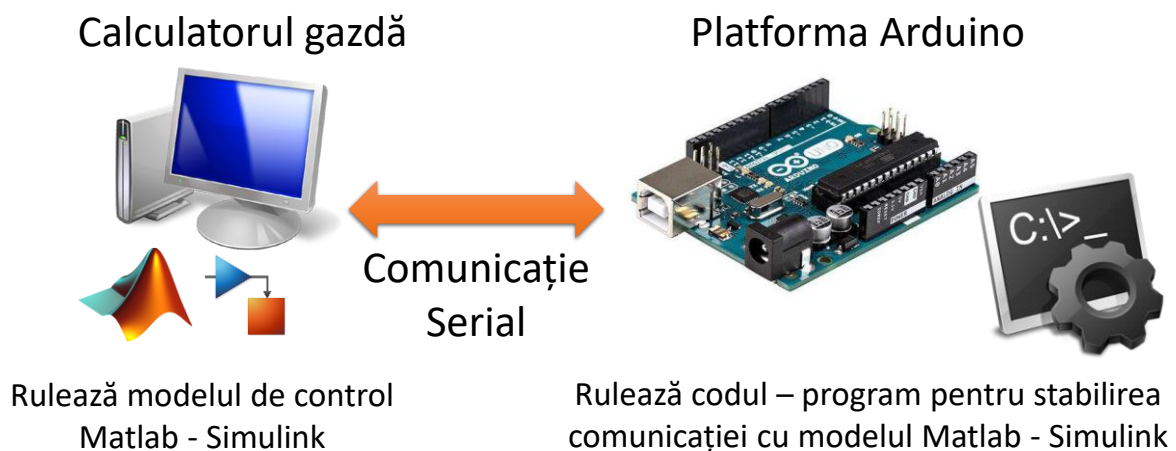


Fig. 6.2 – Schema bloc descriptivă a modului de lucru specific platformei de dezvoltare Arduino atașată la calculatorul gazdă cu mediul Matlab – Simulink instalat [1],[2]

Procedura de simulare și analiză a comportamentului în timp real a întregului sistem compus din modelul grafic specific și circuitul fizic implementat, poartă denumirea în literatura de specialitate „Rapid Control Prototyping” (eng.)- RCP – (ro. dezvoltarea rapidă a algoritmului de control al produsului final). Procedura poate fi întâlnită în etapa de elaborare a strategiilor de comandă și control pentru convertoare electronice de putere și presupune: calibrarea senzorilor, acordarea reguletoarelor, impunerea de limite și protecții în program, optimizarea programului.

III. ASPECTE TEORETICE [1], [2]

Există patru moduri de elaborarea a codului program pentru un sistem de calcul specializat cu microcontroler precum (Fig. 6.3 sau Fig. 1.7 - Lab. I) [1], [2].

- cod mașină (limbajul specific comenzilor directe pentru procesor);
- limbaj de asamblare (cu instrucțiuni specifice arhitecturii interne a procesorului);
- sintaxă specifică limbajelor de programare (ex. C / C++, Python, Wiring etc.);
- mediu grafic de programare (ex. Matlab – Simulink, LabVIEW, Altair Embed);



Fig. 6.3 – Metode și limbaje de programare specifice lucrului cu microcontrolere [1], [2]

Mediile grafice de programare sunt utilizate în mod preponderent în domeniul Ingineriei Electrice, atunci când este necesară identificarea unei soluții într-un timp scurt la o problemă complexă precum strategia de comandă și control a unui sistem electronic.

În situația în care este necesară elaborarea codului program destinat unei strategii de control pentru un convertor electronic de putere, se recomandă utilizarea unei abordări sistemice care are la bază structurarea codului program utilizând diagramele sinoptice și simbolurile specifice domeniului reglării automate. Matlab – Simulink, presupune o astfel de abordare, prin introducerea diverselor simboluri și diagrame constituind astfel așa-zisul „model Simulink” al strategiei de comandă și control (Fig. 6.4).

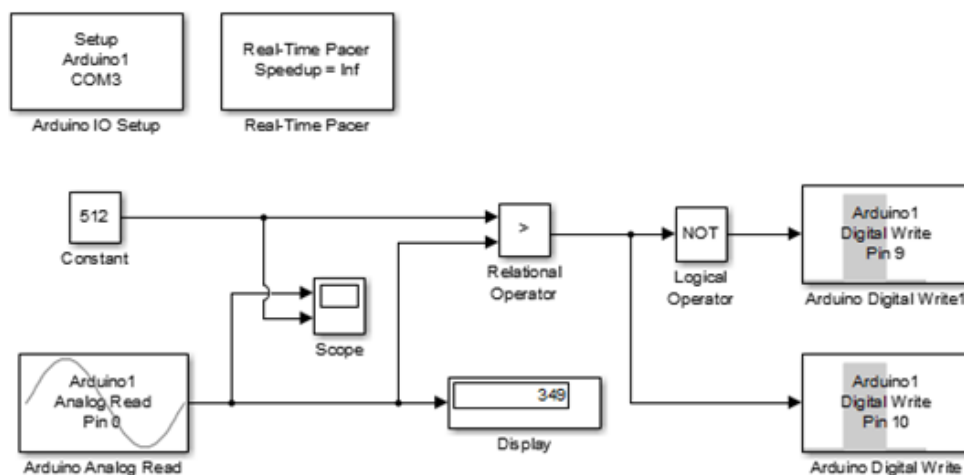


Fig. 6.4 – Reprezentarea modelului Simulink prin diagrame și simboluri [1], [2]

Pe baza diagramei sau modelului se va genera în mod automat codul program destinat procesorului de aplicație sau microcontrolerului. Generatorul automat de cod regăsit în mediul de simulare Matlab – Simulink, are denumirea „Embedded Coder” [4].

În cadrul mediului Matlab – Simulink există două metode de testare în timp real a strategiei de comandă și control elaborată pe baza modelelor, anume:

- metoda de programare bazată pe pachetul de instrumente „Arduino IO” [3];
- metoda de programare bazată pe „Simulink support package for Arduino” [4];

Cele două metode pot conlucra în mod complementar, anume:

- pe baza pachetului „Arduino IO” se generează modelul de testare în timp real [3];
- pe baza pachetului „Simulink support package for Arduino” se va genera codul final [4];

Prin urmare, se poate afirma faptul că, prin combinarea modului de lucru al celor două pachete de instrumente, se poate parcurge un ciclu complet de dezvoltare a unui produs electronic pe bază de microcontroler (CAD, CAE, CAM) și anume, furnizarea codului final și încărcarea acestuia în memoria program (eng. Flash) a microcontrolerului.

În cadrul acestui document se va avea în vedere metoda de simulare și validare în timp real a modului de funcționare al codului program generat pe baza modelului Simulink, anume, se va utiliza pachetul de instrumente Arduino IO împreună cu platforma Arduino Nano, și versiunea Matlab – Simulink R2014a [3]. Astfel, se vor realiza etapele:

- descărcarea și instalarea mediului de testare, simulare și programare Matlab – Simulink;
- descărcarea și instalarea mediului de programare Arduino IDE;
- descărcarea și dezarhivarea pachetului de instrumente Arduino IO [3];
- încărcarea programului „adio.pde” în memoria permanentă a microcontrolerului [3];
- instalarea paletelor de instrumente „Arduino IO” în mediul Matlab – Simulink [3];
- implementarea modelului dorit și validarea funcționării acestuia;

Pentru a instala pachetul „Arduino IO”, este necesară obținerea acestuia de la adresa: <https://ctms.engin.umich.edu/CTMS/Content/Activities/ArduinoIO.zip>. (Același fișier se va regăsi și în arhiva cu documentația specifică ședinței de laborator) [1], [3]. În urma descărcării pachetului de instrumente, se va de arhiva în locația „C:\ArduinoIO”. Se va lansa în execuție mediul Matlab R2014a, și se va fixa calea de navigație „C:\ArduinoIO”. În consola de comanda Matlab, se va introduce comanda `install_arduino` (Fig. 6.5).

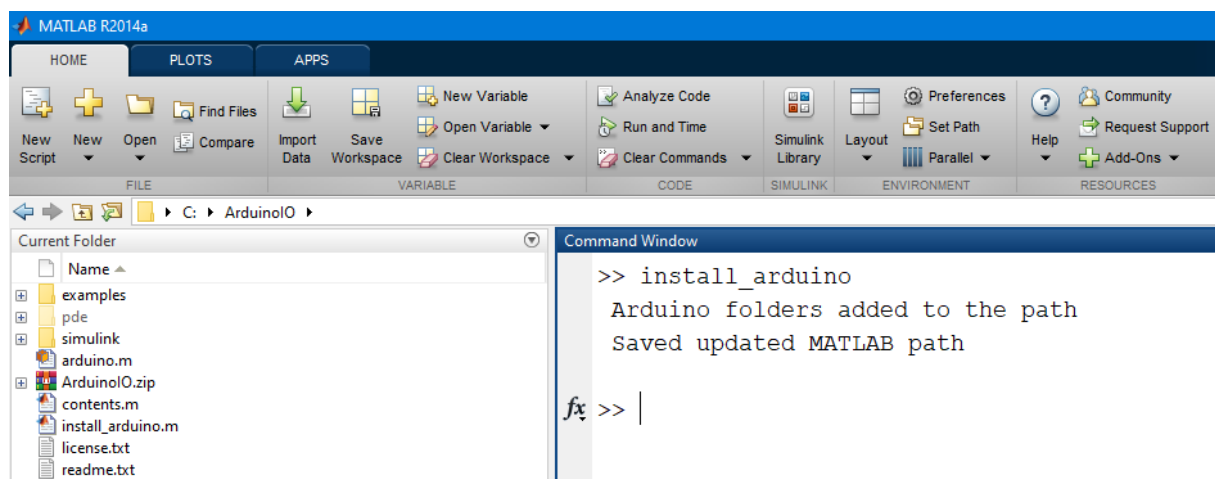


Fig. 6.5 – Procedura de instalare a pachetului de instrumente Arduino IO în Matlab

În cazul în care procedura de instalare decurge corect, în consolă se va obține mesajul „Arduino folders added to the path -> Saved updated MATLAB path”.

Pentru a pregăti canalul de comunicație dintre platforma de dezvoltare Arduino Nano și calculatorul gazdă prin intermediul interfeței Serial, va fi necesară încărcarea codului program „adio.pde” în memoria permanentă (Flash) a microcontrolerului (Fig. 6.6). Fișierul se regăsește în directorul în care a fost de arhivat pachetul Arduino IO, anume: „C:\ArduinoIO\pde\adio\adio.pde”. Extensia „.pde” reprezintă echivalentul extensiei „.ino” compatibilă cu mediul Arduino IDE.

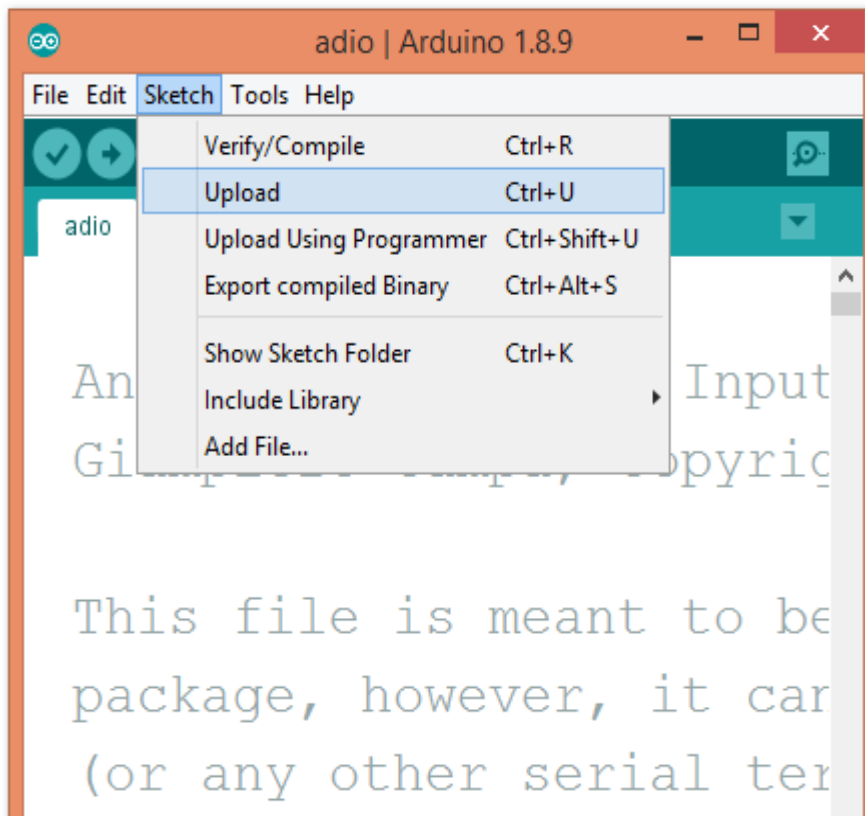


Fig. 6.6. – Încărcarea codului program pentru stabilirea comunicației Serial între platforma Arduino Nano și calculatorul gazdă [1]

Tot în cadrul acestei etape, se va determina portul de comunicație serial, fie din meniul „Tools” -> „Port” al mediului Arduino IDE, fie din utilitarul „Device Manager”, categoria „Ports (COM & LPT)”, dispozitivul cu denumirea „USB Serial Port (COMx)”. În cazul de față, portul de comunicație serial, pe care este atașată platforma de dezvoltare Arduino Nano este „COM3”.

Cunoscând datele de identificare ale portului serial, având încărcat în memorie programul de comunicare serial cu platforma de dezvoltare și având pachetul de instrumente instalat în mediul Matlab – Simulink, se vor implementa o serie de aplicații.

IV. IMPLEMENTAREA APLICAȚIILOR

Pentru a evidenția conceptele prezentate anterior, se propune implementarea următoarelor aplicații cu ajutorul platformei Arduino Nano și mediului Matlab - Simulink:

- semnalizare alternativă intermitentă cu două diode electroluminiscente (eng. LED);
- achiziționarea unui semnal digital;
- măsurarea temperaturii și declanșarea unei ieșiri digitale la depășirea pragului impus;

Se vor utiliza următoarele componente:

- placă pentru testare rapidă a circuitelor electronice (Wisher WBU-502L);
- platformă de dezvoltare Arduino NANO cu microcontroler ATmega 328;
- diode electroluminiscente;
- rezistențe cu valoarea de 100 [Ω];
- rezistențe cu valoarea de 10 [$k\Omega$];
- traductor de temperatura LM-35;
- fire pentru conexiune rapidă compatibile cu placa de testare;
- calculator gazdă având mediul Arduino IDE și Matlab Simulink + Arduino IO instalate;
- cablu adaptor USB A la mini USB;

La fiecare model Simulink nou, se va stabili timpul total de simulare (eng. Stop time) „inf” (infini) și timpul de eșantionare (eng. Fixed-step (fundamental sample time)) „1e-3” ($1 * 10^{-3}$ [s]). Pentru a impune timpul de eșantionare este necesară alegerea opțiunii „Fixed-step” în categoria „Solver options \rightarrow Type” și opțiunea „Solver \rightarrow discrete (no continuous states)”, (Fig. 6.7).

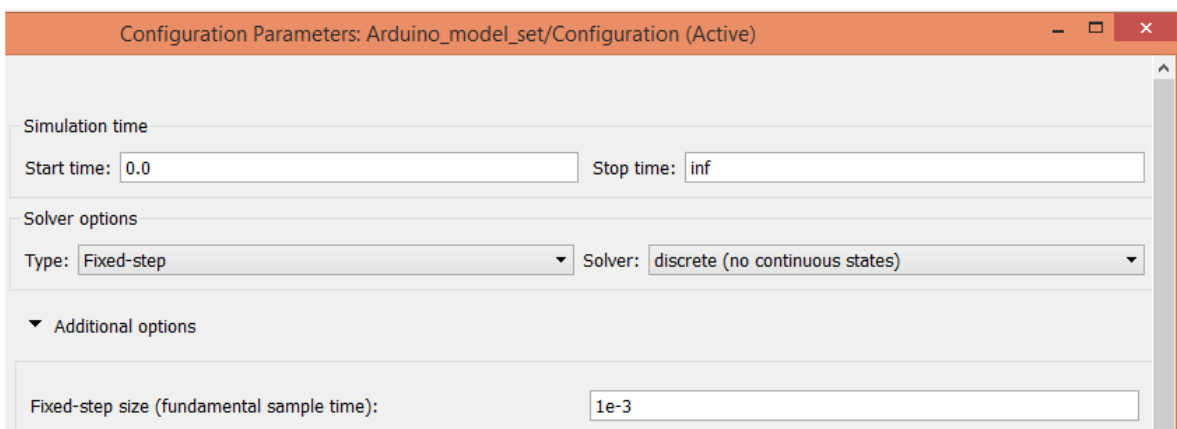


Fig. 6.7 – Stabilirea timpului total de simulare [1]

De asemenea, tot în cadrul modelelor Simulink noi create se vor introduce (de fiecare dată) următoarele blocurile elementare:

- Arduino IO Setup - pentru inițializarea conexiunii dintre model și platforma Arduino;
- Real – Time Pacer - pentru stabilirea parametrilor de temporizare ai simulării;

În cadrul blocului „Arduino IO Setup” se va impune portul de comunicație serial „COMx” (Fig. 6.8). Prin intermediul acestui bloc, va fi posibilă declararea unei noi platforme de dezvoltare Arduino (prin intermediul opțiunii „Arduino variable”), în paralel cu cea stabilită anterior, doar că, va fi necesară declararea unui nou port de comunicație serial.

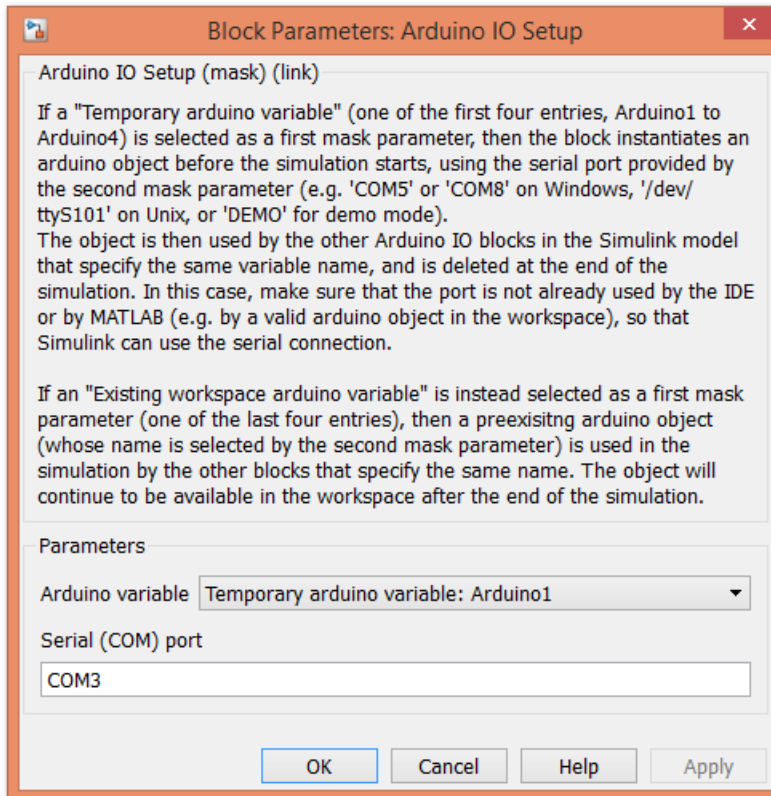


Fig. 6.8 – Stabilirea portului de comunicație serial „COMx” prin intermediul blocului „Arduino IO Setup” [1]

Tot în cadrul unui model nou, prin intermediul blocului elementar „Real - Time Pacer” se va stabili pasul de parcurgere în timp a modelului „inf” (infin), (Fig. 6.9).

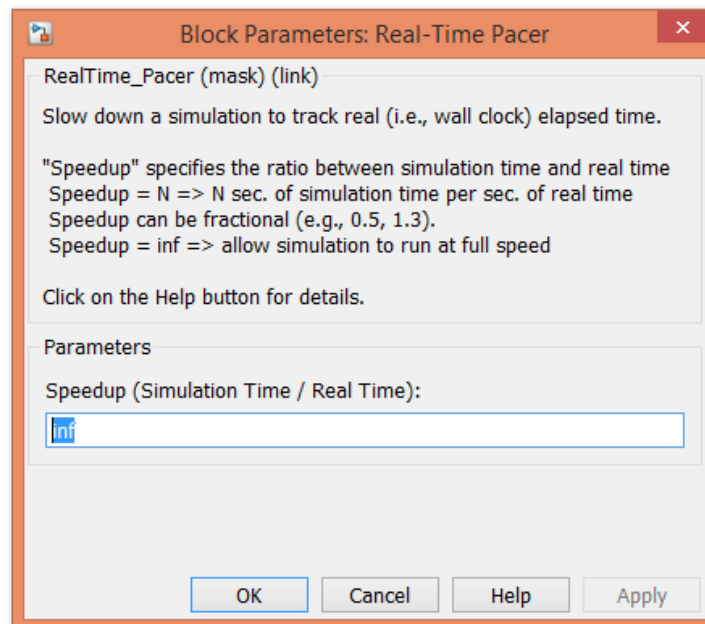


Fig. 6.9 – Stabilirea pasului de parcurgere prin intermediul blocului „Real – Time Pacer”

APLICAȚIA 1

Se va implementa circuitul conform următoarei scheme (Fig. 6.10):

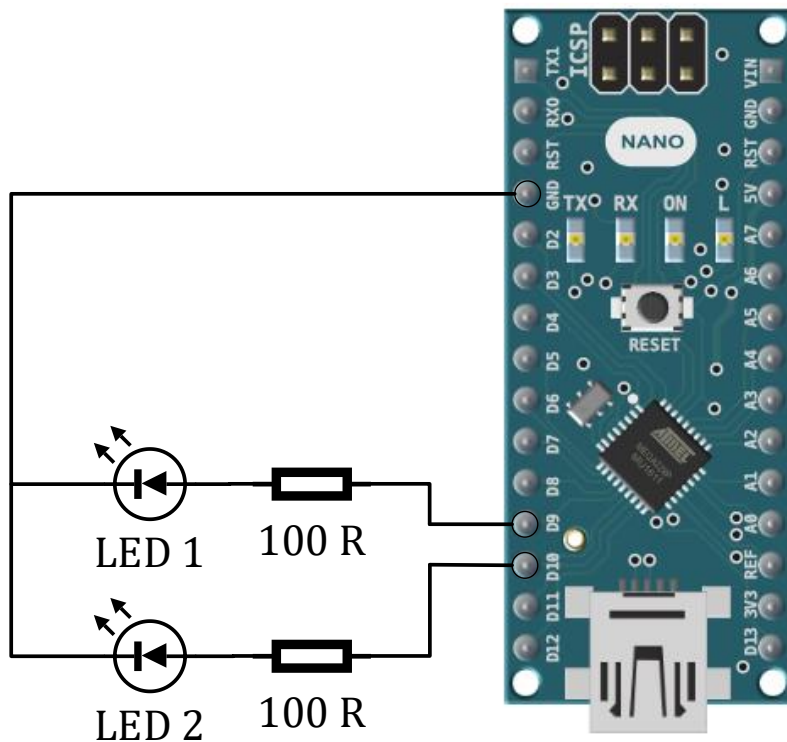


Fig. 6.10 – Schema electronică pentru implementarea circuitului specific aplicației 1

Montajul experimental se va realiza conform (Fig. 6.11):

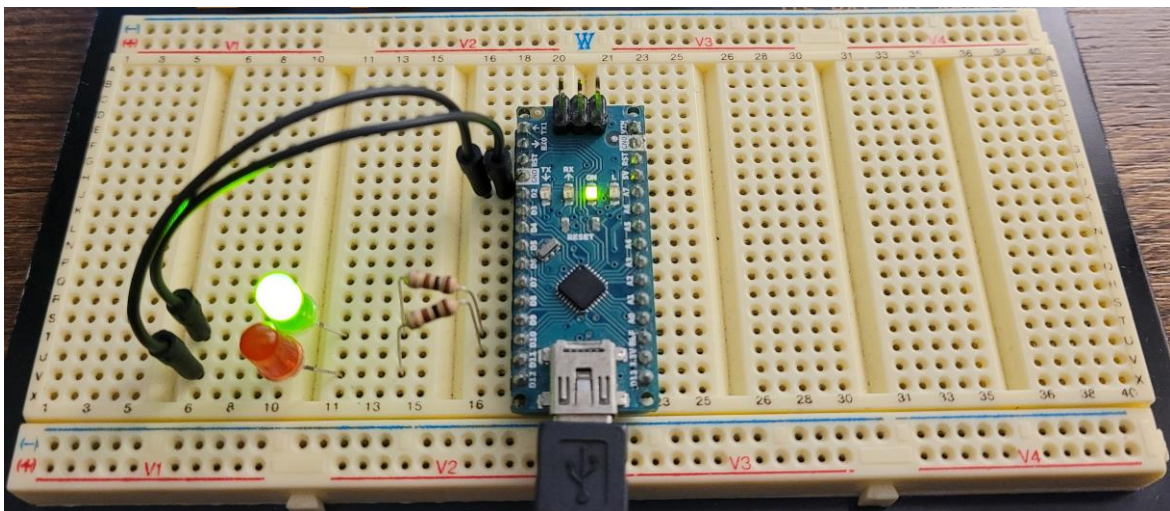


Fig. 6.11 – Montaj experimental pentru aplicația 1

Se va implementa următorul cod program pe baza modelului Simulink (Fig. 6.12):

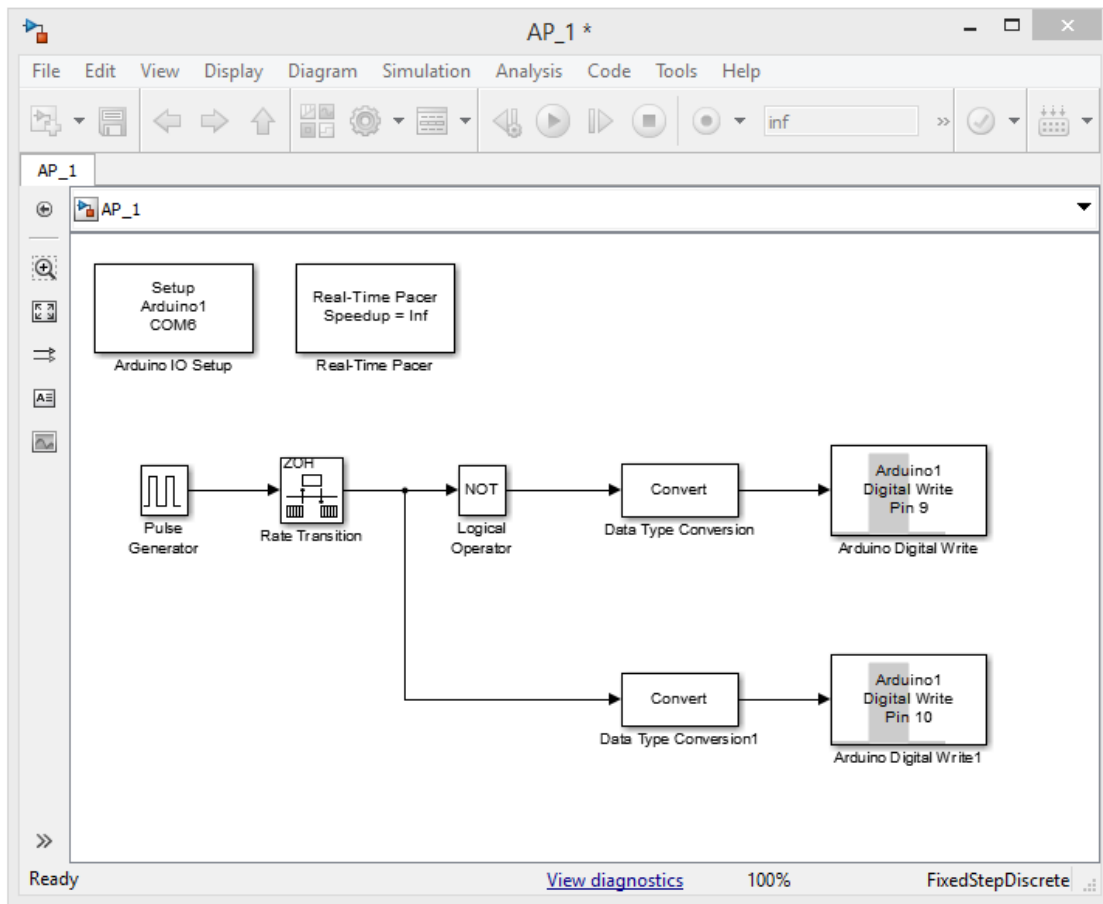


Fig. 6.12 – Codul program specific aplicației 1 implementat sub formă de model Simulink

În vederea implementării modelului Simulink sunt necesare blocurile (Fig. 6.13):







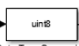
Simbol bloc	Denumire bloc	Categoria din care face parte
	Arduino IO Setup	Arduino IO Library
	Real – Time Pacer	Arduino IO Library
	Pulse Generator	Simulink → Sources
	Rate Transition	Simulink → Signal Attributes
	Logical Operator	Simulink → Logic and Bit Operations
	Arduino Digital Write	Arduino IO Library
	Data Type Conversion	Simulink → Signal Attributes

Fig. 6.13 – Lista blocurilor necesare în vederea implementării modelului Simulink

Implementarea aplicației nr. 1 presupune:

- comutarea alternativă a stării logice a ieșirilor digitale a celor două terminale „D9” și „D10” prin intermediul generatorului de semnal dreptunghiular la frecvența de 1 [Hz];
- blocul „Rate Transition” adaptează timpul de eșantionare al generatorului de semnal la timpul de eșantionare al blocurilor pentru ieșire digitală;
- blocul „Logical Operator” realizează funcția de inversare logică;
- blocul „Data type conversion” asigură trecerea de la un tip de date stabilit inițial la un alt tip de date necesar la ieșirea din model (ex. stare logică „ACTIV” (eng. HIGH) sau „INACTIV” (eng. LOW) transformat în număr întreg reprezentat pe opt biți „0” sau „1”);
- blocul „Arduino Digital Write” asigură modificarea stării logice a terminalului digital specificat în parametrii de configurare (ex. D9).

OBSERVAȚIE: Timpul de eșantionare specific intrărilor și ieșirilor fizice (digitale sau analogice) este 0,01 [s]!

APLICAȚIA 2

Se va implementa circuitul conform următoarei scheme (Fig. 6.14):

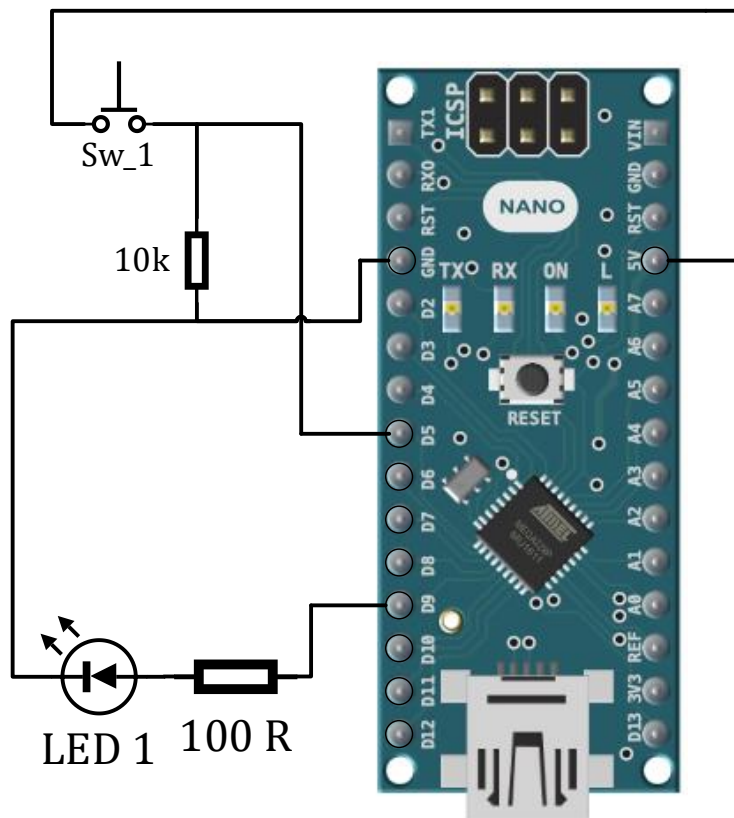


Fig. 6.14 – Schema electronică pentru implementarea circuitului specific aplicației 2

Montajul experimental se va realiza conform (Fig. 6.15):

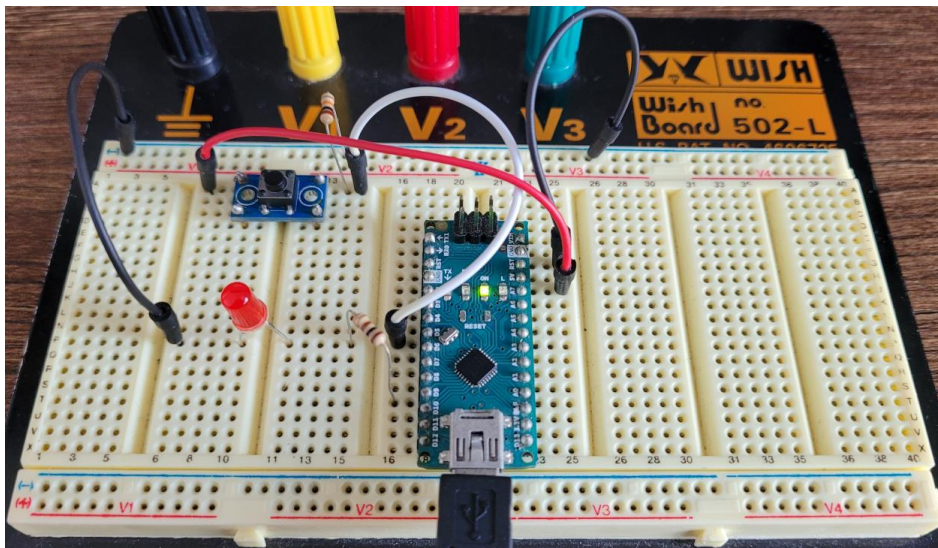


Fig. 6.15 – Montaj experimental pentru aplicația 2

Se va implementa următorul cod program pe baza modelului Simulink (Fig. 6.16):

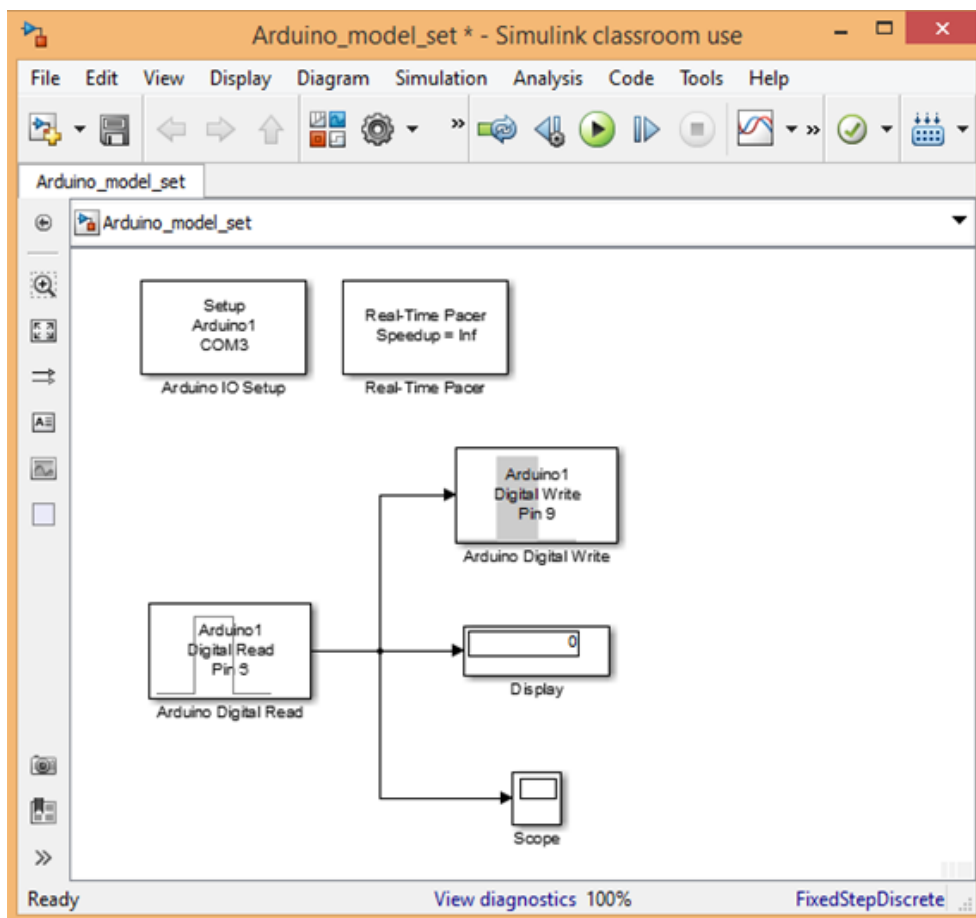


Fig. 6.16 - Codul program specific aplicației 2 implementat sub formă de model Simulink

În vederea implementării modelului Simulink sunt necesare blocurile (Fig. 6.17):



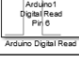

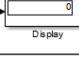

Simbol bloc	Denumire bloc	Categoria din care face parte
	Arduino IO Setup	Arduino IO Library
	Real – Time Pacer	Arduino IO Library
	Arduino Digital Read	Arduino IO Library
	Arduino Digital Write	Arduino IO Library
	Display	Simulink → Sinks
	Scope	Simulink → Sinks

Fig. 6.17 – Lista blocurilor necesare în vederea implementării modelului Simulink

Implementarea aplicației nr. 2 presupune:

- preluarea stării terminalului ales prin intermediul blocului „Arduino Digital Read”
- redirectionarea stării intrării digitale înspre terminalul de ieșire digitală (mai precis, crearea unei funcții de legătură între o intrare și o ieșire digitală prin intermediul arhitecturii procesorului);
- semnalizarea prin intermediul unei diode electro-luminiscente atașată la o ieșire digitală la care se va modifica starea logică în funcție de starea intrării digitale asociată prin intermediul modelului Simulink;
- monitorizarea semnalelor vehiculate în model pe calea virtuală de semnal (eng. virtual signal path) cu ajutorul blocurilor „Display” și „Scope” (Fig. 6.18).

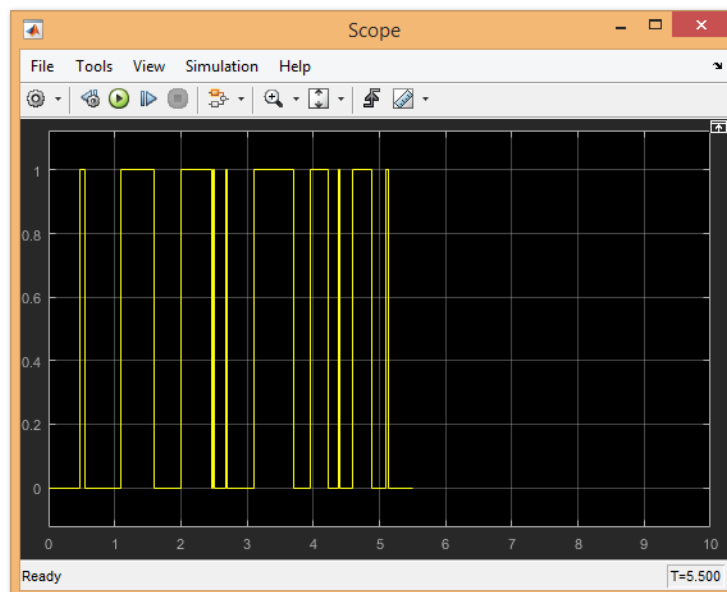


Fig. 6.18 – Monitorizarea semnalului digital vehiculat pe calea virtuală de semnal

OBSERVAȚIE: Cu ajutorul instrumentului „Display” se va realiza monitorizarea valorilor numerice vehiculate pe calea virtuală de semnal. Cu ajutorul blocului „Scope” se va realiza monitorizarea formei de undă a semnalului vehiculat pe calea virtuală de semnal.

APLICAȚIA 3

Se va implementa circuitul conform următoarei scheme (Fig. 6.19):

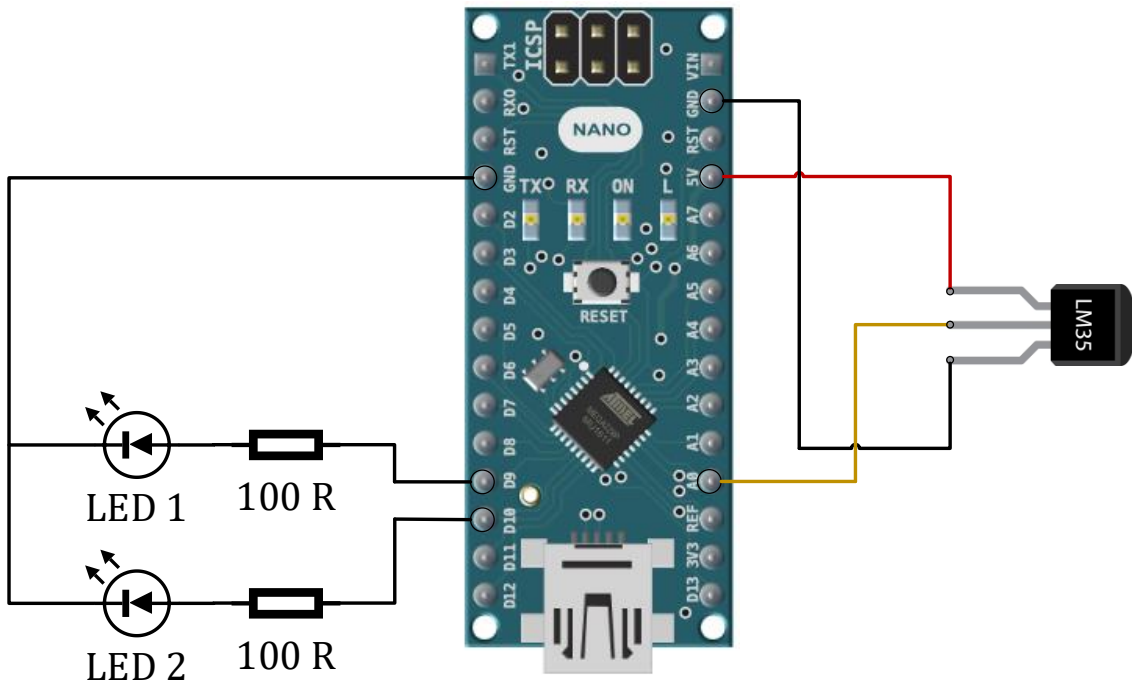


Fig. 6.19 – Schema electronică pentru implementarea circuitului specific aplicației 3

Se va realiza următorul montaj experimental (Fig. 6.20):

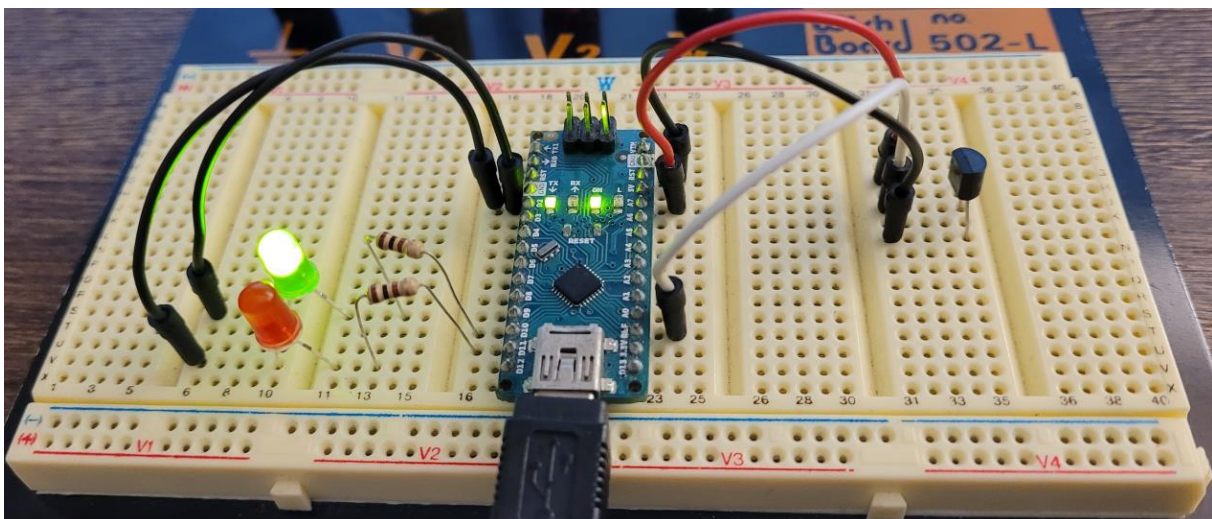


Fig. 6.20 – Montajul experimental specific aplicației 3

În vederea implementării modelului Simulink sunt necesare blocurile (Fig. 6.21):

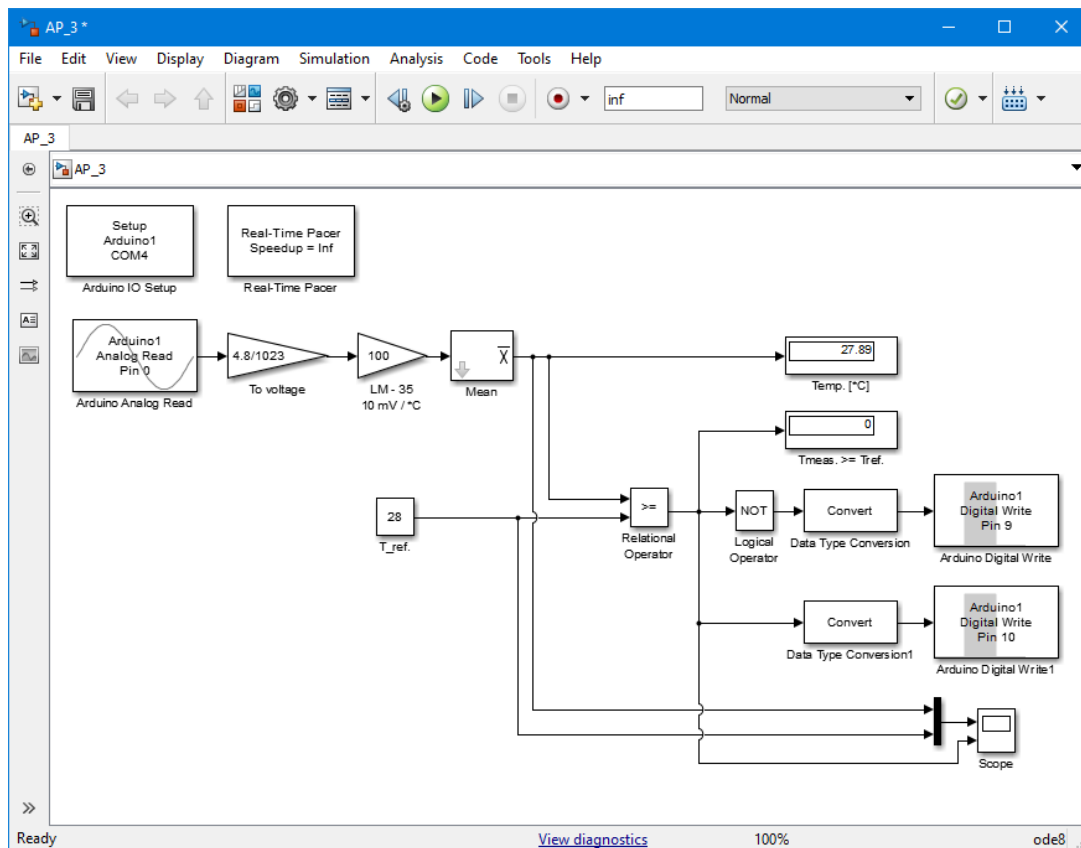


Fig. 6.21 - Codul program specific aplicației 3 implementat sub formă de model Simulink

În vederea implementării modelului Simulink sunt necesare blocurile (Fig. 6.22):



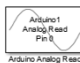


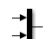

Simbol bloc	Denumire bloc	Categoria din care face parte
	Arduino IO Setup	Arduino IO Library
	Real – Time Pacer	Arduino IO Library
	Arduino Analog Read	Arduino IO Library
	Display	Simulink → Sinks
	Scope	Simulink → Sinks
	Mux	Simulink → Commonly Used Blocks
	Mean	Simscape → SimPowerSystems → Specialized Technology → Control and Measurements Library → Measurements

Fig. 6.22 – Lista blocurilor necesare în vederea implementării modelului Simulink

Implementarea aplicației nr. 3 presupune:

- preluarea valorii zecimale rezultante în urma procesului de conversie analog – digital;
- determinarea tensiunii de măsură pe baza preciziei convertorului analog – digital;
- determinarea temperaturii pe baza tensiunii de măsură și a constantei de calibrare;
- compararea nivelului temperaturii actuale cu valoarea de prag impusă inițial;
- afișarea pe grafic atât a valorii actuale cât și a pragului de temperatură (Fig. 6.23);

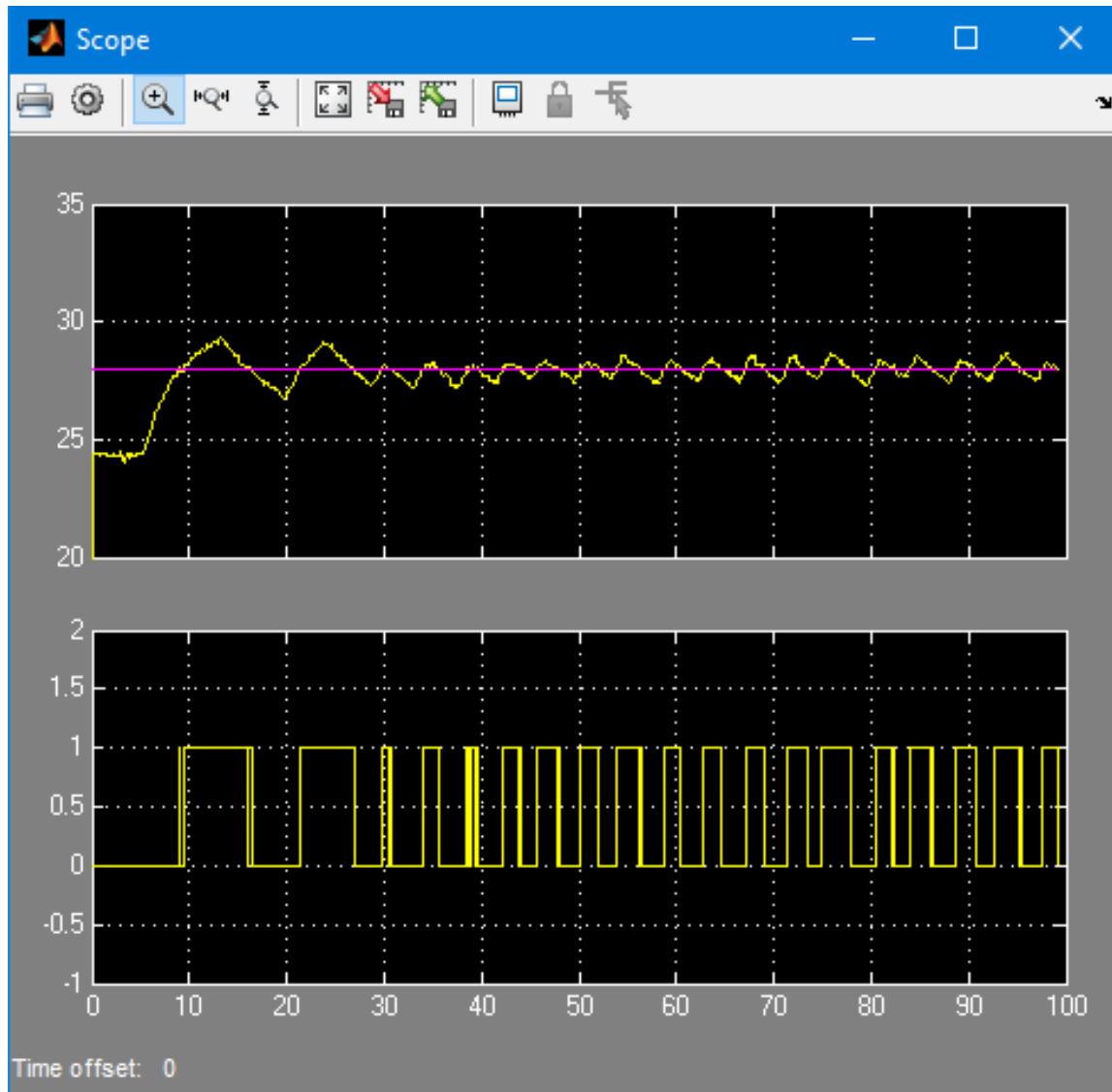


Fig. 6.23 – Monitorizarea semnalelor vehiculate pe calea virtuală de semnal

OBSERVAȚIE: În vederea determinării mediei aritmetice în mod dinamic (prin intermediul blocului „Mean”), este necesară alegerea unei metode de rezolvare a ecuațiilor diferențiale liniare cu coeficienți constanți care fac parte din modelul blocului de mediere. Pentru aceasta, este necesară alegerea opțiunii „ode8 (Dormand-Prince)” în categoria „Solver” (Fig. 6.24)

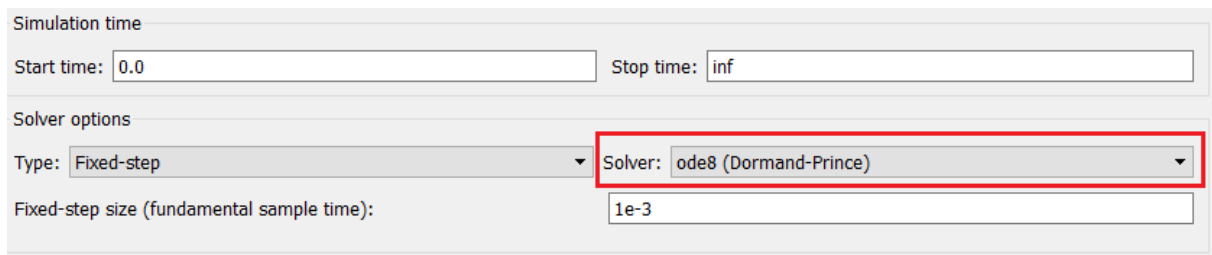


Fig. 6.24 – Modificarea parametrilor pentru metoda de rezolvare a ecuațiilor diferențiale

În vederea filtrării zgomotelor suprapuse peste semnalul de măsură preluat de la traductorul de temperatura LM - 35, se vor efectua următoarele parametrizări la nivelul blocului de mediere (Fig. 6.25):

- frecvența componentei fundamentale: 5 [Hz];
- stare inițială: 0;
- timp de eșantionare: 0,01 [s];

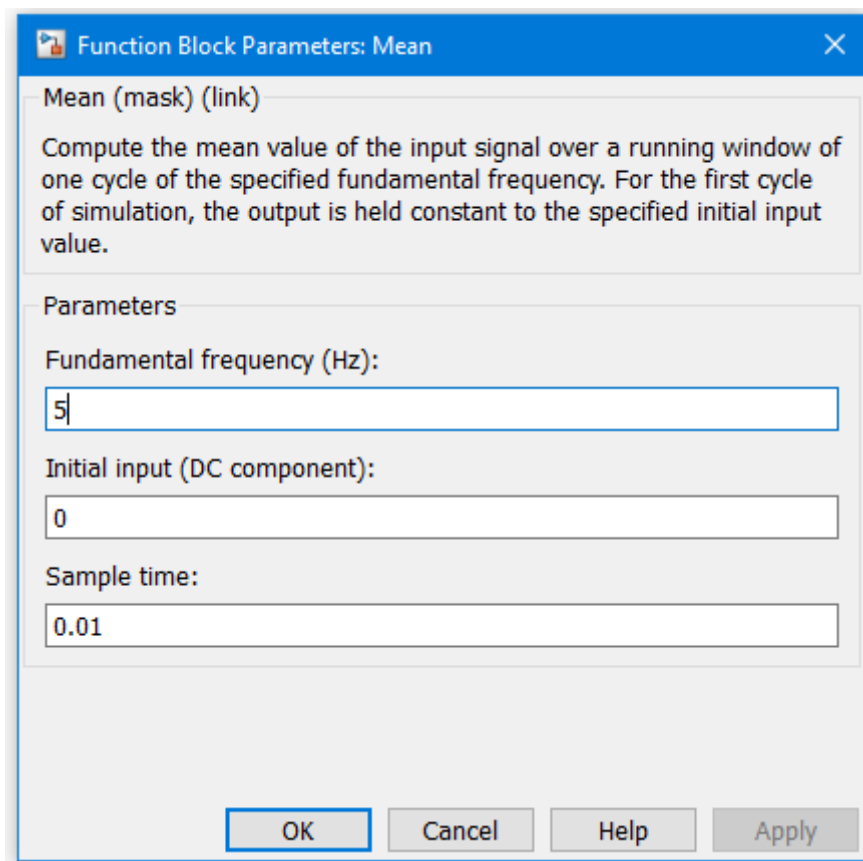


Fig. 6.25 – Parametrizarea blocului de calcul dinamic al mediei aritmetice a semnalului

V. CONCLUZII

- Utilizând mediul Matlab – Simulink în strânsă legătură cu platforma Arduino, pot fi dezvoltate aplicații complexe de achiziție și control datorită faptului că, în acest mediu de simulare, există posibilitatea unei abordări sistemice a programului realizat;
- Programarea platformei Arduino pe baza blocurilor funcționale reprezintă esența abordării sistemice;
- Simularea în timp real permite interacțiunea utilizatorului cu parametrii procesului direct din model, prin intermediul calculatorului gazdă;
- Procedeele de analiză și depanare în timp real a unei bucle de control poartă denumirea de Rapid Control Prototyping. Utilizarea mediului Matlab – Simulink și platforma Arduino, împreună cu pachetul „Arduino IO”, reprezintă un procedeu similar.

VI. BIBLIOGRAFIE

1. Universitatea Tehnică din Cluj – Napoca – Electronics and Power Electronics – „SISTEME CU MICROPROCESOARE” – „Documentație pentru laboratorul de Sisteme cu Microprocesoare”: <https://epe.utcluj.ro/index.php/sisteme-cu-microprocesoare/>
2. Ioana – Cornelia GROS, Lucian – Nicolae PINTILIE, Teodor Crișan PANĂ – „SISTEME EMBEDDED ÎN INGINERIE ELECTRICĂ - GHID DE APLICAȚII” – Editura UTPress Cluj – Napoca, 2020 ISBN 978-606-737-431-5:
3. University of Michigan – Control Tutorials for Matlab & Simulink – „Simulink ArduinoIO Package”: <https://ctms.engin.umich.edu/>
4. The MathWorks Inc. – „Legacy MATLAB and Simulink Support for Arduino”: <https://www.mathworks.com/>